

FLÁVIO FONSECA DO CARMO

**PADRÕES DE DIVERSIDADE, COMPOSIÇÃO FLORÍSTICA E
ESTRUTURA DE COMUNIDADES DE PLANTAS EM
AFLORAMENTOS ROCHOSOS, QUADRILÁTERO FERRÍFERO,
BRASIL.**



BELO HORIZONTE - MG

2014

Flávio Fonseca do Carmo

**Padrões de diversidade, composição florística e estrutura de
comunidades de plantas em afloramentos rochosos, Quadrilátero
Ferrífero, Brasil.**

Tese apresentada ao Programa de Pós-graduação
em Ecologia, Conservação e Manejo da Vida
Silvestre (ECMVS) da Universidade Federal de
Minas Gerais como requisito parcial para a
obtenção de título de Doutor.

Orientadora: Dra. Claudia Maria Jacobi

Belo Horizonte - MG

2014

ÍNDICE

Agradecimentos.....	4
Resumo.....	5
Lista de figuras.....	7
Lista de tabelas.....	10
Apresentação.....	12
Capítulo 1 – A vegetação de canga no Quadrilátero Ferrífero, Minas Gerais: caracterização e contexto fitogeográfico.....	17
Capítulo 2 – Lista florística da vegetação em granito, gnaisse e quartzito, Quadrilátero Ferrífero, sudeste do Brasil.....	42
Capítulo 3 – Effects of fine-scale surface heterogeneity on rock outcrop plant communities.....	72
Capítulo 4 – Are the composition of Asteraceae and Poaceae influenced by differences in soil properties in rock outcrops?.....	93
Capítulo 5 – Padrões de diversidade e estrutura de comunidades de plantas em afloramentos rochosos, Quadrilátero Ferrífero, Brasil.....	131
Considerações Finais.....	159

AGRADECIMENTOS

Centenas de horas/trabalho foram doadas por vários amigos para que os dados de campo pudesse ser coletados. Agradeço a todos: José Eugênio do Carmo, Felipe Fonseca, Leonardo Cotta, Ericson Silva, Lucas Perillo, Iara Campos, Gustavo Heringer, Matheus Toshiba e Bruno Falcão.

A minha orientadora, Claudia Jacobi, sempre incentivando, ensinando e discutindo idéias.

Aos amigos do laboratório de sistemática vegetal, em especial a Pedro Viana, Marcos Sobral, Nara Furtado e Livia Echternacht.

Aos inúmeros taxonomistas que identificaram as milhares de exsicatas. Todos sempre muito atenciosos.

A todos os amigos do Laboratório de Interação Animal-Planta.

Aos financiadores: CNPq, FAPEMIG e US Fish & Wildlife Service.

A minha família por todo o apoio.

RESUMO

Os afloramentos rochosos representam ambientes muito antigos que sustentam uma flora relictual, geralmente condicionada por fatores microclimáticos, edáficos e topográficos. As formações vegetais que crescem sobre diferentes tipos rochosos nas montanhas do leste do Brasil constituem importantes centros de diversidade de plantas. Entretanto, ainda são escassos os estudos quantitativos que investigaram os fatores edáficos nos sistemas rochosos brasileiros. O objetivo geral desta tese foi explorar padrões de diversidade e estrutura de comunidades de plantas e relacioná-los aos padrões edáficos/topográficos dos afloramentos rochosos, identificando diferenças ecológicas entre as comunidades sobre canga, quartzito, granito e gnaisse localizados no Quadrilátero Ferrífero, MG. O Capítulo 1 investigou a distribuição geográfica e os domínios fitogeográficos de 980 espécies inventariadas nas cangas. Em comparação aos sistemas quartzíticos, principalmente os inseridos na Cadeia do Espinhaço, pode-se distinguir a vegetação das cangas pela maior influência de elementos florísticos do domínio Atlântico, maior frequência de sinúsias formadas por árvores e arbustos e riqueza elevada de espécies de gêneros como *Solanum* e *Cattleya*. Essa distinção parece correlacionar-se com a localização geográfica do Quadrilátero e com as características geomorfológicas e mineralógicas das cangas. O Capítulo 2 apresentou uma lista florística da vegetação em granito, gnaisse e quartzitos. Foram encontradas 704 espécies. As famílias com maior número de espécies foram Asteraceae (108), Poaceae (86), Orchidaceae (47), Cyperaceae (37), Melastomataceae (35), Fabaceae (32), Rubiaceae (27), Myrtaceae (18), Apocynaceae e Bromeliaceae (14 cada) e Verbenaceae (13). As formas de crescimento predominantes foram as ervas (50%), seguida pelos subarbustos (20%), arbustos (18%) e trepadeiras (6%). Foram encontradas 15 espécies raras, a maioria com distribuição geográfica restrita ao Quadrilátero Ferrífero. O Capítulo 3 objetivou mensurar os efeitos em escala fina da heterogeneidade topográfica de afloramentos rochosos nas comunidades de plantas. Este trabalho representou um dos primeiros estudos empíricos a demonstrar que variações centimétricas da superfície rochosa promoveram alterações na diversidade e estrutura das comunidades. O Capítulo 4 investigou se a composição de espécies de Asteraceae e de Poaceae pode ser influenciada pelas propriedades de solos desenvolvidos sobre diferentes afloramentos. Os solos de 10 afloramentos foram classificados como fortemente ácidos e com níveis muito baixos de fertilidade e de concentração de elementos-traço. Foram encontradas algumas diferenças marcantes entre a constituição físico-química dos solos, separando os desenvolvidos sobre as cangas, com elevadas concentrações de Fe e Mn, dos solos

desenvolvidos sobre quartzitos e granitóides, com altos valores de saturação de alumínio. Entretanto, a composição de Asteraceae e Poaceae não apresentou padrões nítidos em resposta à fertilidade do solo. O Capítulo 5 também investigou os padrões de diversidade e estrutura de comunidades de plantas em diferentes afloramentos rochosos. Porém, foram utilizados desenho amostral, ferramentas de análise e escala (maior) diferentes dos adotados no Capítulo 3. As comunidades associadas ao granito e as gnaisses foram as menos diversas. Entre as cangas e os quartzitos, não houve um padrão claro, com variações dependendo do parâmetro alfa do perfil de diversidade. As análises de ordenação posicionaram de forma agregada os afloramentos de mesma origem geológica. As cangas abrigaram a maior biomassa de plantas com distribuição restrita ao Quadrilátero Ferrífero, seguidas pelos quartzitos, gnaisses e pelo granito.

Palavras-chave: canga, granito, gnaisse, quartzito, endemismo, fatores edáficos, conservação, modelos nulos, ordenação, metalófitas, tipos funcionais.

LISTA DE FIGURAS

Apresentação

Figura 1 – Relevo da região da Cadeia do Espinhaço, MG. Em destaque o Quadrilátero Ferrífero. Foram investigados 13 afloramentos rochosos. Três afloramentos na Serra do Rola Moça: 1 e 2) cangas; 3) quartzito. Quatro afloramentos na Serra da Moeda: 4 e 5) gnaisses; 6) canga; 7) quartzito. Os afloramentos de quartzito 8 e 9 estão localizados, respectivamente, nas Serras do Itacolomi e do Caraça. O afloramento 10 (quartzito) está localizado na Serra de Água Limpa. Dois afloramentos de canga na Serra de Gandarela: 11 e 12. O afloramento 13 (granito) está localizado na Estação Ambiental de PETI. Adaptado de Miranda (2005).....10
Capítulo 1

Figura 1 – Formas de crescimento vegetação em cangas do Quadrilátero Ferrífero, MG. Árv: árvore; Arb. Arbusto; Sub: subarbusto; Palm: palmeira; Par: parasita; Trep: trepadeira.....22

Figura 2 – Dendrograma de similaridade baseado no número de espécies de 920 gêneros de angiospermas (UPGMA; coeficiente de similaridade Bray-Curtis: cc 0,884). *Bootstrap*: 5000 repetições. SJ: Serra de São José; CG: Cangas; CI: Serra do Cipó; GM: Grão-Mogol; CA: Catolés; PA: Pico das Almas.....27

Figura 3 – Diagramas ternários obtidos a partir da frequência dos 25 gêneros com maior riqueza em cada uma das seis áreas investigadas. MA: setor Mata Atlântica; CE: setor Cerrado; CA: setor Caatinga. Consultar a Tabela 3 para a identificação dos códigos.....32
Capítulo 2

Figura 1 - Formas de crescimento da vegetação em afloramentos de granito, gnaisses e quartzitos, Quadrilátero Ferrífero, MG. Árv: árvore; Arb. Arbusto; Sub: subarbusto; Palm: palmeira; Par: parasita; Trep: trepadeira.....46

Capítulo 3

Fig. 1. Microtopographic profile distribution based on roughness class, in nine rock outcrops, Iron Quadrangle, Brazil. Class: 1 ($RI \leq 0.35$), 2 ($RI 0.36-0.7$), 3 ($RI 0.71-1.05$), 4 ($RI 1.06-1.4$), 5 ($RI 1.41-1.75$), 6 ($RI 1.76-2.1$), 7 ($RI 2.11-2.45$), 8 ($RI 2.46-2.8$), 9 ($2.81-3.15$), 10 ($RI \geq 3.16$). Gr: granitoid; Qz: quartzite; Ca: canga (ironstone).....80

Fig. 2. Simple linear regression models of the response variables to the roughness index RI ($p < 0.01$). TPC: total plant cover; DSC: dominant species cover.....83

Fig. 3. Rock outcrop plant communities similarity based on the relative cover of functional groups, Iron Quadrangle, Brazil (UPGMA; Bray-Curtis index: cc 0.83). Gr: granitoid; Qz: quartzite; Ca: canga.....84

Fig. 4. Diversity ordering (Rényi index) in plant communities of nine rock outcrops, Iron Quadrangle, Brazil. Cangas (Ca): black line; Granitoids (Gr): black dotted line; Quartzites (Qz): gray line. Confidence intervals not drawn.....85
Capítulo 4

Figure 1 - Relationship between species richness and area of 10 outcrops, Iron Quadrangle. For Asteraceae: $R^2 = 0.59$ (exponential model). For Poaceae: $R^2 < 0.037$. C: cangas; G: granitoids; Q: quartzites. For site codes see Tab. 199

Figure 2 - Proportion of number of occurrences of Asteraceae (151 species) and Poaceae (91 species) in 10 outcrops from the Iron Quadrangle.....100

Figure 3 - Cluster analysis of 10 outcrops from the Iron Quadrangle based on the Asteraceae species ($n=83$; cophenetic correlation coefficient = 0.928) and Poaceae species ($n=55$; cophenetic correlation coefficient = 0.835). Dendrogram used UPGMA and the Jaccard similarity index. C: cangas; G: granitoids; Q: quartzites. For site codes see Tab. 1102

Figure 4 - Cluster analysis (UPGMA and Bray-Curtis index) of the soils samples from 10 outcrops, Iron Quadrangle. Above, 18 fertility variables ($n=50$; cophenetic correlation coefficient = 0.775). Below, nine trace elements ($n=20$; cophenetic correlation coefficient = 0.816). C: cangas; G: granitoids; Q: quartzites. For site codes see Tab. 1107

Figure 5 - Eigenvalues (95% CI) from principal component analysis baseados in soil fertility (10 variables) and trace elements (10 variables). Dotted line: eigenvalues expected from a broken-stick model.....108

Figure 6 - Principal component analysis of the 10 soil fertility variables ($n=50$ samples) from 10 rock outcrops, Iron Quadrangle. C: cangas; G: granitoids; Q: quartzites. For site codes see Tab. 1108

Capítulo 5

Figura 1 – Análises de agrupamentos baseadas em: a) presença/ausência de espécies amostradas em nove afloramentos (Jaccard/UPGMA; coeficiente de correlação covenética = 0.897); b) cobertura vegetal dos grupos funcionais amostrados em nove afloramentos (Bray-Curtis/UPGMA; coeficiente de correlação covenética = 0.842); c) cobertura vegetal dos grupos funcionais amostrados em 45 transectos (Bray-Curtis/UPGMA; coeficiente de correlação covenética = 0.763). C: cangas; G: granítóides; Q: quartzitos. As identificações dos códigos das localidades estão na Tab. 1.....140

Figura 2 – Perfis de diversidade de comunidades de plantas baseados em abundância de espécies (a) e abundância dos grupos funcionais (b) em nove afloramentos rochosos, Quadrilátero Ferrífero, MG. Cada linha representa o perfil de um afloramento, assim:

vermelho=QR; azul escuro=QM; verde escuro=QA; verde oliva=CM; marrom= CR; rosa=CG; azul claro=GM; roxo= GV; verde claro=GP. Os intervalos de confiança não foram representados.....	141
Figura 3 – Distribuição do número de amostras (n=150 por afloramento) por classes de profundidade do solo e de inclinação do substrato em nove afloramentos rochosos, Quadrilátero Ferrífero, MG.....	144
Figura 4 - Autovalores (barra vertical, IC 95%) dos componentes principais baseados em 11 variáveis abióticas (n=45 transectos) amostradas em nove afloramentos rochosos, Quadrilátero Ferrífero, MG. Linha pontilhada: Autovalores estimados a partir de um modelo <i>broken-stick</i>	145
Figura 5 – Análise de Componentes Principais de 10 variáveis abióticas (n=45 transectos) amostradas em nove afloramentos rochosos, Quadrilátero Ferrífero, MG. C: cangas; G: granitóides; Q: quartzitos. As identificações dos códigos das localidades estão na Tab. 1...145	
Figura 6 – Análise de Correspondência Distendida de comunidades de plantas em nove afloramentos rochosos, Quadrilátero Ferrífero, MG. C: cangas; G: granitóides; Q: quartzitos. As identificações dos códigos das localidades estão na Tab. 1. As identificações dos códigos das espécies estão no anexo.....147	
Figura 7 – Níveis de endemismos por litotipo em comparação com a cobertura vegetal total das 42 espécies da matriz DCA. Ca (vermelho): espécies com distribuição restrita as cangas do Quadrilátero Ferrífero; QF (laranja): espécies com ocorrência apenas para o Quadrilátero Ferrífero, excluindo as endêmicas das cangas; MG (amarelo): espécies com distribuição geográfica apenas em Minas Gerais, excluindo as endêmicas do Quadrilátero Ferrífero....147	

LISTA DE TABELAS

Capítulo 1

Tabela 1 – Localização e caracterização das seis áreas contendo sistemas rochosos que integraram o banco de dados do presente estudo.....20

Tabela 2 – Domínios fitogeográficos das espécies inventariadas nas cangas do Quadrilátero Ferrífero, MG. MA: Mata Atlântica; CE: Cerrado; CA: Caatinga; AM: Amazônia; PM: Pampa.....26

Tabela 3 – Os 25 gêneros de angiospermas com maior número de espécies (cinza) em cada localidade (ver Tabela 1), ordenados a partir dos valores nas cangas do Quadrilátero Ferrífero, MG. Cod.: códigos da Figura 3.....28

Capítulo 2

Tabela 1 – Localização dos sete afloramentos rochosos inventariados, Quadrilátero Ferrífero, MG.....44

Tabela 2 - Lista florística da vegetação em afloramentos de granito, gnaisses e quartzitos, Quadrilátero Ferrífero, MG. FC: forma de crescimento.....46

Tabela 3 – Domínios fitogeográficos das espécies inventariadas nos afloramentos de granito, gnaisses e quartzitos, Quadrilátero Ferrífero, MG. CE: Cerrado; MA: Mata Atlântica; AM: Amazônia; CA: Caatinga; PAM: Pampa.....66

Capítulo 3

Table 1. Location and characterization of the rock outcrops in the Iron Quadrangle, southeast Brazil. * Dorr II (1969).....76

Table 2. Roughness, inclination and soil depth in nine rock outcrops, Iron Quadrangle, Brazil. RI: Roughness index (cm); Gr: granitoid; Qz: quartzite; Ca: canga.....81

Table 3. Parameters of the plant community associated with the nine rock outcrops, Iron Quadrangle, Brazil. TPC: total plant cover; DSC: dominant species cover; Gr: granitoid; Qz: quartzite; Ca: canga (ironstone).....82

Capítulo 4

Table 1. Location, area and altitude of 10 outcrops from Iron Quadrangle, MG.....95

Table 2 – Results of null models (5000 iterations) analysis of co-occurrence patterns. SES: standardized effect size.....99

Table 3 - Asteraceae and Poaceae species occurring exclusively in iron oxy-hydroxides cangas or silicates (Granitoids + Quartzites) rock types from the Iron Quadrangle. Numbers of species per rock type are indicated in brackets.....103

Table 4 - Soil physico-chemical characteristics (mean, n=5 for each outcrop) in 10 rock outcrops from the Iron Quadrangle. SB: sum of bases; CEC: effective cation exchange capacity; V: base saturation index; m: aluminum saturation index. For site codes, Tab. 1.....	104
Table 5 - Trace elements (ppm) in soil samples in 10 rock outcrops from the Iron Quadrangle. Values of minimum detection limit of the ICP-OES method are indicated in brackets. For site codes see Tab. 1.....	104
Table 6 - PerMANOVA for the soil comparisons (10.000 permutations) among the 10 outcrops, Iron Quadrangle. Lower diagonal: fertility variables. Upper diagonal: trace elements. Significant results ($p < 0.05$) are reported in bold. For site codes see Tab. 1.....	105
Capítulo 5	
Tabela 1. Localização dos afloramentos rochosos, Quadrilátero Ferrífero, MG.....	134
Tabela 2 – Parâmetros das comunidades vegetais em nove afloramentos rochosos, Quadrilátero Ferrífero, MG. Os tipos funcionais com maior valor de cobertura vegetal em cada afloramento estão sublinhados. As identificações dos códigos das localidades estão na Tab. 1.....	139
Tabela 3 – Parâmetros edáficos e climáticos em nove afloramentos rochosos, Quadrilátero Ferrífero, MG. C: cangas; G: granítóides; Q: quartzitos. As identificações dos códigos das localidades estão na Tab. 1.....	143

APRESENTAÇÃO

Os afloramentos rochosos (*sensu* Moura *et al.*, 2011) representam ambientes muito antigos que sustentam uma flora relictual, geralmente condicionada por fatores microclimáticos, edáficos e topográficos (Giulietti *et al.*, 1987; Veloso *et al.*, 1991; Bussel & James, 1997; Kruckeberg, 2004; Huggett, 1995). As formações vegetais que crescem sobre diferentes tipos rochosos nas montanhas do leste do Brasil constituem importantes centros de diversidade de plantas (Giulietti *et al.*, 1997; Fiaschi & Pirani, 2009; Giulietti *et al.*, 2009). Além disso, os próprios sistemas rochosos fornecem serviços ecossistêmicos de extrema relevância para a manutenção da qualidade ambiental, como a recarga e armazenamento de água, regulação climática e o estoque de carbono (Szarzynsky, 2000; Mourão, 2007; Silva *et al.* 2009).

O Quadrilátero Ferrífero (QF), com uma área de 7.200 km² e localizado na região central de Minas Gerais, constitui um desses centros de diversidade e endemismos, sendo identificadas pelo menos 116 espécies restritas à localidade (Carmo & Jacobi, 2012). O QF representa uma área prioritária com importância extremamente alta para a conservação da biodiversidade brasileira (MMA, 2008). Essa classificação foi baseada em atributos como as formações geológicas únicas, a presença de importantes mananciais de abastecimento público e endemismos de fauna e flora. Apesar desse *status*, menos de 2% da área do QF está contida em unidades de conservação de proteção integral (Carmo *et al.*, 2012). Ao mesmo tempo, o QF também é considerado uma das mais importantes províncias minerais do mundo, com dezenas de lavras de extração mineral gerando enormes impactos na biodiversidade local e regional. Outra fonte de ameaça é a expansão urbana, uma vez que a região metropolitana de Belo Horizonte está parcialmente inserida no QF (Drummond *et al.*, 2005; Carmo, 2010; Carmo *et al.*, 2012).

De modo geral, as comunidades associadas aos afloramentos de quartzito localizados ao longo da Cadeia do Espinhaço, assim como das serras de Ibitipoca, São João Del-Rei, da Canastra, dos Cristais, dos Pirineus e na Chapada dos Veadeiros podem ser incluídas na definição de “campos rupestres” (Rapini *et al.*, 2008). As comunidades associadas aos afloramentos de granito-gnaisse localizados nas serras do Mar ou Mantiqueira podem ser incluídas na definição de “campos de altitude” (Safford & Martinelli, 2000; Caiafa & Silva, 2007). Vasconcelos (2011) elaborou uma discussão interessante sobre essas classificações e apontou incongruências em sua utilização para algumas localidades como a Serra de Ibitipoca (MG) ou a Morraria de Urucum (MS). O autor comenta sobre a necessidade de refinamento

dos estudos para fins de classificação da vegetação em áreas que apresentam elevada heterogeneidade ambiental. Carmo & Jacobi (2013) também apontaram problemas relacionados à nomenclatura incerta e imprecisa da vegetação associada aos afloramentos ferruginosos (cangas).

Em regiões geodiversas como o QF, em que vários litotipos afloram lado a lado, torna-se imprescindível a adoção de métodos adequados e de refinamento da escala de investigação para uma caracterização mais precisa das diferentes comunidades de plantas. Esta ação é estratégica, por exemplo, para as políticas públicas ambientais, pois o refinamento na localização e na caracterização da diversidade biológica é fundamental para que os tomadores de decisão priorizem adequadamente os alvos de conservação das futuras áreas protegidas (Dinerstein *et al.*, 2005).

O objetivo geral desta tese foi explorar padrões de diversidade e estrutura de comunidades de plantas e relacioná-los aos padrões edáficos/topográficos dos afloramentos rochosos, identificando diferenças ecológicas entre as comunidades sobre canga, quartzito, granito e gnaisse. Para isso, foram investigados 13 afloramentos distribuídos em seis serras do Quadrilátero Ferrífero (Fig. 1) e realizadas listas florísticas nas localidades ainda pouco estudadas.

Foram produzidos cinco capítulos, cada um representando objetivos específicos da tese. O Capítulo 1, publicado no periódico *Rodriguésia*, trata da caracterização e do contexto fitogeográfico da vegetação sobre as cangas. O Capítulo 2, a ser submetido ao *Check-List*, representa uma lista florística da vegetação em granito, gnaisse e quartzitos. O Capítulo 3, submetido ao *Journal of Vegetation Science*, objetivou responder duas questões: 1) variações em fina escala do substrato rochoso condicionam a estrutura e diversidade das comunidades de plantas? 2) como definir a escala adequada para mensurar a heterogeneidade do substrato rochoso? O Capítulo 4 investigou se a composição de espécies de Asteraceae e de Poaceae é influenciada pelas propriedades de solos desenvolvidos sobre diferentes afloramentos. Planeja-se submetê-lo ao periódico *Folia Geobotanica*. O Capítulo 5 também investigou os padrões de diversidade e estrutura de comunidades de plantas em diferentes afloramentos rochosos. Porém, foram utilizados desenho amostral, ferramentas de análise e escala (maior) diferentes dos adotados no Capítulo 3. Planeja-se submetê-lo ao periódico *Plant Ecology*.

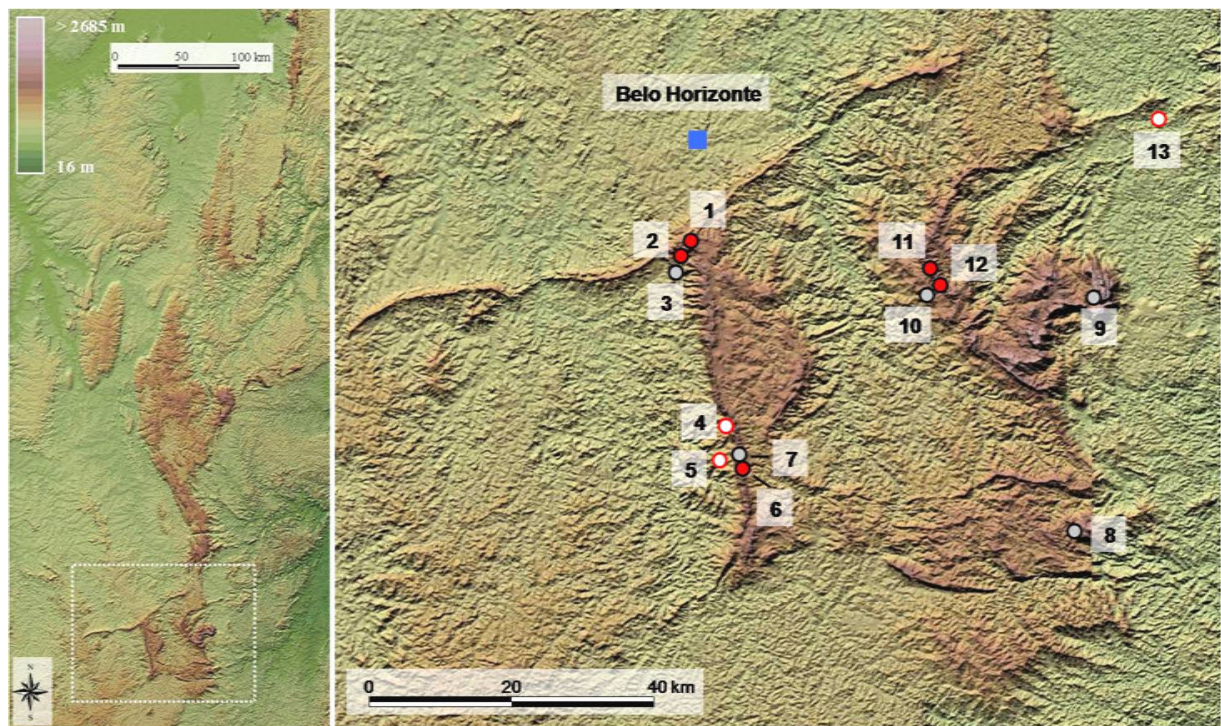


Figura 1 – Relevo da região da Cadeia do Espinhaço, MG. Em destaque o Quadrilátero Ferrífero. Foram investigados 13 afloramentos rochosos. Três afloramentos na Serra do Rola Moça: 1 e 2) cangas; 3) quartzito. Quatro afloramentos na Serra da Moeda: 4 e 5) gnaisses; 6) canga; 7) quartzito. Os afloramentos de quartzito 8 e 9 estão localizados, respectivamente, nas Serras do Itacolomi e do Caraça. O afloramento 10 (quartzito) está localizado na Serra de Água Limpa. Dois afloramentos de canga na Serra de Gandarela: 11 e 12. O afloramento 13 (granito) está localizado na Estação Ambiental de PETI. Adaptado de Miranda (2005).

Referências Bibliográficas

- Bussel, J.D. & James, S.H. 1997. Rocks as museums of evolutionary processes. *Journal of the Royal Society of Western Australia*, 80: 221-229.
- Caiafa, A.N. & Silva, A.F. 2007. Structural analysis of the vegetation on a highland granitic rock outcrop in Southeast Brazil. *Revista Brasileira de Botânica*, 30: 657-664.

- Carmo, F.F. 2010. *Importância Ambiental e Estado de Conservação dos Ecossistemas de Cangas no Quadrilátero Ferrífero e Proposta de Áreas-Alvo para a Investigação e Proteção da Biodiversidade em Minas Gerais*. Dissertação. ICB/UFMG. 98 pp.
- Carmo, F.F. & Jacobi, C.M. 2012. Plantas vasculares em Cangas. In Jacobi, C.M. & Carmo, F.F. (Eds.) *Diversidade Florística nas Cangas do Quadrilátero Ferrífero*. Ed. IDM, Belo Horizonte. 43-50.
- Carmo, F.F. & Jacobi, C.M. 2013. A vegetação de canga no Quadrilátero Ferrífero, Minas Gerais: caracterização e contexto fitogeográfico. *Rodriguésia*, 64: 527-541.
- Carmo, F.F., Carmo, F.F., Campos, I.C. & Jacobi, C.M. 2012. Cangas: ilhas de ferro estratégicas para a conservação. *Ciência Hoje*, 295: 48-53.
- Dinerstein, E., G.J. Schipper & D.M. Olson. 1995. *A Conservation Assessment of the Terrestrial Ecoregions of Latin America and the Caribbean*. WWF, Washington DC, EUA. 177 pp.
- Drummond, G.M., Martins, C.S., Machado, A.B.M., Sebaio, F.A. & Antonini, Y. (Orgs.). 2005. *Biodiversidade em Minas Gerais - Um Atlas para Sua Conservação*. 2^a ed. Belo Horizonte, Fundação Biodiversitas. 222 p.
- Fiaschi, P. & Pirani, J.R. 2009. Review of plant biogeographic studies in Brazil. *Journal of Systematics and Evolution*, 47: 477-496.
- Giulietti, A.M., Menezes, N.L., Pirani, J.R., Meguro, M. & Wanderley, M.G.L. 1987. Flora da Serra do Cipó, Minas Gerais: caracterização e lista de espécies. *Boletim de Botânica da Universidade de São Paulo*, 9: 1-151.
- Giulietti, A.M., Pirani J.R. & Harley, R.M. 1997. Espinhaço Range Region, Eastern Brazil. In: S.D. Davis, V.H. Heywood, O. Herrera-MacBryde, J. Villa-Lobos & A.C. Hamilton (eds.) *Centres of plant diversity. A guide and strategies for conservation*, V. 3. *The Americas*. pp. 397-404. WWF/IUCN, Cambridge.
- Giulietti, A.M., Rapini, A., Andrade, M.J.G., Queiroz, L.P. & Silva, J.M.C. (Org.). 2009. *Plantas Raras do Brasil*. Conservation International, Belo Horizonte. 496 p.
- Huggett, R.J. 1995. *Geoeology an evolutionary approach*. Routledge, London. 320 p.
- Kruckeberg, A.R. 2004. *Geology and Plant Life: The Effects of Landforms and Rock Types on Plants*. University of Washington Press. Seattles, USA. 363 p.
- Miranda, E.E. (Coord.) 2005. *Brasil em Relevo*. Campinas: Embrapa Monitoramento por Satélite. Disponível em: <http://www.relevobr.cnpm.embrapa.br>.
- MMA - Ministério do Meio Ambiente. 2008. *Áreas Prioritárias para Conservação, Uso Sustentável e Repartição de Benefícios da Biodiversidade Brasileira: Atualização* -

- Portaria MMA nº9, de 23 de janeiro de 2007. / Ministério do Meio Ambiente, Secretaria de Biodiversidade e Florestas. – Brasília: MMA, (Série Biodiversidade, 31), 327 pp.
- Moura, I.O. Ribeiro, K.T. & Takahasi, A. 2011. Amostragem da vegetação em ambientes rochosos. In. Felfili, J.M., Eisenlohr, P.V., Melo, M.M.R.F., Andrade, L.A. & Meira-Neto, J.A.A. (Eds.) *Fitossociologia no Brasil, métodos e estudos de casos*. Vol. I. Viçosa. Ed. UVF. 255-294 pp.
- Mourão, M.A.A. 2007. *Caracterização hidrogeológica do aquífero Cauê, Quadrilátero Ferrífero, MG*. Tese. IGC – UFMG. 297 f.
- Rapini, A., Ribeiro, P.L. & Pirani, J.B. 2008. A flora dos campos rupestres da Cadeia do Espinhaço. *Megadiversidade*, 4: 16-23.
- Safford, H.D. & Martinelli, G. 1999. Southeast Brazil. In: Porembski, S. & Barthlott, W. (Eds.). 2000. *Inselbergs. Biotic diversity of isolated rock outcrops in tropical and temperate regions*. Springer-Verlag, Berlim, 339-389 p.
- Silva, A.C., Horák, I., Cortizas, A.M., Vidal-Torrado, P., Grazziotti, P.H., Silva, E.B. & Ferreira, C.A. 2009. Turfeiras da Serra do Espinhaço Meridional. I Caracterização e classificação. *Revista Brasileira de Ciência do Solo*, 33: 1385-1398.
- Szarzynsky, J. 2000. Xeric islands: environmental conditions on Inselbergs. In: Porembski, S. & Barthlott, W. (eds.) *Inselbergs: biotic diversity of isolated rock outcrops in Tropical and Temperate regions*. Springer, New York. 37-48 pp.
- Vasconcelos, M.F. 2011. O que são campos rupestres e campos de altitude nos topos de montanha do leste do Brasil? *Revista Brasileira de Botânica*, 34, 241-246.
- Veloso, H.P., Rangel Filho, A.L.R. & Lima, J.C.A. 1991. *Classificação da vegetação brasileira, adaptada a um sistema universal*. Instituto Brasileiro de Geografia e estatística, Rio de Janeiro.

CAPÍTULO 1

A VEGETAÇÃO DE CANGA NO QUADRILÁTERO FERRÍFERO, MINAS GERAIS: CARACTERIZAÇÃO E CONTEXTO FITOGEOGRÁFICO¹

Flávio Fonseca do Carmo & Claudia Maria Jacobi¹

Instituto de Ciências Biológicas, Universidade Federal de Minas Gerais, UFMG. ¹Professor Associado, Instituto de Ciências Biológicas, Universidade Federal de Minas Gerais, UFMG.

Resumo: A vegetação nas cangas (afloramentos ferruginosos) abriga dezenas de espécies raras, várias novidades taxonômicas e elevada diversidade alfa e beta. Utilizando um banco de dados constituído por 1.080 táxons de angiospermas, a vegetação associada às cangas no Quadrilátero Ferrífero foi caracterizada a partir dos elementos florísticos, das formas de crescimento e das fisionomias mais frequentes. Analisou-se a distribuição geográfica e os domínios fitogeográficos de 980 espécies. Ainda, com o objetivo de verificar se há distinção entre a vegetação das cangas em relação às de cinco áreas inseridas em sistemas rupestres de Minas Gerais e Bahia, analisou-se a similaridade a partir do número de espécies de 920 gêneros de angiospermas. Em comparação aos sistemas quartzíticos, principalmente os inseridos na Cadeia do Espinhaço, pode-se distinguir a vegetação das cangas pela maior influência de elementos florísticos do domínio Atlântico, maior frequência de sinúsias formadas por árvores e arbustos, riqueza elevada de espécies de gêneros como *Solanum* e *Cattleya* e pouca representatividade fisionômica de alguns gêneros típicos dos campos rupestres. Essa distinção parece correlacionar-se com a localização geográfica do Quadrilátero e com as características geomorfológicas e mineralógicas das cangas.

Palavras-chave: sistemas rupestres, Cadeia do Espinhaço, vegetação metalófila, geossistema ferruginoso, afloramentos ferruginosos

Introdução

Os sistemas rochosos constituem geoformas muito antigas e geralmente sustentam uma flora relictual controlada edaficamente e caracterizada pelo elevado número de endemismos (Bussel & James 1997; Giulietti *et al.* 1997; Kruckeberg 2004; Vincent & Meguro 2008). Scarano (2007), ao discutir o panorama da produção do conhecimento sobre a vegetação associada aos afloramentos rochosos, destaca a necessidade urgente de acelerar estudos nesses ambientes, em especial nas áreas de cangas. Estas áreas constituem um dos sistemas menos conhecidos, onde a principal causa de perda de habitat e degradação deve-se à abertura de dezenas de cavas de extração de minério de ferro (Carmo *et al.* 2012).

¹ Artigo publicado no periódico *Rodriguésia* (2013)

As cangas são afloramentos formados há milhões de anos resultante do intemperismo de rochas ferríferas subjacentes - tais como os itabiritos e diamictitos ferruginosos - e posterior enriquecimento de ferro, resultando em couraças que podem atingir dezenas de metros de espessura e se estender por milhares de hectares (Dorr II 1969; Schobbenhaus & Coelho 1986; Castro 2008). A vegetação associada às cangas abriga dezenas de espécies raras (*sensu* Giulietti *et al.* 2009), várias destas novas para a ciência, e elevada diversidade alfa e beta (Viana & Lombardi 2007; Jacobi & Carmo 2008a; Jacobi & Carmo 2012). Apesar disto, estas áreas possuem representatividade insignificante dentro do sistema nacional de unidades de conservação de proteção integral (Jacobi *et al.* 2011).

As couraças ferruginosas localizam-se predominantemente no estado de Minas Gerais, principalmente no Quadrilátero Ferrífero e ao longo da vertente leste da Cadeia do Espinhaço. Outras localidades relevantes são a Serra de Carajás (Pará), a Morraria do Urucum (Mato Grosso do Sul) e a região de Caetité (Bahia) (Carmo *et al.* 2012). Com freqüência, as cangas distribuem-se insularmente nas porções mais altas do relevo, recobrindo jazidas de minério de ferro e constituindo extensos platôs interconectados por vales e escarpas (Dorr II 1969; Carmo *et al.* 2011).

Fundamentados nas peculiaridades geomorfológicas, hidrogeológicas, paleoambientais e na singularidade das comunidades de plantas e invertebrados associados às formações ferríferas e as cangas, Jacobi *et al.* (no prelo) sugeriram agrupar estas áreas metalíferas sob o termo geossistema ferruginoso. Foi adotado o conceito de geossistema (Bertrand 1972), e não o de ecossistema, porque além de incluir o conceito de complexos rupestres de Semir (1991), abrange ainda as interações entre os processos climatológicos, geomorfológicos, biológicos e antrópicos como estruturadores de uma paisagem dinâmica (Rodrigues 2001).

Vários termos foram propostos para denominar a vegetação associada às cangas, como campos ferruginosos (Rizzini 1979), savana metalófila (Porto & Silva 1989), vegetação metalófila (Silva 1992), campos rupestres ferruginosos (Mourão & Stehmann 2007; Viana & Lombardi 2007) e vegetação de bancada laterítica (Silva & Tozzi 2011). Até hoje a nomenclatura permanece incerta e imprecisa, e este cenário demanda uma sistematização do conhecimento gerado para subsidiar uma caracterização mais precisa da vegetação. Da perspectiva da conservação do patrimônio biológico, esta ação é estratégica, pois o refinamento na localização e na caracterização da biodiversidade brasileira é fundamental para que os tomadores de decisão priorizem objetivamente os alvos de conservação das futuras áreas protegidas (Dinerstein *et al.* 2005).

Este trabalho tem como objetivos: realizar uma classificação mais precisa da vegetação associada às cangas no Quadrilátero Ferrífero a partir da análise dos elementos florísticos, de suas formas de crescimento e das fisionomias mais frequentes; e investigar se há distinção florística e fitogeográfica entre essa vegetação em relação à vegetação de cinco áreas inseridas em sistemas rupestres em Minas Gerais e Bahia.

Material e Métodos

No Quadrilátero Ferrífero, região central de Minas Gerais, compõem o geossistema ferruginoso rochas com alta concentração de ferro, constituintes das Formações Cauê e Gandarela (Grupo Itabira, Supergrupo Minas), e as cangas que as recobrem. O termo canga, na verdade uma corruptela de tapanhoacanga, foi introduzido na nomenclatura geológica por Wilhelm Ludwig von Eschwege no inicio do século XIX, juntamente com a definição do termo itabirito, a partir de descrições de amostras coletadas em localidades-tipo inseridas no Quadrilátero Ferrífero (Renger 2005). Essa localidade abrangia originalmente cerca de 185 km² de cangas (Baltazar 2005).

Um banco de dados foi constituído a partir de estudos florísticos exclusivos de cangas no Quadrilátero Ferrífero situadas entre 900 e 1.850 m, predominando os afloramentos localizados acima de 1.400 m (Jacobi *et al.* 2007; Mourão & Stehmann 2007; Viana & Lombardi 2007; Jacobi & Carmo 2012). Foram incluídas as espécies afins de outros táxons, variedades e espécies novas para a ciência e excluídas as exóticas e invasoras, resultando em 1.080 táxons de angiospermas, distribuídos em 102 famílias e 418 gêneros.

Caracterização da Vegetação sobre as cangas

A vegetação foi caracterizada de acordo com a descrição das principais sinússias e as formas de crescimento das espécies, composto pela proporção de árvores, arbustos, subarbustos, ervas, palmeiras, parasitas e trepadeiras, adaptado de Viana & Lombardi (2007).

Contexto Fitogeográfico

Foram excluídas as espécies não descritas e os táxons identificados apenas em nível genérico, resultando em 980 espécies. Para cada uma dessas, foram determinados a distribuição geográfica, a partir da ocorrência por estado, e os domínios fitogeográficos seguindo Jacobi & Carmo (2012) e a Lista de Espécies da Flora do Brasil (2012).

Foram comparadas também as relações florísticas entre a vegetação que ocorre nas cangas e em cinco sistemas quartzíticos, dos quais quatro estão inseridos na Cadeia do Espinhaço

(MG/BA), onde predominam os campos rupestres (*sensu* Giulietti *et al.* 1997), e um na Serra de São José (Tab. 1), município de Tiradentes (MG), no limite com a Zona da Mata mineira. Com exceção do presente banco de dados de cangas, composto por espécies exclusivamente inventariadas em afloramentos, todos os outros consideraram também as espécies inventariadas nas fisionomias de cerrado, caatinga e floresta estacional semidecidual. A área total de coleta nas cangas foi o somatório da superfície de 18 afloramentos cuja distância média linear entre eles foi de 39 km.

Tabela 1 – Localização e caracterização das seis áreas contendo sistemas rochosos que integraram o banco de dados do presente estudo.

Local	Altitude máx (m)	Área (km ²)	Angiospermas (nº)			Domínio Fitogeográfico
			Famílias	Gêneros	Espécies	
1.Catolés, Cadeia do Espinhaço, BA(Zappi <i>et al.</i> 2003)	2.033	667	123	584	1.669	Caatinga
2.Pico das Almas, Cadeia do Espinhaço, BA (Stannard 1995)	1.958	170	110	396	994	Caatinga
3.Grão-Mogol, Cadeia do Espinhaço, MG (Pirani <i>et al.</i> 2003)	1.250	100	111	452	1.078	Cerrado
4.Serra do Cipó, Cadeia do Espinhaço, MG (Giulietti <i>et al.</i> 1987)	1.500	200	122	508	1.555	Cerrado
5. Quadrilátero Ferrífero, MG	1.880*	6*	102	418	1.080	Mata [#] Atlântica
6.Serra de São José, MG (Alves & Kolbek, 2009)	1.430	25	108	428	1.077	Mata Atlântica

* para ocorrência de cangas – * for cangas occurrences

[#]Spósito & Stehmann (2006); Fundação SOS Mata Atlântica (2011)

A análise de classificação baseou-se em uma matriz de similaridade em nível genérico. Para as seis localidades foi encontrado um total de 920 gêneros de angiospermas. Cada gênero foi quantificado pelo número de espécies (incluindo espécies afins, variedades e espécies novas para a ciência) extraídos das listas florísticas. Foi necessária atualização nomenclatural, seguindo a Lista de Espécies da Flora do Brasil (2012), uma vez que as floras foram

publicadas ao longo dos últimos 25 anos, trazendo diferentes delimitações no nível genérico. Entre as atualizações estão as de espécies de *Vernonia* atualmente estabelecidas, por exemplo, em *Lepidaploa*, *Lessingianthus* e *Vernonanthura*; *Panicum* em *Apoclooa* e *Ocellochloa*; *Maxillaria* em *Christensonella*.

Realizou-se, com auxílio do programa PAST (Hammer *et al.* 2001), uma análise de agrupamentos por médias não ponderadas (UPGMA) e o índice de similaridade de Bray-Curtis. A robustez dos grupos foi verificada através de 5.000 repetições aleatórias onde, para cada raiz de um agrupamento, foi informada a porcentagem de vezes que incluiu um mesmo conjunto de objetos.

Para cada uma das localidades foram identificados os 25 gêneros com maior riqueza específica e foram construídos diagramas ternários para visualizar o posicionamento destes gêneros ao longo de um gradiente, ou setores fitogeográficos. O posicionamento de um gênero no diagrama foi estabelecido a partir de três coordenadas geradas pela soma da proporção relativa da sua frequência encontrada nas duas localidades inseridas no Espinhaço baiano (domínio da Caatinga); duas no Espinhaço mineiro (domínio do Cerrado); e duas no setor centro-sul mineiro (domínio da Mata Atlântica). Dessa forma, quanto mais próximo um gênero estiver de um vértice, maior a influência fitogeográfica do domínio representado. A frequência total foi definida como a soma do número de vezes que as espécies ocorreram nas localidades.

Resultados e Discussão

Caracterização da vegetação sobre as cangas

As ervas (37%) constituem a forma de crescimento mais frequente entre as espécies, seguida pelos arbustos (21%), subarbustos (20%), árvores (11%) e trepadeiras (10%). Parasitas e palmeiras somam 1% (Fig. 1). As espécies herbáceas foram mais frequentes entre as famílias Poaceae (99), Orchidaceae (79), Cyperaceae (43), Bromeliaceae (28) e Eriocaulaceae (27). Em geral, o componente herbáceo não forma um estrato contínuo ao longo das couraças, praticamente não ocorrendo nos setores onde o elevado grau de cimentação da canga determina um substrato bastante compacto e conhecido como lajeado. Nesses setores, as espécies rupícolas predominantes são as de crescimento clonal, destacando-se as ilhas de *Trilepis lhotzkiana* Nees (Cyperaceae), *Acianthera teres* (Lindl.) Borba (Orchidaceae) e *Vellozia* spp. (Velloziaceae).

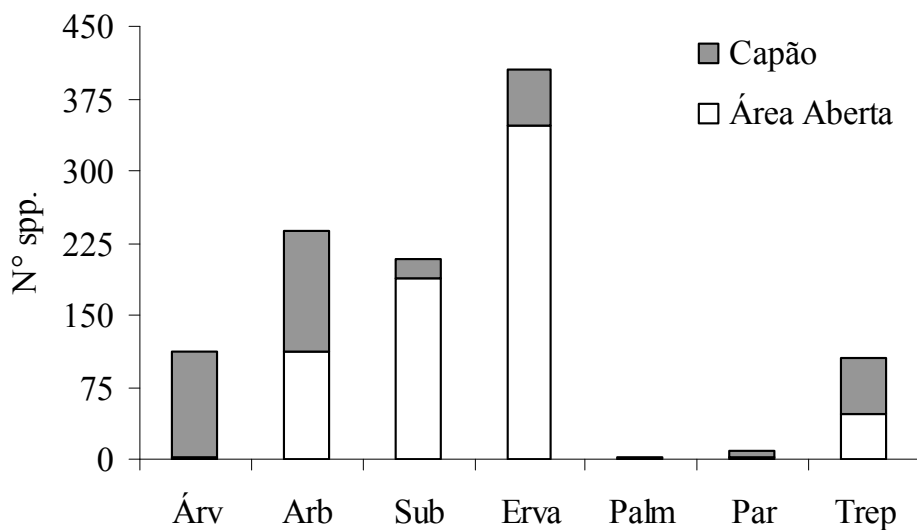


Figura 1 - Formas de crescimento da vegetação em cangas do Quadrilátero Ferrífero, MG. Árv: árvore; Arb. Arbusto; Sub: subarbusto; Palm: palmeira; Par: parasita; Trep: trepadeira.

As espécies arbustivas mais frequentes pertencem a Asteraceae (28), Solanaceae e Melastomataceae (27 cada), Verbenaceae (20) e Malpighiaceae (16). Asteraceae e Rubiaceae caracterizaram-se pela maior riqueza de espécies subarbustivas, com 93 e 23 respectivamente. As trepadeiras foram mais frequentes entre as Apocynaceae (31), Asteraceae (15) e Fabaceae (10). Lorantaceae e Santalaceae apresentaram ao total seis espécies hemiparasitas e Apodanthaceae e Convolvulaceae somaram duas holoparasitas. Entre as árvores, destacam-se pela riqueza específica as famílias Myrtaceae (29), Melastomataceae (15) e Lauraceae (14). Pelo mesmo critério, destacam-se os gêneros *Myrcia* (15), *Miconia* (14) e *Ocotea* (8).

A contribuição relativa de algumas formas de crescimento pode variar bastante tanto entre as cangas quanto ao longo da superfície de uma mesma couraça. As espécies arbóreas, arbustivas e as trepadeiras, por exemplo, ocorrem concentradas em sinúsias associadas a vestíbulos de cavernas (clarabóias), a grandes depressões e fendas no substrato que, dependendo da canga, distribuem-se de forma agregada ou aleatória no espaço. Estas sinúsias podem assumir desde um aspecto semelhante ao escrube descrito por Caiafa & Silva (2005) até a fisionomia e porte de um capão de mata, com algumas árvores atingindo 15 m de altura como as Fabaceae *Abarema obovata* (Benth.) Barneby & J.W. Grimes e *Copaifera langsdorffii* Desf. e a Myrtaceae *Calyptranthes clusiifolia* O. Berg. Esses ambientes representam em média de 10% a 30% da área total de uma couraça (Carmo & Jacobi 2012), raramente somando mais de 50% da superfície de uma canga. Entre os gêneros mais numerosos contendo espécies arbustivas e frequentemente associados a essas sinúsias estão

Solanum (13), *Leandra* (8), *Symplocos* (7) e *Psychotria* (6). Entre as epífitas, predominam os gêneros *Tillandsia* (6) e *Peperomia* (4) e entre as trepadeiras, predominam *Mikania* (14), *Passiflora* (6), *Dioscorea* e *Serjania* (4 cada).

Quando na couraça ocorre elevada quantidade de fissuras e fendas, os gêneros mais característicos da vegetação graminóide e com a maior riqueza específica são *Paspalum* e *Panicum* (13 cada), *Rhynchospora* (11), *Andropogon* e *Axonopus* (8 cada). Nesses setores, a estrutura horizontal da vegetação é geralmente dominada pelos arbustos (Rizzini 1979; Viana & Lombardi 2007; Jacobi *et al.* 2008b) que se desenvolvem mesmo na ausência de solo na superfície das couraças. Entre eles, os gêneros com a maior riqueza específica foram *Stachytarpheta* (7), *Byrsonima* e *Lippia* (6), *Baccharis*, *Lychnophora* e *Mimosa* (4 cada). Provavelmente, o predomínio dos arbustos na fisionomia geral também está relacionado a uma das características mais singulares das cangas, a presença de milhares de micro e mesocavidades (centimétricas) que contribuem, juntamente com as centenas de macrocavernas já inventariadas, para a elevada heterogeneidade espacial subsuperficial.

Onde a umidade permanece elevada durante todo o ano, como vestíbulos de cavernas, canais de drenagem, lagoas e brejos, os gêneros mais abundantes e habitualmente encontrados são *Paepalanthus* (16), *Xyris* (15), *Habenaria* (8) e *Eleocharis* (5). As lagoas e brejos estão restritos a poucas cangas no Quadrilátero Ferrífero, abrangendo uma área total estimada menor que 300 ha. Constituem os únicos ambientes brejos conhecidos no Brasil e desenvolvidos nos geossistemas ferruginosos que podem atingir cotas altitudinais superiores a 1.300 m.

Todas essas características geomorfológicas e topográficas, gerando diversos tipos de habitats, contribuem para a elevada variabilidade entre as proporções relativas de cada forma de crescimento e, portanto, para a variabilidade fisionômica entre e dentro das cangas. Essa relação entre a heterogeneidade espacial e a variação na estrutura e na composição da vegetação em sistemas rochosos é bem estabelecida na literatura brasileira (Ribeiro & Medina 2002; Caiafa & Silva 2005; Conceição & Pirani 2005). O que distingue as cangas da maioria dos sistemas rochosos conhecidos é sua heterogeneidade espacial subsuperficial que favorece uma relevante parcela da biomassa vegetal, representada pelo sistema radicular, a desenvolver-se pelos espaços das cavidades subterrâneas e pelas fendas, formando estruturas excepcionais como rizotemas e tufo suspensos no seu interior (Ferreira 2005; Carmo & Jacobi 2012).

Contexto Fitogeográfico

De acordo com a distribuição geográfica, as espécies inventariadas nas cangas foram inseridas em cinco grupos: Grupo 1) espécies restritas ao estado de Minas Gerais (17%), a maioria exclusivamente associada aos ambientes rupestres da Cadeia do Espinhaço, e com cerca de 60 espécies endêmicas do Quadrilátero Ferrífero (Jacobi & Carmo, 2012); Grupo 2) espécies que ocorreram nos estados de MG e BA (3%), predominantemente na Cadeia do Espinhaço; Grupo 3) espécies restritas à região Sudeste (8%); Grupo 4) espécies com ampla distribuição, porém ainda exclusivas do Brasil (37%); Grupo 5) espécies não exclusivas do Brasil (35%). Incluem-se neste último as espécies subespontâneas, tais como *Emilia fosbergii* Nicolson, *Hypoxis decumbens* L. e *Solanum americanum* Mill.

Na Cadeia do Espinhaço, diversos autores identificaram cinco padrões de distribuição geográfica para as espécies de campos rupestres: espécies endêmicas do Espinhaço; espécies disjuntas entre o Espinhaço e áreas rupestres em Goiás; disjunção entre o Espinhaço e a restinga; disjunção entre o Espinhaço e os tepuis do norte da América do Sul; e espécies de ampla distribuição geográfica (Giulietti *et al.* 1987; Harley 1995; Rapini *et al.* 2008). Dois desses padrões foram nitidamente observados nas cangas: espécies endêmicas da Cadeia do Espinhaço e espécies amplamente distribuídas. Os outros três padrões não foram claramente estabelecidos para as couraças ferruginosas. Apenas duas das 980 espécies inventariadas também ocorrem em áreas disjuntas nas restingas do leste do Brasil (segundo Alves *et al.* 2007), 23 espécies em áreas disjuntas em Goiás, e três espécies ocorrem também nos tepuis (segundo Harley 1995; Alves *et al.* 2007).

Os domínios fitogeográficos com maior influência na vegetação associada às cangas foram a Mata Atlântica e o Cerrado. Do total de espécies, 18% foram exclusivas do domínio Atlântico. No componente arbustivo-arbóreo são freqüentes os elementos florísticos característicos dos topos de montanhas do leste do país, como *Calyptranthes clusiifolia* O. Berg, *Eremanthus incanus* (Less.) Less., *Geonoma schottiana* Mart e *Symplocos celastrinea* Mart. Elementos característicos das matas nebulares (*sensu* Valente *et al.*, 2011) do domínio Atlântico são igualmente habituais, como *Clethra scabra* Pers., *Drimys brasiliensis* Miers, *Guapira opposita* (Vell.) Reiz, *Psychotria stachyoides* Benth. e *Weinmannia paulliniifolia* Pohl ex Ser. (Oliveira-Filho & Fontes 2000; Pereira *et al.* 2006). No componente herbáceo das áreas abertas, destaca-se na fisionomia a espécie endêmica das cangas do Quadrilátero *Paspalum brachytrichum* Hack.

As espécies exclusivas do domínio Cerrado totalizaram 16%, a maioria ocorrendo na Cadeia do Espinhaço mineiro e nos estados de Goiás e São Paulo. As espécies desse grupo estão associadas frequentemente ao componente herbáceo-arbustivo das áreas abertas, como

Aspilia subpetiolata Baker, *Calea rotundifolia* (Less.) Baker, *Galianthe angustifolia* (Cham. & Schltdl.) E.L. Cabral e *Hyptis rotundifolia* Benth. Entre os gêneros com mais espécies estão *Cattleya*, *Stachytarpheta* e *Vellozia*.

As espécies que ocorrem tanto no Cerrado quanto na Mata Atlântica somam 20% do total e predominam em duas sinúsias: a arbustivo-arbórea e a campestre. *Leandra aurea* (Cham.) Cogn. e *Vochysia emarginata* (Vahl) Poir. integram o primeiro componente. *Chromolaena decumbens* Gardner e *Sporobolus reflexus* Boechat & Longhi Wagner inserem-se no segundo componente da vegetação.

As espécies que ocorrem nos domínios Mata Atlântica, Cerrado e Caatinga somaram 12% do total. Integram esse grupo *Chaptalia integrifolia* (Vell.) Burkart, *Diodella radula* (Willd. ex Roem. & Schult.) Delporte, *Matelea pedalis* (E.Fourn.) Fontella & E.A.Schwarz, *Pfaffia jubata* Mart e *Symplocos oblongifolia* Casar. As espécies que se distribuem entre as várias combinações fitogeográficas somam 34% do total (Tab. 2) e, entre elas, estão *Anthurium scandens* (Aubl.) Engl., *Baccharis retusa* DC., *Bulbostylis capillaris* (L.) C.B. Clarke, *Centropogon cornutus* (L.) Druce, *Pyrostegia venusta* (Ker Gawl.) Miers e *Tripodanthus acutifolius* (Ruiz & Pav.) Tiegh.

Nas cangas, uma relevante fração das espécies consideradas de ampla distribuição no Brasil (Grupo 4, 37% do total) tem na realidade seus limites de ocorrência concentrados no leste do país, o que claramente relaciona-se com a inserção geográfica do Quadrilátero Ferrífero, no contato da Mata Atlântica com o Cerrado e recebendo uma forte influência de elementos florísticos característicos desses domínios fitogeográficos.

O problema da escala na definição de padrões fitogeográficos quando a informação limita-se a unidades políticas já foi apontado por Alves & Kolbek (2010). Entre os reflexos diretos desse viés estão a superestimativa da amplitude das áreas de ocorrência e a falta de distinção entre os ambientes ou habitats, principalmente quando o foco do estudo são as plantas exclusivas a certos tipos de substratos ou limitadas a elevadas cotas altitudinais. Nessas situações, as populações de espécies geralmente distribuem-se em áreas restritas que podem, por sua vez, estar insularmente distribuídas por enormes extensões. Assim, um refinamento da informação sobre os locais e os habitats das espécies inventariadas nas cangas, consideradas no presente trabalho de ampla distribuição, poderá contribuir para uma melhor delimitação da sua área de ocorrência. Ao mesmo tempo, poderá contribuir para uma distinção mais evidente entre um grupo de espécies restrito aos sistemas rupestres (elementos florísticos de formações azonais), um grupo exclusivo das formações zonais e um grupo de

espécies que pode ocorrer em ambos e, portanto, constituído por elementos florísticos generalistas.

Tabela 2 – Domínios fitogeográficos das espécies inventariadas nas cangas do Quadrilátero Ferrífero, MG. MA: Mata Atlântica; CE: Cerrado; CA: Caatinga; AM: Amazônia; PM: Pampa.

Domínio Fitogeográfico	nº spp.	%
MA	180	18,5
CE	159	16,2
CE; MA	198	20,2
CA; CE; MA	119	12,1
AM; CA; CE ; MA	89	9,1
CA; CE	39	4,0
AM; CE; MA	29	3,0
CE; MA; PM	17	1,7
AM; CA; CE	16	1,6
AM; CE	8	0,8
outros	30	3,0
todos	93	9,5
desconhecido	3	0,3
Total	980	100

De acordo com a análise de similaridade, um agrupamento foi gerado pelas quatro áreas inseridas na Cadeia do Espinhaço, ou província fitogeográfica do Espinhaço (Giulietti *et al.* 1997): Pico das Almas + Catolés agrupando-se a Grão-Mogol e em seguida à Serra do Cipó. As cangas juntamente com a Serra de São José formaram um grupo distinto. Em todos os casos, valores de *bootstrap* entre 77 e 95 indicaram forte coesão entre os agrupamentos formados com similaridades entre 55% e 65% (Fig. 2).

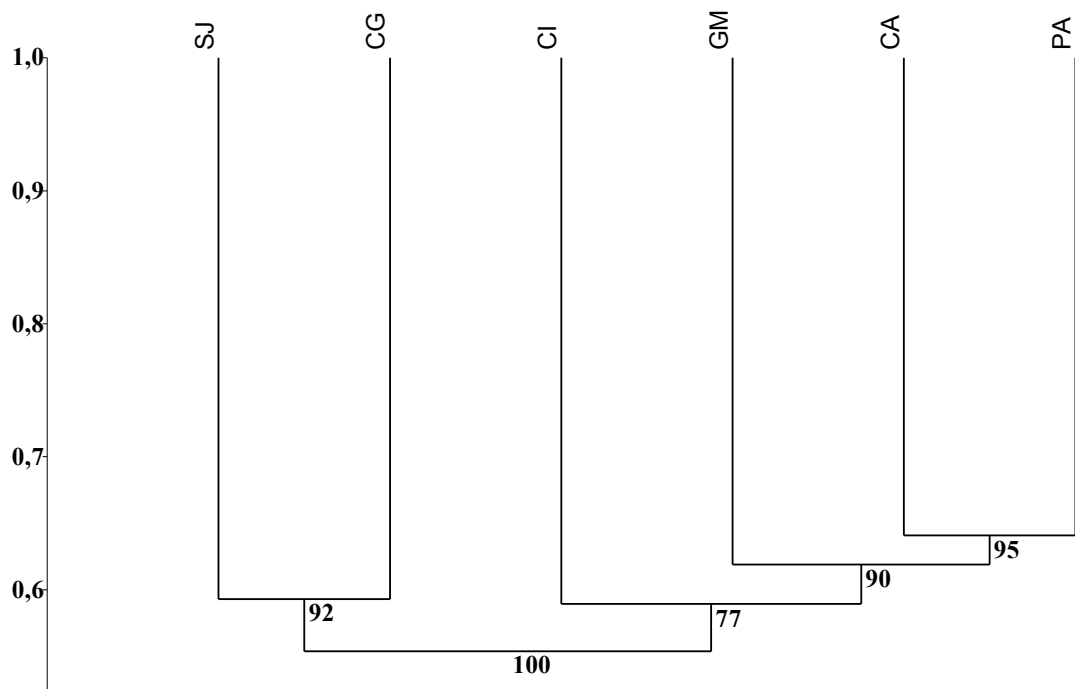


Figura 2 – Dendrograma de similaridade baseado no número de espécies de 920 gêneros de angiospermas (UPGMA; coeficiente de similaridade Bray-Curtis: cc 0,884). *Bootstrap*: 5000 repetições. SJ: Serra de São José; CG: Cangas; CI: Serra do Cipó; GM: Grão-Mogol; CA: Catolés; PA: Pico das Almas.

Os 25 gêneros com a maior riqueza abrigaram entre 24 e 33% do total de espécies de cada uma das seis localidades e resultaram em um conjunto de 64 gêneros (Tab. 3). *Xyris* foi o gênero mais frequente (139), seguido por *Paepalanthus* (128), *Hyptis* (95), *Chamaecrista* (94), *Microlicia* (93), *Miconia* (86), *Vellozia* (84), *Rhynchospora* (79), *Baccharis* (75) e *Myrcia* (75). Apenas quatro gêneros não ocorreram em todas as localidades. *Agrianthus* ocorreu em Catolés e Pico das Almas, sendo endêmico da Bahia (Ferreira 2012) e predominando nos sistemas rupestres da Chapada Diamantina (Stannard 1995). *Philodendron*, por outro lado, é ausente naquelas duas áreas. *Eriope* não foi amostrado para a S. São José e *Siphocampylus* não ocorreu em Grão-Mogol.

Tabela 3 – Os 25 gêneros de angiospermas com maior número de espécies (cinza) em cada localidade (ver Tabela 1), ordenados a partir dos valores nas cangas do Quadrilátero Ferrífero, MG. Cod.: códigos da Figura 3.

Gênero	Cod.	Mata Atlântica		Cerrado		Caatinga	
		Setor Centro-Sul		Espinhaço MG		Espinhaço BA	
		Cangas	S.S.José	S. Cipó	G. Mogol	P. Almas	Catolés
<i>Solanum</i> (Solanaceae)	so	19	11	1	6	7	10
<i>Baccharis</i> (Asteraceae)		18	11	15	4	14	13
<i>Paepalanthus</i> (Eriocaulaceae)	2	16	10	41	14	15	32
<i>Myrcia</i> (Myrtaceae)		16	8	16	10	10	15
<i>Mikania</i> (Asteraceae)		16	3	16	8	8	18
<i>Xyris</i> (Xyridaceae)	xy	15	11	44	18	31	20
<i>Miconia</i> (Melastomataceae)		14	14	15	13	16	14
<i>Paspalum</i> (Poaceae)	ps	13	5	22	5	5	8
<i>Panicum</i> (Poaceae)		13	4	5	9	14	5
<i>Rhynchospora</i> (Cyperaceae)		11	18	15	12	14	9
<i>Lippia</i> (Verbenaceae)		10	5	18	9	4	20
<i>Microlicia</i> (Melastomataceae)	mc	9	9	21	6	17	31
<i>Polygala</i> (Polygalaceae)		9	8	20	9	9	14
<i>Tibouchina</i> (Melastomataceae)	tb	9	11	12	5	3	9
<i>Ditassa</i> (Apocynaceae)	di	9	6	9	11	3	8
<i>Ocotea</i> (Lauraceae)		9	2	10	4	5	8
<i>Vellozia</i> (Velloziaceae)	ve	8	4	36	14	9	13
<i>Habenaria</i> (Orchidaceae)		8	8	13	4	11	11
<i>Mimosa</i> (Fabaceae)		8	3	12	11	7	11
<i>Leandra</i> (Melastomataceae)	le	8	10	7	2	6	13
<i>Peperomia</i> (Piperaceae)	pp	8	9	4	3	3	12
<i>Stachytarpheta</i> (Verbenaceae)	st	8	3	4	4	4	14
<i>Chromolaena</i> (Asteraceae)		8	4	11	1	4	8
<i>Axonopus</i> (Poaceae)	ax	8	1	16	3	2	4
<i>Andropogon</i> (Poaceae)	an	8	5	3	3	2	4
<i>Cattleya</i> (Orchidaceae)	ct	8	3	3	3	2	3
<i>Chamaecrista</i> (Fabaceae)	6	7	8	23	22	7	27
<i>Epidendrum</i> (Orchidaceae)	ep	7	10	7	3	5	8
<i>Dyckia</i> (Bromeliaceae)	dy	7	5	14	1	2	1

<i>Croton</i> (Euphorbiaceae)	cr	6	11	9	11	10	19
<i>Eugenia</i> (Myrtaceae)	5	6	5	6	11	4	15
<i>Byrsonima</i> (Malpighiaceae)		6	7	13	5	6	5
<i>Tillandsia</i> (Bromeliaceae)		6	7	5	7	4	6
<i>Psychotria</i> (Rubiaceae)		6	3	5	7	5	7
<i>Lessingianthus</i> (Asteraceae)	ls	6	3	13	3	2	6
<i>Cuphea</i> (Lythraceae)		5	7	11	7	5	10
<i>Banisteoripsis</i> (Malpighiaceae)	7	5	3	11	8	4	8
<i>Mandevilla</i> (Apocynaceae)		5	9	5	5	5	7
<i>Senna</i> (Fabaceae)	se	5	3	6	7	2	8
<i>Eleocharis</i> (Cyperaceae)		5	3	3	3	7	1
<i>Hyptis</i> (Lamiaceae)	hy	4	19	16	8	15	33
<i>Lychnophora</i> (Asteraceae)	ly	4	5	13	7	6	10
<i>Gaylussacia</i> (Ericaceae)	gy	4	5	17	5	5	8
<i>Erythroxylum</i> (Erythroxylaceae)	8	4	5	7	13	6	6
<i>Heteropterys</i> (Malpighiaceae)		4	4	5	7	3	10
<i>Barbacenia</i> (Velloziaceae)	ba	3	2	23	4	2	4
<i>Lagenocarpus</i> (Cyperaceae)		3	6	9	1	7	5
<i>Turnera</i> (Turneraceae)	tu	3	3	5	9	3	4
<i>Aspilia</i> (Asteraceae)	as	3	7	4	2	4	3
<i>Syngonanthus</i> (Eriocaulaceae)	sy	2	10	19	8	5	13
<i>Phoradendron</i> (Santalaceae)	po	2	6	4	6	12	17
<i>Cambessedesia</i> (Melastomataceae)	cm	2	3	3	2	7	8
<i>Sebastiania</i> (Euphorbiaceae)	sb	2	1	5	7	5	5
<i>Eryngium</i> (Apiaceae)	eg	2	7	3	2	3	2
<i>Siphocampylus</i> (Campanulaceae)	sp	2	7	4	0	1	1
<i>Utricularia</i> (Lentibulariaceae)	ut	1	9	10	8	13	13
<i>Calliandra</i> (Fabaceae)	cl	1	2	3	4	7	25
<i>Leiothrix</i> (Eriocaulaceae)	lx	1	1	19	5	5	7
<i>Gomphrena</i> (Amaranthaceae)	go	1	4	10	4	8	8
<i>Lavoisiera</i> (Melastomataceae)	lv	1	1	17	3	4	7
<i>Eriope</i> (Lamiaceae)	er	1	0	4	3	9	15
<i>Marcketia</i> (Melastomataceae)	mr	1	1	1	2	7	16
<i>Philodendron</i> (Araceae)	ph	1	7	3	2	0	0
<i>Agrianthus</i> (Asteraceae)	ag	0	0	0	0	7	8

Xyris foi o gênero com a maior riqueza nas localidades da Serra do Cipó (44) e em Pico das Almas (31). *Hyptis* foi o gênero com a maior riqueza em Catolés (33) e na Serra de São José (19) e *Chamaecrista* (22) em Grão-Mogol. Nas cangas, o maior número de espécies correspondeu ao gênero *Solanum* (19), representando a única localidade cujo gênero mais abundante não é característico da vegetação rupestre. Este fato relaciona-se ao elevado número de capões que favorece condições ambientais adequadas para as espécies ecotonais de *Solanum* (Mourão & Stehmann 2007; Jacobi & Carmo 2008a), especialmente quando ocorrem em cotas altitudinais acima de 1.000 m (Valente *et al.* 2011).

Gêneros com centros de diversidade na Cadeia do Espinhaço, tais como *Chamaecrista*, *Hyptis* e *Syngonanthus* (Harley 1996; Costa *et al.* 2008; Rando & Pirani 2011) ou frequentes como *Croton* e *Utricularia* (Harley 1995; Rapini *et al.* 2008) figuram entre os 25 gêneros com a maior riqueza específica nas localidades inseridas em sistemas quartzíticos, mas não entre os 25 encontrados nas cangas do Quadrilátero. Outros gêneros freqüentes nos campos rupestres como *Camarea* e *Drosera* (Mamede 1990; Ferrero & Mello-Silva 2011) ainda não foram amostrados nas couraças ferruginosas do Quadrilátero, embora estejam presentes nas outras cinco localidades (Tab. 1) e também em áreas brejosas desenvolvidas em matriz quartzítica ou filítica localizadas a poucas centenas de metros das cangas inventariadas. Esse padrão pode correlacionar-se com a constituição mineralógica das cangas, basicamente caracterizada pelas elevadas concentrações de minerais metálicos, notadamente o ferro (Silva 1992; Schaefer *et al.* 2008; Vincent & Meguro 2008).

Outra situação que distingue a vegetação das cangas é a pouca influência de elementos florísticos de Eriocaulaceae e Xyridaceae na fisionomia ou aspecto estrutural campestre (Viana & Lombardi 2007; Jacobi & Carmo 2008a; 2008b; Echternacht *et al.* 2012) quando comparado aos sistemas quartzíticos localizados no Espinhaço e na Serra de São José, onde essas sempre-vivas se destacam no estrato herbáceo (Giulietti & Hensold 1990; Harley 1995; Costa *et al.* 2008; Alves & Kolbek 2009). Provavelmente, a ausência de solos arenosos e/ou a menor abrangência de ambientes brejosos reduzem a disponibilidade de habitat adequado ao estabelecimento daquelas famílias nas cangas.

No nível específico, vários levantamentos florísticos destacaram a elevada diversidade beta entre as áreas inventariadas no Espinhaço, principalmente entre as porções baiana e mineira, devido a uma possível barreira migratória representada por uma disjunção de 300 km entre as duas porções (Azevedo & van den Berg 2007; Rapini *et al.* 2008). No presente estudo, a diversidade beta medida a partir das diferenças de riqueza dos gêneros foi relativamente menos pronunciada, agrupando as quatro áreas inseridas na província

fitogeográfica do Espinhaço e segregando-as das cangas e da Serra de São José, apesar das distâncias entre a Serra do Cipó e o Quadrilátero e entre a Serra do Cipó e a Serra de São José serem inferiores a 90 km e 190 km, respectivamente. Os diagramas ternários construídos a partir da frequência dos 25 gêneros com maior riqueza de cada uma das áreas podem auxiliar nessa análise (Fig. 3).

A nuvem de pontos no centro dos diagramas corresponde aos gêneros que obtiveram equivalência nas proporções relativas (entre 25% a 39%) de frequência, independente do domínio fitogeográfico. *A priori*, a frequência desses gêneros relaciona-se mais com a ocorrência de ambientes adequados como, por exemplo, os capões e as áreas brejosas, fornecendo condições favoráveis ao estabelecimento de espécies de *Cuphea*, *Eleocharis*, *Eugenia*, *Habenaria*, *Miconia*, *Mikania*, *Myrcia*, *Ocotea*, *Oxypetalum*, *Passiflora*, *Psychotria*, *Rhynchospora* e *Tillandsia* (Giulietti *et al.* 1987; Harley 1995; Meguro *et al.* 1996; Ritter & Waechter 2004; Carmo & Jacobi 2012). Os gêneros *Baccharis*, *Chromolaena*, *Lagenocarpus*, *Mandevilla* e *Panicum* formam um grupo caracterizado pela elevada representatividade nos sistemas rupestres, campestres e savânicos do centro-leste do Brasil (Giulietti *et al.* 1987; Harley 1995; Pirani *et al.* 2003; Rapini *et al.* 2008; Viana & Filgueiras 2008; Heiden *et al.* 2010) e, portanto, também obtiveram equivalência nas frequências entre as localidades. Todos esses gêneros estão representados nos diagramas apenas pelos seus pontos correspondentes.

Para alguns casos, o posicionamento do gênero no diagrama pode estar diretamente correlacionado à influência de elementos florísticos da matriz circundante. Por exemplo, gêneros muito diversos no Domínio Atlântico como *Leandra*, *Peperomia*, *Philodendron*, *Solanum* e *Tibouchina* (Oliveira-Filho & Fontes 2000; Sakuragui 2000; Monteiro & Guimarães 2008; Goldenberg *et al.* 2012) posicionaram-se no setor Mata Atlântica ou próximos dele. A elevada riqueza de *Axonopus* na Serra do Cipó deve-se à inserção dessa área no Domínio Cerrado, onde o gênero é especialmente abundante (Viana & Filgueiras, 2008). O posicionamento dos gêneros *Chamaecrista*, *Gomphrena*, *Lessingianthus*, *Mimosa* e *Paspalum* próximos aos setores Cerrado ou Caatinga relaciona-se à riqueza específica dos mesmos tanto na vegetação associada aos sistemas rupestres quanto nas fisionomias savânicas do centro-leste do Brasil (Giulietti *et al.* 1997; Simon & Proença 2000; Dematteis & Angulo 2010; Rando & Pirani 2011).

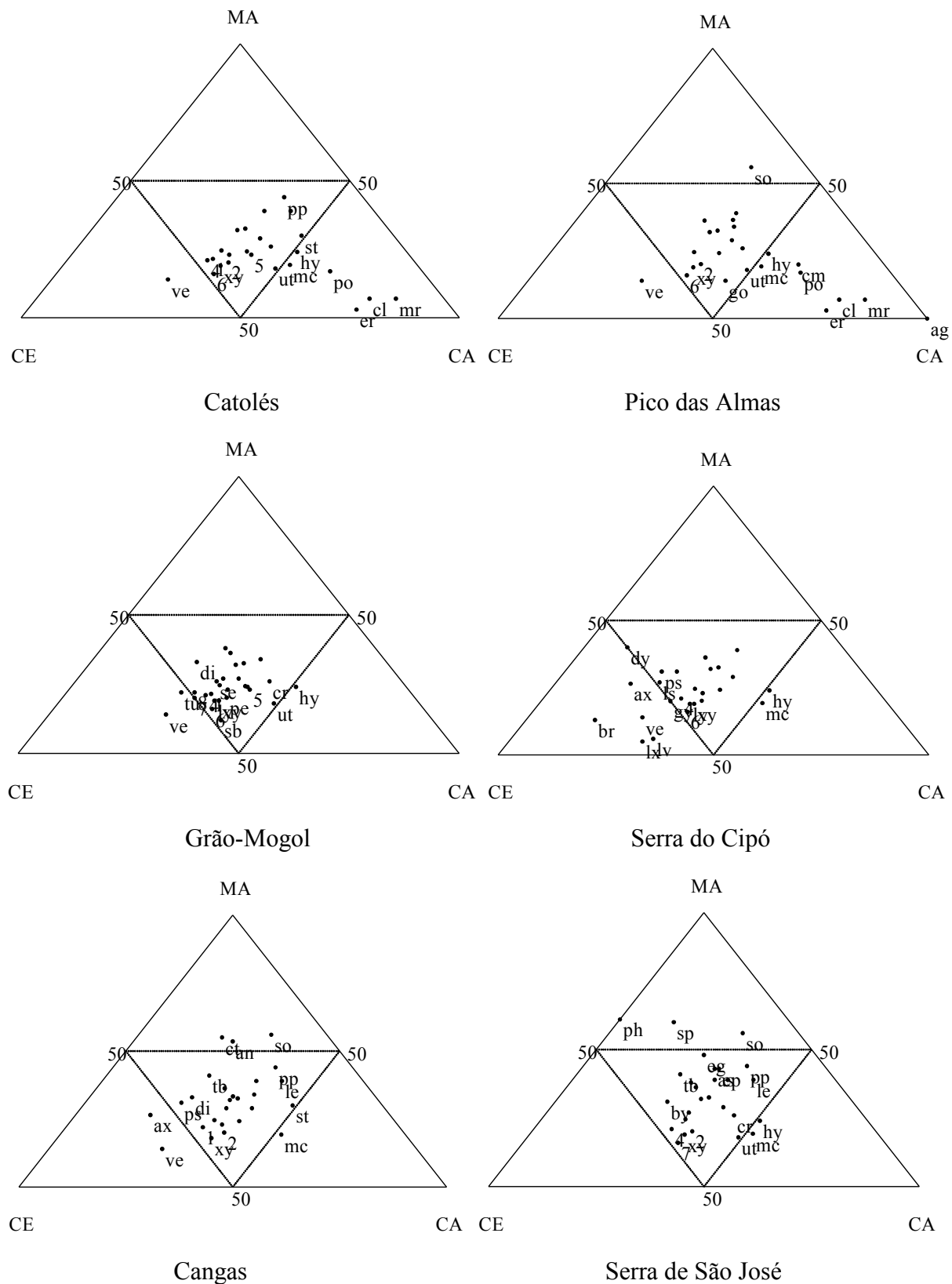


Figura 3 – Diagramas ternários obtidos a partir da frequência dos 25 gêneros com maior riqueza em cada uma das seis áreas investigadas. MA: setor Mata Atlântica; CE: setor Cerrado; CA: setor Caatinga. Consultar a Tabela 3 para a identificação dos códigos.

Por outro lado, centros de diversidade representados principalmente pela Cadeia do Espinhaço estão relacionados ao posicionamento de gêneros como *Barbacenia*, *Dyckia*, *Lavoisiera*, *Leiothrix*, *Vellozia* e *Turnera* no setor Cerrado (Giulietti & Forero 1990; Giulietti & Hensold 1990; Giulietti *et al.* 1997; Rapini *et al.* 2008; Versieux *et al.* 2008; Arbo & Giulietti 2009). Da mesma forma, no setor da Caatinga, centros de diversidade estão relacionados ao posicionamento de *Agrianthus*, *Calliandra*, *Cambessedesia*, *Eriope*, *Hyptis*, *Marcketia* e *Microlicia* (Harley 1996; Romero 2003; Rapini *et al.* 2008). O posicionamento de *Stachytarpheta* sofreu influência do elevado número de espécies encontradas nas cangas (oito) e por isso não foi inserido totalmente no setor da Caatinga, um dos principais centros de endemismo do gênero (Atkins 2005), que concentrou 49% da frequência total observada.

As condições climáticas favoráveis, associadas à latitude ou à altitude, podem contribuir para o posicionamento de alguns gêneros como, por exemplo, *Andropogon* no setor Mata Atlântica. Garcia *et al.* (2009) comentam que temperaturas médias anuais entre 10-20 °C e médias entre 5-15 °C para o inverno são condições adequadas para a tribo Andropogoneae. Estas condições são semelhantes às encontradas no Quadrilátero e na região da Serra de S. José, especialmente nas altitudes acima de 1.200 m (Oliveira-Filho *et al.* 2005; ALMG 2012).

Estudos sobre a similaridade florística e fitogeografia que incluíram as localidades onde predominam os sistemas rupestres da Cadeia do Espinhaço e do Quadrilátero citaram entre os principais determinantes das comunidades vegetais a disponibilidade de habitat, a influência fitogeográfica e geoedáfica (Azevedo & van den Berg 2007; Dutra *et al.* 2008; Viana & Filgueiras 2008; Borges *et al.* 2010; Abreu *et al.* 2011).

A distinção das cangas entre as áreas localizadas na Cadeia do Espinhaço pode indicar - além de uma maior influência florística do Domínio Atlântico - o fator determinístico do substrato. Para a vegetação metalófila em geral (*sensu* Whiting *et al.* 2002), a questão geoedáfica constitui o principal fator estruturador das comunidades (Kruckeberg 2004). Gibson *et al.* (2010) demonstraram alta correlação entre raridade e endemismo na flora associada às formações ferríferas na Austrália, identificando-as como ‘hotspots’ para a diversidade de plantas. No presente estudo, esse fator pode ser especialmente determinante para alguns grupos. *Cattleya*, por exemplo, foi o gênero com o maior número de espécies entre as Orchidaceae inventariadas nas cangas, sendo um terço das espécies endêmicas do Quadrilátero e algumas espécies, mesmo não restritas, concentrando suas populações principalmente nas couraças ferruginosas (Mota *et al.* 2012). O Quadrilátero pode ser considerado um ‘hotspot’ (*sensu* Gibson *et al.* 2010) também para Bromeliaceae, onde as

espécies endêmicas da região atingem um terço do total inventariado nas cangas (Versieux 2011, 2012) e para Convolvulaceae, com 26% das espécies restritas a localidade (Simão-Bianchini 2012).

O fator geoedáfico parece não ter sido predominante para o posicionamento da Serra de São José. Nesta área, em comparação com os outros sistemas quartzíticos, ocorreu considerável similaridade entre a abundância de alguns gêneros típicos dos campos rupestres (Tab. 3) mas, por outro lado, houve entre os 25 gêneros com a maior riqueza alguns que apareceram apenas na Serra de São José, como *Eryngium*, *Philodendron* e *Siphocampylus*. Entre esses, várias espécies ocorrem apenas no domínio Atlântico, mas aparentemente não são restritas a este. Então, a distinção da Serra de São José parece relacionar-se mais com a influência florística devido a sua proximidade com a Zona da Mata mineira, fator provavelmente responsável pela sua segregação do agrupamento formado pelas áreas localizadas na Cadeia do Espinhaço e pelo seu agrupamento com as cangas.

A constituição mineralógica, a heterogeneidade espacial, a restrição geográfica e a vulnerabilidade distinguem as cangas dos outros sistemas rochosos brasileiros (Carmo & Jacobi 2012). Em comparação com os sistemas quartzíticos, principalmente os inseridos na Cadeia do Espinhaço, pode-se fazer uma distinção da vegetação das cangas, sustentada pela maior influência de elementos florísticos do domínio Atlântico, elevada frequência de sinúsias formadas por árvores e arbustos; riqueza singular de gêneros como *Solanum*, *Andropogon* e *Cattleya* e a pouca influência de elementos de alguns gêneros típicos dos campos rupestres na fisionomia campestre das couraças ferruginosas.

Agradecimentos

À Fundação de Amparo à Pesquisa do Estado de Minas Gerais (FAPEMIG), ao Conselho Nacional de Desenvolvimento Científico e Tecnológico (CNPq) e ao US Fish and Wildlife Service pelos financiamentos de projetos em cangas. Ao CNPq pelas bolsas concedidas a FFC (doutorado) e CMJ (PQ 2). Aos taxonomistas pela valiosa colaboração para a elaboração das listas florísticas. Aos revisores do trabalho pelas contribuições.

Referências Bibliográficas

- Abreu, N.L.; Neto, L.M. & Konno, T.U.P. 2011. Orchidaceae das Serras Negra e do Funil, Rio Preto, Minas Gerais, e similaridade florística entre formações campestres e florestais do Brasil. *Acta Botanica Brasiliensis* 25(1): 58-70.

- ALMG. Assembléia Legislativa de Minas Gerais. *Municípios de Minas*. Disponível em http://www.almg.gov.br/consulte/info_sobre_minas. Acesso em 17 de abril 2012.
- Alves, R.J.V. & Kolbek, J. 2009. Summit vascular flora of Serra de São José, Minas Gerais, Brazil. Check list 5(1): 35-73.
- Alves, R.J.V. & Kolbek, J. 2010. Can campo rupestre vegetation be floristically delimited based on vascular plant genera? Plant Ecology 207(1): 67-79.
- Alves, R.J.V; Cardin, L. & Kropf, M.S. 2007. Angiosperm disjunction “Campos rupestres-restingas”: a re-evaluation. Acta Botanica Brasilica 21(3): 675-685.
- Arbo, M.M. & Giulietti, A.M. 2009. Turneraceae. In: Giulietti, A.M.; Rapini, A.; Andrade, M.J.G; Queiroz, L.P. & Silva, J.M.C. (Org.). 2009. Plantas Raras do Brasil. Conservation International, Belo Horizonte. 496 p.
- Atkins, S. 2005. The genus *Stachytarpheta* (Verbenaceae) in Brazil. Kew Bulletin 60(1):161-272.
- Azevedo, C.O. & van den Berg, C. 2007. A família Orchidaceae no Parque Municipal de Mucugê, Bahia, Brasil. Hoehnea 34(1): 1-47.
- Baltazar, O.F.; Baars F.J.; Lobato, L.M.; Reis, L.B.; Achtschin, A.B.; Berni, G.V. & Silveira, V.D. 2005. Mapa Geológico do Quadrilátero Ferrífero na Escala 1:50.000 com Nota Explicativa. In: Projeto Geologia do Quadrilátero Ferrífero - Integração e Correção Cartográfica em SIG com Nota Explicativa. CODEMIG, Belo Horizonte. DVD.
- Bertrand, G. 1972. Paisagem e geografia física global: esboço metodológico. Caderno de Ciências da Terra 13(1): 1-27.
- Borges, R.A.X.; Saavedra, M.M. & Nakajima, J.N. 2010. The Asteraceae flora of the Serra do Ibitipoca: analyses of its diversity and distribution compared with selected areas in Brazilian mountain. Systematic and Biodiversity 8(4): 471-479.
- Bussel, J.D. & James, S.H. 1997. Rocks as museums of evolutionary processes. Journal of the Royal Society of Western Australia 80(3): 221-229.
- Caiafa, A. N. & Silva, A. F. 2005. Composição florística e espectro biológico de um campo de altitude no Parque Estadual da Serra do Brigadeiro, Minas Gerais, Brasil. Rodriguésia 56(87): 163-173.
- Carmo, F.F., Carmo, F.F., Salgado, A.A.R. & Jacobi, C.M. 2011. Novo sítio espeleológico em sistemas ferruginosos no Vale do Rio Peixe Bravo, Norte de Minas Gerais, Brasil. Espeleo-Tema 22(1): 79-93.

- Carmo, F.F. & Jacobi, C.M. 2012. As Cangas do Quadrilátero Ferrífero. In: Jacobi, C.M. & Carmo, F.F. (Orgs.). Diversidade Florística nas Cangas do Quadrilátero Ferrífero. Ed. IDM, Belo Horizonte. Pp. 1-13.
- Carmo, F.F.; Carmo, F.F.; Campos, I.C. & Jacobi, C.M. 2012. Cangas: Ilhas de Ferro Estratégicas para a Conservação. Ciência Hoje 295(50): 48-53.
- Castro, P.T.A. 2008. Cangas: a influência da geodiversidade na biodiversidade. In: Simpósio Afloramentos Ferruginosos no Quadrilátero Ferrífero: Biodiversidade, Conservação e Perspectivas de Sustentabilidade. Belo Horizonte. Pp 30-51.
- Conceição, A. A. & Pirani, J. R. 2005. Delimitação de habitats em campos rupestres na Chapada Diamantina, Bahia: substrato, composição florística e aspectos estruturais. Boletim de Botânica da Universidade de São Paulo 23(1): 85-111.
- Costa, F. N.; Trovó, M. & Sano, P. T. 2008. Eriocaulaceae na Cadeia do Espinhaço: riqueza, endemismo e ameaças. Megadiversidade 4(1-2): 117-125.
- Dematteis, M. & Angulo, M.B. 2010. Additions to the genus *Lessingianthus* (Asteraceae, Vernonieae) from South America. Rodriguésia 61(2): 233-241.
- Dinerstein, E.; G.J. Schipper & D.M. Olson. 1995. A Conservation Assessment of the Terrestrial Ecoregions of Latin America and the Caribbean. WWF, Washington DC. 177 p.
- Dorr II, J. v. N. 1969. Physiographic, stratigraphic and structural development of Quadrilátero Ferrífero, Minas Gerais, Brazil. United States Geological Survey. Prof. Paper, 641-A. Washington. 110 p.
- Dutra, V.F.; Garcia, F.C.P.; Lima, H.C. & Queiroz, L.P. 2008. Diversidade florística de Leguminosae Adans. em áreas de campos rupestres. Megadiversidade 4(1-2): 117-125.
- Echternacht, L.; Trovó, M. & Sano, P.K. 2012. Eriocaulaceae. In: Jacobi, C.M. & Carmo, F.F. (Orgs.). Diversidade Florística nas Cangas do Quadrilátero Ferrífero. Ed. IDM, Belo Horizonte. Pp. 114-119.
- Ferreira, R. L. 2005. A vida subterrânea nos campos ferruginosos. O Carste 3(17): 106-115.
- Ferreira, S.C. 2012. *Agrianthus*. In: Lista de Espécies da Flora do Brasil. Jardim Botânico do Rio de Janeiro. Disponível em <http://floradobrasil.jbrj.gov.br/2012/FB015937>. Acesso em 20 de maio de 2012.
- Ferrero, R. & Mello-Silva, R. 2011. Droseraceae do Parque Estadual do Ibitipoca, Minas Gerais, Brasil. Boletim de Botânica da Universidade de São Paulo 29(1): 13-18.

- Fundação SOS Mata Atlântica. 2011. Atlas dos Remanescentes Florestais da Mata Atlântica Período 2008-2010. 122 p. Disponível em <http://www.sosma.org.br/projeto/atlas-da-mata-atlantica>. Acesso em 22 de dezembro de 2012.
- Garcia, R.J.F.; Longhi-Wagner, H.M.; Pirani, J.R. & Meirelles, S.T. 2009. A contribution to the phytogeography of Brazilian campos: an analysis based on Poaceae. Revista Brasileira de Botânica 32(4): 703-713.
- Gibson, N.; Yates, C.J. & Dillon, R. 2010. Plant communities of the ironstone ranges of South Western Australia: hotspots for plant diversity and mineral deposits. Biodiversity and Conservation 19(14): 3951–3962.
- Giulietti, A.M.; Menezes, N.L; Pirani, J.R.; Meguro, M. & Wanderley, M.G.L. 1987. Flora da Serra do Cipó, Minas Gerais: caracterização e lista de espécies. Boletim de Botânica da Universidade de São Paulo 9(1): 1-151.
- Giulietti, A. M. & Forero, E. 1990. Diversidade Taxonômica e Padrões de Distribuição das Angiospermas Brasileiras. Introdução. Acta Botanica Brasilica 4(1): 3-10.
- Giulietti, A. M. & Hensold, N. 1990. Padrões de distribuição geográfica dos gêneros de Eriocaulaceae. Acta Botanica Brasilica 4(1): 133-158.
- Giulietti, A.M.; Pirani J.R. & Harley, R.M. 1997. Espinhaço Range Region, Eastern Brazil, Site SA20. Centres of plant diversity: South America. Disponível em <http://botany.si.edu/projects/cpd/sa/sa20.htm>. Acesso em 10 de janeiro de 2012.
- Giulietti, A.M.; Rapini, A.; Andrade, M.J.G; Queiroz, L.P. & Silva, J.M.C. (Org.). 2009. Plantas Raras do Brasil. Conservation International, Belo Horizonte. 496 p.
- Goldenberg, R.; Baumgratz, J.F.A. & M.L. Souza. 2012. Taxonomia de Melastomataceae no Brasil: retrospectiva, perspectivas e chave de identificação para os gêneros. Rodriguésia 63(1): 145-161.
- Hammer, Ø.; Harper, D.A.T. & P. D. Ryan, 2001. PAST: Paleontological Statistics Software Package for Education and Data Analysis. Palaeontologia Electronica 4(1): 1-9.
- Harley, R.M. 1995. Introdução. In: Stannard, B.L. (Ed.) Flora of Pico das Almas, Chapada Diamantina, Bahia, Brazil. Royal Botanic Gardens, Kew. 853 p.
- Harley, R.M. 1996. The Labiateae of Bahia: a preliminary check-list. Sítientibus 15:11-21.
- Heiden, G; Iganci, J.R.V.; Bobrowski, V.L. & Macias, L. 2010. Biogeografia de *Baccharis* sect. *Caulopterae* (Asteraceae) no Rio Grande do Sul, Brasil. Rodriguésia 58(4): 787-796.

- Jacobi, C.M.; Carmo, F.F.; Vincent, R.C. & Stehmann, J.R. 2007. Plant communities on ironstone outcrops – a diverse and endangered Brazilian ecosystem. *Biodiversity and Conservation* 16(7): 2185-2200.
- Jacobi, C.M. & Carmo, F.F. 2008a. Diversidade dos campos rupestres ferruginosos no Quadrilátero Ferrífero, MG. *Megadiversidade* 4(1-2): 24-32.
- Jacobi, C.M., Carmo, F.F. & Vincent, R.C. 2008b. Vegetação sobre canga e seu potencial para reabilitação ambiental no Quadrilátero Ferrífero, MG. *Revista Árvore* 32(2): 345-353.
- Jacobi, C.M.; Carmo, F.F. & Campos, I.C. 2011. Soaring Extinction Threats to Endemic Plants in Brazilian Metal-Rich Regions. *AMBIO* 40(5): 540-543.
- Jacobi, C.M. & Carmo, F.F. (Orgs.) 2012. *Diversidade Florística nas Cangas do Quadrilátero Ferrífero*. Ed. IDM, Belo Horizonte. 240 p.
- Jacobi, C.M., Carmo, F.F., Carmo, F.F. & Campos, I.C. Iron Geosystems: priority areas for conservation in Brazil. In: Tibbett, M. (Ed.) *Mining in Ecologically Sensitive Landscapes*. Commonwealth Scientific and Industrial Research Organization, Collingwood. no prelo.
- Kruckeberg, A.R. 2004. *Geology and plant life: the effects of landforms and rock types on plants*. University of Washington Press. 363 p.
- Lista de Espécies da Flora do Brasil. 2012. Disponível em <http://reflora.jbrj.gov.br/jabot/listaBrasil/ConsultaPublicaUC/ConsultaPublicaUC.do>. Acessos em 10 de janeiro de 2012 e 26 de março de 2013.
- Mamede, M.C.H. 1990. Revisão do gênero *Camarea* Saint-Hilaire (Malpighiaceae). *Hoehnea* 17(1): 1-34.
- Meguro, M.; Pirani, J.R.; Mello-Silva, R. & Giulietti, A.M. 1996. Estabelecimento de matas ripárias e capões nos ecossistemas campestres da Cadeia do Espinhaço, Minas Gerais. *Boletim de Botânica da Universidade de São Paulo* 15(1): 1-11.
- Monteiro, D. & Guimarães, E.F. 2008. Flora do Parque Nacional do Itatiaia – Brasil: *Peperomia* (Piperaceae). *Rodriguésia* 59(1): 161-195.
- Mota, R.C.; Batista, J.A.N. & Borba, E.L. 2012. Orchidaceae. In: Jacobi, C.M. & Carmo, F.F. (Orgs.). *Diversidade Florística nas Cangas do Quadrilátero Ferrífero*. Ed. IDM, Belo Horizonte. Pp. 158-162.
- Mourão, A. & Stehmann, J.R. 2007. Levantamento da flora do campo rupestre sobre canga hematítica couraçada remanescente na Mina do Brucutu, Barão de Cocais, Minas Gerais, Brasil. *Rodriguésia* 58(4): 775-786.

- Oliveira-Filho, A. T. & Fontes, M.A.L. 2000. Patterns of floristic differentiation among Atlantic Forests in Southeastern Brazil and the influence of climate. *Biotropica* 32(4b): 793-810.
- Oliveira-Filho, A.T.; Tameirão-Neto, E.; Carvalho, W.A.C.; Werneck, M.; Brina, A.E.; Vidal, C.V.; Resende, S.C. & Pereira, J.A.A. 2005. Análise florística do compartimento arbóreo de áreas de floresta atlântica *sensu lato* na região das bacias do leste (Bahia, Minas Gerais, Espírito Santo e Rio de Janeiro). *Rodriguésia* 56(87): 185-235.
- Pereira, I.M.; Oliveira-Filho, A.T.; Botelho, S.A.; Carvalho, W.A.C.; Fontes, M.A.L; Schiavini, I. & Silva, A.F. 2006. Composição florística do compartimento arbóreo de cinco remanescentes do Maciço do Itatiaia, Minas Gerais e Rio de Janeiro. *Rodriguésia* 57(1): 103-126.
- Pirani, J.R.; Mello-Silva, R. & Giulietti, A.M. 2003. Flora de Grão-Mogol, Minas Gerais, Brasil. *Boletim de Botânica da Universidade de São Paulo* 21(1): 1-24.
- Porto, M.L. & Silva, M.F.F. 1989. Tipos de vegetação metalófila em áreas de Serra de Carajás e de Minas Gerais. *Acta Botanica Brasilica* 3(1): 13-21.
- Rando, J.G. & Pirani, J.R. 2011. Padrões de distribuição geográfica das espécies de *Chamaecrista* sect. *Chamaecrista* ser. *Coriaceae* (Benth.) H. S. Irwin & Barneby, Leguminosae – Caesalpinoideae. *Revista Brasileira de Botânica* 34(4): 499-513.
- Rapini, A; Ribeiro, P.L. & Pirani, J.B. 2008. A flora dos campos rupestres da Cadeia do Espinhaço. *Megadiversidade* 4(1-2): 16-23.
- Renger, F.E. 2005. O “Quadro Geognóstico do Brasil” de Wilhelm Ludwig von Eschwege: breves comentários à sua visão da geologia do Brasil. *GEONOMOS* 13(1-2): 91-95.
- Ribeiro, K.T. & Medina, B.M.O. 2002. Estrutura, dinâmica e biogeografia das ilhas de vegetação sobre rocha do Planalto do Itatiaia, RJ. *Boletim do Parque Nacional do Itatiaia* 10: 1-82.
- Ritter, M.R. & Waechter, J.L. 2004. Biogeografia do gênero *Mikania* Willd. (Asteraceae) no Rio Grande do Sul, Brasil. *Acta Botanica Brasilica* 18(3): 643-652.
- Rizzini, C.T. 1979. Tratado de Fitogeografia do Brasil. Aspectos sociológicos e florísticos. HUCITEC/EDUSP, São Paulo. 374 p.
- Rodrigues, C. 2001. A Teoria Geossistêmica e sua Contribuição aos Estudos Geográficos e Ambientais. *Revista do Departamento de Geografia USP* 14: 69-77.
- Romero, R. 2003. Revisão taxonômica de *Microlicia* sect. *Chaetostomoides* (Melastomataceae). *Revista Brasileira de Botânica* 26(4): 429-435,

- Sakuragui, C.M. 2001. Biogeografia de *Philodendron* seção *Calostigma* (Schott) Pfeiffer (Araceae) no Brasil. *Acta Scientiarum* 23(2): 561-569.
- Scarano, F.R. 2007. Rock outcrop vegetation in Brazil: a brief overview. *Revista Brasileira de Botânica* 30(4): 561-568.
- Schaefer, C.E.G.R.; Mendonça, B.A.F. & Ribeiro, A.S. 2008. Solos desenvolvidos sobre canga ferruginosa no Quadrilátero Ferrífero, Minas Gerais. In: Simpósio Afloramentos Ferruginosos no Quadrilátero Ferrífero: Biodiversidade, Conservação e Perspectivas de Sustentabilidade. UFMG/ ICB, Belo Horizonte.
- Schobbenhaus C. & Coelho C.E.S (Orgs.). 1986. Principais Depósitos Minerais do Brasil: Ferro e Metais da Indústria do Aço, v. 2. Departamento Nacional de Produção Mineral, Brasília. 501 p.
- Semir, J. 1991. Revisão taxonômica de *Lychnophora* Mart. (Vernoniaceae:Compositae). Tese de Doutorado. Universidade Estadual de Campinas, Campinas. 515 p.
- Silva, M.F.F. 1992. Distribuição de metais pesados na vegetação metalófila de Carajás. *Acta Botanica Brasilica* 6(1): 107-122.
- Silva, R.R. & Tozzi, A.M.G.A. 2011. Uma nova espécie de *Mimosa* L. (Leguminosae, Mimosoidea) do Centro-Oeste do Brasil. *Hoehnea* 38(1): 143-146.
- Simão-Bianchini, R. 2012. Convolvulaceae. In: Jacobi, C.M. & Carmo, F.F. (Orgs.). Diversidade Florística nas Cangas do Quadrilátero Ferrífero. Ed. IDM, Belo Horizonte. Pp. 103-105.
- Simon, M.F. & Proença, C. 2000. Phytogeographic patterns of *Mimosa* (Mimosoideae, Leguminosae) in the *Cerrado* biome of Brazil: an indicator genus of high-altitude centers of endemism? *Biological Conservation* 96(3): 279-296.
- Spósito, T.C. & Stehmann, J.R. 2006. Heterogeneidade florística e estrutural de remanescentes florestais da Área de Proteção Ambiental ao Sul da Região Metropolitana de Belo Horizonte (APA Sul-RMBH), Minas Gerais, Brasil. *Acta Botanica Brasilica* 20(2): 347-362.
- Stannard, B.L. 1995. (Ed.) Flora of Pico das Almas, Chapada Diamantina, Bahia, Brazil. Royal Botanic Gardens, Kew. 853 p.
- Valente, A.S.M.; Garcia, P.O.; Salimena, F.R.G. & Oliveira-Filho, A.T. 2011. Composição, estrutura e similaridade florística da Floresta Atlântica na Serra Negra, Rio Preto – MG. *Rodriguésia* 62(2): 321-340.
- Versieux, L.M. 2011. Brazilian plants urgently needing conservation: the case of *Vriesea minarum* (Bromeliaceae). *Phytotaxa* 28(1): 35-49.

- Versieux, L.M. 2012. Bromeliaceae. In: Jacobi, C.M. & Carmo, F.F. (Orgs.). Diversidade Florística nas Cangas do Quadrilátero Ferrífero. Ed. IDM, Belo Horizonte. Pp. 93-97.
- Versieux, L.M. & Wendt, T. 2007. Bromeliaceae diversity and conservation in Minas Gerais state, Brazil. *Biodiversity and Conservation* 16(11): 2989–3009.
- Versieux, L.M.; Wendt, T.; Louzada, R.B. & Wanderley, M.G.L. 2008. Bromeliaceae da Cadeia do Espinhaço. *Megadiversidade* 4(1-2): 98-110.
- Viana, P.L. & J.A. Lombardi. 2007. Florística e caracterização dos campos rupestres sobre canga na Serra da Calçada, Minas Gerais, Brasil. *Rodriguésia* 58(1): 159-177.
- Viana, P.L. & Filgueiras, T.S. 2008. Inventário e distribuição geográfica das gramíneas (Poaceae) na Cadeia do Espinhaço, Brasil. *Megadiversidade* 4(1-2): 71-88.
- Vincent, R.C. & Meguro, M. 2008. Influence of soil properties on the abundance of plant species in ferruginous rocky soils vegetation, southeastern Brazil. *Revista Brasileira de Botânica* 31(3): 377-388.
- Whiting, S.N.; Reeves, R.D. & Baker, A.J.M. 2002. Conserving Biodiversity: Mining Metallophytes and Land Reclamation. *Mining Environmental Management* 10(1): 11-16.
- Zappi, D.C.; Lucas, E.; Stannard, B.L.; Lughadha, E.N.; Pirani, J.R.; Queiroz, L.P.; Atkins, S.; Hind, D.J.N.; Giulietti, A.M.; Harley, R.M. & Carvalho, A.M. 2003. Lista das Plantas Vasculares de Catolés, Chapada Diamantina, Bahia, Brasil. *Boletim de Botânica da Universidade de São Paulo* 21(2): 345-398.

CAPÍTULO 2

LISTA FLORÍSTICA DA VEGETAÇÃO EM GRANITO, GNAISSES E QUARTZITOS, QUADRILÁTERO FERRÍFERO, SUDESTE DO BRASIL²

Flávio Fonseca do Carmo¹, Nara, F.O. Mota², Luiza Fonseca², Claudia Maria Jacobi¹

¹Departamento de Biologia Geral; ²Departamento de Biologia Geral - ICB, Universidade Federal de Minas Gerais, Av. Antônio Carlos 6627, 31270-901 Belo Horizonte, MG, Brazil

Resumo: O Quadrilátero Ferrífero (MG) representa uma área prioritária com importância extremamente alta para a conservação da biodiversidade brasileira. Entretanto, ainda são escassos os estudos florísticos em afloramentos de granito, gnaisse e quartzito. Assim, foi realizada uma lista florística das comunidades de plantas associadas a sete desses afloramentos. Foram encontradas 704 espécies/morfoespécies. As pteridófitas foram distribuídas entre 10 famílias e 21 gêneros e as angiospermas, entre 78 famílias e 281 gêneros. As famílias com maior número de espécies foram Asteraceae (108), Poaceae (86), Orchidaceae (47), Cyperaceae (37), Melastomataceae (35), Fabaceae (32), Rubiaceae (27), Myrtaceae (18), Apocynaceae e Bromeliaceae (14 cada) e Verbenaceae (13). As formas de crescimento predominantes foram as ervas (50%), seguida pelos subarbustos (20%), arbustos (18%) e trepadeiras (6%). Foram encontradas 15 espécies raras, a maioria com distribuição geográfica restrita ao Quadrilátero Ferrífero.

Introdução

Os afloramentos rochosos ocorrem geralmente nos topo e encostas de montanhas e são reconhecidos mundialmente como centros de diversidade e endemismo de plantas (Giulietti *et al.*, 1997; Porembski & Barthlott, 2000). No sudeste do Brasil, importantes centros de diversidade de plantas estão associados aos sistemas rochosos localizados nas Serras do Mar e da Mantiqueira e ao longo da Cadeia do Espinhaço (Giulietti *et al.*, 1997; Safford & Martinelli, 2000; Fiasch & Pirani, 2009).

O Quadrilátero Ferrífero (QF), região central de Minas Gerais, constitui um desses centros de diversidade e endemismos, sendo identificadas pelo menos 116 espécies restritas a localidade, a maioria ocorrendo apenas nos afloramentos rochosos (Carmo & Jacobi, 2012). O Quadrilátero representa uma área prioritária com importância extremamente alta para a conservação da biodiversidade brasileira (MMA, 2008). Essa classificação foi baseada em atributos como: formações geológicas únicas, importantes mananciais de abastecimento público e endemismos de fauna e flora. A geodiversidade do Quadrilátero é excepcional e em

² Capítulo formatado de acordo com os padrões do periódico *Check List*

algumas regiões, como as serras da Moeda e de Gandarela, vários litotipos afloram lado a lado (Dorr II, 1969; Carmo & Jacobi, 2012).

Alguns estudos focando a vegetação dos afloramentos rochosos ferruginosos – incluindo as cangas e os itabiritos – já foram realizados no Quadrilátero Ferrífero, como os de Grandi *et al.* (1998), Jacobi *et al.* (2007), Mourão & Stehmann (2007), Viana & Lombardi (2007) e Messias *et al.*, (2012; 2013). Apenas para as cangas, até o momento mais de 1.100 espécies de plantas vasculares, incluindo dezenas de espécies endêmicas, já foram catalogadas (Carmo & Jacobi, 2012). Entretanto, ainda são escassos os estudos florísticos que focaram os afloramentos granito-gnáissicos e quartzíticos. Entre eles, embora não sejam exclusivos de afloramentos quartzíticos, estão os desenvolvidos na Serra do Ouro Preto (Messias *et al.*, 2011) e na Serra de Itacolomi (Peron, 1989; Gastauer *et al.*, 2012). Para os afloramentos de granito e gnaisse ainda não foi publicado nenhum levantamento florístico desenvolvido na região.

O objetivo desse estudo foi produzir uma lista florística das comunidades de plantas associadas aos afloramentos de granito, gnaisse e quartzito, priorizando as localidades onde existem lacunas de conhecimento sobre a flora.

Material e Métodos

O Quadrilátero Ferrífero **QF**, abrangendo uma área de aproximadamente 7200 km², representa uma das paisagens mais antigas do Brasil (Carvalho-Filho *et al.*, 2010). Predomina na região o clima subtropical de altitude - segundo a classificação de Köppen - caracterizado pelo inverno seco e verão chuvoso. A temperatura média anual varia em torno de 20 °C e a precipitação média anual varia em torno de 1 500 mm. No setor leste do Quadrilátero ocorrem os maiores índices pluviométricos, onde a região da Serra do Caraça apresenta uma média anual de 2.035 mm (Davis *et al.*, 2004).

Foram inventariados quatro afloramentos de quartzito e três granitóides, sendo dois de gnaisse e um de granito (Tab. 1). As coletas florísticas foram efetuadas entre 2008 e 2012 e as exsicatas foram depositadas no herbário da Universidade Federal de Minas Gerais (BHCB). A nomenclatura das espécies e os nomes dos autores seguiram a Lista das Espécies da Flora do Brasil (2014).

A vegetação foi caracterizada de acordo com as formas de crescimento das espécies, composto pela proporção de árvores, arbustos, subarbustos, ervas, palmeiras, parasitas e trepadeiras, adaptado de Viana & Lombardi (2007). Foi determinada a distribuição geográfica, a partir dos domínios fitogeográficos, apenas para os táxons identificados até o

nível de espécie, segundo Jacobi & Carmo (2012) e a Lista de Espécies da Flora do Brasil (2014).

Tabela 1 – Localização dos sete afloramentos rochosos inventariados, Quadrilátero Ferrífero, MG.

Localidade/litotipo	UTM (23 K)	Área (ha)	Altitude (m)
PETI/Granito	670771 7799877	9	800
Serra da Moeda/Gnaisse	610701 7752298	6	1090
Serra da Moeda/ Gnaisse	635851 7776359	7	1244
Serra do Itacolomi/Quartzito	658336 7740414	11	1620
Serra do Rola Moça/ Quartzito	601606 7780113	14	1300
Serra da Água Limpa / Quartzito	608722 7751696	22	1360
Serra da Moeda /Quartzito	608800 7756785	16	1470

Resultados

Até o momento foram identificadas 585 espécies, até o nível de gênero somam mais 98 morfoespécies. Vinte e uma morfoespécies ainda estão identificadas apenas por famílias, resultando em um conjunto de 704 espécies/morfoespécies. As pteridófitas foram distribuídas entre 10 famílias e 21 gêneros. As angiospermas foram representadas por 78 famílias e 281 gêneros (Tab. 2). Entre as famílias que apresentaram a maior riqueza estão Asteraceae (108), Poaceae (86), Orchidaceae (47), Cyperaceae (37), Melastomataceae (35), Fabaceae (32), Rubiaceae (27), Myrtaceae (18), Apocynaceae e Bromeliaceae (14 cada) e Verbenaceae (13). Os gêneros com maior número de espécies foram *Baccharis* e *Rhynchospora* (12 cada); *Paspalum* (11); *Bulbostylis* e *Mikania* (10 cada); *Anemia*, *Chromolaena*, *Myrcia*, *Panicum*, *Polygala* e *Xyris* (nove cada); *Andropogon* e *Lippia* (oito cada), *Aristida*, *Chamaecrista*, *Habenaria*, *Lessingianthus*, *Miconia*, *Microlicia* e *Paepalanthus* (sete cada).

As ervas representaram a forma de crescimento predominante (50%), seguida pelos subarbustos (20%), arbustos (18%), trepadeiras (6%), árvores (5%) e parasitas (1%). Apenas uma espécies de palmeira foi inventariada (Tab. 2; Fig. 1).

O domínio fitogeográfico predominante foi o Cerrado, com registro de 24% das espécies contra apenas 6% ocorrendo na Mata Atlântica. As espécies que ocorrem nestes dois domínios fitogeográficos atingiram 20% (Tab. 3). Os granítóides abrigaram a maior parcela

de espécies generalistas e/ou com distribuição frequente em formações abertas no domínio Cerrado. Entre essas espécies estão *Emilia fosbergii* Nicolson, *Erythroxylum tortuosum* Mart., *Gomphrena arborescens* L.f., *Calea fruticosa* (Gardner) Urbatsch, Zlotsky & Pruski, *Trachypogon spicatus* (L. f.) Kuntze. A maioria das espécies exclusivas da Mata Atlântica foram coletadas nos quartzitos, entre elas estão *Myrsine villosissima* A.DC., *Myrcia hartwegiana* (O. Berg) Kiaersk. e *Dysochroma viridiflora* Miers. Entre as poucas espécies da Mata Atlântica coletadas exclusivamente nos granítoides estão *Billbergia zebrina* (Herb.) Lindl. e *Cheilanthes regnelliana* Mett., esta última parece ser restrita aos afloramentos de granito-gnaisse de Minas Gerais e São Paulo.

Um conjunto de 76 espécies possui distribuição geográfica apenas para Minas Gerais, a maioria ocorre associada a sistemas rochosos localizados na Cadeia do Espinhaço (Echternacht *et al.*, 2012; Gonçalves, 2012; Mello-Silva, 2012; Mota *et al.*, 2012; Pastore, 2012; Rapini, 2012; Salimena, 2012; Sobral, 2012; Teles & Hattori, 2012; Romero *et al.*, 2012; Viana, 2012), como *Accara elegans* (DC.) Landrum, *Apochloa molinoides* Trin., *Aspilia subpetiolata* Baker, *Barbacenia sellovii* Goethart & Henrard, *Cambessedesia corymbosa* Mart. & Schr. ex DC., *Cattleya crispata* (Thunb.) van den Berg, *Comolia sertularia* (DC.) Triana, *Ditassa linearis* Mart., *Lippia corymbosa* Cham., *Paepalanthus vellozioides* Korn., *Polygala bryoides* A.St.-Hil. & Moq., *Stachytarpheta commutata* Schauer e *Syagrus campestris* (Mart.) H. Wendl.

Foram encontradas 15 espécies raras (*sensu* Giulietti *et al.*, 2009), como *Crotalaria rufipila* Benth. e *Pitcairnia curvidens* L.B.Sm. & R.W.Read. A maioria das espécies raras possui distribuição geográfica restrita ao Quadrilátero Ferrífero (Souza, 2002; Teles & Hattori, 2012; Versieux, 2012; Simão-Bianchini, 2012; Mota *et al.*, 2012; Resende *et al.*, 2014): *Cattleya fournieri* (Cogn.) van den Berg, *C. kettieana* (Pabst) van den Berg, *Chaptalia martii* (Baker) Zardini, *Chromolaena multiflosculosa* (DC.) R.M.King & H.Rob., *Cryptanthus glazioui* Mez., *C. schwackeanus* Mez., *Jacquemontia prostrata* Choisy, *Lychnophora pinaster* Mart., *L. reticulata* Gardner, *Miconia pennipilis* Cogn., *Ossaea coriacea* (Naudin) Triana, *Vriesea clauseniana* (Baker) Mez. e *V. minarum* L.B.Sm.

Três novas ocorrências para Minas Gerais foram registradas, de acordo com a Lista das Espécies da Flora do Brasil (2014): *Ocelloclocha latissima* (Mikan ex Trin.) Zuloaga & Morrone, *Stevia riedelii* Sch. Bip. ex Baker e *Xyris stenophylla* Alb. Nilsson.

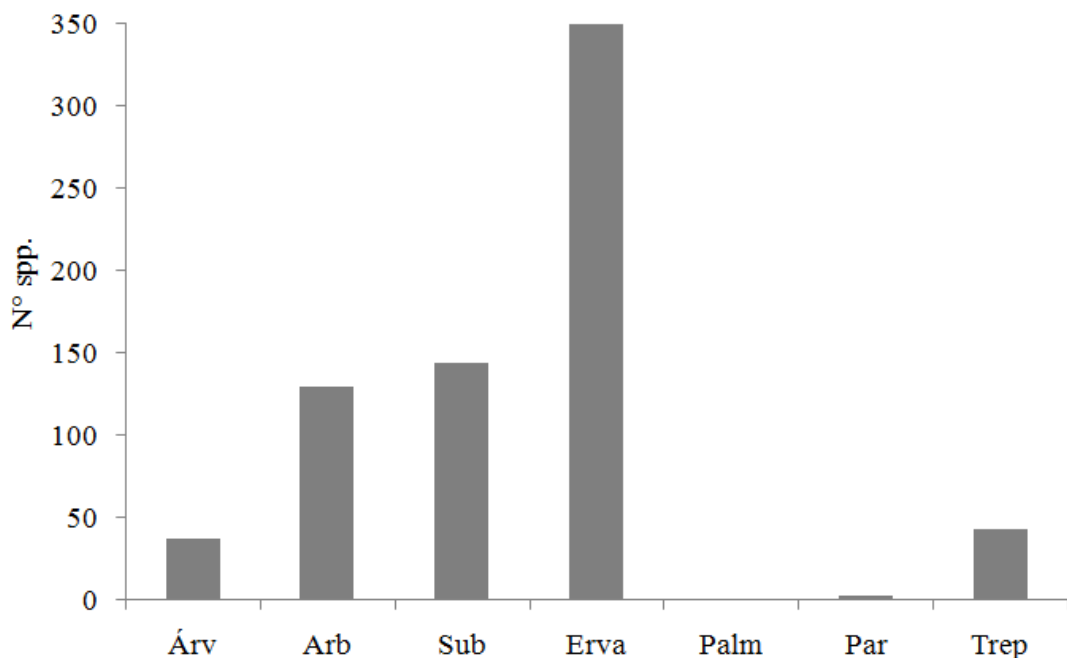


Figura 1 - Formas de crescimento da vegetação em afloramentos de granito, gnaisses e quartzitos, Quadrilátero Ferrífero, MG. Árv: árvore; Arb. Arbusto; Sub: subarbusto; Palm: palmeira; Par: parasita; Trep: trepadeira.

Tabela 2 - Lista florística da vegetação em afloramentos de granito, gnaisses e quartzitos, Quadrilátero Ferrífero, MG. FC: forma de crescimento.

Família/espécie	FC	Nº Coletor
Pteridófitas		
Anemiaceae		
<i>Anemia cf. retroflexa</i> Brade	erva	5242
<i>Anemia ferruginea</i> Humb. & Bonpl. ex Kunth	erva	5464
<i>Anemia ferruginea</i> var. <i>ferruginea</i> H.B.K.	erva	4195
<i>Anemia imbricata</i> Sturm	erva	3856
<i>Anemia lanuginosa</i> Bong. ex Sturm	erva	4571
<i>Anemia oblongifolia</i> (Cav.) Sw.	erva	4173
<i>Anemia raddiana</i> Link.	erva	3998
<i>Anemia tomentosa</i> (Savigny) Sw.	erva	4991
<i>Anemia</i> sp.	erva	5466
Aspleniaceae		
<i>Asplenium auritum</i> Sw.	erva	4758
Blechnaceae		
<i>Blechnum polypodioides</i> Raddi	erva	4005

<i>Blechnum schomburkii</i> (Klotzsch) C. Chr.	erva	4872
Cyatheaceae		
<i>Cyathea delgadii</i> Sternb.	erva	4896
Dryopteridaceae		
<i>Elaphoglossum glabellum</i> J. Sm.	erva	4798
<i>Elaphoglossum vagans</i> Heringer & Melo	erva	4797
<i>Rumohra adiantiformis</i> (G. Forst.) Ching	erva	3347
Gleicheniaceae		
<i>Dicranopteris flexuosa</i> (Schrad.) Underw.	erva	3983
<i>Sticherus lanuginosus</i> (Fée) Nakai	erva	4607
Lycopodiaceae		
<i>Huperzia</i> sp.	erva	4802
<i>Lycopodiella caroliniana</i> (L.) Pic. Serm.	erva	4784
Polypodiaceae		
<i>Campyloneurum nitidum</i> (Kaulf.) C. Presl	erva	4780
<i>Cochlidium puctatum</i> (Raddi) L.E. Bishop	erva	3312
<i>Cochlidium serrutatum</i> (Sw.) L.E. Bishop	erva	3386
<i>Melpomene pilosissima</i> (M. Martens & Galeotti) A.R. Sm. & R.C. Moran	erva	4790
<i>Pecluma recurvata</i> (Kaulf.) M.G.Price	erva	5438
<i>Phlebodium pseudoaureum</i> (Cav.) Lellinger	erva	5213
<i>Pleopeltis macrocarpa</i> (Bory ex Willd.) Kaulf.	erva	3307
<i>Pleopeltis minarum</i> (Weath.) Salino	erva	5529
<i>Serpocaulon catharinae</i> (Langsd. & Fisch.) A.R. Sm.	erva	4775
Pteridaceae		
<i>Cheilanthes goyazensis</i> (Taub.) Domin	erva	5241
<i>Cheilanthes regnelliana</i> Mett.	erva	5235
<i>Doryopteris collina</i> (Raddi) J. Sm.	erva	4193
<i>Doryopteris ornithopus</i> (Mett. ex. Hook & Baker) J. Sm.	erva	4032
<i>Pellaea crenata</i> R. M. Tryon	erva	3953
Selaginellaceae		
<i>Selaginella fragillima</i> Silveira	erva	4172
<i>Selaginella</i> sp. 1	erva	5460
<i>Selaginella</i> sp. 2	erva	4994
Angiospermas		
Acanthaceae		
<i>Ruellia villosa</i> (Nees) Lindau	subarbusto	4830
Alstroemeriaceae		
<i>Alstroemeria plantaginea</i> Mart. ex Schult. & Schult.f.	erva	4047
Amaranthaceae		
<i>Gomphrena agrestis</i> Mart.	erva	4630

<i>Gomphrena arborescens</i> L.f.	erva	3869
<i>Gomphrena scapigera</i> Mart.	erva	4850
Amaryllidaceae		
<i>Habranthus irwinianus</i> Ravenna	erva	5106
<i>Hippeastrum morelianum</i> Lem.	erva	5222
Annonaceae		
<i>Duguetia furfuracea</i> (A.St.-Hil.) Saff.	arbusto	3917
<i>Guatteria villosissima</i> A.St.-Hil.	arbusto	4831
Apiaceae		
<i>Eryngium canaliculatum</i> Cham. & Schltdl.	erva	5404
<i>Eryngium eurycephalum</i> Malme	erva	4788
<i>Eryngium</i> sp.	erva	3960
<i>Klotzschia brasiliensis</i> Cham.	erva	4062
Apocynaceae		
<i>Aspidosperma tomentosum</i> Mart.	árvore	4464
<i>Blepharodon pictum</i> (Vahl) W.D.Stevens	trepadeira	4124
<i>Ditassa equicymosa</i> E.Fourn.	trepadeira	4759
<i>Ditassa lenheirensis</i> Silveira	trepadeira	4480
<i>Ditassa linearis</i> Mart.	trepadeira	4544
<i>Ditassa pedunculata</i> Malme	trepadeira	4028
<i>Ditassa retusa</i> Mart.	trepadeira	4855
<i>Forsteronia velloziana</i> (A.DC.) Woodson	trepadeira	3889
<i>Mandevilla atroviolacea</i> (Stadelm.) Woodson	trepadeira	4765
<i>Mandevilla pohliana</i> (Stadelm.) A.H. Gentry	trepadeira	3893
<i>Mandevilla tenuifolia</i> (J.C. Mikan) Woodson	erva	5383
<i>Minaria decussata</i> (Mart.) T.U.P.Konno & Rapini	erva	5009
<i>Temnadenia violacea</i> (Vell.) Miers	subarbusto	4200
Apocynaceae sp. 1	erva	5367
Aquifoliaceae		
<i>Ilex aff. theezans</i> Mart. ex Reissek	arbusto	4076
<i>Ilex numularia</i> Reissek	arbusto	3950
Araceae		
<i>Anthurium minarum</i> Sakuragui & Mayo	erva	3302
<i>Anthurium scandens</i> (Aubl.) Engl.	erva	3364
<i>Philodendron minarum</i> Engl.	erva	4893
Araliaceae		
<i>Schefflera macrocarpa</i> (Cham. & Schltdl.) Frodin	arbusto	3858
Arecaceae		
<i>Syagrus campestris</i> (Mart.) H. Wendl.	palmeira	3934
Aristolochiaceae		
<i>Aristolochia</i> sp. 1	erva	3861

<i>Aristolochia</i> sp. 2	erva	4170
<i>Aristolochia</i> sp. 3	erva	4158
<i>Aristolochia</i> sp. 4	erva	4919
Asteraceae		
<i>Achyrocline satureioides</i> (Lam.) DC.	subarbusto	2158
<i>Ageratum fastigiatum</i> (Gardner) R. M. King & H. Rob.	subarbusto	3318
<i>Ageratum myriadenium</i> (Baker) R.M.King & H.Rob.	subarbusto	4624
<i>Aldama robusta</i> Gardner	arbusto	772
<i>Aspilia fruticosa</i> Baker	subarbusto	5374
<i>Aspilia subpetiolata</i> Baker	subarbusto	5006
<i>Baccharis aphylla</i> DC.	subarbusto	4772
<i>Baccharis camporum</i> DC.	subarbusto	797
<i>Baccharis crispa</i> Spreng.	subarbusto	4768
<i>Baccharis dracunculifolia</i> DC.	arbusto	773
<i>Baccharis ligustrina</i> DC.	arbusto	4859
<i>Baccharis platypoda</i> DC.	arbusto	3327
<i>Baccharis reticularia</i> DC.	arbusto	4833
<i>Baccharis rufidula</i> (Spreng.) Joch. Müll.	subarbusto	4864
<i>Baccharis salzmannii</i> DC.	arbusto	3336
<i>Baccharis serrulata</i> Pers.	subarbusto	755
<i>Baccharis subdentata</i> DC.	subarbusto	4605
<i>Baccharis truncata</i> Gardner	subarbusto	784
<i>Bidens pilosa</i> L.	erva	4487
<i>Bidens</i> sp.	erva	756
<i>Calea clausseniana</i> Baker	arbusto	3972
<i>Calea fruticosa</i> (Gardner) Urbatsch, Zlotsky & Pruski	arbusto	794
<i>Calea rotundifolia</i> (Less.) Baker	subarbusto	5521
<i>Campuloclinium hirsutum</i> Gardner	subarbusto	4070
<i>Chaptalia</i> cf. <i>integrifolia</i> Vent. ex Spreng.	erva	3292
<i>Chaptalia martii</i> (Baker) Zardini	erva	4848
<i>Chresta sphaerocephala</i> DC.	arbusto	776
<i>Chromolaena barbacensis</i> (Hieron.) R.M. King & H. Rob.	subarbusto	5044
<i>Chromolaena campestris</i> (DC.) R.M. King & H. Rob.	subarbusto	4599
<i>Chromolaena</i> cf. <i>horminoides</i> DC.	subarbusto	767
<i>Chromolaena</i> cf. <i>squalida</i> (DC.) R.M.King & H.Rob.	subarbusto	765
<i>Chromolaena chaseae</i> (B.L. Rob.) R.M. King & H. Rob.	subarbusto	4682
<i>Chromolaena decumbens</i> Gardner	erva	5021
<i>Chromolaena multiflosculosa</i> (DC.) R.M.King & H.Rob.	subarbusto	768
<i>Chromolaena pedalis</i> (Sch. Bip. ex Baker) R.M. King & H. Rob.	subarbusto	5014
<i>Chromolaena</i> sp.	subarbusto	758

<i>Cyrtocymura scorpioides</i> (Lam.) H.Rob.	arbusto	749
<i>Dasyphyllum velutinum</i> (Baker) Cabrera	arbusto	4612
<i>Echinocoryne holosericea</i> (Mart. ex DC.) H. Rob.	subarbusto	4843
<i>Echinocoryne schwenkiiifolia</i> (Mart. ex DC.) H. Rob.	subarbusto	4895
<i>Emilia fosbergii</i> Nicolson	subarbusto	4198
<i>Erechtites hieracifolius</i> (L.) Raf. ex DC.	subarbusto	4201
<i>Eremanthus crotonoides</i> (DC.) Sch. Bip.	arbusto	5249
<i>Eremanthus erythropappus</i> (DC.) MacLeish	árvore	3279
<i>Eremanthus glomerulatus</i> Less.	árvore	4504
<i>Eremanthus incanus</i> (Less.) Less.	árvore	3363
<i>Eupatorium semiamplexifolium</i> G.S.S. Almeida & Carvalho-Okano	subarbusto	4900
<i>Gamochaeta simplicicaulis</i> (Willd. Ex Spreng.) Cabrera	subarbusto	4795
<i>Gochnatia paniculata</i> (Less.) Cabrera	arbusto	751
<i>Gochnatia polymorpha</i> (Less.) Cabrera	arbusto	593
<i>Grazielia dimorpholepis</i> (Baker) R.M. King & H. Rob.	subarbusto	4501
<i>Grazielia intermedia</i> (DC.) R.M. King & H. Rob.	subarbusto	5037
<i>Heterocondylus amphidictyus</i> (DC.) R.M.King & H. Rob.	erva	780
<i>Heterocondylus pumilus</i> (Gardner) R.M.King & H. Rob.	erva	778
<i>Hoehnephytum trixoides</i> (Gardn.) Cabrera	arbusto	3295
<i>Inulopsis aff. camporum</i> Gardner	erva	5018
<i>Inulopsis scaposa</i> (Remy) O. Hoffm.	erva	5414
<i>Koanophyllum adamantium</i> (Gardner) R.M. King & H. Rob.	árvore	4885
<i>Lepidaploa cotoneaster</i> (Willd. ex Spreng.) H.Rob.	subarbusto	5236
<i>Lepidaploa lilacina</i> (Mart. ex DC.) H. Rob.	subarbusto	4777
<i>Lepidaploa remotiflora</i> (Rich.) H. Rob	subarbusto	774
<i>Lepidaploa rufogrisea</i> A.St. Hil.	subarbusto	763
<i>Lepidaploa vauthieriana</i> (DC.) H. Rob.	subarbusto	777
<i>Lessingianthus buddleifolius</i> (Mart. ex DC.) H. Rob.	subarbusto	5428
<i>Lessingianthus hoveaeifolius</i> (Gardner) H. Rob.	subarbusto	789
<i>Lessingianthus linearifolius</i> (Less.) H. Rob.	subarbusto	4849
<i>Lessingianthus linearis</i> (Spreng.) H.Rob.	subarbusto	805
<i>Lessingianthus psilophyllus</i> (DC.) H.Rob.	subarbusto	4997
<i>Lessingianthus rosmarinifolius</i> (Less.) H. Rob.	subarbusto	5007
<i>Lessingianthus warmingianus</i> (Baker) H. Rob.	subarbusto	4141
<i>Lychnophora pinaster</i> Mart.	arbusto	803
<i>Lychnophora reticulata</i> Gardner	arbusto	4596
<i>Lychnophora syncephala</i> Sch. Bip.	arbusto	5391
<i>Mikania cf. obtusata</i> DC.	trepadeira	3293
<i>Mikania glauca</i> Mart.	subarbusto	4425

<i>Mikania hirsutissima</i> DC.	trepadeira	4799
<i>Mikania leiolaena</i> DC.	trepadeira	4458
<i>Mikania nummularia</i> DC.	trepadeira	4881
<i>Mikania parvifolia</i> Baker	trepadeira	3359
<i>Mikania phaeoclados</i> Mart.	trepadeira	4153
<i>Mikania ramosissima</i> Gardner	trepadeira	4863
<i>Mikania rothii</i> G.M. Barroso	trepadeira	4810
<i>Mikania sessilifolia</i> DC.	subarbusto	5043
<i>Porophyllum angustissimum</i> Gadner	erva	5016
<i>Porophyllum ruderale</i> (Jacq.) Cass.	erva	4694
<i>Praxelis capillaris</i> Sch.Bip.	erva	4653
<i>Praxelis kleiniooides</i> (Kunth) Sch.Bip.	subarbusto	4542
<i>Pseudobrickellia angustissima</i> (Sprenpl. ex Baker) R.M.King & H. Rob.	arbusto	787
<i>Richterago amplexifolia</i> Kuntze	erva	3387
<i>Richterago radiata</i> (Vell.) Roque	erva	4490
<i>Senecio adamantinus</i> Bang.	subarbusto	3350
<i>Senecio pohliae</i> Sch. Bip. ex Baker	subarbusto	597
<i>Stenophalium chionaea</i> (DC.) Anderb.	subarbusto	5510
<i>Stenophalium gardneri</i> Baker	subarbusto	3284
<i>Stevia clausenii</i> Sch.Bip. ex Baker	subarbusto	4543
<i>Stevia riedelii</i> Sch. Bip. ex Baker	subarbusto	590
<i>Stevia urticaefolia</i> Thunb.	arbusto	5067
<i>Symphyopappus cf. cuneatus</i> Sch. Bip. ex Baker	arbusto	802
<i>Symphyopappus reticulatus</i> Baker	arbusto	4507
<i>Symphyopappus</i> sp.	subarbusto	5504
<i>Trichogonia hirtiflora</i> Sch. Bip. ex Baker	subarbusto	589
<i>Trichogonia salviifolia</i> Gardner	subarbusto	5379
<i>Trichogonia villosa</i> Sch. Bip. ex Baker	subarbusto	782
<i>Trixis glutinosa</i> D. Don	arbusto	4817
<i>Trixis vauthieri</i> DC.	arbusto	804
<i>Trixis verbasciformis</i> Less.	subarbusto	4616
<i>Vernonanthura westiniana</i> (Less.) H. Rob.	arbusto	4606
<i>Vittetia orbiculata</i> (DC.) R.M. King & H. Rob.	arbusto	3360
Begoniaceae		
<i>Begonia rufa</i> Thunb.	erva	3301
Bignoniaceae		
<i>Cybistax antisyphilitica</i> Mart.	arbusto	4463
<i>Jacaranda caroba</i> (Vell.) A. DC.	arbusto	4144
<i>Pyrostegia venusta</i> (Ker Gawl.) Miers	trepadeira	4681
<i>Bignoniaceae</i> sp. 1	arbusto	4496

Bignoniaceae sp. 2	trepadeira	5225
Boraginaceae		
<i>Cordia cf. curassavica</i> (Jacq.) Roem. & Schult.	arbusto	3848
Bromeliaceae		
<i>Alcantarea turgida</i> Versieux & Wand.	erva	5203
<i>Billbergia elegans</i> Mart. ex Schult. f.	erva	3308
<i>Billbergia zebrina</i> (Herb.) Lindl.	erva	5441
<i>Cryptanthus glazioui</i> Mez.	erva	4095
<i>Cryptanthus schwackeanus</i> Mez	erva	3306
<i>Dyckia</i> aff. <i>trichostachya</i> Baker	erva	4097
<i>Dyckia saxatilis</i> Mez.	erva	4449
<i>Dyckia sordida</i> Baker	erva	5202
<i>Pitcairnia curvidens</i> L.B.Sm. & R.W.Read	erva	3971
<i>Tillandsia recurvata</i> (L.) L.	erva	4450
<i>Tillandsia streptocarpa</i> Baker	erva	4476
<i>Vriesea clauseniana</i> (Baker) Mez	erva	3389
<i>Vriesea minarum</i> L.B.Sm.	erva	3962
<i>Vriesea oligantha</i> (Baker) Mez	erva	4427
Cactaceae		
<i>Rhipsalis floccosa</i> Salm-Dyck ex. Pfeiff.	erva	4771
Campanulaceae		
<i>Siphocampylus nitidus</i> Pohl	subarbusto	4781
<i>Siphocampylus</i> sp.	arbusto	4581
Celastraceae		
<i>Plenckia populnea</i> Reissek	árvore	3909
Clusiaceae		
<i>Kielmeyera variabilis</i> Mart. & Zucc.	arbusto	4647
<i>Kielmeyera</i> sp.	arbusto	5445
Commelinaceae		
<i>Commelina erecta</i> L.	erva	5050
<i>Commelina</i> sp.	erva	5436
Convolvulaceae		
<i>Evolvulus filipes</i> Mart.	erva	5055
<i>Evolvulus linarioides</i> Meisn.	erva	4205
<i>Evolvulus lithospermoides</i> Mart.	subarbusto	4040
<i>Ipomoea</i> aff. <i>rupestris</i> Sim.-Bianch. & Pirani	trepadeira	4053
<i>Ipomoea patula</i> Choisy	trepadeira	4184
<i>Ipomoea procumbens</i> Mart. ex Choisy	trepadeira	5063
<i>Ipomoea rupestris</i> Sim.-Bianch. & Pirani	trepadeira	4174
<i>Jacquemontia prostrata</i> Choisy	subarbusto	4865
<i>Merremia macrocalyx</i> (Ruiz & Pav.) O'Donell	trepadeira	4471

<i>Merremia tomentosa</i> (Choisy) Hallier f.	trepadeira	4837
Cyperaceae		
<i>Bulbostylis</i> aff. <i>consanguinea</i> (Kunth) C.B. Clarke	erva	5081
<i>Bulbostylis capillaris</i> (L.) C.B.Clarke	erva	3875
<i>Bulbostylis consangüinea</i> (Kunth) C.B. Clarke	erva	4055
<i>Bulbostylis fasciculata</i> Uittien	erva	5075
<i>Bulbostylis fimbriata</i> (Nees) C. B. Clarke	erva	3872
<i>Bulbostylis junciformis</i> (Kunth) C.B. Clarke	erva	4169
<i>Bulbostylis juncoïdes</i> (Vahl) Kük. ex Osten	erva	5456
<i>Bulbostylis</i> sp. 1	erva	4491
<i>Bulbostylis</i> sp. 2	erva	4111
<i>Bulbostylis</i> sp. 3	erva	3353
<i>Cryptantium humile</i> (Nees) Boeck.	erva	3337
<i>Cryptantium minarum</i> (Nees) Boeck.	erva	5553
<i>Cryptantium</i> sp.	erva	3877
<i>Cyperus aggregatus</i> (Willd.) Endl.	erva	3903
<i>Cyperus esculentus</i> L.	erva	4619
<i>Fimbristylis complanata</i> (Retz.) Link	erva	4540
<i>Fimbristylis</i> sp.	erva	4066
<i>Lagenocarpus rigidus</i> Kunth	erva	4104
<i>Lagenocarpus tenuifolius</i> (Boeck.) C.B. Clarke	erva	5371
<i>Rhynchospora consanguinea</i> (Kunth)Boeck.	erva	4494
<i>Rhynchospora emaciata</i> (Nees) Boeck.	erva	3901
<i>Rhynchospora exaltata</i> Kunth	erva	4917
<i>Rhynchospora globosa</i> (Kunth) Roem. & Schult	erva	4618
<i>Rhynchospora rugosa</i> (Vahl) Gale	erva	4030
<i>Rhynchospora setigera</i> (Kunth) Boeck.	erva	4955
<i>Rhynchospora tenuis</i> Link	erva	5457
<i>Rhynchospora</i> sp. 1	erva	3974
<i>Rhynchospora</i> sp. 2	erva	5503
<i>Rhynchospora</i> sp. 3	erva	3365
<i>Rhynchospora</i> sp. 4	erva	4944
<i>Rhynchospora</i> sp. 5	erva	4888
<i>Rhynchospora tenuis</i> Link	erva	4102
<i>Scleria acanthocarpa</i> Boeck.	erva	4620
<i>Scleria bracteata</i> Cav.	erva	4661
<i>Scleria distans</i> Poir.	erva	3329
<i>Scleria leptostachya</i> Kunth	erva	5240
<i>Scleria spicata</i> (Spreng.) J.C. Macbr	erva	5081
<i>Trileps lhotzkiana</i> Nees	erva	3875
Dilleniaceae		

<i>Davilla elliptica</i> A.St.-Hil.	árvore	5070
Dioscoreaceae		
<i>Dioscorea</i> sp. 1	trepadeira	4204
<i>Dioscorea</i> sp. 2	trepadeira	4045
<i>Dioscorea</i> sp. 3	trepadeira	5528
<i>Dioscorea</i> sp. 4	trepadeira	4436
Droseraceae		
<i>Drosera</i> sp. 1	erva	4015
<i>Drosera</i> sp. 2	erva	4783
<i>Drosera</i> sp. 3	erva	4623
Ebenaceae		
<i>Diospyros sericea</i> A.DC.	árvore	3846
Ericaceae		
<i>Agarista coriifolia</i> var. <i>coriifolia</i> (Thunb.) J.D. Hooker ex Nied.	subarbusto	3298
<i>Agarista pulchella</i> var. <i>cordifolia</i> (Meisn. in Mart.) Judd	subarbusto	5036
<i>Gaylussacia reticulata</i> var. <i>reticulata</i> Mart. ex Meisn.	subarbusto	4149
<i>Gaylussacia</i> sp.1	subarbusto	3970
<i>Gaylussacia</i> sp. 2	subarbusto	3989
Eriocaulaceae		
<i>Actinocephalus bongardii</i> (A St.-Hil.) Sano	erva	4804
<i>Actinocephalus polyanthus</i> (Bong.) Sano	erva	3976
<i>Paepalanthus elongates</i> Korn.	erva	3965
<i>Paepalanthus scleranthus</i> Ruhland	erva	4430
<i>Paepalanthus spixianus</i> Mart.	erva	4442
<i>Paepalanthus vellozoides</i> Korn.	erva	4574
<i>Paepalanthus</i> sp. 1	erva	4553
<i>Paepalanthus</i> sp. 2	erva	4012
<i>Paepalanthus</i> sp. 3	erva	4445
<i>Syngonanthus gracilis</i> (Bong.) Ruhland	erva	4672
Erythroxylaceae		
<i>Erythroxylum loefgrenii</i> Diogo	arbusto	3908
<i>Erythroxylum suberosum</i> A.St.-Hil.	arbusto	3896
<i>Erythroxylum suberosum</i> var. <i>denudatum</i> O.E.Schulz	arbusto	4822
<i>Erythroxylum tortuosum</i> Mart.	arbusto	5073
<i>Erythroxylum</i> sp.	arbusto	4757
Euphorbiaceae		
<i>Croton antisyphiliticus</i> Mart.	arbusto	5469
<i>Croton campestris</i> A.St.-Hil.	subarbusto	3870
<i>Croton siderophyllus</i> Baill.	subarbusto	4121
<i>Croton timandroides</i> (Didr.) Muell Arg.	subarbusto	3959

<i>Croton</i> sp.		subarbusto	5513
<i>Euphorbia portulacoides</i> L.		erva	3995
<i>Euphorbia potentiloides</i> Boiss.		erva	4920
<i>Manihot</i> sp.		arbusto	5232
<i>Microstachys daphnoides</i> (Mart.) Mull. Arg.		subarbusto	4148
Fabaceae			
<i>Acosmium dasycarpum</i> (Vogel) Yakovlev		árvore	3855
<i>Aeschynomene paniculata</i> Willd. ex Vogel		erva	5463
<i>Camptosema scarlatinum</i> (Benth.) Burkart		trepadeira	3862
<i>Centrosema arenarium</i> Benth.		trepadeira	4664
<i>Chamaecrista cathartica</i> (Mart.) H.S. Irwin & Barneby		subarbusto	4652
<i>Chamaecrista ciliolata</i> (Benth.) H.S. Irwin & Barneby		subarbusto	4842
<i>Chamaecrista desvauxii</i> (Collad.) Killip		subarbusto	3882
<i>Chamaecrista ramosa</i> (Vogel) H.S. Irwin & Barneby		subarbusto	4145
<i>Chamaecrista repens</i> (Vogel) H.S. Irwin & Barneby		subarbusto	4060
<i>Chamaecrista rotundifolia</i> (Pers.) Greene		subarbusto	4492
<i>Chamaecrista trichopoda</i> (Benth.) Britton & Rose ex Britton & Killip		subarbusto	4202
<i>Crotalaria rufipila</i> Benth.		arbusto	4866
<i>Dalbergia miscolobium</i> Benth.		árvore	5065
<i>Indigofera</i> sp.		subarbusto	5053
<i>Mimosa pogocephala</i> Benth.		arbusto	5030
<i>Mimosa radula</i> Benth.		subarbusto	4456
<i>Mimosa</i> sp.		subarbusto	4921
<i>Periandra mediterranea</i> (Vell.) Taub.		subarbusto	4051
<i>Poiretia coriifolia</i> Vogel		subarbusto	4163
<i>Senna macranthera</i> (Collad.) H.S. Irwin & Barneby		árvore	4968
<i>Senna rugosa</i> (G. Don) H. S. Irwin & Barneby		arbusto	4462
<i>Stryphnodendron adstringens</i> (Mart.) Coville		arbusto	3915
<i>Stylosanthes gracilis</i> Kunth		subarbusto	3867
<i>Stylosanthes hamata</i> (L.) Taub.		subarbusto	4162
<i>Stylosanthes</i> sp.		erva	5448
<i>Vigna firmula</i> (Benth.) Maréral, Mascherpa & Stainer		trepadeira	4650
<i>Vigna peduncularis</i> Fawc. & Rendle		trepadeira	3291
<i>Zornia latifolia</i> Sm.		trepadeira	4186
<i>Zornia diphylla</i> (L.) Pers.		trepadeira	5470
Fabaceae sp. 1		arbusto	4461
Fabaceae sp. 2		subarbusto	5377
Fabaceae sp. 3		erva	5467
Gentianaceae			
<i>Calolisianthus pedunculatus</i> (Cham. & Schldl.) Gilg		subarbusto	4010

<i>Calolisianthus pulcherrimus</i> (Mart.) Gilg.	subarbusto	4044
<i>Curtia tenuifolia</i> (Aubl.) Knobl.	erva	5064
<i>Deianira erubescens</i> Cham. & Schldt.	erva	4683
<i>Schultesia</i> aff. <i>gracilis</i> Mart.	erva	4675
<i>Schultesia gracilis</i> Mart.	erva	5012
Gesneriaceae		
<i>Nematanthus strigillosus</i> (Mart.) H.E.Moore	subarbusto	4597
<i>Paliavana sericiflora</i> Benth.	arbusto	3984
<i>Sinningia aggregate</i> (Ker Gawl.) Wiehler	arbusto	5211
<i>Sinningia allagophylla</i> (Mart.) Wiehler	arbusto	3881
<i>Sinningia magnifica</i> (Otto & Dietr.) Wiehler	arbusto	3300
Iridaceae		
<i>Neomarica rupestris</i> (Ravenna) N.S. Chukr	erva	3352
<i>Sisyrinchium vaginatum</i> Spreng.	erva	3328
<i>Trimezia juncifolia</i> (Klatt) Benth. & Hook.	erva	4061
Iridaceae sp.	erva	4175
Lamiaceae		
<i>Hypenia macrantha</i> (A.St.-Hil. ex Benth.) Harley	subarbusto	4840
<i>Hyptis</i> cf. <i>homalophylla</i> Pohl ex Benth.	subarbusto	3314
<i>Hyptis lippoides</i> Pohl ex Benth.	arbusto	4114
<i>Hyptis rotundifolia</i> Benth.	subarbusto	5511
<i>Hyptis</i> sp. 1	subarbusto	5419
<i>Hyptis</i> sp. 2	subarbusto	4590
<i>Hyptis</i> sp. 3	subarbusto	4068
<i>Vitex polygama</i> Cham	arbusto	3956
Lauraceae		
<i>Cassytha filiformis</i> L.	parasita	4058
<i>Ocotea pulchella</i> (Nees & Mart.) Mez	árvore	5046
<i>Ocotea tristis</i> (Nees & Mart.) Mez	arbusto	4572
Lentibulariaceae		
<i>Utricularia</i> sp. 1	erva	4482
<i>Utricularia</i> sp. 2	erva	4674
<i>Utricularia</i> sp. 3	erva	4013
<i>Utricularia</i> sp. 4	erva	4014
Loganiaceae		
<i>Spigelia sellowiana</i> Scham. & Schldl.	subarbusto	4077
<i>Strychnos</i> sp.	subarbusto	5450
Loranthaceae		
<i>Psittacanthus robustus</i> (Mart.) Mart.	parasita	3886
<i>Struthanthus flexicaulis</i> Mart.	parasita	4913
Lythraceae		

<i>Cuphea ericoides</i> Cham. & Schltdl.	subarbusto	3876
<i>Cuphea</i> cf. <i>acinos</i> A.St. Hil.	subarbusto	4197
<i>Cuphea thymoides</i> Cham. & Schltdl.	subarbusto	4166
<i>Cuphea</i> sp.	subarbusto	5212
<i>Diplusodon</i> sp. 1	arbusto	4467
<i>Diplusodon</i> sp. 2	arbusto	4048
<i>Diplusodon</i> sp. 3	arbusto	4577
<i>Lafoensia pacari</i> A.St. Hil.	árvore	4645
Malpighiaceae		
<i>Banisteriopsis campestris</i> (A.Juss.) Little	trepadeira	5453
<i>Byrsonima macrophylla</i> (Pers.) W.R.Anderson	arbusto	4886
<i>Banisteriopsis malifolia</i> var. <i>malifolia</i> (Nees & Mart.) B.Gates	arbusto	4509
<i>Byrsonima variabilis</i> A. Juss.	arbusto	3317
<i>Byrsonima verbascifolia</i> (L.) DC.	arbusto	4505
<i>Heteropterys pteropetala</i> A. Juss.	arbusto	3866
<i>Heteropterys umbellata</i> A.Juss.	arbusto	4164
<i>Peixotoa tomentosa</i> A.Juss.	trepadeira	4611
<i>Pterandra pyroidea</i> A.Juss.	arbusto	4460
<i>Tetrapterys microphylla</i> (A.Juss.) Nied.	subarbusto	4628
Malvaceae		
<i>Pavonia</i> sp.	subarbusto	4847
<i>Pseudobombax</i> sp. 1	arbusto	4639
<i>Pseudobombax</i> sp. 2	arbusto	5444
<i>Sida</i> cf. <i>linifolia</i> Cav.	erva	4658
<i>Walteria indica</i> L.	erva	5227
Malvaceae sp. 1	erva	5471
Malvaceae sp. 2	subarbusto	4484
Malvaceae sp. 3	subarbusto	4468
Malvaceae sp. 4	subarbusto	4608
Melastomataceae		
<i>Cambessedesia corymbosa</i> Mart. & Schr. ex DC.	subarbusto	4078
<i>Cambessedesia espora</i> (A.St.-Hil. ex Bonpl.) DC.	erva	4856
<i>Cambessedesia hilariana</i> (Kunth) DC.	subarbusto	4558
<i>Comolia sertularia</i> (DC.) Triana	arbusto	4839
<i>Comolia sessilis</i> (Spreng.) Triana	subarbusto	4122
<i>Fritzchia erecta</i> Cham. & Schltdl.	erva	3282
<i>Lavoisiera</i> sp.	arbusto	4887
<i>Leandra aurea</i> (Cham.) Cogn.	arbusto	4080
<i>Leandra oligochaeta</i> (Cham.) Cogn.	arbusto	3947
<i>Leandra</i> sp. 1	arbusto	4082

<i>Leandra</i> sp. 2	arbusto	5229
<i>Marcketia taxifolia</i> DC.	subarbusto	5032
<i>Miconia albicans</i> (Sw.) Steud.	arbusto	4858
<i>Miconia corallina</i> Sprin	arbusto	3894
<i>Miconia ferruginata</i> DC.	arbusto	4807
<i>Miconia ligustroides</i> (DC.) Naudin	arbusto	3851
<i>Miconia pennipilis</i> Cogn.	arbusto	3357
<i>Miconia pepericarpa</i> DC.	arbusto	4565
<i>Miconia rubiginosa</i> (Bonpl.) DC.	arbusto	4110
<i>Microlicia avicularis</i> Mart. ex Naudin	subarbusto	4816
<i>Microlicia crenulata</i> (DC.) Mart.	arbusto	3954
<i>Microlicia fulva</i> (Spreng.) Cham.	arbusto	4576
<i>Microlicia macrophylla</i> Naudin	subarbusto	4890
<i>Microlicia</i> sp.1	subarbusto	4905
<i>Microlicia</i> sp.2	subarbusto	5045
<i>Microlicia</i> sp.3	subarbusto	5506
<i>Ossaea coriacea</i> (Naudin) Triana	arbusto	4074
<i>Siphonthera arenaria</i> (DC.) Cogn.	erva	4555
<i>Tibouchina cardinalis</i> Cogn.	arbusto	4967
<i>Tibouchina frigidula</i> (DC.) Cogn.	arbusto	3986
<i>Tibouchina heteromalla</i> (D.Don) Cogn.	arbusto	3847
<i>Tibouchina semidecandra</i> (DC.) Cogn.	árvore	3341
<i>Tibouchina villosissima</i> (Triana) Cogn.	arbusto	4554
<i>Trembleya laniflora</i> (D.Don) Cogn.	arbusto	5025
<i>Trembleya parviflora</i> Cogn.	arbusto	4873
Meliaceae		
<i>Cabralea canjerana</i> (Vell.) Mart.	arbusto	3385
Menispermaceae		
<i>Cissampelos ovalifolia</i> DC.	subarbusto	4194
Monimiaceae		
<i>Mollinedia</i> cf. <i>triflora</i> (Spreng.) Tul.	árvore	3374
Moraceae		
<i>Ficus</i> sp.		árvore
Myrtaceae		
<i>Accara elegans</i> (DC.) Landrum	arbusto	5396
<i>Calyptranthes pulchella</i> DC.	árvore	3484
<i>Campomanesia adamantium</i> (Cambess.) O.Berg	arbusto	5218
<i>Eugenia bimarginata</i> O. Berg.	arbusto	4633
<i>Eugenia punicifolia</i> (Kunth) DC.	árvore	4646
<i>Myrciaria alpigena</i> (DC.) Landrum	arbusto	3349
<i>Myrcia amazonica</i> DC.	árvore	3952

<i>Myrcia eriocalyx</i> DC.	árvore	4099
<i>Myrcia guianensis</i> (Aubl.) DC.	árvore	5421
<i>Myrcia hartwegiana</i> (O. Berg) Kiaersk.	árvore	5092
<i>Myrcia montana</i> Cambess.	árvore	3326
<i>Myrcia mutabilis</i> (O.Berg.) N.Silveira	árvore	5393
<i>Myrcia splendens</i> (Sw.) DC.	árvore	3987
<i>Myrcia subverticillaris</i> (O.Berg) Kiaersk.	árvore	4904
<i>Myrcia tomentosa</i> (Aubl.) DC.	árvore	5217
<i>Myrciaria glanduliflora</i> (Kiaersk.) Mattos & D.Legrand	arbusto	5247
<i>Psidium</i> cf. <i>myrtoides</i> O. Berg	árvore	5060
<i>Psidium</i> cf. <i>oligospermum</i> DC.	árvore	5446
Nyctaginaceae		
<i>Guapira</i> cf. <i>hirsuta</i> (Choisy) Lundell	árvore	4786
<i>Guapira opposita</i> (Vell.) Reitz	árvore	5522
<i>Guapira</i> cf. <i>tomentosa</i> (Casar.) Lundell	árvore	3384
Ochnaceae		
<i>Luxemburgia octandra</i> A.St.-Hil.	subarbusto	4143
<i>Ouratea floribunda</i> Engl.	arbusto	4838
<i>Ouratea</i> sp.	arbusto	4909
<i>Sauvagesia</i> cf. <i>erecta</i> L.	subarbusto	5559
<i>Sauvagesia</i> sp.	subarbusto	4123
Orchidaceae		
<i>Acianthera limae</i> (Porto & Brade) Prindgeon & M.W.Chase	erva	4760
<i>Acianthera prolifera</i> (Herb. ex Lindl.) Prindgeon & M.W. Chase	erva	3333
<i>Acianthera teres</i> (Lindl.) Borba	erva	4189
<i>Bifrenaria aureofulva</i> Lindl.	erva	3320
<i>Bifrenaria</i> sp.	erva	4067
<i>Brassavola tuberculata</i> Hook.	erva	5105
<i>Bulbophyllum</i> cf. <i>involutum</i> Borba, Semir & F. Barros	erva	5003
<i>Bulbophyllum weddelii</i> (Lindl.) Rchb. f.	erva	4378
<i>Cattleya caulescens</i> (Lindl.) Van den Berg	erva	5048
<i>Cattleya crispata</i> (Thunb.) Van den Berg	erva	4846
<i>Cattleya fournieri</i> (Cogn.) Van den Berg	erva	4854
<i>Cattleya kettieana</i> (Pabst) Van den Berg	erva	5005
<i>Cattleya</i> sp.	erva	4439
<i>Christensonella subulata</i> (Lindl.) Szlach. et al.	erva	3305
<i>Cleistes gracilis</i> (Barb. Rodr.) Schltr.	erva	2776
<i>Cyrtopodium</i> sp.	erva	5252
<i>Dichaea cogniauxiana</i> Schltr.	erva	3717

<i>Epidendrum campestre</i> Lindl.	erva	3635
<i>Epidendrum chlorinum</i> Barb. Rodr.	erva	3321
<i>Epidendrum dendrobioides</i> Thunb.	erva	5557
<i>Epidendrum saxatile</i> Lindl.	erva	4041
<i>Epidendrum secundum</i> Jacq.	erva	5380
<i>Galeandra montana</i> Barb. Rodr.	erva	4644
<i>Gomesa blanchetii</i> (Rchb.f.) M.W.Chase & N.H.Williams	erva	4451
<i>Gomesa warmingii</i> (Rchb.f.) M.W.Chase & N.H.Williams	erva	3297
<i>Gomesa</i> sp.	erva	5412
<i>Habenaria</i> aff. <i>nuda</i> Lindl.	erva	4561
<i>Habenaria caldensis</i> Kraenzl.	erva	4000
<i>Habenaria guilleminii</i> Rchb.f.	erva	3897
<i>Habenaria humilis</i> Cogn.	erva	4022
<i>Habenaria rolfeana</i> Schltr.	erva	3997
<i>Habenaria rupicola</i> Barb. Rodr.	erva	4135
<i>Habenaria</i> sp.	erva	3278
<i>Liparis vexillifera</i> (La Llave & Lex.) Cogn.	erva	5384
<i>Pelexia oestrifera</i> (Rchb.f. & Warm.) Schltr.	erva	3345
<i>Pelexia parva</i> (Cogn.) Schltr.	erva	5000
<i>Pelexia</i> sp.	erva	4020
<i>Prescottia montana</i> Barb.Rodr.	erva	3296
<i>Prescottia phleoides</i> Lindl.	erva	4622
<i>Prescottia plantaginifolia</i> Lindl. ex Hook.	erva	4796
<i>Prosthechea allemanoides</i> (Hoehne) W.E. Higgins	erva	3340
<i>Prosthechea pachysepala</i> (Klotzsch) Chiron & V. P. Castro	erva	3980
<i>Pseudolaelia geraensis</i> Pabst	erva	5228
<i>Veyretia rupicola</i> (Garay) F. Barros	erva	4861
<i>Zygopetalum triste</i> Barb. Rodr.	erva	3286
<i>Zygopetalum</i> cf. <i>mackayi</i> Hook.	erva	3437
<i>Orchidaceae</i> sp. 1	erva	4006
Orobanchaceae		
<i>Buchnera lavandulacea</i> Cham. & Schltdl.	subarbusto	4680
<i>Physocalyx major</i> Mart.	subarbusto	2775
Oxalidaceae		
<i>Oxalis</i> sp. 1	subarbusto	5415
<i>Oxalis</i> sp. 2	subarbusto	4591
Phyllanthaceae		
<i>Phyllanthus fastigiatus</i> Mart. ex Mull. Arg.	erva	3332
<i>Phyllanthus</i> cf. <i>orbiculatus</i> Rich.	erva	5237
<i>Phyllanthus</i> sp. 1	erva	3880
<i>Phyllanthus</i> sp. 2	erva	4023

<i>Phyllanthus</i> sp. 3	erva	4035
<i>Phyllanthus</i> sp. 4	erva	5505
Phytolaccaceae		
<i>Microtea paniculata</i> Moq.	erva	5403
Piperaceae		
<i>Peperomia blanda</i> (Jacq.) Kunth	erva	3310
<i>Peperomia decora</i> Dahlst.	erva	5536
<i>Peperomia subrubrispica</i> C.DC.	erva	4034
<i>Peperomia</i> sp.	erva	4787
Plantaginaceae		
<i>Scoparia dulcis</i> L.	subarbusto	5597
Poaceae		
<i>Andropogon bicornis</i> L.	erva	833
<i>Andropogon brasiliensis</i> A.Zanin & Longhi-Wagner	erva	3330
<i>Andropogon</i> cf. <i>carinatus</i> Nees	erva	4927
<i>Andropogon</i> cf. <i>macrothrix</i> Trin.	erva	4926
<i>Andropogon ingratus</i> Hack.	erva	4626
<i>Andropogon leucostachyus</i> Kunth	erva	5476
<i>Andropogon virgatus</i> Desv. ex Ham.	erva	5210
<i>Andropogon</i> sp.	erva	856
<i>Anthaenantia lanata</i> (Kunth) Benth.	erva	4515
<i>APOCHLOA euprepes</i> (Renvoize) Zuloaga & Morrone	erva	844
<i>APOCHLOA molinioides</i> Trin.	erva	3315
<i>Aristida capillacea</i> Lam.	erva	611
<i>Aristida gibbosa</i> Kunth	erva	621
<i>Aristida recurvata</i> Kunth	erva	865
<i>Aristida riparia</i> Trin.	erva	623
<i>Aristida setifolia</i> Kunth	erva	870
<i>Aristida torta</i> Kunth	erva	4934
<i>Aristida</i> sp.	erva	875
<i>Aulonemia effusa</i> (Hack.) McClure	erva	4806
<i>Axonopus brasiliensis</i> (Spreng.) Kuhlm.	erva	3945
<i>Axonopus capillaris</i> (Lam.) Chase	erva	4583
<i>Axonopus chrysoblepharis</i> (Lag.) Chase	erva	3290
<i>Axonopus fastigiatus</i> (Nees ex Trin.) Kuhlm.	erva	596
<i>Axonopus pressus</i> (Nees) Parodi	erva	826
<i>Axonopus siccus</i> (Nees) Kuhlm.	erva	4518
<i>Chusquea</i> cf. <i>attenuate</i> (Doll) L.G. Clark	erva	3348
<i>Chusquea pinifolia</i> (Nees) Nees	erva	3371
<i>Danthonia secundiflora</i> J.Presl & C.Presl	erva	3334
<i>Dichanthelium</i> cf. <i>sciurotoides</i> (Zuloaga & Morone)	erva	4522

Davidse

<i>Dichanthelium</i> cf. <i>stigmosum</i> (Trin.) Zuloaga	erva	3335
<i>Dichanthelium sabulorum</i> (Lam.) Gould & C.A. Clark	erva	4117
<i>Dichanthelium</i> sp.	erva	842
<i>Echinolaena inflexa</i> (Poir.) Chase	erva	610
<i>Eragrostis mokensis</i> Pilg.	erva	4528
<i>Eragrostis rufescens</i> Schrad. ex Schult.	erva	4678
<i>Ichnanthus bambusiflorus</i> (Trin.) Döll	erva	618
<i>Ichnanthus inconstans</i> (Trin. ex Nees) Döll	erva	4092
<i>Ichnanthus longiglumis</i> Mez	erva	4119
<i>Melinis minutiflora</i> P. Beauv.	erva	873
<i>Melinis repens</i> (Wild.) Zizka	erva	5239
<i>Mesosetum loliiforme</i> (Hochst.) Chase	erva	5497
<i>Microchloa indica</i> (L. f.) P. Beauv.	erva	4176
<i>Ocellochloa latissima</i> (Mikan ex Trin.) Zuloaga & Morrone	erva	3309
<i>Panicum</i> aff. <i>Cyanescens</i> Nees ex Trin.	erva	3316
<i>Panicum</i> aff. <i>sabulorum</i> Lam.	erva	822
<i>Panicum cyanescens</i> Nees	erva	3981
<i>Panicum pseudisachne</i> Mez	erva	3379
<i>Panicum schwackeanum</i> Mez	erva	5493
<i>Panicum sellowii</i> Nees	erva	4300
<i>Panicum subulatum</i> Spreng.	erva	4935
<i>Panicum wettsteinii</i> Hack.	erva	616
<i>Panicum</i> sp.	erva	5439
<i>Parodiolyra micrantha</i> (Kunth) Davidse & Zuloaga	erva	5246
<i>Paspalum</i> aff. <i>scalare</i> Trin.	erva	5029
<i>Paspalum</i> aff. <i>trachycoeon</i> Steud.	erva	4687
<i>Paspalum carinatum</i> Humb. & Bonpl. ex Flüggé	erva	5408
<i>Paspalum</i> cf. <i>stellatum</i> Humb. & Bonpl. ex Flüggé	erva	852
<i>Paspalum cinerascens</i> (Döll) A.G.Burm. &C.N.Bastos	erva	4973
<i>Paspalum eucomum</i> Nees ex Trin.	erva	613
<i>Paspalum multicaule</i> Poir.	erva	5475
<i>Paspalum parviflorum</i> Rhode ex Flüggé	erva	4690
<i>Paspalum polyphyllum</i> Nees	erva	4520
<i>Paspalum scalare</i> Trin.	erva	4521
<i>Paspalum</i> sp.	erva	622
<i>Raddiella esenbeckii</i> (Steud.) C.E. Calderón & Soderstr.	erva	4923
<i>Schizachyrium</i> aff. <i>microstachyum</i> (Desv. ex Ham.) Roseng., B.R. Arrill. & Izag.	erva	619
<i>Schizachyrium microstachyum</i> (Desv. ex Ham.) Roseng., B.R. Arrill. & Izag.	erva	845

<i>Schizachyrium sanguineum</i> (Retz.) Alston	erva	861
<i>Schizachyrium tenerum</i> Nees	erva	5498
<i>Setaria parviflora</i> (Poir.) Kerguélen	erva	4001
<i>Setaria</i> sp.	erva	5068
<i>Sporobolus acuminatus</i> (Trin.) Hack.	erva	4100
<i>Sporobolus aeneus</i> (Trin.) Kunth	erva	5496
<i>Sporobolus ciliatus</i> J. Presl	erva	4632
<i>Sporobolus metallicola</i> Longhi-Wagner & Boechat	erva	612
<i>Steinchisma decipiens</i> (Nees & Trin.) W.V. Br.	erva	5020
<i>Trachypogon spicatus</i> (L. f.) Kuntze	erva	614
<i>Tristachya leiostachya</i> Nees	erva	5410
Poaceae sp.1	erva	5422
Poaceae sp.2	erva	5223
Poaceae sp.3	erva	5455
Poaceae sp.4	erva	5461
Poaceae sp.5	erva	5040
Poaceae sp.6	erva	5388
Poaceae sp.7	erva	5407
Poaceae sp.8	erva	5411
Polygalaceae		
<i>Bredemeyera floribunda</i> Willd.	arbusto	4454
<i>Monnina stenophylla</i> A.St.-Hil. & Moq.	subarbusto	4025
<i>Polygala bryoides</i> A.St.-Hil. & Moq.	erva	4999
<i>Polygala cuspidata</i> DC.	erva	3873
<i>Polygala fendleri</i> Chodat	subarbusto	3898
<i>Polygala glochidiata</i> Kunth	erva	4483
<i>Polygala hebeclada</i> DC.	erva	5080
<i>Polygala longicaulis</i> Kunth	erva	5382
<i>Polygala monninoides</i> Kunth	erva	3878
<i>Polygala paniculata</i> L.	erva	3361
<i>Polygala</i> sp.	subarbusto	4152
Portulacaceae		
<i>Portulaca mucronata</i> Link.	erva	3924
Primulaceae		
<i>Myrsine monticola</i> Mart.	arbusto	3849
<i>Myrsine umbellata</i> Mart.	árvore	4785
<i>Myrsine villosissima</i> A.DC.	arbusto	4774
Proteaceae		
<i>Roupala montana</i> Aubl	arbusto	3281
Rubiaceae		
<i>Borreria capitata</i> (Ruiz. & Pav.) DC.	erva	4029

<i>Borreria latifolia</i> (Aublet) K. Schum.	erva	4473
<i>Borreria verticillata</i> (L.) G. Meyer	erva	4021
<i>Borreria</i> sp.	erva	5013
<i>Coccocypselum aureum</i> Cham. & Schltdl	erva	4026
<i>Cordiera concolor</i> (Cham.) Kuntze	arbusto	3367
<i>Cordiera elliptica</i> (Cham.) Kuntze	arbusto	3949
<i>Declieuxia deltoidea</i> Müll.Arg.	subarbusto	3944
<i>Declieuxia</i> sp.	subarbusto	3883
<i>Diodella apiculata</i> (R. & S.) K. Schum.	subarbusto	4453
<i>Diodella teres</i> (Walter) Small	subarbusto	3918
<i>Emmeorhiza umbellata</i> Pohl ex Endl.	trepadeira	4779
<i>Faramea nigrescens</i> Mart.	arbusto	4508
<i>Galianthe lillifolia</i> (Standl.) E.L. Cabral	subarbusto	4495
<i>Hillia parasitica</i> Jacq.	arbusto	3372
<i>Mitracarpus</i> sp. 1	subarbusto	5078
<i>Mitracarpus</i> sp. 2	erva	5248
<i>Palicourea rigida</i> Kunth	arbusto	3892
<i>Psychotria capitata</i> Ruiz & Pav.	arbusto	3890
<i>Psychotria vellosiana</i> Benth.	arbusto	3325
<i>Psyllocarpus</i> cf. <i>laricoides</i> Martius in Martius & Zucc.	subarbusto	4018
<i>Rudgea viburnoides</i> (Cham.) Benth.	arbusto	4459
<i>Sabicea</i> cf. <i>brasiliensis</i> Wernham	arbusto	5375
<i>Tocoyena formosa</i> (Cham. & Schltdl.) K.Schum	arbusto	4499
Rubiaceae sp. 1	erva	5449
Rubiaceae sp. 2	erva	5399
Rubiaceae sp. 3	erva	5509
Rutaceae		
<i>Zanthoxylum</i> cf. <i>rhoifolium</i> Lam.	árvore	3850
Sapindaceae		
<i>Serjania</i> sp.	trepadeira	3888
Sapotaceae		
<i>Chrysophyllum marginatum</i> (Hook & Arn.) Radlk.	árvore	4474
Siparunaceae		
<i>Siparuna</i> cf. <i>guianensis</i> Aubl.	arbusto	5443
Smilacaceae		
<i>Smilax syringoides</i> Griseb.	trepadeira	3885
<i>Smilax oblongifolia</i> Pohl ex Griseb.	subarbusto	3951
<i>Smilax</i> sp. 1	subarbusto	4764
<i>Smilax</i> sp. 2	subarbusto	4159
<i>Smilax</i> sp. 3	subarbusto	4883
Solanaceae		

<i>Brunfelsia brasiliensis</i> (Spreng.) L.B. Sm. & Downs	arbusto	3907
<i>Dysochroma viridiflora</i> Miers	arbusto	3492
<i>Schwenckia americana</i> Rooyen ex L.	erva	4485
<i>Solanum didymum</i> Dunal	arbusto	5433
<i>Solanum refractifolium</i> Sendtn.	subarbusto	3380
<i>Solanum sisymbriifolium</i> Lam.	subarbusto	4592
<i>Solanum stenandrum</i> Dunal	arbusto	4497
<i>Solanum subumbellatum</i> Vell.	arbusto	4093
Turneraceae		
<i>Piriqueta</i> sp.	erva	4654
<i>Turnera</i> sp.	erva	4996
Valerianaceae		
<i>Valeriana scandens</i> L.	trepadeira	4770
Velloziaceae		
<i>Barbacenia aurea</i> L.B.Sm. & Ayensu	erva	4428
<i>Barbacenia globata</i> Goethart & Henrard	erva	4096
<i>Barbacenia sellovii</i> Goethart & Henrard	erva	4820
<i>Barbacenia</i> sp. 1	erva	5501
<i>Barbacenia</i> sp. 2	erva	5502
<i>Vellozia albiflora</i> Pohl	erva	3895
<i>Vellozia compacta</i> Mart. ex Schult. & Schult. f.	erva	3863
<i>Vellozia graminea</i> Pohl	erva	3311
<i>Vellozia variabilis</i> Mart. ex Schult. & Schult.f.	erva	3864
<i>Vellozia</i> sp. 1	erva	5423
<i>Vellozia</i> sp. 2	erva	5507
Verbenaceae		
<i>Lantana camara</i> L.	arbusto	3860
<i>Lantana fucata</i> Lindl.	arbusto	3891
<i>Lippia corymbosa</i> Cham.	subarbusto	5038
<i>Lippia florida</i> Cham.	subarbusto	4142
<i>Lippia hermannioides</i> Cham.	arbusto	3868
<i>Lippia lupulina</i> Cham.	subarbusto	5061
<i>Lippia martiana</i> Schauer	subarbusto	4187
<i>Lippia microphylla</i> Cham.	arbusto	3921
<i>Lippia rotundifolia</i> Cham.	subarbusto	4815
<i>Lippia sericea</i> Cham.	arbusto	4693
<i>Stachytarpheta commutata</i> Schauer	arbusto	3354
<i>Stachytarpheta glabra</i> Cham.	arbusto	4086
<i>Stachytarpheta reticulata</i> Mart. Ex Schauer	arbusto	4832
Vitaceae		
<i>Cissus erosa</i> Rich.	trepadeira	3922

<i>Cissus</i> cf. <i>subrhomboidea</i> (Baker) Planch.	trepadeira	5215
Vochysiaceae		
<i>Qualea cordata</i> Spreng.	árvore	3865
<i>Qualea parviflora</i> Mart.	árvore	4465
<i>Vochysia thyrsoidea</i> Pohl	arbusto	3977
Xyridaceae		
<i>Xyris celiae</i> L.B.Sm. & Downs	erva	4617
<i>Xyris obtusiuscula</i> Alb. Nilsson	erva	4004
<i>Xyris plantaginea</i> Mart.	erva	5534
<i>Xyris pterygoblephara</i> Steud.	erva	4541
<i>Xyris seubertii</i> L.A.Nilsson	erva	5490
<i>Xyris stenophylla</i> Alb. Nilsson	erva	4130
<i>Xyris tortula</i> Mart.	erva	3900
<i>Xyris</i> sp .1	erva	5532
<i>Xyris</i> sp. 2	erva	5389

Tabela 3 – Domínios fitogeográficos das espécies inventariadas nos afloramentos de granito, gnaisses e quartzitos, Quadrilátero Ferrífero, MG. CE: Cerrado; MA: Mata Atlântica; AM: Amazônia; CA: Caatinga; PAM: Pampa.

Domínio Fitogeográfico	nº spp.	%
CE	131	24
CE; MA	110	20
AM; CA; CE; MA	64	12
CA; CE; MA	60	11
MA	34	6
CA; CE	27	5
AM; CE; MA	15	3
AM; CA; CE; MA; PAM	13	2
AM; CA; CE	12	2
CE; MA; PAM	11	2
outros	45	8
todos	30	5
Total	552	100

Discussão

O presente estudo gerou informações florísticas importantes, notadamente relacionadas a vegetação sobre os granítóides, contribuindo para o conhecimento de áreas ainda pouco investigadas como as serras da Água Limpa e da Moeda. A elevada riqueza associada aos afloramentos, que somam uma área de apenas 85 ha, indica a importância desses sistemas para a manutenção da diversidade da região. Comparações com outros estudos florísticos desenvolvidos na região foram evitadas, uma vez que os mesmos incluíram outros tipos de ambientes, como campos limpos, campos sujos e ambientes brejosos. Assim, as comparações foram limitadas aos estudos que focaram os afloramentos de cangas.

Quatorze dos 20 gêneros com maior número de espécies do presente estudo também foram encontrados entre os mais ricos nas cangas do QF (Carmo & Jacobi, 2013). As exceções foram *Anemia*, *Bulbostylis*, *Andropogon*, *Aristida*, *Chromolaena* e *Lessingianthus*. Por outro lado, os gêneros *Solanum*, *Tibouchina*, *Ditassa*, *Ocotea*, *Vellozia*, *Mimosa* e *Leandra*, que estavam entre os 20 gêneros com maior número de espécies em cangas, estão ausentes entre os gêneros mais ricos nos afloramentos granito-gnaissicos e quartzíticos. Essa situação pode estar relacionada mais com os fatores geoedáficos (escala local) do que com fatores climáticos ou fitogeográficos (escala regional), uma vez que alguns afloramentos de cangas estão distantes a menos de 2 km dos afloramentos granito-gnaissicos e quartzíticos. Ao mesmo tempo, a baixa frequencia de capões também podem ter contribuído para essa discrepância, principalmente quando são analisadas espécies arbóreas e arbustivas. Essas espécies são bem freqüentes nos capões em cangas, onde os gêneros mais representativos foram *Solanum*, *Tibouchina*, *Ocotea* e *Leandra* (Viana & Lombardi, 2007; Carmo & Jacobi, 2012).

Entre as espécies raras (*sensu* Giulietti *et al.*, 2009) encontradas no presente estudo, apenas quatro foram citadas na lista oficial das espécies ameaçadas de extinção da Flora de Minas Gerais, de 1997: *Chaptalia martii* (em perigo), *Cryptanthus glazioui* (em perigo), *Lychnophora pinaster* (vulnerável) e *Vriesea clauseniana* (vulnerável). Nenhuma delas foi considerada ameaçada de extinção de acordo com a lista da Flora brasileira, de 2008. A ausência das espécies endêmicas do Quadrilátero na lista brasileira da flora ameaçada de extinção e a ausência parcial na lista estadual comprometem a conservação das mesmas e dos seus habitats. As ‘listas vermelhas’ são mundialmente reconhecidas como uma ferramenta de gestão ambiental e podem, por exemplo, subsidiar políticas públicas e tomadas de decisão que tratam da utilização racional e da conservação dos recursos naturais (Ginsburg, 2001; Callmander *et al.*, 2005).

Agradecimentos

Ao Conselho Nacional de Desenvolvimento Científico e Tecnológico (CNPq), a Fundação de Amparo à Pesquisa do estado de Minas Gerais (FAPEMIG) e a US Fish and Wildlife Service pelo suporte financeiro. A CEMIG S.A. pela autorização de desenvolvimento da pesquisa na Estação Ambiental PETI e ao Instituto Estadual de Florestas (IEF-MG) pelas licenças concedidas.

Literatura Citada

- Callamander, M.W., Schatz, G.E. & Lowry II, P.P. 2005. IUCN Red List assessment and the Global Strategy for Plant Conservation: taxonomists must act now. *Taxon*, 54: 1047-1050.
- Carvalho-Filho, A., Curi, N. & Shinzato, E. 2010. Relações solo-paisagem no Quadrilátero Ferrífero em Minas Gerais. *Pesquisa Agropecuária Brasileira*, 45(8): 903-906.
- Carmo, F.F. & Jacobi, C.M. 2012. As Cangas do Quadrilátero Ferrífero. In: Jacobi, C.M. & Carmo, F.F. (Orgs.). *Diversidade Florística nas Cangas do Quadrilátero Ferrífero*. Ed. IDM, Belo Horizonte. pp. 1-13.
- Carmo, F.F. & Jacobi, C.M. 2013. A vegetação de canga no Quadrilátero Ferrífero, Minas Gerais: caracterização e contexto fitogeográfico. *Rodriguésia*, 64: 527-541.
- Davis, E.G., Pinto, E.J.A. & Pinto, M.C.F. 2004. *Projeto APA Sul RMBH: estudos do meio físico, hidrologia*. Belo Horizonte: SEMAD/CPRM. CD.
- Dorr II, J. v. N. 1969. *Physiographic, stratigraphic and structural development of Quadrilátero Ferrífero, Minas Gerais, Brazil*. USGS. Prof. Paper, 641-A. Washington. 110 p.
- Echternacht, L., Trovó, M. & Sano, P.K. 2012. Eriocaulaceae. In: Jacobi, C.M. & Carmo, F.F. (Orgs.). *Diversidade Florística nas Cangas do Quadrilátero Ferrífero*. Ed. IDM, Belo Horizonte. Pp. 114-119.
- Fiaschi, P. & Pirani, J.R. 2009. Review of plant biogeographic studies in Brazil. *Journal of Systematics and Evolution*, 47: 477-496.
- Gastauer, M., Messias, M.C.T. & Meira-Neto, J.A.A. 2012. Floristic Composition, Species Richness and Diversity of *Campo Rupestre* Vegetation from the Itacolomi State Park, Minas Gerais, Brazil. *Environment and Natural Resources Research*, 2: 115-128.
- Ginsburg, J. 2001. The Application of IUCN Red List Criteria at Regional Levels. *Conservation Biology*, 15: 1206-1212.

- Giulietti, A.M., Pirani J.R., Harley, R.M. 1997. Espinhaço Range Region, Eastern Brazil. In: S.D. Davis, V.H. Heywood, O. Herrera-MacBryde, J. Villa-Lobos & A.C. Hamilton (eds.) *Centres of plant diversity. A guide and strategies for conservations, V. 3. The Americas.* pp. 397-404. WWF/IUCN, Cambridge.
- Giulietti, A.M., Rapini, A., Andrade, M.J.G., Queiroz, L.P. & Silva, J.M.C. (Org.). 2009. *Plantas Raras do Brasil.* Conservation International, Belo Horizonte. 496 p.
- Gonçalves, E. G. 2012. Araceae. In: Jacobi, C.M. & Carmo, F.F. (Orgs.). *Diversidade Florística nas Cangas do Quadrilátero Ferrífero.* Ed. IDM, Belo Horizonte. pp. 78-79.
- Jacobi, C.M. & Carmo, F.F. (Orgs.). *Diversidade Florística nas Cangas do Quadrilátero Ferrífero.* Ed. IDM, Belo Horizonte. 222 p.
- Jacobi, C.M., Carmo, F.F., Vincent, R.C. & Stehmann, J.R. 2007. Plant communities on ironstone outcrops – a diverse and endangered Brazilian ecosystem. *Biodiversity and Conservation*, 16: 2185-2200.
- Lista de Espécies da Flora do Brasil. 2014. Jardim Botânico do Rio de Janeiro.
<http://floradobrasil.jbrj.gov.br/>
- Mello-Silva, R. 2012. Velloziaceae. In: Jacobi, C.M. & Carmo, F.F. (Orgs.). *Diversidade Florística nas Cangas do Quadrilátero Ferrífero.* Ed. IDM, Belo Horizonte. pp. 200-201.
- Messias, M.C.T.B., Leite, M.G.P., Meira-Neto, J.A.A. & Kozovits, A.R. 2011. Life-form spectra of quartzite and itabirite rocky outcrop sites, Minas Gerais, Brazil. *Biota Neotrop.*, 11: 255-268.
- Messias, M.C.T.B., Leite, M.G.P., Meira-Neto, J.A.A. & Kozovits, A.R. 2012. Fitossociologia de campos rupestres quartzíticos e ferruginosos no Quadrilátero Ferrífero, Minas Gerais. *Acta Botanica Brasiliensis*, 26: 230-242.
- Messias, M.C.T.B., Leite, M.G.P., Meira-Neto, J.A.A. & Kozovits, A.R. 2013. Soil-vegetation relationship in quartzite and ferruginous Brazilian rocky outcrops. *Folia Geobotanica*, 48:509-521.
- MMA - Ministério do Meio Ambiente. 2008. *Áreas Prioritárias para Conservação, Uso Sustentável e Repartição de Benefícios da Biodiversidade Brasileira: Atualização - Portaria MMA nº9, de 23 de janeiro de 2007.* / Ministério do Meio Ambiente, Secretaria de Biodiversidade e Florestas. – Brasília: MMA, (Série Biodiversidade, 31), 327 pp.
- Mota, R.C., Batista, J.A.N. & Borba, E.L. 2012. Orchidaceae. In: Jacobi, C.M. & Carmo, F.F. (Orgs.). *Diversidade Florística nas Cangas do Quadrilátero Ferrífero.* Ed. IDM, Belo Horizonte. pp. 158-162.

- Mourão, A. & Stehmann, J.R. 2007. Levantamento da flora do campo rupestre sobre canga hematítica couraçada remanescente na Mina do Brucutu, Barão de Cocais, Minas Gerais, Brasil. *Rodriguésia*, 58: 775-786.
- Pastore, J.F.B. 2012. Polygalaceae. In: Jacobi, C.M. & Carmo, F.F. (Orgs.). *Diversidade Florística nas Cangas do Quadrilátero Ferrífero*. Ed. IDM, Belo Horizonte. 179-180 pp.
- Peron, M. V. 1989. Listagem preliminar da flora fanerogâmica dos campos rupestres do Parque Estadual do Itacolomi – Ouro Preto/Mariana, MG. *Rodriguésia*, 67: 63-69.
- Porembski, S. & Barthlott, W. 2000. *Inselbergs. Biotic diversity of isolated rock outcrops in tropical and temperate regions*. Springer-Verlag, Berlim, 524 pp.
- Rapini, A. 2012. Apocynaceae. In: Jacobi, C.M. & Carmo, F.F. (Orgs.). *Diversidade Florística nas Cangas do Quadrilátero Ferrífero*. Ed. IDM, Belo Horizonte. 72-75 pp.
- Romero, R., Oliveira, A.L.F., Goldenberg, R. Caddah, M.K. & Meyer, F.S. 2012. Melastomataceae. In: Jacobi, C.M. & Carmo, F.F. (Orgs.). *Diversidade Florística nas Cangas do Quadrilátero Ferrífero*. Ed. IDM, Belo Horizonte. 145-150 pp.
- Rezende, A.R., Romero, R. & Goldenberg, R. 2014. Sinopse de *Miconia* seção *Miconia* DC. (Melastomataceae) no estado de Minas Gerais, Brasil. *Biosci. J.*, 30: 273-287.
- Safford, H.D. & Martinelli, G. 1999. Southeast Brazil. In: Porembski, S. & Barthlott, W. (Eds.). 2000. *Inselbergs. Biotic diversity of isolated rock outcrops in tropical and temperate regions*. Springer-Verlag, Berlim, 339-389 p.
- Salimena, F.R.G. 2012. Verbenaceae. In: Jacobi, C.M. & Carmo, F.F. (Orgs.). *Diversidade Florística nas Cangas do Quadrilátero Ferrífero*. Ed. IDM, Belo Horizonte. pp. 204-206.
- Simão-Bianchini, R. 2012. Convolvulaceae. In: Jacobi, C.M. & Carmo, F.F. (Orgs.). *Diversidade Florística nas Cangas do Quadrilátero Ferrífero*. Ed. IDM, Belo Horizonte. pp. 103-105.
- Sobral, M.E.G. 2012. Myrtaceae. In: Jacobi, C.M. & Carmo, F.F. (Orgs.). *Diversidade Florística nas Cangas do Quadrilátero Ferrífero*. Ed. IDM, Belo Horizonte. pp. 154-156.
- Souza, M.L.R. 2002. O gênero *Ossaea* DC. (Melastomataceae) no Brasil: circunscrição e notas taxonômicas. *Insula*, 31: 01-28.
- Teles, A. & Hattori, E.K.O. 2012. Asteraceae. In: Jacobi, C.M. & Carmo, F.F. (Orgs.). *Diversidade Florística nas Cangas do Quadrilátero Ferrífero*. Ed. IDM, Belo Horizonte. pp. 82-90.

- Versieux, L.M. 2012. Bromeliaceae. In: Jacobi, C.M. & Carmo, F.F. (Orgs.). *Diversidade Florística nas Cangas do Quadrilátero Ferrífero*. Ed. IDM, Belo Horizonte. pp. 93-97.
- Viana, P.L. & J.A. Lombardi. 2007. Florística e caracterização dos campos rupestres sobre canga na Serra da Calçada, Minas Gerais, Brasil. *Rodriguésia*, 58: 159-177.
- Viana, P.L. 2012. Poaceae. In: Jacobi, C.M. & Carmo, F.F. (orgs.) Jacobi, C.M. & Carmo, F.F. (Orgs.). *Diversidade Florística nas Cangas do Quadrilátero Ferrífero*. Ed. IDM, Belo Horizonte. pp. 172-178.

CAPÍTULO 3

EFFECTS OF FINE-SCALE SURFACE HETEROGENEITY ON ROCK OUTCROP PLANT COMMUNITIES³

Flávio Fonseca do Carmo, Iara Christina de Campos & Claudia Maria Jacobi
Instituto de Ciências Biológicas, Universidade Federal de Minas Gerais, Brazil

Abstract

Questions: To what extent do fine-scale substrate variations shape the structure and diversity of rock outcrop vascular plant communities? How to define the appropriate scale to measure fine-scale substrate heterogeneity in rocky systems?

Location: Nine rock outcrops in the Iron Quadrangle, a priority area for biodiversity conservation in Southeast Brazil.

Methods: Geomorphology and rock mechanics methods were adapted to determine the appropriate scale to measure surface heterogeneity of rock outcrops and to investigate if the plants respond to this scale. For this, a variogram method was used to measure rock surface by means of a roughness index calculated from 180 microtopographic profiles. This index was tested at five different centimetric scales against a response variable represented by presence/absence of vascular plants. Both the topographic and vegetation data were collected from four 25-m transects in each outcrop. The best scale to diagnose the presence of vascular plants was selected based on the area under the receiver operating characteristic (ROC) curve (AUC). Non-parametric ANOVA was used to detect differences in roughness, soil depth and inclination among outcrops sampled from the three predominant rock types: granitoid, quartzite and canga (ironstone). The relation between plant community parameters and surface heterogeneity was quantified through linear regressions of four variables: richness, abundance, total plant cover and dominant species cover. To investigate if the communities exhibit different patterns in response to roughness variations, a similarity matrix was constructed comparing the percent cover of functional groups, and diversity profiles were built based on Rényi's alpha. PerMANOVA was used to test for significant difference in the relative cover among the functional groups.

³ Capítulo submetido ao *Journal of Vegetation Science*

Results: The roughness index scaled at 1 cm showed the best power (AUC = 0.88) to diagnose the presence of vascular plant. One quartzitic and the three granitoid outcrops were those with highest frequencies (>60%) of smooth microtopographic profiles. The three cangas, with lowest frequencies (15%) of smooth profiles, and two quartzites (40-45%) integrated the coarse group. In these rock systems, high surface heterogeneity was caused by high frequency of fissures, cracks, and rock detritus. The linear regression models indicated that the community parameters are strongly related to variations in surface roughness. The community patterns revealed by the cluster analysis and the diversity profiles matched those of the roughness analysis. Marked differences in dominant functional groups were found, correlated with ‘smooth’ and ‘coarse’ microtopography. The community composition based on functional groups was significantly different (PerMANOVA $F = 15.1$, $P < 0.01$) between the two main clusters (smooth vs. coarse outcrops). The four smooth outcrops had more than 60% desiccation-tolerant plants in their composition, while schlerophytes and graminoids were better represented in the five coarse elements.

Conclusions: The use of roughness as a descriptor of surface heterogeneity was central in obtaining the necessary accuracy to quantify rock microtopography. The composition of plant functional groups was shaped by the distinct parent rock microrelief, and roughness was a significant predictor of important plant community parameters. Functional group variations reflected different adaptive plant strategies to two main stressful bedrock features: water shortage and mechanic resistance to root growth. This work represents one of the first empirical studies to demonstrate that fine-scale variations of rock surface promote alterations in plant community composition.

Keywords: Canga; Endemism; Microtopography; Plant Functional Groups; Roughness Index

Introduction

Despite a prevalent severe edapho-climatic setting and low productivity, rock outcrops harbor plant communities that may be very diverse and with high levels of endemism. This is explained in part by the high heterogeneity and fragmented nature of these environments, and the specific adaptive traits of their associated plants to harsh conditions (Porembski & Barthlott 2000a; Scarano, 2007). On a microtopographic scale, rock weathering results in a mosaic of habitats formed by cracks, pores, blocks, drainage channels, fissures, depressions,

and other substrate irregularities that influence water and nutrient accumulation, thereby modifying microclimatic conditions (Larson et al. 2000; Porembski & Barthlott 2000a; Jacobi et al. 2007). Because weathering is a function of rock type and climate, the composition and proportion of microstructures will vary among lithotypes and sites. In turn, the topographic heterogeneity may influence the opportunities and means for plant fixation and consequently the proportion of plant functional groups (Hugget 1995; Porembski & Barthlott 2000a), i.e. species that share similar characters involved in adaptive responses to stressing conditions. It is now consensus that functional diversity is a preferred descriptor to species richness regarding many aspects of ecosystem functioning, including changes in biodiversity and its consequences (Hillebrand & Matthiessen 2009). The ‘functional-type’ approach, however, has not been fully incorporated into ecosystem processes studies, partly because quantification of functional diversity is still lacking rigor (Díaz & Cabido 2001).

Regardless of the obvious connection between the successful establishment of individual plants and the substrate, few fine-scale observational studies of the relation between spatial heterogeneity and plant communities have been performed exclusively in rupestral systems or have yielded quantitative results (Lundholm & Larson 2003; Kuntz & Larson 2006; Lundholm 2009). A possible cause is the difficulty in measuring substrate heterogeneity (Li & Reynolds 1995; Dufour et al. 2006). Among the various aspects that contribute to this problem are the multiple concepts of heterogeneity, the difficulty in quantifying its many dimensions and, especially, the frequently arbitrary choice of scale of investigation (Auerbach & Shmida 1987; Lundholm 2009). In this scenario, Li & Reynolds (1995) present an operational definition of heterogeneity based on two components: one that quantifies the structural properties (structural heterogeneity) of a system, and another (functional heterogeneity) related to the variability in the system that influences organisms or ecological processes (Kolasa & Rollo 1991).

The effects of substrate heterogeneity on plant communities at a fine scale are best seen by focusing on the alterations in the spatial arrangement of microforms on the rock surface (such as pores, fissures, nodules, and centimetric to millimetric projections and depressions). These microforms, in turn, are predominantly determined by weathering, which affects the grain size of the constituent minerals, and by microtectonic elements, like foliations and microstructures (Porembski & Barthlott 2000a; Passchier & Trouw 2005). This approach is based on a ‘primary’ surface roughness concept (Belem et al. 2000), which is best measured by means of an index that allows to capture and compare differences in microstructure.

Our study was conducted in the Iron Quadrangle, a priority region for the conservation of biodiversity in Southeast Brazil (MMA, 2008). We studied rock outcrops from three different rock types and therefore subjected to different responses to weathering processes. The extreme scarcity of soil that characterizes outcrops in general makes these habitats an ideal model to test the effect of structural heterogeneity of each lithotype on its associated plant community. Specifically, we investigated if fine-scale variations of surface roughness are associated with alterations in the diversity and proportions of plant functional groups, therefore strengthening the connection between geoedaphic processes and ecosystem functioning.

Methods

Study area

The Iron Quadrangle (23 K, 626655 – 7769985), a region of *ca.* 7200 km², is located in Minas Gerais state, southeast Brazil and contained within two biodiversity hotspots (Mittermeier et al. 2004): Atlantic Rainforest and Cerrado (Brazilian savanna). The climate is characterized by dry winters and rainy summers, with mean annual rainfall of 1500 mm and mean annual temperature around 20°C. The region is one of the most geologically diverse in the country, with several types of rock massifs that may reach an altitude of 2000 m (Dorr II 1969), and the Iron Quadrangle is recognized as one of the largest diversity centers of the flora in eastern Brazil. Mountaintop rock outcrops contribute largely to this diversity, because of their dominance of herbs and shrubs and high levels of endemism. As tropical ecosystems, they are subjected to intense weathering processes (Salgado et al. 2008), which have resulted in distinct rock profiles where the effects of structural heterogeneity on the associated plant communities are directly felt. Most of the outcrops in the Iron Quadrangle are currently threatened by urban expansion and mining activities (Versieux & Wendt 2007; Echternacht et al. 2011; Jacobi et al. 2011; Jacobi & Carmo 2012), in particular cangas, the local name for ironstone duricrusts which may spread along the mountaintops over thousands of hectares (for details see Dorr II 1969; Carmo & Jacobi 2012).

During the rainy season (December 2010 through March 2011), nine rock outcrops within the Iron Quadrangle were surveyed, corresponding to the three main lithotypes in the region (Table 1): granitoids, quartzites and cangas (ironstones). The mean linear distance among outcrops was 36.5 ± 22.6 km, and the minimum and maximum distances were 1 km (between Ca1 and Qz3) and 78 km (between Gr1 and Gr2), respectively.

Table 1. Location and characterization of the rock outcrops in the Iron Quadrangle, southeast Brazil. * Dorr II (1969).

Code	Lithotype	Coordinates (UTM 23 K)		Maximum Altitude (m)	Main minerals*
Gr1	Granitoid	670771	7799877	790	feldspar,
Gr2	Granitoid	610701	7752298	1130	quartz,
Gr3	Granitoid	635851	7776359	1200	biotite
Qz1	Quartzite	661343	7775693	1840	
Qz2	Quartzite	608722	7751696	1360	quartz,
Qz3	Quartzite	608800	7756785	1340	muscovite
Ca1	Canga	637525	7777908	1540	hematite,
Ca2	Canga	604791	7783231	1630	limonite,
Ca3	Canga	610856	7751133	1470	magnetite

Surface heterogeneity

In each outcrop, four 25-m transects were placed, avoiding areas with decimetric or metric irregularities, such as boulders, drainage channels, or large fractures and depressions. This procedure excluded sites where vegetation was conditioned by substantial soil accumulation (e.g. tree associations) or stochastic events (such as variations in water level).

The surface heterogeneity of each outcrop was measured using a roughness index derived from five microtopographic profiles distributed regularly throughout the four transects (at 0-5-10-15-20 m; N=20 profiles). For this, a field device adapted from Moreno et al. (2008) was used, expressly developed to record surface irregularities. The device is composed of 40 steel spikes (length 30 cm, diameter 2 mm) evenly hanging at 1 cm intervals from an aluminum bar. When it is placed on the outcrop, the spikes retreat according to the relief. The resulting profile was drawn on a millimeter sheet. The inclination of each profile was measured with a clinometer attached to the center of the aluminum bar. Soil depth was estimated by vertically inserting a pachymeter probe in the designated points, until the rock was reached.

Plant community

In each outcrop the percentage of plant cover was defined by the linear extension of the aerial part of each individual projected horizontally along the transects (total 100 m). For species with clonal growth, each visually isolated ramet was counted as an individual. We

calculated: total plant cover (TPC) = sum of the linear projection of all individuals; relative cover (RC) = percentage of linear projection of a species. The percentage of exposed (bare) rock in each outcrop was the sum of the segments devoid of plants.

Species were classified into six functional groups, based on growth forms and morphological or ecophysiological characteristics related with adaptations to stressful geoedaphic conditions, following Balslev & Luteyn (1992) and Porembski & Barthlott (2000a): (1) sclerophytes: herbs, shrubs and subshrubs (<1.5 m high) showing microphily or coriaceous leaves, phyllotaxis, and often imbricate and ericoid habit; (2) graminoid herbs: perennial or annual plants with fasciculate root system; (3) succulents: when structures of water storage (pseudobulbs or columnar branches) are present; (4) resurrection or desiccation-tolerant plants: exhibit ecophysiological mechanisms to survive cycles of dehydration and rehydration; (5) acaulescent rosette plants; (6) tussock herbs: rhizomatous plants with leaves arranged in very dense tussocks and culms up to 2 m height. Clonal growth is very frequent in functional groups 2, 3, 4, 5 and 6. In group 4 clonal growth is characterized by short and compact connections between ramets and very slow radial growth (Lovett-Doust 1981). The few species that did not fit the previous descriptions, such as geophytes (e.g. *Sinningia rupicola*) or saprophytes (e.g. *Utricularia* spp), were grouped as ‘Others’. The taxonomic nomenclature followed the Brazilian Flora Checklist (Lista de Espécies da Flora do Brasil, 2012).

Data Analysis

The variogram method was used to measure rock surface heterogeneity by means of a roughness index (RI). The method is considered among the most appropriate, since roughness is a scale-dependent property (MacCarrol & Nesje 1996; Moreno et al. 2008), and was adapted from a procedure proposed by McCarrol & Nesje (1996). The RI was estimated from equally spaced points according to Eq. 1:

$$\text{Roughness index} = \sqrt{1/N \cdot h \sum (x_i - x_{i+h})^2} \quad (1)$$

where N = total number of points, h = horizontal scale, i.e. distance between points in the profile, x_i = height at point i .

The diagnosis of a roughness scale is fundamental to obtain the necessary accuracy to quantify microstructures, since the aim is to corroborate if fine-scale variations of surface

roughness are correlated with varying proportions of plant functional group and diversity. To investigate which was the most appropriate scale to measure roughness we calculated it using five intervals (h): 5 cm, 4 cm, 3 cm, 2 cm, and 1 cm (RI_5 to RI_1 respectively). This was followed by a diagnostic test using the method of the area under the ROC (receiver operating characteristic) curve, or AUC, consisting of a graph in which the rates of true positives (sensitivity, Eq. 2) are plotted on the Y axis and the rates of false positives on the X axis (1-specificity, Eq. 3) (Swets 1988; Fawcett 2006).

$$\text{sensitivity} = a/(a+c) \quad (2) \quad \text{and} \quad \text{specificity} = d/(b+d) \quad (3)$$

in which a , b , c , and d represent the predicted number of true positives, false positives, false negatives, and true negatives respectively (Fielding & Bell 1997).

Both parameters of performance discrimination (sensitivity and specificity) were derived from logistic regression models (Pearce & Ferrier 2000) in which the predictor variable corresponded to the RI and the response variable was the presence/absence of vascular plants observed in each of the 180 microtopographic profiles. The analysis was performed using MYSTAT (2012). The AUC provides a measure of the discriminatory ability of the test, in which values of 0.5 indicate absence of discriminatory performance, or random predictions, values between 0.5 and 0.7 denote low accuracy, and values above 0.8 indicate an excellent performance (Swets 1988; Manel et al. 2001).

In each outcrop, the microtopographic profiles were organized in 10 roughness classes. Non-parametric ANOVA (Kruskal-Wallis test H) were conducted using the software PAST 2.17 (Hammer et al. 2001) to test for differences in roughness, soil depth, and inclination values. After this, a multiple comparison (Student-Newman-Keuls test) was performed to identify in which outcrops the distributions were significantly different (Sokal & Rohlf 1995).

The relations between response variables (richness, abundance, total and relative cover of the dominant species) and the predictor variable RI were quantified with linear regressions. Logarithmic transformations were made to comply with the normality assumptions (Shapiro-Wilk test) and homoscedasticity (Levene's test). The models were evaluated with the determination coefficients (R^2) and F ratio (Sokal & Rohlf 1995). The absence of spatial autocorrelation assumptions was evaluated with correlograms produced with Moran's index, followed by a test of global significance using a sequential Bonferroni correction (Fortin & Dale 2005) and were performed with SAM 4.0 (Rangel et al. 2010).

A cluster analysis based on the Bray-Curtis similarity index and UPGMA clustering criterion was used to expose the similarities among plant functional groups, based on their relative cover. To test for significant differences in the relative cover we used the permutational multivariate analysis of variance PerMANOVA based on Bray-Curtis distances. The test significance was evaluated with 10 000 permutations (Anderson 2001; McCune & Gace 2002) and were performed with PAST 2.17 (Hammer et al. 2001).

The communities' diversity was compared with Rényi's diversity ordering (Tóthmérész 1995). This method is based on diversity profiles, where an increase in parameter α of the Rényi series results in higher weights attributed to abundant species: when $\alpha=0$, the diversity value is the total number of species; α approaching 1 is equivalent to Shannon's H' ; $\alpha=2$ is equivalent to Simpson's index; and the influence of rare species decreases as from $\alpha>2$. Therefore, a community A will be more diverse than B if the diversity profile of A is above that of B, independently of the parameter α analyzed (Tóthmérész 1995; Liu et al. 2007). Diversity profiles were compared by means of confidence intervals ($CI \pm 95\%$) obtained after 2000 permutations using PAST 2.17 (Hammer et al. 2001). The resulting pattern was compared to the cluster analysis output.

Results

Surface heterogeneity

The predictor variable based on RI_1cm (i.e. $h = 1$ cm) obtained the best power to diagnose the presence of vascular plants (AUC = 0.88), followed by RI_2 cm (AUC 0.83), RI_3 cm (AUC 0.83), RI_4 cm (AUC 0.79), and RI_5 cm (AUC 0.78). Thus, all further analyses used RI values calculated with the 1cm h interval.

The three granitoid and the Qz1 outcrops were those with highest frequencies (>60%) of microtopographic profiles that had $RI < 0.35$ (Fig. 1; Table 2). These 'smooth substrates' were predominantly associated with low occurrence of microforms which, when present, were shallow, with small depressions, shear bands or alveoli, resulting in very smooth rock surfaces. The 'coarse substrates', at the other end, were observed in the three cangas, with lowest frequencies (15%) of smooth microtopographic profiles, and in outcrops Qz2 and Qz3 (40-45%). Roughness in cangas was related to a high frequency of cemented rocky detritus of different sizes (pebbles to cobbles) interspersed with fissures and cracks widely distributed throughout the outcrops. Cangas were also characterized by the smallest bare rock values (<41%, Table 2), compared to values (>75%) in the smoothest outcrops (See Appendix S1 for examples of surface profile in rock outcrops according to roughness class).

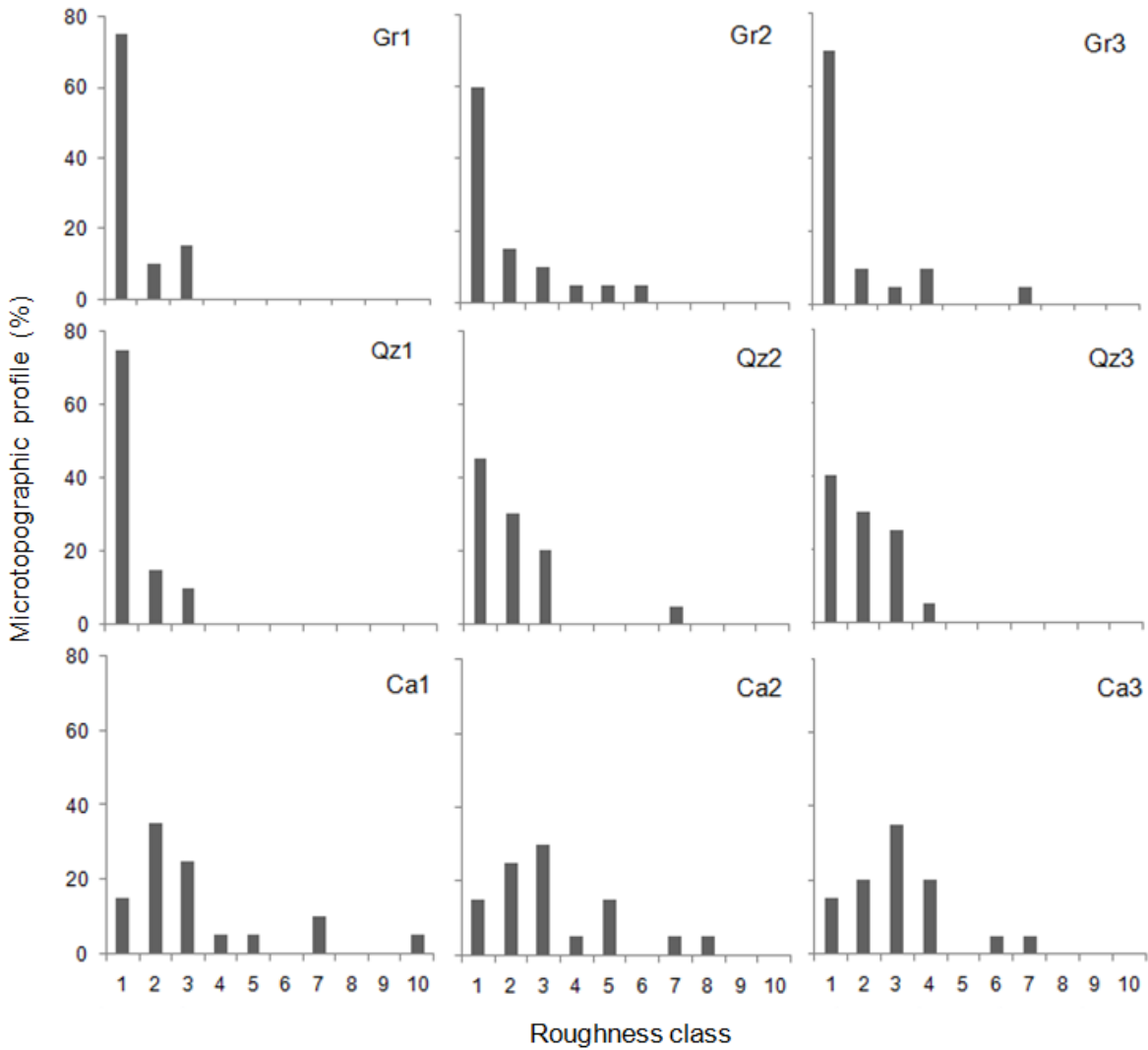


Fig. 1. Microtopographic profile distribution based on roughness class, in nine rock outcrops, Iron Quadrangle, Brazil. Class: 1 ($RI \leq 0.35$), 2 ($RI 0.36-0.7$), 3 ($RI 0.71-1.05$), 4 ($RI 1.06-1.4$), 5 ($RI 1.41-1.75$), 6 ($RI 1.76-2.1$), 7 ($RI 2.11-2.45$), 8 ($RI 2.46-2.8$), 9 ($2.81-3.15$), 10 ($RI \geq 3.16$). Gr: granitoid; Qz: quartzite; Ca: canga (ironstone).

The different surfaces roughness resulted in different RI values ($H = 49.2$; $p < 0.01$). Among the granitoids, Gr1 showed difference with the two others ($p < 0.05$), and the same was observed for Qz1 ($p < 0.05$). No significant difference was detected among the cangas ($p > 0.05$). No significant differences ($p > 0.05$) were found in the pairwise comparisons between Gr1-Qz1, Gr2 and any quartzite, Gr3-Qz2, Gr3-Qz3, Ca1-Qz2, and Ca1-Qz3.

The outcrops were characterized by surfaces displayed in predominantly horizontal planes, with medians $< 6.5^\circ$ (Table 2), and there was no significant difference ($H = 14$; $p > 0.05$) among inclinations. Soils were very shallow, with median < 6.3 cm (Table 2), and the majority (60%) of the 2138 soil depth measures corresponded to the fine layer (< 2 cm)

composed of rock fragments (mainly granules and pebbles) and sand accumulated in fissures and other microstructures. Among the outcrops there were differences in soil depth ($H = 452$; $p < 0.01$). Of 36 pairwise comparisons, only Gr1-Gr3, Qz1-Qz2, Qz2-Ca1, and Ca2-Ca3 were not significantly different ($p > 0.05$). However, no correlation was found between soil depth and RI. The largest soil depths were predominantly associated with the organic sediment layer originated from clonal species, or associated with holes and deeper depressions. In the first and more frequent situation, soil gathered within the ramets, therefore not directly depending on the rock roughness but rather the clone size. In the second and less frequent, soil depth was directly dependent on rock heterogeneity.

Table 2. Roughness, inclination and soil depth in nine rock outcrops, Iron Quadrangle, Brazil.
RI: Roughness index (cm); Gr: granitoid; Qz: quartzite; Ca: canga.

	Gr1	Gr 2	Gr3	Qz1	Qz2	Qz3	Ca1	Ca2	Ca3
RI _{median}	0.14	0.29	0.30	0.21	0.37	0.49	0.59	0.74	0.79
RI _{min}	0.10	0.10	0.14	0.10	0.10	0.14	0.30	0.23	0.24
RI _{max}	0.92	2.11	2.34	0.76	2.16	1.39	3.66	2.64	2.12
Inclination _{median} (°)	6.5	6.5	5.5	4	6.5	6	4	4	3.5
Inclination _{min} (°)	1	0	1	0	1	0	0	0	0
Inclination _{max} (°)	14	15	11	13	16	15	12	13	9
Soil depth _{median} (cm)	4.6	6.3	4.4	2.45	2	2.9	1.7	1.1	0.9
Soil depth _{min} (cm)	0.1	0.1	0.2	0.1	0.1	0.1	0.1	0.2	0
Soil depth _{max} (cm)	14.1	14.3	14.4	10.7	14	14.8	15	13	7.8
Bare rock (%)	76.8	74.8	75.9	77.6	73.1	60.8	41.1	42.2	30.7

Plant community

A total of 2138 individuals were found along the transects, belonging to three species of pteridophytes and 127 of angiosperms. The value ranges of richness, abundance, total plant cover and dominant species cover were considerable when comparing smooth with coarse outcrops (Table 3).

Variation in community parameter values was strongly related to surface roughness (Fig. 2). Contrary to the other response variables, the dominant species relative cover was negatively correlated with RI.

Table 3. Parameters of the plant community associated with the nine rock outcrops, Iron Quadrangle, Brazil. TPC: total plant cover; DSC: dominant species cover; Gr: granitoid; Qz: quartzite; Ca: canga (ironstone).

	Gr1	Gr 2	Gr3	Qz1	Qz2	Qz3	Ca1	Ca2	Ca3
Richness	11	17	16	15	25	33	35	42	35
Abundance	100	130	119	112	199	288	401	390	399
TPC (m)	28.6	33.8	27.0	21.8	35.0	49.9	81.4	72.3	103.0
DSC (%)	50.7	60.7	35.2	46.8	20.0	27.3	20.3	20.3	15.8

The dominant species were *Vellozia albiflora* Pohl (35.2% to 60.7% plant cover) among granitoids, and *Vellozia compacta* Mart. ex Schult. & Schult.f (20% to 46.8%) among quartzites. *Axonopus siccus* (Nees) Kuhlm. (Poaceae) was dominant in Ca1 (20.3% plant cover), while the schlerophyllous shrubs *Lychnophora pinaster* Mart. (Asteraceae) and *Mimosa calodendron* Mart. ex Benth. (Fabaceae) dominated in Ca2 (20.3%) and Ca3 (15.8%), respectively. Among the dominant species, only *A. siccus* has ample distribution, throughout South America (Rocha & Secco 2004). The others have restricted distribution, though always associated with rocky systems. *Vellozia albiflora* occurs only in southeast Brazil, *V. compacta* only in Minas Gerais state, and *L. pinaster* and *M. calodendron* are endemic to the Iron Quadrangle (Mello-Silva 2012; Queiroz & Cardoso 2012; Teles & Hattori, 2012).

The similarity dendrogram (Fig. 3) revealed two main groups. A ‘smooth substrate’ group, formed by the three granitoids and Qz1, where the relative cover (63% to 79%) was composed predominantly of desiccation-tolerant species like *Vellozia* species and *Trilepis lhotzkiana* Nees. These clones, especially *Vellozia*, are characterized by ramets bearing adventitious roots and *velamen radicum*, which favor survival throughout months of water deficit (Porembski & Barthlott 2000b). The smooth group was also characterized by less graminoid cover and by the absence of tussock plants. In this group, Gr1 was segregated from the rest because of the largest relative cover by Bromeliaceae rosette plants among the nine outcrops.

The ‘coarse substrate’ group was constituted by the three cangas and the remaining quartzites Qz2 and Qz3, subdivided in two groups. One was formed by the cangas and characterized by a small relative cover of resurrection plants (<8%) and larger schlerophyte cover (31 to 57%). The prevalence of this functional group occurs associated with very shallow soil (<2cm), representing 60% of the samples in Ca1, 76% in Ca2 and 81% in Ca3.

The cluster formed by Qz2 and Qz3 had other functional groups prevailing: resurrection plants (42%) and graminoids (36%), respectively.

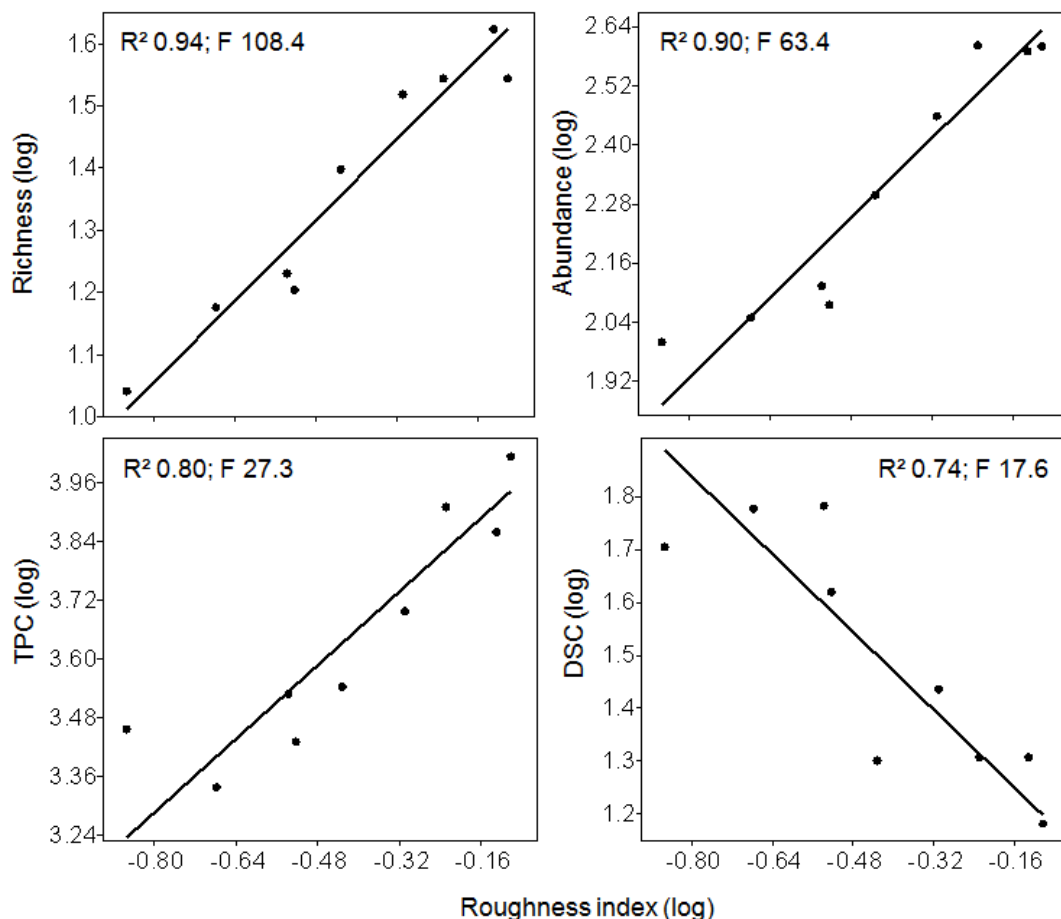


Fig. 2. Simple linear regression models of the response variables to the roughness index RI ($p < 0.01$). TPC: total plant cover; DSC: dominant species cover.

The community composition of the smooth and coarse clusters, based on the relative cover of functional groups, was significantly different (PerMANOVA $F = 15.1$, $p < 0.01$). The communities that composed the coarse group were more diverse (richness and evenness) than those of the smooth cluster ($CI \pm 95\%$) but, within each of the two groups, the diversity profiles crossed each other (Fig. 4), indicating similar values of the α parameter (*sensu* Liu et al. 2007).

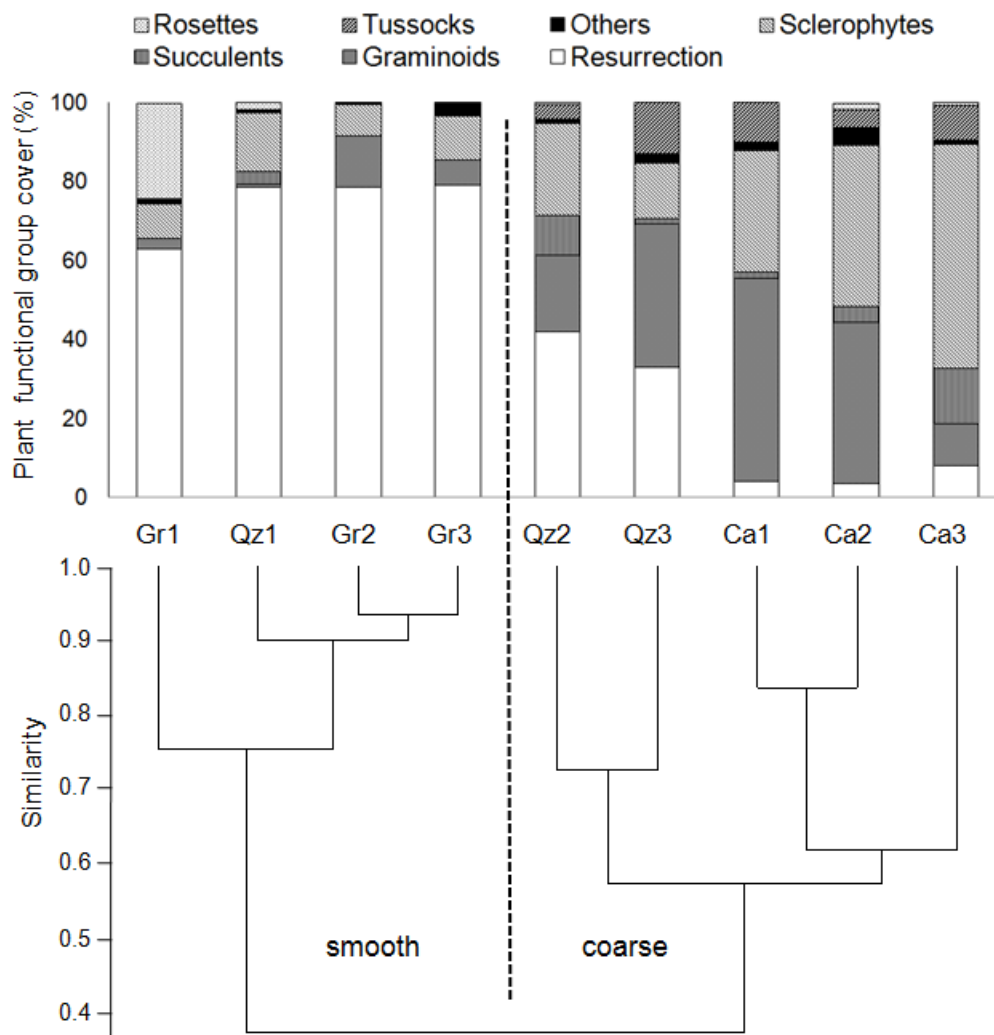


Fig. 3. Rock outcrop plant communities similarity based on the relative cover of functional groups, Iron Quadrangle, Brazil (UPGMA; Bray-Curtis index: cc 0.83). Gr: granitoid; Qz: quartzite; Ca: canga.

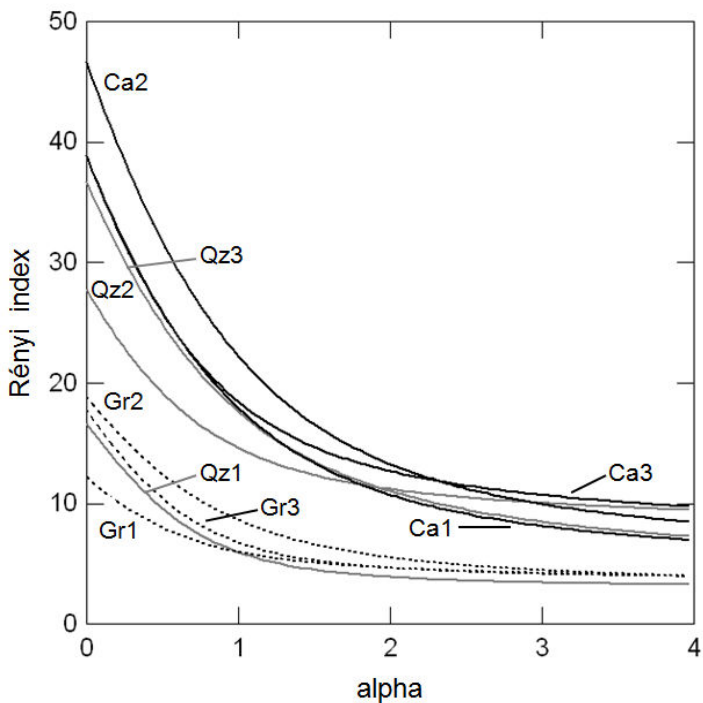


Fig. 4. Diversity ordering (Rényi index) in plant communities of nine rock outcrops, Iron Quadrangle, Brazil. Cangas (Ca): black line; Granitoids (Gr): black dotted line; Quartzites (Qz): gray line. Confidence intervals not drawn.

Discussion

Our results indicate that in plant-rock interfaces roughness is a strong predictor of important plant community parameters such as cover, abundance, and richness. Two factors that contributed to highlight this result were the use of methods that successfully detected microtopographic features and the *a priori* determination of the scale of investigation of structural heterogeneity (surface roughness). Considering the small size of the majority of the rock outcrop plant species, roughness best assessed at a centimetric scale was already expected.

Rock surfaces with high roughness might be predicted to contain safe sites, or “nurse objects” (*sensu* Munguía-Rosas & Sosa 2008), that improve environmental conditions and increase the probability of seedling establishment (Lundholm & Larson 2003), by providing mechanisms of abiotic facilitation and seed protection against predators (Flores & Jurado 2003). A strong plant-substrate specificity has already been observed in many narrow-endemic plants in rocky habitats (Huggett 1995; Poot et al. 2012). A recent study in the Iron Quadrangle (Messias et al. 2013), for example, pointed out soil chemical and structural differences between quartzitic and ferruginous rocky outcrops. However, the main

mechanisms and processes that affect these communities may depend primarily on roughness characteristics, irrespectively of soil origin, or even operate in a complex interaction with surface heterogeneity. Porembski & Barthlott (2000) have pointed out the ‘superficial similarity between different outcrop types’, to emphasize that monocot mats are much more common in inselbergs (granitoid) than other rock types. While it is common knowledge that rupicolous plant communities respond to rock types, this phenomenon has been only loosely attributed to microtopography (i.e. differential weathering).

Among the key bedrock factors that shape rupicolous plant communities are the ability to store and recharge water, and its mechanic resistance to root growth (Porembski & Barthlott 2000a; Clark et al. 2003; Schwinnig 2010). These two key factors depend on the physical properties of rocks such as porosity, impedance and fluid diffusion, which in turn relate to the spatial arrangement of rock surface microforms (Bremer & Sander 2000; McKay et al. 2005; Vepraskas 2005). Thus, smooth outcrops, with low frequency of microforms to provide a suitable habitat, would offer the toughest establishment conditions and least resources for seedlings. In this situation, low species richness is expected, with predominance of species with low relative competitive abilities and growth rates traded for high survival abilities (Porembski & Barthlott 2000a; Bruno et al. 2003). Smooth outcrops in the Iron Quadrangle harbored less diverse communities, with monodominance of desiccation-tolerant clonal plants. In smooth surfaces root anchorage is challenging, so large clonal plants are capable to overcome unfavorable conditions on the bedrock and to access and exploit resources available in the infrequent microstructures (Pennings & Calaway 2000; Liu et al. 2007). Desiccation-tolerant -or resurrection- plants are among the most frequent in several studies on inselbergs located in tropical and temperate regions (see references in Porembski & Barthlott 2000a, 2000b).

On the other end, the high frequency of microforms and other irregularities that characterize coarse outcrops may shelter a larger amount of resources and more favorable microclimatic and physical conditions, resulting in plant communities that are more diverse and with a wider range of better-distributed functional groups. It is expected that both resource partitioning and competition stand among the most relevant mechanisms in this situation (Poot & Lambers 2003; Richardson et al. 2012). However, some studies featuring rock systems argue that spatial constraints represented by rock interstices (i.e. fissures and others) may often separate individual root systems, thereby decreasing the effect of competition (see Poot & Lambers 2003 and Schwinnig 2010). In Brazilian cangas, a relevant portion of plant biomass is under the bedrock, where the root system may penetrate several

meters through fissures and microcrevices and form, in some cases, massive columnar structures in the underlying rocks (Carmo & Jacobi 2013). In Australian ironstones, many narrow endemic sclerophyllous shrubs show trade-off in allocation pattern and root morphology, investing in root biomass to explore a large rock surface area and compromising their above-ground competitive ability (Poot & Lambers 2003; 2008). The authors suggest that the root system of sclerophyllous shrubs is extremely adapted to the physical conditions, with a root foraging strategy that increases their chance of finding nutrients and water in the rock interstices. The processes that act in root-rock interface have been poorly investigated, and field studies are still less frequent, so that the understanding of below-ground competition is dependent on more research and experiments.

This work represents one of the first empirical studies to demonstrate that fine-scale variations of surface rocks affect the proportions of plant functional groups. These functional response types often coincide with plant functional effects on the main ecosystem processes, such as nutrient cycling and primary productivity (Díaz & Cabido 2001). The role of dominant plants in rock systems still needs to be investigated but, *a priori*, distinctive traits in dominant plant functional types between coarse and smooth outcrops, or along a roughness gradient, may reflect different effects on key ecosystem processes. This approach can elucidate the link between surface heterogeneity and ecosystem functioning.

The next steps are to use experimental designs to explore and refine the analysis of rock outcrops structural heterogeneity, quantify the variations in physical substrate properties such as texture, porosity and impedance, and relate these with plant responses to heterogeneity variation. Advancements in these areas will be fundamental in developing effective applications for our understanding of different types of communities in rocky systems, especially in areas that have been impacted and require restoration management.

Acknowledgements

This study received support from the Brazilian National Council for Scientific and Technological Development (CNPq) and the Minas Gerais State Research Foundation (FAPEMIG). We thank Ericson Faraco for his help in the field, and the Minas Gerais State Forestry Institute (IEF-MG) for granting the collection licenses. FFC and ICC received CNPq scholarships, and CMJ was supported by a research productivity grant from CNPq.

References

- Anderson, M. 2001. A new method for non-parametric multivariate analysis of variance. *Austral Ecology* 26: 32-46.
- Auerbach, M. & Shmida, A. 1987. Spatial scale and the determinants of plant species richness. *Trends in Ecology and Evolution* 2: 238-242.
- Balslev, H. & Luteyn, J. 1992. *Paramo: an Andean ecosystem under human influence*. Academic Press, London.
- Belem, T., Homand-Etienne, F. & Souley, M. 2000. Quantitative parameters for rock joint surface roughness. *Rock Mechanics and Rock Engineering* 33: 217-242.
- Bremer, H. & Sander, H. 2000. Inselbergs: Geomorphology and Geoecology. In: Porembski, S. & Barthlott, W. (eds.) *Inselbergs. Biotic diversity of isolated rock outcrops in tropical and temperate regions*, pp. 7-35. Springer-Verlag, Berlin.
- Bruno, J.F., Stachowicz, J.J. & Bertness, M.D. 2003. Inclusion of facilitation into ecological Theory. *Trends in Ecology and Evolution* 18:119-125.
- Carmo, F.F. & Jacobi, C.M. 2012. The cangas of the Iron Quadrangle. In: Jacobi, C.M. & Carmo, F.F. (orgs.) *Floristic diversity of the Quadrilátero Ferrífero Cangas*, pp. 14-30. Ed. IDM, Belo Horizonte.
- Carmo, F.F. & Jacobi, C.M. 2013. Canga vegetation in the Iron Quadrangle, Minas Gerais: characterization and phytogeographical context. *Rodriguésia* 64(3): 527-541.
- Clark, L.J., Whalley, W.R. & Barraclough, P.B. 2003. How do roots penetrate strong soil? *Plant and Soil* 255: 93-104.
- Díaz, S. & Cabido, M. 2001. Vive la différence: plant functional diversity matters to ecosystem processes. *Trends in Ecology and Evolution* 16: 646-655.
- Dorr II, J. v. N. 1969. *Physiographic, stratigraphic and structural development of Quadrilátero Ferrífero, Minas Gerais, Brazil*. USGS. Prof. Paper, 641-A, Washington.
- Dufour, A., Gadallah, F., Wagner, H.H., Guisan, A. & Buttler, A. 2006. Plant species richness and environmental heterogeneity in a mountain landscape: effects of variability and spatial configuration. *Ecography* 29: 573-584.
- Echternacht, L., Trovó, M., Oliveira, C.T. & Pirani, J.R. 2011. Areas of endemism in the Espinhaço Range in Minas Gerais, Brazil. *Flora* 206: 782-791.
- Fawcett, T. 2006. An introduction to ROC analysis. *Pattern Recognition Letters* 27: 861–874.
- Fielding, A.H. & Bell, J.F. 1997. A review of methods for the assessment of prediction errors in conservation presence/absence models. *Environmental Conservation* 24: 38–49.

- Flores, J. & Jurado, E. 2003. Are nurse-protégé interactions more common among plants from arid environments? *Journal of Vegetation Science* 14: 911-916.
- Fortin, M.-J. & Dale, M.R.T. 2005. *Spatial analysis. A guide for ecologists*. Cambridge University Press, Cambridge.
- Hammer, Ø., Harper, D.A.T. & Ryan, P.D. 2001. PAST: paleontological statistics software package for education and data analysis. *Paleontologia Electronica* 4: 1-9.
- Hillebrand, H. & Matthiessen, B. 2009. Biodiversity in a complex world: consolidation and progress in functional biodiversity research. *Ecology Letters* 12: 1-15.
- Huggett, R.J. 1995. *Geoeontology, an evolutionary approach*. Routledge, New Fetter Lane.
- Jacobi, C.M., Carmo, F.F., Vincent, R.C. & Stehmann, J.R. 2007. Plant communities on ironstone outcrops – a diverse and endangered Brazilian ecosystem. *Biodiversity and Conservation* 16: 2185-2200.
- Jacobi, C.M., Carmo, F.F., Campos, I.C. 2011. Soaring extinction threats to endemic plants in Brazilian metal-rich regions. *AMBIO* 40:540-543.
- Jacobi, C.M. & Carmo, F.F. 2012. *Floristic Diversity of the Quadrilátero Ferrífero Cangas*. Ed. IDM, Belo Horizonte.
- Kolasa, J. & Rollo, C.D. 1991. Introduction: the heterogeneity of heterogeneity: a glossary. In: Kolasa, J. & Pickett, S.T.A. (eds.) *Ecological heterogeneity*, pp. 1-23. Springer-Verlag, New York.
- Kuntz, K.L. & Larson, D.W. 2006. Microtopographic control of vascular plant, bryophyte and lichen communities on cliff faces. *Plant Ecology* 185: 239-253.
- Larson, D.W., Matthes, U. & Kelly, P.E. 2000. *Cliff Ecology: pattern and process in cliff ecosystems*. Cambridge University Press, Cambridge.
- Li, H. & Reynolds, J.F. 1995. On definition and quantification of heterogeneity. *Oikos* 73: 280-284.
- Liu, C., Whittaker, R.J., Ma, K. & Malcolm, J.R. 2007. Unifying and distinguishing diversity ordering methods for comparing communities. *Population Ecology* 49: 89-100.
- Liu, F.H., Yu, F.H., Krusi, B., Cai, X.H., Schneller, J.J. & Dong, M.N. 2007. Large Clones on Cliff Faces: Expanding by Rhizomes through Crevices. *Annals of Botany* 100: 51–54.
- Lovett-Doust, L. 1981. Population dynamics and local specialization in a clonal perennial (*Ranunculus repens*). I. The dynamics of ramets in contrasting habitats. *Journal of Ecology* 69: 743-755.
- Lundholm, J.T. 2009. Plant species diversity and environmental heterogeneity: spatial scale and competing hypotheses. *Journal of Vegetation Science* 20: 377-391.

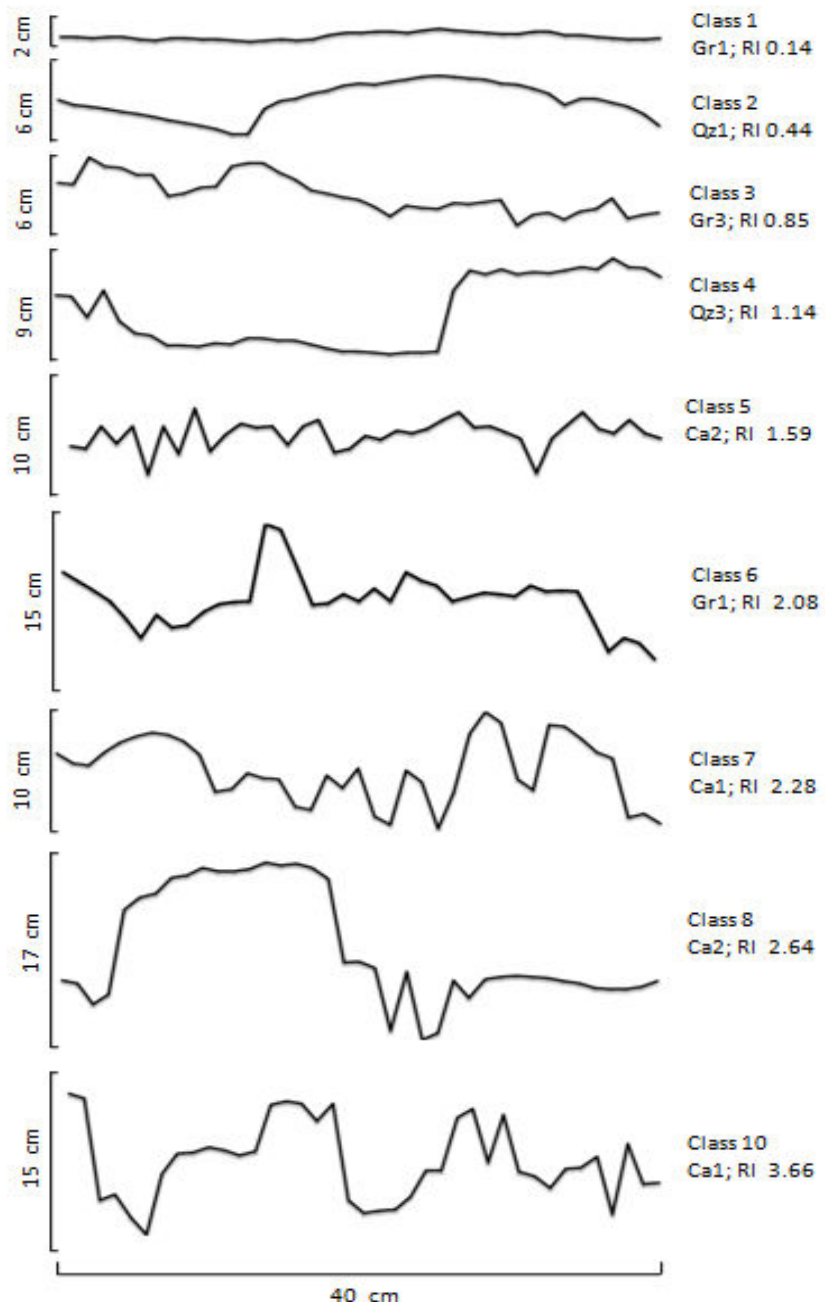
- Lundholm, J.T. & Larson, D.W. 2003. Relationships between spatial environmental heterogeneity and plant species diversity on a limestone pavement. *Ecography* 26: 715–722.
- Manel, S., Williams, C. & Ormerod, S.J. 2001. Evaluating presence-absence models in ecology: the need to account for prevalence. *Journal of Applied Ecology* 38: 921-931.
- McCarrol, D. & Nesje, A. 1996. Rock surface roughness as an indicator of degree of rock surface weathering. *Earth Surface Processes and Landforms* 21:963-977.
- McCune, B. & Gace, J.B. 2002. *Analysis of ecological communities*. MJM Software Design, Gleneden Beach.
- McKay, L.D., Driese, S.G., Smith, K.H. & Vepraskas, M.J. 2005. Hydrogeology and pedology of saprolite formed from sedimentary rock, eastern Tennessee, USA. *Geoderma* 126: 27-45.
- Mello-Silva, R. 2012. Velloziaceae. In: Jacobi, C.M. & Carmo, F.F. (orgs.) *Floristic Diversity of the Quadrilátero Ferrífero Cangas*, pp. 200-203. Ed. IDM, Belo Horizonte.
- Messias, M.C.T.B, Leite, M.G.P., Meira-Neto, G.A.A., Kozovits, A.R. & Tavares, R. 2013. Soil-vegetation relationship in quartzitic and ferruginous Brazilian rocky outcrops. *Folia Geobotanica*, 48: 509-521.
- MMA - Ministério do Meio Ambiente. 2008. *Áreas Prioritárias para Conservação, Uso Sustentável e Repartição de Benefícios da Biodiversidade Brasileira*. Ministério do Meio Ambiente, Série Biodiversidade, 31. Brasília: MMA.
- Mittermeier, R.A., Gil, P.R., Hoffman, M., Pilgrim, J., Brooks, T., Mittermeier, C.G., Lamoreux, J. & Fonseca, G.A.B. 2004. *Hotspots revisited: earth's biologically richest and most endangered terrestrial ecoregions*. CEMEX & Agrupación Sierra Madre, México.
- Moreno, R.G., Álvarez, M.C., Requejo, A.S. & Tarquis, A.M. 2008. Multifractal analysis of soil surface roughness. *Vadose Zone Journal* 7: 512-520.
- Munguía-Rosas, M.A. & Sosa, V.J. 2008. Nurse plants vs. nurse objects: effects of woody plants and rocky cavities on the recruitment of the *Pilosocereus leucocephalus* columnar cactus. *Annals of Botany* 101: 175-185.
- Mystat 12. 2012. SYSTAT Software Inc., San Jose, California.
- Passchier, C.W. & Trouw, R.A.J. 2005. *Microtectonics*. Springer-Velag, Berlin.
- Pearce, J. & Ferrier, S. 2000. Evaluating the predictive performance of habitat models developed using logistic regression. *Ecological Modelling* 133: 225–245.

- Pennings, S.C. & Callaway, R.M. 2000. The advantages of clonal integration under different ecological conditions: a community-wide test. *Ecology* 81: 709–716.
- Poot, P. & Lambers, H. 2003. Are trade-offs in allocation pattern and root morphology related to species abundance? A congeneric comparison between rare and common species in the south-western Australian flora. *Journal of Ecology* 91: 58-67.
- Poot, P. & Lambers, H. 2008. Shallow-soil endemics: adaptive advantages and constraints of a specialized root/system morphology. *New Phytologist* 178: 371-381.
- Porembski, S. & Barthlott, W. 2000a. *Inselbergs. Biotic diversity of isolated rock outcrops in tropical and temperate regions*. Springer-Verlag, Berlin.
- Porembski, S. & Barthlott, W. 2000b. Granitic and gneissic outcrop (inselbergs) as centers of diversity for desiccation-tolerant vascular plants. *Plant Ecology* 151: 19-28.
- Queiroz, L.P. & Cardoso, D. 2012. Fabaceae. In: Jacobi, C.M. & Carmo, F.F. (orgs.) *Floristic Diversity of the Quadrilátero Ferrífero Cangas*, pp. 124-127. Ed. IDM, Belo Horizonte.
- Rangel, T.F., Diniz-Filho, J.A.F. & Bini, L.M. 2010. SAM: a comprehensive application for Spatial Analysis in Macroecology. *Ecography* 33: 1–5.
- Richardson, P.J., MacDougall, A.S. & Larson, D.W. 2012. Fine-scale spatial heterogeneity and incoming seed diversity additively determine plant establishment. *Journal of Ecology* 100: 939–949.
- Rocha, A.E.S. & Secco, R.S. 2004. Contribuição à taxonomia de *Axonopus* P. Beauv. (Poaceae) no Estado do Pará, Brasil. *Acta Botanica Brasilica* 18: 295-304.
- Salgado, A.A.R., Braucher, R., Varajão, C.A.C., Colin, F. & Júnior, H.A.N. 2008. Relief evolution of the Quadrilátero Ferrífero (Minas Gerais, Brazil) by means of (¹⁰Be) cosmogenic nuclei. *Zeitschrift für Geomorphologie* 52: 317-323.
- Scarano, F.R. 2007. Rock outcrop vegetation in Brazil: a brief overview. *Revista Brasileira de Botânica* 30: 561-568.
- Schwinning, S. 2010. The ecohydrology of roots in rocks. *Ecohydrology* 3: 238-245.
- Sokal, R.R. & Rohlf, F.J. 1995. *Biometry*. 3rd ed. Freeman & Company, New York.
- Swets, J. 1988. Measuring the accuracy of diagnostic systems. *Science* 240: 1285-1293.
- Teles, A.M. & Hattori, E.K.O. 2012. Asteraceae. In: Jacobi, C.M. & Carmo, F.F. (orgs.) *Floristic Diversity of the Quadrilátero Ferrífero Cangas*, pp. 82-90. Ed. IDM, Belo Horizonte.
- Tóthmérész, B. 1995. Comparison of different methods for diversity ordering. *Journal of Vegetation Science* 6: 283-290.

Vepraskas, M.J. 2005. Predicting contaminant transport along quartz veins above the water table in a mica-schist saprolite. *Geoderma* 126: 47-57.

Versieux, L.M. & Wendt, T. 2007. Bromeliaceae diversity and conservation in Minas Gerais state. Brazil. *Biodiversity and Conservation* 1: 2989–3009.

Appendix S1. Example of surface profile in rock outcrops, Iron Quadrangle – Brazil, for nine (of ten) roughness classes: Class: 1 ($RI \leq 0.35$), 2 ($RI 0.36-0.7$), 3 ($RI 0.71-1.05$), 4 ($RI 1.06-1.4$), 5 ($RI 1.41-1.75$), 6 ($RI 1.76-2.1$), 7 ($RI 2.11-2.45$), 8 ($RI 2.46-2.8$), and 10 ($RI \geq 3.16$). RI: roughness index; Gr: granitoid; Qz: quartzite; Ca: canga (ironstone).



CAPÍTULO 4

ARE THE COMPOSITION OF ASTERACEAE AND POACEAE INFLUENCED BY DIFFERENCES IN SOIL PROPERTIES IN ROCK OUTCROPS?

Flávio Fonseca do Carmo¹, Aristônio Magalhães Teles², Pedro Lage Viana³, Claudia Maria Jacobi¹

¹Departamento de Biologia Geral, ICB, Universidade Federal de Minas Gerais, Av. Antônio Carlos 6627, 31270-901 Belo Horizonte, MG, Brazil; ²Departamento de Botânica, ICB, Universidade Federal de Goiás, Caixa Postal 131, 74001-970 Goiânia, GO, Brazil; ³Museu Paraense Emílio Goeldi, Avenida Governador Magalhães Barata, Nazaré 66040-170 Belém, PA, Brazil.

Abstract

The Iron Quadrangle represents one of the centres of pedodiversity and plant endemism in southeastern Brazil. In this study we characterized and compared physico-chemical properties in soils developed over quartzites, granitoids and canga outcrops. The soil similarity pattern found was compared to the one observed in Asteraceae and Poaceae species composition. The plant list consisted of 242 species and 82 genera, of which 151 species and 54 genera of Asteraceae, and 91 species and 28 genera of Poaceae. Floristic similarity of each family pointed to high beta diversity and more affinity among rock types than sites. The increase in species similarity was not correlated with geographic proximity among outcrops, indicating lack of significant spatial structuring in species composition. The soils of 10 outcrops may be classified as strongly acidic and have very low level of fertility and trace elements composition. As a result of a strong influence of their parent rock, pronounced differences were found in the physico-chemical soil constitution, separating soils developed over cangas, with high concentrations of Fe and Mn, from those developed over silicate rocks, with high values of aluminum saturation index. However the Asteraceae species showed no clear patterns in response to soil fertility and concentrations of trace elements.

Keywords: canga, granitoid, sandstone, co-occurrence, null model, broken-stick criterion, soil fertility, trace elements, metallophytes.

Introduction

Edaphic factors like substrate type, parent rock, and soil physico-chemical properties exert strong influence in the plant diversity and spatial genetic structure, especially when analysing the soil associated with rock outcrops (Kruckeberg, 2004; Huggett, 2005; Alvarez *et al.*, 2009; Butcher *et al.*, 2009). Rock systems in southeastern Brazil are particularly pedodiverse, with various soil types developed quartzites, phyllites, granites, gneiss, and ironstones (Benites *et al.*, 2007; Carvalho-Filho *et al.*, 2010). These systems are home to important plant diversity centres, such as the ones associated to the mountain ranges of

Espinhaço, do Mar, and Mantiqueira (Giulietti *et al.*, 1997; Safford & Martinelli, 2000; Fiasch & Pirani, 2009).

The Iron Quadrangle (hereafter IQ), Minas Gerais state, represents one of these centres of pedodiversity and plant endemism, so far with at least 116 species restricted to this locality, the majority of which occurring only on rock outcrops (Carmo & Jacobi, 2012). The IQ differs from other areas of endemism in southeastern Brazil because of the high metal concentration of its soils, particularly iron and manganese (Dorr II, 1969; Carvalho-Filho *et al.*, 2010). In metalliferous soils some plants are able to accumulate heavy metals up to extremely high concentrations in their tissues. The main heavy metals and metalloids reported of abnormal bioaccumulation by plants are As, Cd, Co, Cr, Cu, Ni, Pb, Se, and Zn. Given that metal hyperaccumulation occurs in less than 0.2% of angiosperms, these metallophytes are the object of conservation efforts (Boyd, 2004; Ginocchio & Baker, 2004).

Asteraceae and Poaceae are the dominant families in southeastern Brazil rock outcrops, according to some phytosociological studies of quartzites, granitoids, and ironstones (Conceição & Giulietti, 2002; Ribeiro & Medina, 2002; Caiafa & Silva, 2007; Jacobi *et al.*, 2008; Vincent & Meguro, 2008; Messias *et al.*, 2012). Both families have a large number of species in Brazil, concentrated mainly in open vegetation formations in the Centre-West and montane areas of the South and Southeast. Asteraceae is represented by 2035 species organized in 278 genera (Nakajima *et al.*, 2014) and, in spite of the importance in the floristic composition of Minas Gerais, there are still few checklists in the area (Nakajima & Semir, 2001). Poaceae, with approximately 1428 species and 212 genera in Brazil (Figueiras *et al.*, 2014), also lacks specific studies in the Espinhaço Range region (Viana & Filgueiras, 2008).

In this study we characterized and compared soil physico-chemical properties of outcrops from three different parent materials in the IQ. The similarity patterns in these soils were compared to those of Asteraceae and Poaceae species composition. These families present syndromes with high seed dispersal potential. The main dispersal syndromes are zochory in Poaceae and anemochory in Asteraceae (Jacobi & Carmo, 2011; Messias *et al.*, 2011). Therefore, assuming that outcrops geographically near each other share the same climatic conditions, we aimed to draw attention to the difference in soil-plant relations.

Methods and material

Study area

The Iron Quadrangle, local name *Quadrilátero Ferrífero*, is located under the phytogeographical influence of the two world biodiversity hotspots: Cerrado, the Brazilian Savanna, and Atlantic Rainforest (Mittermeier *et al.*, 2004). Although the mean annual precipitation is 1500-1900 mm, the region may be subjected to water deficit of five to seven months during the winter and subjected to a tropical sub-humid climate (Dorr II, 1969).

Cangas are outcrops formed at least 50 million years ago by the weathering of subjacent ferriferous rock, resulting in duricrusts with high concentrations of iron oxides and hydroxides like limonite, hematite and goethite. Granitoid outcrops have ages around 2.9-3.2 Ga and with the main minerals are feldspar, quartz and biotite. In spite of the presence of granitoid outcrops in the Iron Quadrangle landscape, the absence of botanical and ecological studies in these environments is notable. Quartzite outcrops are formed by clastic and chemical metasediments with ages around 2.4-2.6 Ga and the main minerals are quartz and muscovite (Dorr II, 1969). According to the main mineral constituents, these outcrops may be grouped into silicate (granitoids and quartzites) and ironstone (oxy-hydroxides cangas) rock types (Fernandes, 2007). The soils derived from these rock systems are shallow and poorly developed and therefore classified as lithosols (i.e. litholic neosols in the Brazilian soil classification system), plinthosols and cambisols (Carvalho-Filho *et al.*, 2010).

Data collection

We investigated 10 outcrops - five cangas, three quartzites and two granitoids - distributed throughout four sites in the Iron Quadrangle (hereafter IQ): Rola Moça, Moeda, Água Limpa and Gandarela (Tab. 1). Area, altitude and geographical coordinates were obtained with a global positioning system - GPS.

Table 1. Location, area and altitude of 10 outcrops from Iron Quadrangle, MG.

Site/rock type	Code	UTM (23 K)	Area (ha)	Altitude (m)
Rola Moça/Canga	C1	610856 7751133	34.5	1430
Rola Moça/Canga	C2	636525 7781891	24.1	1480
Moeda/Canga	C3	637525 7777908	26.2	1528
Gandarela/Canga	C4	603709 7781672	29.4	1610
Gandarela/Canga	C5	604791 7783231	40.6	1630
Moeda/Granitoid	G1	610701 7752298	6.1	1090
Moeda/Granitoid	G2	635851 7776359	7.2	1244
Rola Moça/Quartzite	Q1	601606 7780113	14.5	1300
Água Limpa/Quartzite	Q2	608722 7751696	22.6	1360
Moeda/ Quartzite	Q3	608800 7756785	16.8	1470

Intense floristic surveys of two focal families throughout the whole extension of the outcrops were performed between 2005 and 2012. Voucher specimens are deposited in the herbarium of the Federal University of Minas Gerais (BHCB) and nomenclature of species follows the List of Species of Flora of Brazil (2014). For each family, the alpha (local) diversity was obtained from the species list. These “island lists” (*sensu* Gotelli, 2000) represent fundamental units of investigation in community ecology and were used for construction of presence/absence matrix. The data set was used for preliminary analysis of co-occurrence patterns (Götzenberger et al., 2012). The C-score index (Stone & Robert, 1990) was used to test whether the distribution of observed species co-occurrence was significantly different from that expected from a null model. The C-score was calculated for each pair of species as:

$$(R_i - S)(R_j - S)$$

where R_i and R_j are the row totals for species i and j , and S represents the number of sites in which both species co-occur.

We used EcoSim 7.0 software to perform 5000 iterations, and the null model algorithm adopted maintains fixed row and fixed column sums matrices and randomizes the pattern of co-occurrence (Gotelli & Entsminger, 2001). This algorithm, when used with the C-score, is not vulnerable to false positives and is powerful at detecting patterns in noisy data (Gotelli, 2000). In nonrandom patterns in species co-occurrence matrices, the observed C-score has to be larger than the simulated one ($p < 0.05$). A standardized effect size –SES– was also used to assess the direction and degree of deviation from the null model. SES values below -2.0 or above 2.0 indicate statistical significance at the 5% error level (Ulrich & Gotelli, 2007). This metric was calculated as Gotelli & Entsminger (2001):

$$\text{observed index} - \text{mean (simulated indices)} / \text{standard deviation (simulated indices)}$$

To investigate the relation between outcrop area and species richness of Asteraceae and Poaceae four models were evaluated: linear, exponential, logarithmic, and geometric. These models were evaluated using the BioEstat 5.3 statistical package (Ayres et al. 2007). A cluster analysis based on the Jaccard index and UPGMA clustering criterion was used to investigate the similarities among outcrops using the software PAST 3.0 (Hammer et al., 2001). Previously, species that occurred in only one outcrops were removed to reduce the data set noise (McCune & Grace, 2002).

The geographical distances among outcrops, measured in a straight line, were calculated using software *Google Earth Pro*. The Mantel test was used to investigate correlations between species (Jaccard distance) and geographical (Euclidean distance)

matrices using the PC-ORD 6.0 (McCune & Mefford, 2011). The strength of association between two matrices as indicated by standardized Mantel statistics (r), McCune, B. & Grace (2002), and p-value was estimated from Monte Carlo method.

Each outcrop was divided into five strips, which were surveyed to collect five samples of soil (< 15 cm depth). The particle size (sand, silt, and clay) was determined in the < 2 mm fraction. Eighteen chemical variables were used for analyses of fertility, including pH (in H₂O, 1:2.5 solution/solute), macro and micro-nutrients (Mehlich 1 extractor and KCl 1 mol/l), base saturation, aluminum saturation, organic carbon, nitrogen, effective cation exchange capacity, and sum of bases. Two samples of soil per outcrop were used to quantify the trace elements As, Cd, Co, Cr, Cu, Ni, Pb, Se, and Zn. The concentration of these heavy metals and metalloids was determined by ICP-OES (Inductively Coupled Plasma Optical Emission Spectrometry). The permutational multivariate analysis of variance PerMANOVA based on Bray-Curtis distances was used to test for significant difference in the soil physico-chemical and trace elements characteristics between outcrops. The significance of the test was evaluated with 10 000 permutations performed by PC-ORD 6.0 (McCune & Mefford, 2011).

Two cluster analyses, based on the Bray-Curtis index and the UPGMA criterion, were used to investigate the similarities among soil samples using PAST 3.0 (Hammer *et al.*, 2001). For the physical and chemical variables, a rescaling was applied through relativization by maximum, according to the equation (McCune & Grace, 2002):

$$b_{ij} = x_{ij}/\text{xmax}_j$$

where row i represent samples, columns j are soil variables, and the largest value for soil variables is xmax_j .

After eliminating some redundancies, a correlation matrix was constructed from 10 physical and chemical variables, and was analyzed by principal component analysis using PAST 3.0 statistical package (Hammer *et al.*, 2001). A variance-covariance matrix was used to analyse trace elements. Determining the correct number of principal components (non-trivial components) is a fundamental step to interpret multivariate data, so as to avoid the loss of relevant information, in case of an underestimation, as well as noise increase, in case of overestimation (see Peres-Neto *et al.*, 2005). Therefore, we adopted approaches based on average values, assessing whether an observed test statistic based on eigenvalues is larger than the average value expected under the null hypothesis of no association between variables (Peres-Neto *et al.*, 2005). In this approach the confidence intervals of the eigenvalues located under an eigenvalue expected from a broken-stick (null) model will indicate the non-significant components, and therefore non-interpretable (see Jackson, 2003). The scree plot

was constructed using PAST 3.0 and confidence intervals (95%) were estimated from 1 000 permutations.

Peres-Neto *et al.* (2003) state that: “Once the number of eigenvalues is established, the interpretation of the relative contribution of variables to each ordination axis is rarely questioned.” We therefore tested whether the eigenvectors (loadings) differed significantly from zero or from sources of random variation. Therefore, we adopted method described by these authors, which consists of five steps involved in the broken-stick criterion for assessing eigenvector significance in principal component analysis (Annex 1).

Results

Asteraceae and Poaceae species composition

The complete plant list consisted of 242 species and 82 genera, of which 151 species and 54 genera of Asteraceae, and 91 species and 28 genera of Poaceae. The largest genera in Asteraceae were *Baccharis* (15), *Mikania* (13), *Chromolaena* (11), *Lessingianthus* (10), and *Lepidaploa* (06), and in Poaceae *Paspalum* (17), *Axonopus* (09), *Panicum* (08), *Andropogon* (07), and *Aristida* (06). Excluding the single occurrences, 12 exclusive genera were found in canga outcrops: *Acritopappus*, *Barrosoa*, *Conyza*, *Hoehnephytum*, *Hololepis*, *Koanophyllum*, *Lucilia*, *Piptocarpha*, *Verbesina*, and *Vernonanthura* (Asteraceae), and *Chusquea* and *Parodiophyllochloa* (Poaceae). In quartzites, *Echinocoryne* (Asteraceae) was the only exclusive genus and *Aldama* (Asteraceae) in granitoids. The total species in each outcrop (Annex 2) varied from 48 (Q1) to 81 (C3 and C5), Annex 2.

Species number in Asteraceae was correlated with outcrop area. The increase in outcrops area (Fig. 1) in four models, and the coefficient of determination explained more than 48% of the variance. Among the models (Annex 3), the best fit was the exponential (r^2 0.59; p 0.009). On the other hand, none of the four models showed significant correlation between outcrop area and species richness in Poaceae ($r^2 < 0.037$; $p > 0.591$).

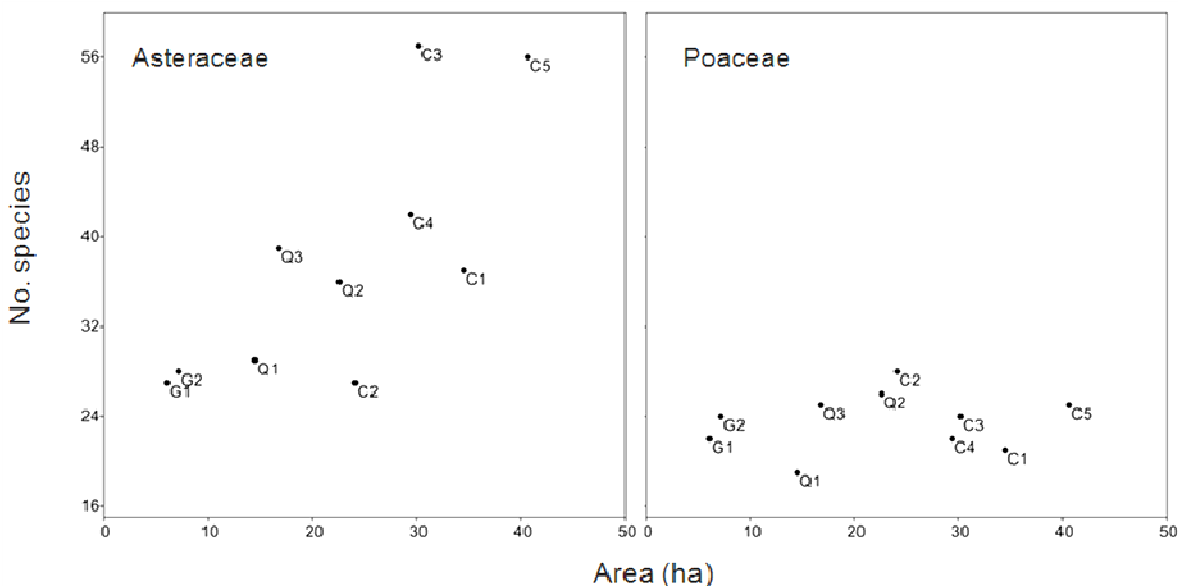


Figure 1 - Relationship between species richness and area of 10 outcrops, Iron Quadrangle. For Asteraceae: $R^2 = 0.59$ (exponential model). For Poaceae: $R^2 < 0.037$. C: cangas; G: granitoids; Q: quartzites. For site codes see Tab. 1.

The C-scores in Asteraceae and Poaceae were greater than the simulated values (Tab. 2), indicating a non-random pattern in the observed co-occurrence matrices. Gotelli and Entsminger (2001) comment that if the null hypothesis is rejected, other viable hypotheses – besides competition- should be considered. One of these hypotheses, known as "habitat checkerboards", predicts patterns in which species are associated with different abiotic conditions of the sites, which leads to less co-occurrence than expected by chance. In our study, both families exhibit patterns that may indicate affinities to specific soil/substrate types, leading to non-overlapping habitats (see Tab. 3 and Fig. 3).

Table 2 – Results of null models (5000 iterations) analysis of co-occurrence patterns. SES: standardized effect size.

	C-score (observed)	Nº of times observed > simulated	p	SES
Asteraceae	2.356	4928	0.014	2.474
Poaceae	2.564	4998	0.0004	4.309

Only 13 Asteraceae and 11 Poaceae were considered generalists, i.e. they occurred in at least one outcrop of each lithotype. Of these, only *Baccharis serrulata*, *Dasyphyllum sprengelianum* and *Axonopus siccus* were found in all outcrops. On the other hand, 68 species of Asteraceae (45%) and 36 of Poaceae (40%) were found in only one outcrop (Fig. 2 and Annex 2). The percentage of single occurrences in cangas (45%) was higher than in quartzites (34%) and granitoids (21%). The percentage of single occurrences per outcrop by Asteraceae was: cangas 4% to 19%, quartzites 6% to 13%, and granitoids 7% and 8%. And with regards to grasses, the number of single occurrences was: cangas 3% to 11%, quartzites 5% to 17%, and granitoids had 11% and 19% of singletons.

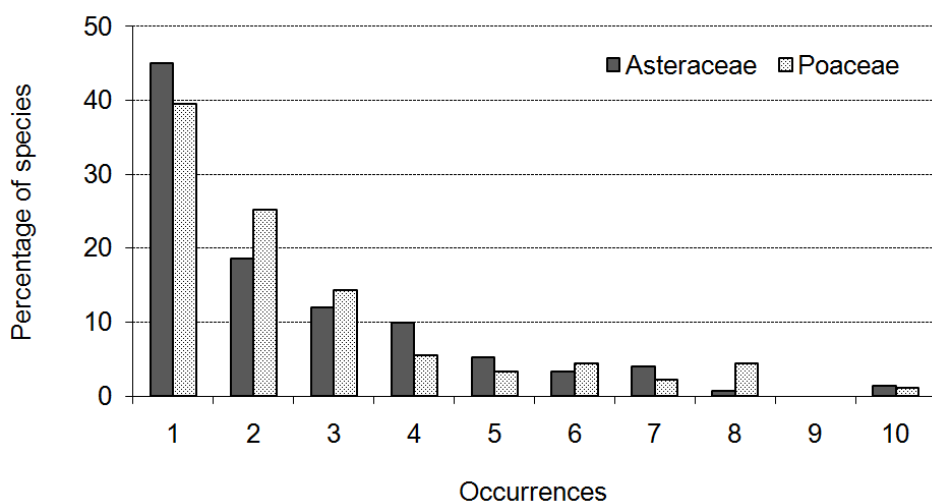


Figure 2 - Proportion of number of occurrences of Asteraceae (151 species) and Poaceae (91 species) in 10 outcrops from the Iron Quadrangle.

Apart from the single occurrences, exclusive species of Asteraceae were more common in cangas than the two silicate rock types together (Tab. 3). Three species are remarkable because of their exclusive occurrence in surveyed canga outcrops: *Hololepis pedunculata*, *Lychnophora syncephala*, and *Senecio linearilobus*, this last one rare in Minas Gerais but occurs in Paraná state, south Brazil (Teles, 2008). Another species that in Minas Gerais has been reported only in cangas but it is not endemic of the state was *Barrosoa organensis*. This Asteraceae is also found in other Brazilian rock systems in the states of Bahia, Espírito Santo, and Rio de Janeiro (Ferreira, 2010). The exclusive Poaceae species occurred in similar numbers in all outcrop types (Tab. 3). In quartzites, exclusive species were five Asteraceae and five Poaceae. Only two Asteraceae and two Poaceae species were exclusive of granitoids.

Table 3 - Asteraceae and Poaceae species occurring exclusively in iron oxy-hydroxides cangas or silicates (Granitoids + Quartzites) rock types from the Iron Quadrangle. Numbers of species per rock type are indicated in brackets.

Occurrences/ Asteraceae	Cangas (n=22)	Granitoids + Quartzites (n=12)
5	<i>Hololepis pedunculata</i>	
4	<i>Baccharis platypoda, Vernonanthura polyanthes</i>	<i>Richterago radiata</i>
3	<i>Acritopappus</i> sp., <i>Barrosoa organensis</i> , <i>Chaptalia nutans, Hoehnephytum trixoides, Mikania lasiandrae, Senecio linearilobus</i>	<i>Echinocoryne holosericea, Mikania glauca, Trichogonia salviifolia, Trixis glutinosa</i>
2	<i>Baccharis lychnophora, Bidens bralisiensis, Conyza boraniensis, Erechites valerianifolius, Lepidaploa</i> sp., <i>Lessingianthus</i> aff. <i>psylophyllus</i> , <i>L. roseus, Lucilia lycopodioides, Mikania cordifolia, Piptocarpha axillaris, Stenophalium gardneri, Symphyopappus</i> sp. nv., <i>Verbessina clausseni</i>	<i>Aldama robusta, Chromolaena decumbens, Heterocondylus pumilus, Lepidaploa vauthieriana, Lessingianthus buddleifolius, L. rosmarinifolius, Mikania leiolaena,</i>
Occurrences/ Poaceae	Cangas (n=15)	Granitoids + Quartzites (n=13)
4	<i>Paspalum brachytrichum</i>	<i>Aristida capillacea</i>
3	<i>Ocellochloa rufa, Paspalum erianthum</i> ,	<i>Aristida torta, Dichanthelium sabulorum, Panicum cyanescens, Trachypogon spicatus</i>
2	<i>Apochloa molinioides, A. poliophylla, Chusquea attenuata, Melinis repens, Panicum cf. subulatum, Panicum</i> sp., <i>Parodiophyllochloa ovulifera, P. pantricha, Paspalum carinatum, P. convexum, P. cultratum, Schizachyrium</i> aff. <i>tenerum</i>	<i>Andropogon</i> sp., <i>Axonopus chrysoblepharis, A. fastigiatus, A. pressus, Ichnanthus longiglumis, Paspalum</i> aff. <i>scalare, Paspalum eucomum, Schizachyrium sanguineum</i>

The analysis of floristic similarity of each family pointed to high beta diversity and more affinity among rock types than sites (Fig. 3). In Asteraceae, the granitoids formed a separate group from quartzites and cangas. In Poaceae, the cangas formed a separate group from granitoids and quartzites. In the groups formed by the same lithotype, each family showed variations in similarity values. For example, all five canga outcrops were joined at approximately 30% similarity (Jaccard index) regarding Asteraceae, and 25% regarding Poaceae. The granitoids joined at approximately 52% similarity regarding Asteraceae, and 42% regarding Poaceae. The similarity between granitoid and all other rock types was less

than 20% in Asteraceae. In Poaceae, the similarity between silicate rock types (Granitoids + Quartzites) was 25%.

Liner distances in straight line that connect each of three sites ranged from 24 to 39 km. Among intra-site outcrops the distances were between 0.8 and 6 km (Annex 4). The Mantel test did not show associations between species matrices of Asteraceae ($r = 0.137$; $p = 0.173$) or Poaceae ($r = 0.245$; $p = 0.078$) and the geographical matrix.

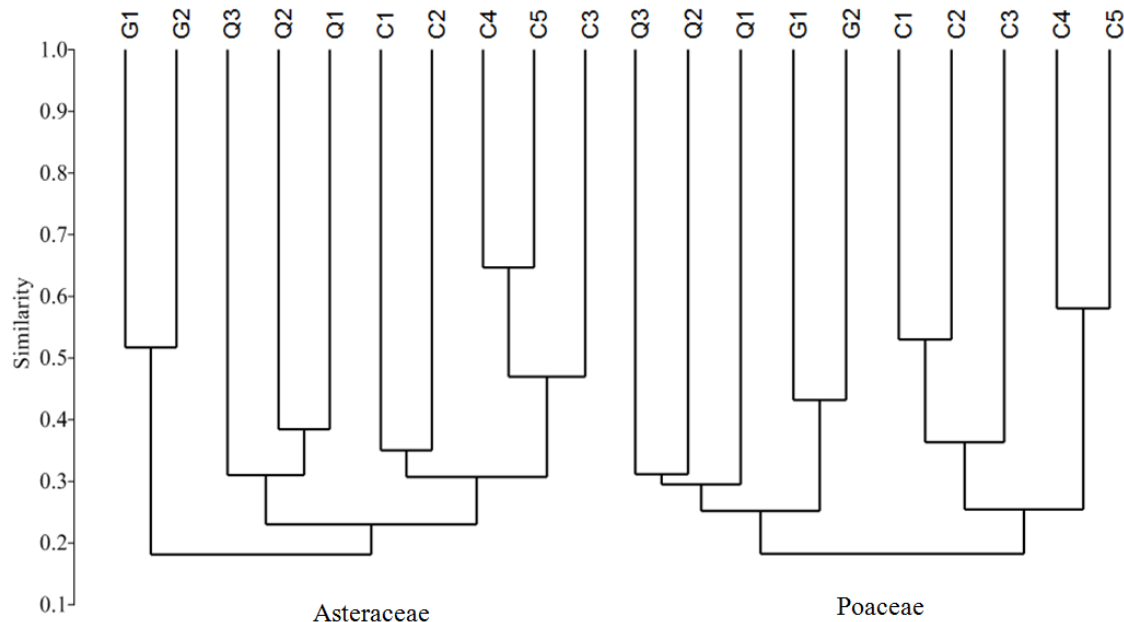


Figure 3 - Cluster analysis of 10 outcrops from the Iron Quadrangle based on the Asteraceae species ($n=83$; cophenetic correlation coefficient = 0.928) and Poaceae species ($n=55$; cophenetic correlation coefficient = 0.835). Dendrogram used UPGMA and the Jaccard similarity index. C: cangas; G: granitoids; Q: quartzites. For site codes see Tab. 1.

Soil

The soils of all outcrops can be classified as strongly acid and have very low level of fertility, with very low mean values of phosphorus and base saturation index, and low concentration of organic carbon. Annex 5 shows a summary of texture class and reference values for some soil chemicals variables. The aluminum saturation index (m) reached extreme values for granitoids (>85%) and very high for quartzites. In canga soils, values were relatively small (29-48%), although still within the limits considered high for soil fertility in tropical regions. Fe and Mn concentrations were high in all samples, especially in canga soils, with mean values two (Mn) to three (Fe) times higher than silicate soils. High to medium N

values were found in cangas and granitoids, while N concentration in quartzites was low. The soil of all outcrops was characterized by low organic carbon, although values for granitoids and quartzites were about four times lower than those in canga soils (Tab. 4; Annex 5).

Table 4 - Soil physico-chemical characteristics (mean, n=5 for each outcrop) in 10 rock outcrops from the Iron Quadrangle. SB: sum of bases; CEC: effective cation exchange capacity; V: base saturation index; m: aluminum saturation index. For site codes see Tab. 1.

	C1	C2	C3	C4	C5	G1	G2	Q1	Q2	Q3
Sand (%)	40,4	49,6	64,0	42,0	48,5	72,6	72,0	61,4	74,4	74,0
Silt (%)	26,8	22,4	17,6	28,0	26,0	13,0	13,6	26,0	20,4	19,2
Clay (%)	32,8	28,0	18,4	30,0	25,5	14,4	14,4	12,6	5,2	6,8
pH	4,6	4,3	4,7	4,4	4,3	4,8	4,8	4,5	4,4	4,3
P (mg/dm ³)	2,9	4,4	2,4	2,9	3,3	2,1	4,0	2,8	3,4	2,9
K (mg/dm ³)	45,2	53,6	42,0	42,2	42,3	31,4	33,8	23,0	15,0	17,2
Na (mg/dm ³)	5,1	3,4	7,1	1,6	2,9	4,7	0,0	0,0	0,0	0,2
Fe (mg/dm ³)	390,6	432,6	232,4	278,8	397,6	134,7	111,7	65,5	63,7	85,4
Mn (mg/dm ³)	38,1	17,5	42,2	54,7	25,8	11,2	25,4	15,0	8,0	7,9
Ca ²⁺ (cmolc/dm ³)	2,2	1,4	0,9	1,4	0,8	0,1	0,0	0,4	0,4	0,2
Mg ²⁺ (cmolc/dm ³)	0,2	0,1	0,2	0,3	0,1	0,0	0,0	0,0	0,1	0,1
Al ³⁺ (cmolc/dm ³)	0,9	1,5	0,6	1,0	1,0	1,0	1,1	1,3	0,8	1,2
SB (cmolc/dm ³)	2,4	1,5	1,2	1,8	1,1	0,2	0,1	0,4	0,5	0,4
CEC (cmolc/dm ³)	3,3	2,9	2,0	2,8	2,1	1,2	1,3	1,7	1,3	1,6
V (%)	10,5	6,3	9,1	8,5	6,3	2,8	1,7	5,4	8,0	5,2
m (%)	28,7	48,4	32,4	36,4	48,2	85,5	90,4	76,4	60,6	78,6
C (dag/kg)	14,7	13,8	4,56	12,2	12,4	3,2	4,3	3,3	2,6	2,8
N (dag/kg)	0,3	0,3	0,2	0,3	0,3	0,2	0,3	0,1	0,1	0,1

Concentrations of trace elements Cd, Co, Cu, Ni, Pb and Se in the soil samples were very low, some of them below the minimum detection limit of the ICP-OES method (Tab. 5). Cr and Zn concentrations were within the limits considered normal for Brazilian uncontaminated soils, or non-mineralized areas. These limits are between 19-65 ppm for Cr and 06-79 ppm for Zn (Fadigas *et al.*, 2006). These low concentrations may be mainly related to the natural chemical poverty of the parent materials and with intense weathering processes acting on this system for millions of years (Benites *et al.*, 2007; Salgado *et al.* 2008). The

majority of samples had As concentrations within the mean natural limits for uncontaminated soils (worldwide), which are within 0.1-50 ppm (Mandal & Suzuki, 2002). The exception was outcrop G2, in which As concentrations ranged from 82 to 107 ppm. These values may be associated with the presence of rare minerals, such as arrite. In rocks of gnaissic origin (granitoids) from the IQ, anomalous concentrations of As (> 350 ppm) were associated with the presence of this mineral, probably formed from pentlandite, whose mineralization is associated with quartz-feldspar hydrothermal veins (Dardenne & Schobbenhaus, 2003; Fonseca & Evangelista, 2013).

Table 5 - Trace elements (ppm) in soil samples in 10 rock outcrops from the Iron Quadrangle. Values of minimum detection limit of the ICP-OES method are indicated in brackets. For site codes see Tab. 1.

	As (10)	Cd (3)	Co (8)	Cr (3)	Cu (3)	Ni (3)	Pb (8)	Se (20)	Zn (3)
C1	48	< 3	< 8	34	12	< 3	21	< 20	36
C1	< 10	< 3	< 8	47	11	< 3	< 8	< 20	5
C2	12	< 3	< 8	39	12	5	< 8	< 20	15
C2	< 10	< 3	< 8	44	13	< 3	< 8	< 20	15
C3	51	< 3	< 8	32	< 3	< 3	< 8	< 20	< 3
C3	33	< 3	< 8	37	< 3	4	< 8	< 20	< 3
C4	24	< 3	< 8	19	10	< 3	11	< 20	13
C4	< 10	< 3	< 8	16	13	< 3	< 8	< 20	12
C5	44	< 3	< 8	38	< 3	< 3	< 8	< 20	5
C5	34	< 3	< 8	44	< 3	< 3	< 8	< 20	6
G1	< 10	< 3	< 8	7	10	9	30	< 20	32
G1	< 10	< 3	< 8	3	8	4	32	< 20	44
G2	107	< 3	< 8	12	< 3	< 3	10	< 20	17
G2	82	< 3	< 8	5	< 3	< 3	11	< 20	15
Q1	29	< 3	< 8	40	12	8	12	< 20	24
Q1	< 10	< 3	< 8	19	11	8	13	< 20	21
Q2	< 10	< 3	< 8	9	< 3	< 3	< 8	< 20	< 3
Q2	12	< 3	< 8	8	< 3	< 3	< 8	< 20	< 3
Q3	< 10	< 3	< 8	14	8	8	< 8	< 20	14
Q3	< 10	< 3	< 8	5	< 3	< 3	< 8	< 20	< 3

Soil texture in granitoids and quartzites was influenced by the sand fraction. These coarse-texture soils were classified in two groups: loamy sandy (Q2 and Q3) and sandy loam (G1, G2 and Q1). The textures of the canga soils were more influenced by the clay fraction, and were classified in four groups, ranging from clay loam to sandy loam (Tab. 4; Annex 5). In sandy soils associated with silicate rock systems predominate residual minerals resistant to intense lixiviation, such as quartz and feldspar (Alho *et al.* 2007) and these soils correspond to lithosols (i.e. litholic neosols), according to Benites *et al.* (2007). In canga soils, high levels of clay minerals rich in Fe predominate, such as hematite and goetite, both extremely resistant to processes of pedogenetic alterations, and these soils correspond to Lithoplantic Plinthosols (Schaefer *et al.* 2008).

Based on fertility variables, soil composition of the outcrops was significantly different (PerMANOVA $F = 15.8$; $p < 0.01$). The pairwise comparison among cangas indicated that only C3 differs from C1, C2 and C5. Soils in silicates rocks are different from those in cangas. Among silicates rocks, similarities were only found between G1-G2, G1-Q3 and Q2-Q3. For the soil composition of the outcrops based on trace elements, no differences ($p > 0.05$) were found in the pairwise comparation of the 10 outcrops (Tab. 6).

Table 6 - PerMANOVA for the soil comparisons (10.000 permutations) among the 10 outcrops, Iron Quadrangle. Lower diagonal: fertility variables. Upper diagonal: trace elements. Significant results ($p < 0.05$) are reported in bold. For site codes see Tab. 1.

	C1	C2	C3	C4	C5	G1	G2	Q1	Q2	Q3
C1	-	1	0.671	0.665	1	0.328	0.331	1	0.336	0.330
C2	0.331	-	0.338	0.339	0.337	0.330	0.323	0.335	0.346	0.332
C3	0.016	0.014	-	0.323	0.670	0.326	0.329	0.334	0.339	0.337
C4	0.210	0.069	0.153	-	0.330	0.334	0.337	0.330	0.332	0.331
C5	0.986	0.628	0.031	0.204	-	0.343	0.335	0.340	0.336	0.340
G1	0.007	0.018	0.015	0.007	0.009	-	0.325	0.332	0.344	0.334
G2	0.008	0.007	0.006	0.008	0.008	0.618	-	0.331	0.332	0.329
Q1	0.008	0.008	0.009	0.009	0.009	0.009	0.008	-	0.340	0.327
Q2	0.009	0.008	0.007	0.008	0.007	0.008	0.007	0.008	-	1
Q3	0.007	0.008	0.008	0.007	0.008	0.135	0.044	0.008	0.104	-

The cluster analyses reflected the results of the PerMANOVA tests. The cluster of the fertility soil variables originated two large groups, joined by a similarity of 63%. The first group joined canga samples and one from the G1 outcrop at 76% similarity. The second was composed by soils originated from silicate rock; quartzite soils joined granitoids at 80% similarity and one G1 sample was joined at 73% similarity (Fig. 4). The cluster analysis of soil trace elements originated a large group formed by quartzites and cangas that, in spite of being geochemically very different, were joined at 72% of similarity. Granitod G1, probably because of the largest values of Ni, Pb and Zn, joined this cluster at 63% similarity. G2 joined the rest at 60% similarity (Fig. 4).

Regarding soils fertility variables, only the first component had an eigenvalue larger than assumed by the broken-stick model and was retained for analysis. In the trace elements, principal components were considered non-significant, or non-interpretable, since the confidence intervals of all of them were located under the eigenvalues expected from a null model (Fig. 5).

The first principal component accounts for 50% of the variance in fertility. Eight variables exhibited significant association with this axis (Annex 1). Of these, five were strongly correlated to this component: clay (0.91), organic carbon (0.88), cation exchange capacity (0.83), aluminum saturation (-0.80), and iron (0.78); and three were moderately correlated: nitrogen (0.69), manganese (0.63) and base saturation (0.61). This principal component separated canga soil samples from those of silicate soils (Fig. 6).

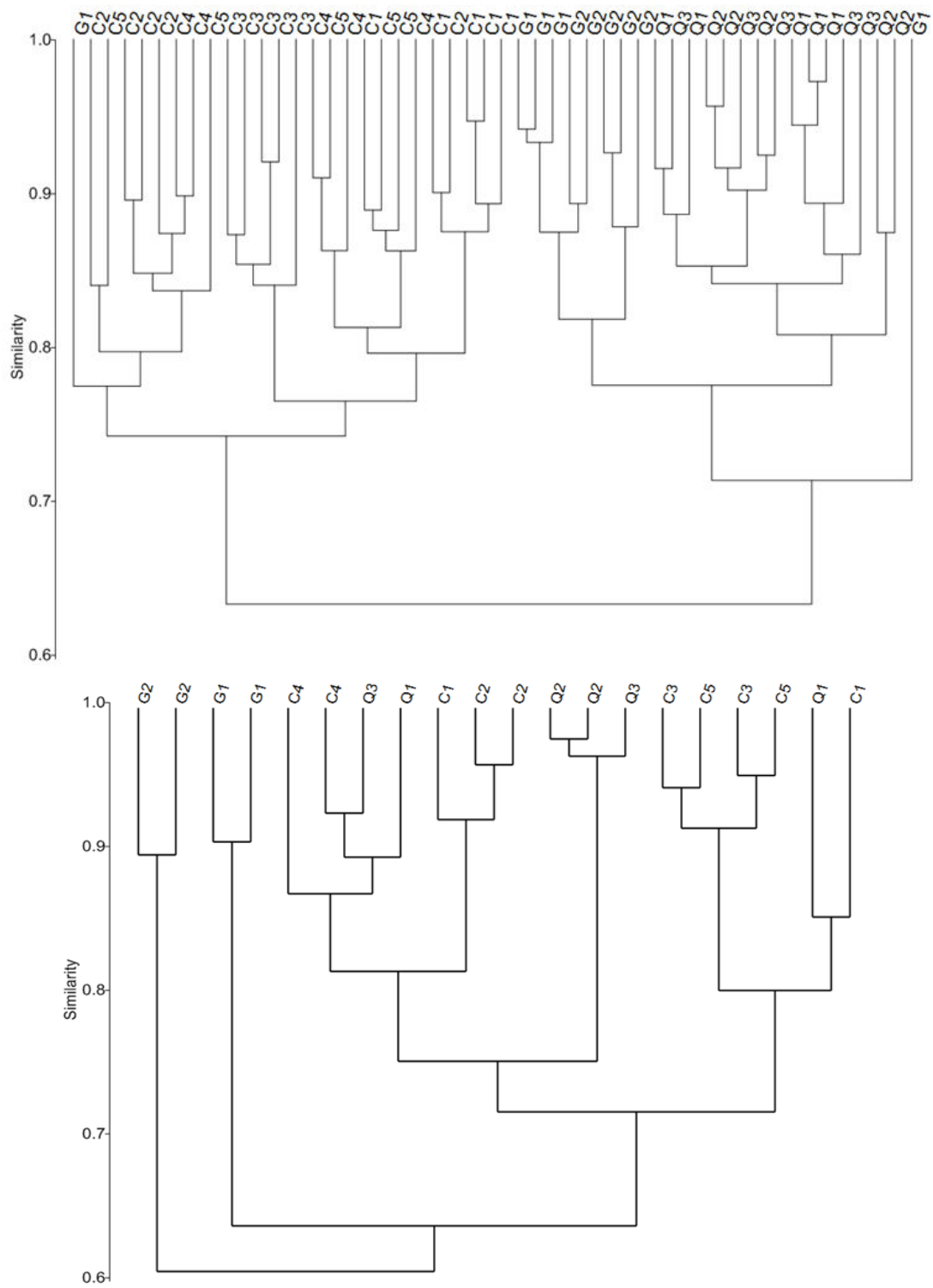


Figure 4 - Cluster analysis (UPGMA and Bray-Curtis index) of the soils samples from 10 outcrops, Iron Quadrangle. Above, 18 fertility variables ($n=50$; cophenetic correlation coefficient = 0.775). Below, nine trace elements ($n=20$; cophenetic correlation coefficient = 0.816). C: cangas; G: granitoids; Q: quartzites. For site codes see Tab. 1.

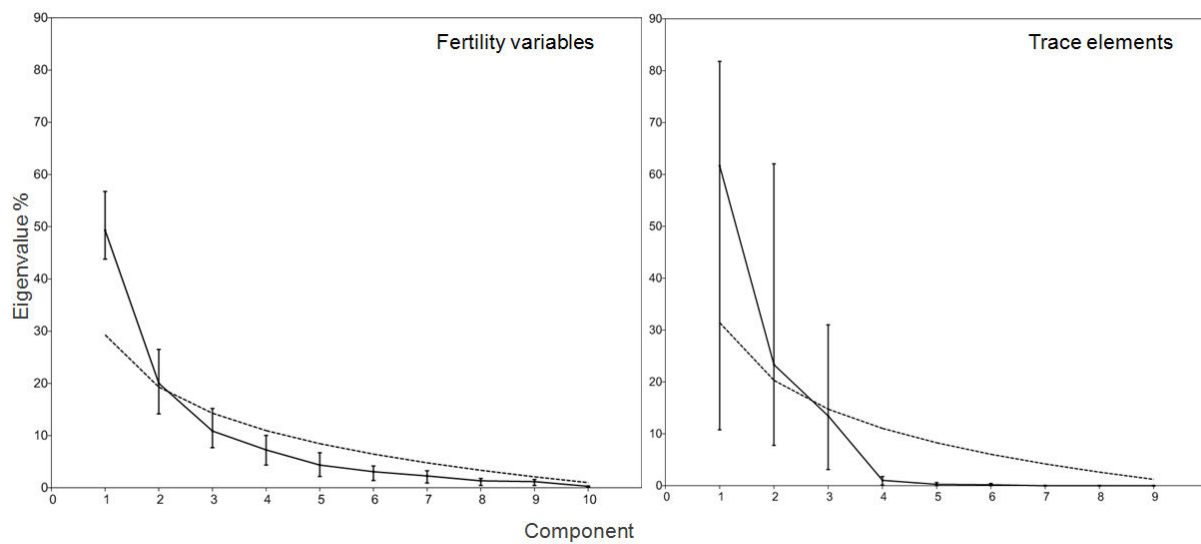


Figure 5 - Eigenvalues (95% CI) from principal component analysis baseados in soil fertility (10 variables) and trace elements (10 variables). Dotted line: eigenvalues expected from a broken-stick model.

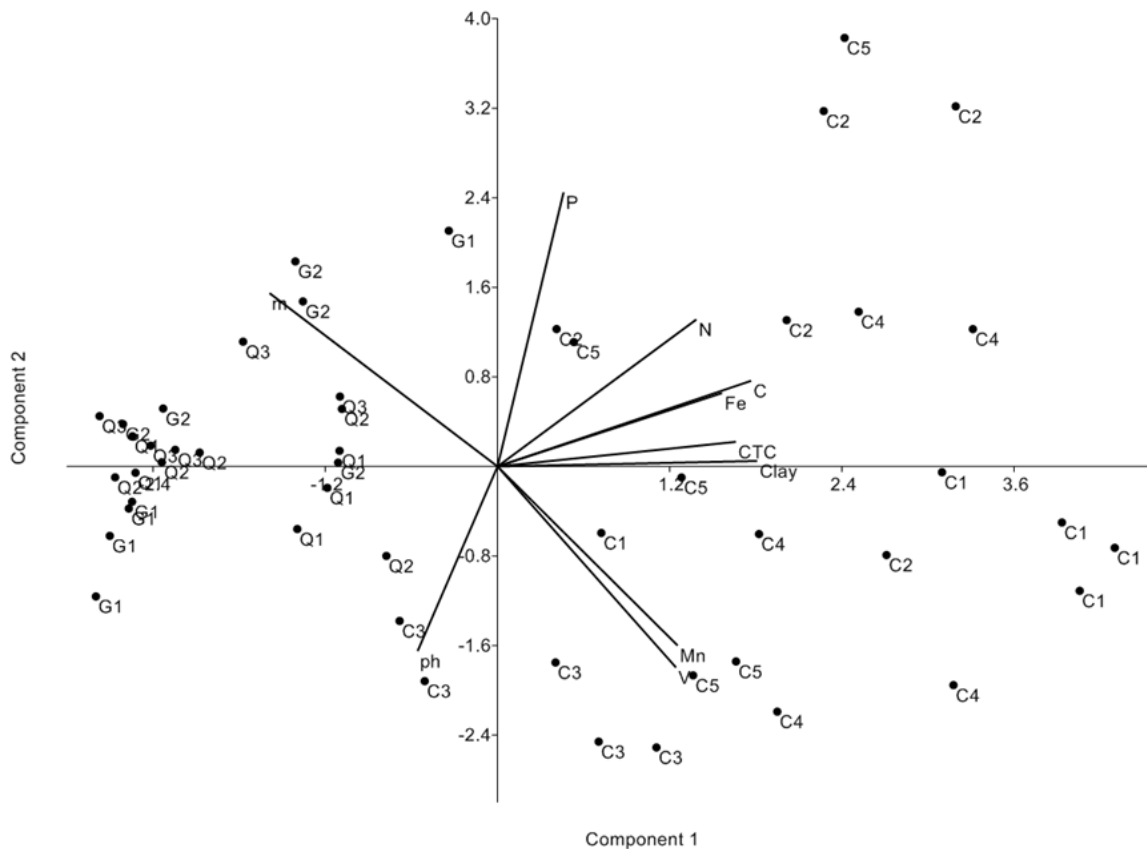


Figure 6 - Principal component analysis of the 10 soil fertility variables ($n=50$ samples) from 10 rock outcrops, Iron Quadrangle. C: cangas; G: granitoids; Q: quartzites. For site codes see Tab. 1.

Discussion

Marked differences were found among the soils physico-chemical constitution, separating those developed over cangas from those developed over silicate rocks. This distinction reflects a strong influence of their parental rock (Chesworth, 1973). With respect to the clay fraction and organic carbon, it is significant that cangas were the only ones with a high percentage, compared to silicate outcrops. Clay and organic carbon have an important role in soil properties (Novais & Mello, 2007). However, in the studied soils, the percentage of clay fraction and organic carbon should be interpreted within the context of dystrophic soils. Firstly, soils associated to rock systems in southeastern Brazil are very shallow and the major portion of organic matter occurs in humified form and, in this form, humic acids predominate. Therefore, the main portion of organic matter could be considered recalcitrant and, since humic acids are very reactive, organic matter plays an important role, significantly contributing to maintain the cation exchange capacity in the clays of natural low activity (Schaefer *et al.*, 2002; Benites *et al.*, 2005). In soils over cangas as well as silicate rocks the main colloids associated with the clay fraction are generally iron and aluminum. These elements do not contribute to the effective cation exchange capacity and in high concentration regarding chemical stress affecting plant growth (Snowden & Wheeler, 1993; Benites *et al.*, 2007; Schaefer *et al.*, 2012; Ronquin, 2010).

Álvares *et al.* (2005) adopted a maximum limit of 15% of base saturation as threshold level of aluminium toxicity index in soils affected by acidic deposition in various forest species in Galicia, Spain. In cerrado Brazilian soils, the high concentration of aluminum may be toxic to some plants, but this situation is known to positively influence the density and richness of herbaceous and graminoid vegetation in open cerrado physiognomies, where some scrub native species accumulate aluminum in their leaves (Haridasan, 1982; Ruggiero *et al.*, 2002; Amorim & Batalha, 2008). High aluminum saturation also characterizes soils developed in quartzite and granitoid rock systems in mountain ranges of eastern Brazil (Schaefer *et al.*, 2002; Benites *et al.*, 2005). According to the Álvares index, *a priori*, soils on quartzites in our study and, particularly, on granitoids can present aluminum toxicity. This element appeared in higher amounts on granitoids and quartzites, and the similarity with Cerrado soils may be correlated with the establishment of Asteraceae and Poaceae species commonly found in open physiognomies. Examples of Asteraceae species for this situation are *Calea fruticosa*, *Chromolaena chaseae*, *Lepidaploa rufogrisea*, *Lessingianthus buddleiifolius*, *Trixis glutinosa*, and *Aldama robusta*. Examples of Poaceae are *Paspalum*

carinatum, *P. erianthum*, *P. convexum* and *Schizachyrium tenerum* Nees (Judziewicz, 1990; Denhamm *et al.*, 2002).

High concentration of iron in soil can be toxic for some plant species and the main mechanism involved is the inability to prevent uptake of reduced iron (Fe^{+2}) by oxidative precipitation (Snoden & Wheeler, 1993). In Brazil, some preliminary studies indicated the possibility that canga plants bioaccumulate iron (Porto & Silva, 1989; Teixeira & Lemos, 1998). Species that are endemic to canga outcrops, such as the Poaceae *Paspalum brachytrichum* (Viana, 2012) and Asteraceae *Symphyopappus* sp. nv. (Teles & Hattori, 2012), or species that occur frequently in these outcrops (see tab. 2 and Annex 2 for examples), may be considered iron-tolerants and are classified as metallophyles (*sensu* Whiting *et al.*, 2004), because they occur both in soils with high metal concentrations as well as non-metallic soils. These species with frequent occurrence in cangas form a group where genetic differentiation may be induced by soil chemical stress factors. In southeast Brazil, Borba *et al.* (2001) observed that some populations of *Acianthera teres* (Orchidaceae) on cangas diverged genetically from populations established on quartzite and granite outcrops.

Metal toxicity thresholds research in native plant, non-agricultural species, is still poorly developed. Ross and Kaye (1994) argue that establishing metal toxicity thresholds for plants is very complex and it is important to consider the interaction of several variables, such as metal type and concentration, exposure route, spatio-temporal distribution, and the type and severity of the injury. In Brazil, no conclusive studies have been published on this issue, like those available based on experiments of shoot:root dry weight ratio (Snowden & Wheeler, 1993; Paschke *et al.*, 2005). Even so, the high concentrations of Al, Fe and Mn found in IQ lithosols (Carvalho-Filho *et al.*, 2010) may stimulate the development of scientific research on bioaccumulation of toxic elements.

Some studies performed in the IQ indicate that the heavy metals Cu, Mg, Pb and Zn are the main variables associated with ordination gradients of the vegetation and soils developed on cangas and quartzites (Vincent & Meguro, 2008; Messias *et al.*, 2012b). However, we did not find significant distinctions based on soil trace elements. The cause of this discrepancy may be our use of analytical tools to assess the component and eigenvector significance, which provides a more rigorous analysis in ordination methods (Peres-Neto *et al.*, 2003).

The absence of species-area relation in Poaceae may be attributed to at least two factors: the spatial heterogeneity and the growth form, or functional types of the species. Comparing the spatial heterogeneity among cangas, quartzites and granitoids, measured by

their topographic roughness, Carmo *et al.* (subject) identified a strong association between fine-scale variations of rock surface and variations in important plant community parameters such as richness, abundance, and total plant cover. Granitoids were classified as smooth outcrops, because of their less heterogeneous surfaces in many cases; cangas had the most heterogeneous surfaces, and were classified as coarse outcrops. Between these extremes, the relative covers of graminoids decreases and that of sclerophytes (herbs, shrubs and subshrubs) increases. Therefore, the similar species richness values of Poaceae found, independently of the absolute area of each outcrop, may be caused by the limited availability of adequate substrate for establishment of graminoid species.

In both Poaceae and Asteraceae the low species similarity among the three types of outcrop was remarkable. Higher similarity values were not correlated with geographical proximity among outcrops, indicating no significant spatial structuring influencing species composition. Therefore, this pattern could be associated with deterministic factors, in which the observed clusters in species composition reflected an edaphic gradient. In fact, the similarity patterns in Poaceae matched those of the soils in the 10 outcrops. In Asteraceae, there were some differences, because of the floristic segregation of granitoids. This pattern may be correlated to a stronger floristic influence of the Cerrado phytogeographic domain, in which this family is especially important in the herbaceous-shrub stratum (Rizzini, 1979; Amorim & Batalha, 2008). Some chemical characteristics of the soils were quite similar to those of Cerrado soils, mainly aluminum saturation. Another factor that probably influenced the distinction of granitoids is, again, their simpler microtopographical heterogeneity, in which smoother surfaces may result in less substrate availability for the establishment of sclerophyllous shrubs (Carmo *et al.*, subject). This scenario suggests that assembly rules governed by edaphic filters which select species from the regional species pool to determine the local community composition (Götzenberger *et al.*, 2012). These patterns are similar to those predicted by the habitat checkerboards co-occurrence model (Gotelli & McCabe, 2002).

The selected soil fertility variables integrated set was an important edaphic property and as revealed by its contribution of 50% in the first axis of the PCA. However the Asteraceae species showed no clear patterns in response to soil fertility and concentrations of trace elements. An important step to complement our understanding of patterns of diversity and structure in plant community rock outcrops is to include edaphic factors related to the physical and spatial components as variables in species distribution models (Dubuis *et al.*, 2013). The three-dimensional topography determines the spatial distribution of soil properties in rock systems like depth, water storage capacity, and drainage and, in turn, the heterogeneity

of soil attributes influences plant communities structure (Hugget, 1995; Kuntz & Larson, 2006; Medina *et al.*, 2006; Schaefer *et al.*, 2012; Messias *et al.*, 2013).

Acknowledgments

The Brazilian National Council for Scientific and Technological Development (CNPq), the Minas Gerais State Research Foundation (FAPEMIG) and US Fish and Wildlife Service provided financial support. We thank the State Forestry Institute of Minas Gerais (IEF-MG) for granting the collection licenses, and special thanks are due to taxonomist Eric K.O. Hattori.

References

- Alho, D.R., Júnior, J.M. & Campos, M.C.C. 2007. Caracterização física, química e mineralógica de Neossolos Litólicos de diferentes materiais de origem. *Revista Brasileira de Ciências Agrárias*, 2: 177-122.
- Álvarez, E., Fernandes-Marcos, M.L.; Monterroso, C. & Fernandez-Sanjurjo. 2005. Application of aluminum toxicity índices to soils under various Forest species. *Forest Ecology and Management*, 211: 227-239.
- Alvarez, N., Thiel-Egenter, C., Tribsch, A., Holderegger, R., Manel, S., Schonswetter, P., Taberlet, P., Brodbeck, S., Gaudeul, M., Gielly, L., Kupfer, P., Mansion, G., Negrini, R., Paun, O., Pellecchia, M., Rioux, D., Schupfer, F., Van Loo, M., Winkler, M. & Gugerli, F. 2009. History or ecology? Substrate type as a major driver of spatial genetic structure in Alpine plants. *Ecology Letters*, 12: 632–640.
- Amorim, P.K. & Batalha, M.A. 2008. Soil chemical factors and grassland species density in Emas National Park (central Brazil). *Braz. J. Biol.*, 68(2):279-285.
- Ayres, M., Ayres Júnior, M., Ayres, D.L. & Santos, A.A. 2007. BioEstat 5.3. Instituto Mamirauá. Tefé, AM.
- Benites, V.M., Mendonça, E.S., Novotny, E.H., Reis, E.L., Schaefer, C.E.G.R. & Ker, J.C. 2005. Properties of black soil humic acids from high altitude rocky complexes in Brazil. *Geoderma*, 127: 104–113.
- Benites, V.M., Schaefer, C.E.G.R., Simas, F.N.B. & Santos, H.G. 2007. Soils associated with rock outcrops in the Brazilian mountain ranges Mantiqueira and Espinhaço. *Revista Brasileira de Botânica*, 30: 569-577.

- Borba, E.L., Felix, J.M., Solferini, V.N. & Semir, J. 2001. Fly-pollinated *Pleurothallis* (Orchidaceae) species have high genetic variability: evidence from isozym markers. *American Journal of Botany*, 88: 419-428.
- Boyd, R.S. 2004. Ecology of metal hyperaccumulation. *New Phytologist*, 162: 563 –567.
- Butcher, P.A., McNee, S.A. & Krauss, S.L. 2009. Genetic impacts of habitat loss on the rare ironstone endemic *Tetratheca paynterae* subsp. *paynterae*. *Conserv Genet*, 10: 1735–1746.
- Caiafa, A.N. & A.F. Silva. 2007. Structural analysis of the vegetation on a highland granitic rock outcrop in Southeast Brazil. *Revista Brasil. Bot.*, 30: 657-664.
- Carmo, F.F. & Jacobi, C.M. 2012. Vascular plants on cangas. In Jacobi, C.M. & Carmo, F.F. (Eds.) *Floristic Diversity of the Quadrilátero Ferrífero Cangas*. Ed. IDM, Belo Horizonte. 43-50.
- Carmo, F.F., Campos, I.C. & Jacobi, C.M. Effects of fine-scale surface heterogeneity on rock outcrop plant communities. *Journal of Vegetation Science*, subject.
- Carvalho-Filho, A; Curi, N.; Shinzato, E. 2010. Relações solo-paisagem no Quadrilátero Ferrífero em Minas Gerais. *Pesquisa Agropecuária Brasileira*, 45: 903-906.
- Chesworth, W. 1973. The parent rock effect in the genesis of soil. *Geoderma*, 10: 215-225.
- Conceição, A.A. & Giulietti, A.M. 2002. Composição florística e aspectos estruturais de campo rupestre em dois platôs do Morro do Pai Inácio, Chapada Diamantina, Bahia, Brasil. *Hoehnea*, 29: 37-48.
- Dardene, M.A. & Schobbenhau, C. 2003. Depósitos Minerais no Tempo Geológico e Épocas Metalogenéticas. In: L. A. Bizzi, C. Schobbenhaus, R. M. Vidotti e J. H. Gonçalves (eds.) *Geologia, Tectônica e Recursos Minerais do Brasil*. CPRM, Brasília, pp. 365-448.
- Denhamm, S., Zuloaga, F.O. & Morrone, O. 2002. Systematic revision and phylogeny of *Paspalum* subgenus *Ceresia* (Poaceae: Panicoideae: Paniceae). *Annals of the Missouri Botanical Garden*, 89: 337-399.
- Dorr II, J. v. N. 1969. *Physiographic, stratigraphic and structural development of Quadrilátero Ferrífero, Minas Gerais, Brazil*. USGS. Prof. Paper, 641-A. Washington. 110 p.
- Dubuis, A., Giovanettina, S., Pellissier, L., Pottier, J., Vittoz, P. & Guisan, A. 2013. Improving the prediction of plant species distribution and community composition by adding edaphic to topo-climatic variables. *Journal of Vegetation Science*, 24: 593–606.
- Embrapa – Centro Nacional de Pesquisa de Solos. 1999. *Sistema brasileiro de classificação de solos*. Rio de Janeiro: Embrapa Solos. 412 p.

- Fadigas, F.S., Sobrinho, N.M.B., Mazur, N., Anjos, L.H.C. & Freixo, A.A. 2006. Proposição de valores de referência para a concentração natural de metais pesados em solos brasileiros. *Revista Brasileira de Engenharia Agricola e Ambiental*, 10: 699.705.
- Fernandes, M.L.S. 2007. *Minerais Formadores de Rocha*. In: Sgarbi, G.N.C. (org.). Petrografia macroscópica das rochas ígneas, sedimentares e metamórficas. Ed. UFMG, Belo Horizonte. 559 p.
- Ferreira, S.C. 2010. Barrosoa. In: Lista de Espécies da Flora do Brasil. Jardim Botânico do Rio de Janeiro. (<http://floradobrasil.jbrj.gov.br/2010/FB026880>).
- Fiaschi, P. & Pirani, J.R. 2009. Review of plant biogeographic studies in Brazil. *Journal of Systematics and Evolution*, 47: 477-496.
- Filgueiras, T.S., Longhi-Wagner, H.M., Viana, P.L., Zanin, A., Oliveira, R.C. de, Canto-Dorow, T.S., Shirasuna, R.T., Valls, J.F.M., Oliveira, R.P., Rodrigues, R.S., Santos-Gonçalves, A.P., Welker, C.A.D. & Ferreira, F.M. 2014. Poaceae. In Lista de Espécies da Flora do Brasil. Jardim Botânico do Rio de Janeiro. <http://floradobrasil.jbrj.gov.br/jabot/floradobrasil/FB193>
- Fonseca, G.M. & Evangelista, H.J. 2013. Rochas ultramáficas plutônicas do greenstone belt Rio das Velhas na porção central do Quadrilátero Ferrífero, Minas Gerais, Brasil. *Revista da Escola de Minas*, 66: 67-75.
- Ginocchio, R. & Baker, A. J. M. 2004. Metallophytes in Latin America: a remarkable biological and genetic resource scarcely known and studied in the region. *Revista Chilena Historia Natural*, 77: 185–194.
- Giulietti, A.M., Pirani, J.R. & Harley, R.M. 1997. Espinhaço Range region. In Davis S.D., Heywood V.H., Herrera-MacBryde O. & Villa-Lobos J. (eds.) *Centers of plant diversity. A guide and strategy for their conservation Vol. 3.The Americas*.National Museum of Natural History, Smithsonian Institution. Washington, p. 397-404.
- Gotelli, N.J. 2000. Null Model Analysis of Species Co-Occurrence Patterns. *Ecology*, 81: 2606–2621.
- Gotelli, N.J. & G.L. Entsminger. 2001. *EcoSim: Null models software for ecology*. Version 7.0.Acquired Intelligence Inc. & Kesey-Bear.<http://homepages.together.net/~gentsmin/ecosim.htm>
- Gotelli, N.J. & McCabe, D. J. 2002. Species co-occurrence: A meta-analysis of J. M. Diamond's assembly rules model. *Ecology*, 83: 2091–2096.
- Götzenberger, L., de Bello, F., Bråthen, K. A., Davison, J., Dubuis, A., Guisan, A., Lepš, J., Lindborg, R., Moora, M., Pärtel, M., Pellissier, L., Pottier, J., Vittoz, P., Zobel, K. &

- Zobel, M. 2012. Ecological assembly rules in plant communities—approaches, patterns and prospects. *Biological Reviews*, 87: 111–127.
- Hammer, Ø., Harper, D.A.T. & Ryan, P.D. 2001. PAST: Paleontological Statistics Software Package for Education and Data Analysis. *Palaeontologia Electronica*, 4(1): 9pp.
- Haridasan, M. 1982. Aluminium accumulation by some cerrado native species of central Brazil. *Plant and Soil*, 65: 265–273.
- Hazelton, P. & Murphy, H. 2007. *Interpreting soil test results*. CSIRO Publishing. Collingwood. 152 p.
- Huggett, R.J. 1995. *Geoecology an evolutionary approach*. Routledge, London. 320 p.
- Jacobi, C.M.; Carmo, F.F. & Vincent, R.C. 2008. Phytosociological study of a plant community on ironstone as support for recovery of a mined area in the Iron Quadrangle, MG. *Revista Árvore*, 32: 345-353.
- Jacobi, C.M. & Carmo, F.F. 2011. Life-forms, pollination and seed dispersal syndromes in plant communities on ironstone outcrops, SE Brazil. *Acta Botanica Brasilica*, 25: 395-412. 2011.
- Jackson, D.A. 1993. Stopping rules in principal components analysis: a comparison of heuristical and statistical approaches. *Ecology* 74: 2204-2214.
- Judziewicz, E.J. 1990. Poaceae (Gramineae) In: *Flora of the Guianas*. A.R.A. Gorts-van-Rijn (ed.). Koeltz Scientific Books, Koenigstein, v.8.p.1-727.
- Kruckeberg, A.R. 2004. *Geology and Plant Life: The Effects of Landforms and Rock Types on Plants*. University of Washington Press. Seattles, USA. 363 p.
- Kuntz, K.L. & Larson, D.W. 2006. Microtopographic control of vascular plant, bryophyte and lichen communities on cliff faces. *Plant Ecology*, 185: 239-253.
- Lista de Espécies da Flora do Brasil. 2014. Jardim Botânico do Rio de Janeiro. <http://floradobrasil.jbrj.gov.br/>
- Mandal, B.K. & Suzuki, K.T. 2002. Arsenic around the world: a review. *Talanta*, 58:201:235.
- McCune, B. & Grace, J.B. 2002. *Analysis of Ecological Communities*. MjM, Gleneden Beach, OR.
- McCune, B. & Mefford, M.J. 2011. PC-ORD. *Multivariate Analysis of Ecological Data*. Version 6.0 MjM Software, Gleneden Beach, Oregon, U.S.A.
- Medina, B.M.O.; Ribeiro, K.T. & Scarano, F.R. 2006. Plant-plant and plant-topography interactions on a rock outcrop at high altitude in southeastern Brazil. *Biotropica*, 38: 27-34.

- Messias, M.C.T.B., Leite, M.G.P., Meira-neto, J.A.A. & Kozovits, A.R. 2011. Life-form spectra of quartzite and itabirite rocky outcrop sites, Minas Gerais, Brazil. *Biota Neotrop.* 11: 255-268.
- Messias, M.C.T.B., Leite, M.G.P., Meira-Neto, J.A.A. & Kozovits, A.R. 2012. Fitossociologia de campos rupestres quartzíticos e ferruginosos no Quadrilátero Ferrífero, Minas Gerais. *Acta Botanica Brasilica*, 26: 230-242.
- Messias, M.C.T.B., Leite, M.G.P., Meira-Neto, J.A.A. & Kozovits, A.R. 2013. Soil-vegetation relationship in quartzite and ferruginous Brazilian rocky outcrops. *Folia Geobot*, 48:509-521.
- Mittermeier, R.A., Gil, P.R., Hoffman, M., Pilgrim, J., Brooks, T., Mittermeier, C.G., Lamoreux, J. & Fonseca, G.A.B. 2004. *Hotspots revisited: earth's biologically richest and most endangered terrestrial ecoregions*. CEMEX & Agrupación Sierra Madre, México.
- Nakajima, J.N. & Semir, J. 2001. Asteraceae no Parque Nacional da Serra da Canastra, Minas Gerais, Brasil. *Revista Brasileira de Botânica*, 24: 471-478.
- Nakajima, J., Loeuille, B., Heiden, G., Dematteis, M., Hattori, E.K.O., Magenta, M., Ritter, M.R., Mondin, C.A., Roque, N., Ferreira, S.C., Teles, A.M., Borges, R.A.X., Monge, M., Bringel Jr., J.B. A., Oliveira, C.T., Soares, P.N., Almeida, G., Schneider, A., Sancho, G., Saavedra, M.M., Liro, R.M., Souza-Buturi, F.O., Pereira, A.C.M. & Moraes, M.D. 2014. *Asteraceae*. InLista de Espécies da Flora do Brasil. Jardim Botânico do Rio de Janeiro. <http://floradobrasil.jbrj.gov.br/jabot/floradobrasil/FB55>
- Novais, F.N. & Mello, J.W.V. 2007. Relação Solo-Planta. In: Novais, R.F.; Alvarez, V.V.H; Barros, N.F.; Fontes, R.L.F.; Cantarutti, R.B.; Neves, J.C.B. (Eds.). 2007. *Fertilidade do solo*. Sociedade Brasileira de Ciência do Solo. Viçosa, MG. 133-204 p.
- Paschke, M.W., Valdecantos, A. & Redente, E.F. 2005. Manganese toxicity thresholds for restoration grass species. *Environmental Pollution*, 135: 313–322.
- Peres-Neto, P.R., Jackson, D.A. & Somers, K.M. 2003. Giving Meaningful Interpretation to Ordination Axes: Assessing Loading Significance in Principal Component Analysis. *Ecology*, 84: 2347–2363.
- Peres-Neto, P.R., Jackson, D.A. & Somers, K.M. 2005. How many principal components? stopping rules for determining the number of non-trivial axes revisited. *Computational Statistics & Data Analysis*, 49: 974 – 997.
- Porto, M.L. & Silva, M.F.F. 1989. Tipos de vegetação metalófila em áreas da Serra de Carajás e de Minas Gerais. *Acta Botanica Brasilica*, 3:13-21.

- Rajakaruna, N. 2004. The Edaphic Factor in the Origin of Plant Species. *International Geology Review*, 46: 471–478.
- Ribeiro, K.T. & Medina, B.M.O. 2002. Estrutura, dinâmica e biogeografia das ilhas de vegetação sobre rocha do Planalto do Itatiaia, RJ. *Bol. Parq. Nac. Itatiaia*, 10: 1-84.
- Rizzini, C. T. 1979. *Tratado de fitogeografia do Brasil*. Ed. da Universidade de São Paulo, v. 2, 374 p.
- Ronquim, C. C. 2010. *Conceitos de fertilidade do solo e manejo adequado para as regiões tropicais*. Embrapa Monitoramento por Satélite, Campinas. 26 p.
- Ross, S.M. & Kaye, K.J. 1994. *The meaning of metal toxicity in soil-plant systems*. In: Ross, S.M. (Ed.), *The meaning of metal toxicity in soil-plant systems*. John Wiley & Sons, Chichester, pp. 27–61.
- Ruggiero, P.G.C., Batalha, M.A., Pivello, V.R. & Meirelles, S.T. 2002. Soil-vegetation relationships in cerrado (Brazilian savanna) and semideciduous forest, Southeastern Brazil. *Plant Ecology*, 160:1–16.
- Safford, H.D. & Martinelli, G. 1999. Southeast Brazil. In: Porembski, S. & Barthlott, W. (Eds.). 2000. *Inselbergs. Biotic diversity of isolated rock outcrops in tropical and temperate regions*. Springer-Verlag, Berlim, 339-389 p.
- Salgado, A.A.R., Braucher, R., Varajão, C.A.C., Colin, F. & Júnior, H.A.N. 2008. Relief evolution of the Quadrilátero Ferrífero (Minas Gerais, Brazil) by means of (¹⁰Be) cosmogenic nuclei. *Zeitschrift für Geomorphologie*, 52: 317-323.
- Schaefer, C.E.G.R., Ker, J.C., Gilkes, R., Campos, J.C.F., Costa, L.M. & Saadi, A. 2002. Pedogenesis on the uplands of the Diamantina Plateau, Minas Gerais, Brazil: a chemical and micropedological study. *Geoderma*, 107: 243–269.
- Schaefer, C.E.G.R.; Mendonça, B.A.F.; Ferreira, W.G.; Valente, E.L. & Corrêa, G.R. 2012. Relações solo-vegetação em alguns ambientes brasileiros: fatores edáficos e florística. In: Martins, S.V. (ed.) *Ecologia de florestas tropicais do Brasil*. 2. Ed. Viçosa, MG. Ed. UFV, 252-293.
- Snowden, R.E.D. & Wheeler, B.D. 1993. Iron toxicity to fen plant species. *Journal of Ecology*, 8: 35-46.
- Sousa, D.M.G. & Lobato, G. 2004. *Cerrado: correção do solo e adubação*. 2. ed. Brasília: Embrapa Informação Tecnológica. 416 p.
- Stone, L., & Roberts, A. 1990. The checkerboard score and species distributions. *Oecologia*, 85: 74–79.

- Teixeira, W.A. & Lemos-Filho, J.P. 1998. Metais pesados em folhas de espécies lenhosas colonizadoras de uma área de mineração de ferro em Itabirito, Minas Gerais. *Revista Árvore*, 22: 381-388.
- Teles, A.M. 2008. *Contribuição ao estudo da tribo Astereae no Brasil e Senecioneae (Asteraceae) no Estado de Minas Gerais*. Tese de Doutorado. Instituto de Ciências Biológicas. UFMG. Belo Horizonte.
- Teles, A.M. & Hattori, E.K.O. 2012. Asteraceae. In: Jacobi, C.M. & Carmo, F.F. (orgs.) *Floristic Diversity of the Quadrilátero Ferrífero Cangas*, pp. 82-90. Ed. IDM, Belo Horizonte.
- Ulrich, W. & Gotelli, N. J. 2007. Null model analysis of species nestedness patterns. *Ecology*, 88: 1824-1831.
- Valentin, C. & Bresson, L.M. 1992. Morphology, genesis and classification of surface crusts in loamy and sandy soils. *Geoderma*, 55: 225-245.
- Viana, P.L. 2012. Poaceae. In: Jacobi, C.M. & Carmo, F.F. (orgs.) *Floristic Diversity of the Quadrilátero Ferrífero Cangas*, pp. 172-178. Ed. IDM, Belo Horizonte.
- Viana, P.L & Filgueiras, T.S. 2008. Inventário e distribuição geográfica das gramíneas (Poaceae) na Cadeia do Espinhaço, Brasil. *Megadiversidade*, 4(1-2):71-88.
- Vincent, R. C. & Meguro, M. 2008. Influence of soil properties on the abundance of plant species in ferruginous rocky soils vegetation, southeastern Brazil. *Revista Brasileira de Botânica*, 31: 377-388.
- Whiting, S.N., Reeves, D., Richards, D., Johnson, M.S., Cooke, F., Malaisse, A., Paton, J.A.C., Smith., J.S., Angle, R.L., Chaney, R., Ginocchio, T., Jaffré, R., Johns, T., McIntyre, O. W., Purvis, D.E., Salt, F.J. & Baker, A.J.M. 2004. Research priorities for conservation of metallophyte biodiversity and their potential for restoration and site remediation. *Restoration Ecology*, 12: 106-116.

Annex 1. Five steps involved in the random model criterion for assessing significance of eigenvectors in principal component analysis (Peres-Neto *et al.*, 2003).

Parameter	Component									
	1	2	3	4	5	6	7	8	9	10
Step 1: obtain original eigenvectors										
Clay	0,9055	0,01576	0,2510	-0,1483	-0,1067	-0,0217	-0,0114	0,1729	-0,2257	0,04361
ph	-0,2786	-0,5259	0,7315	0,00304	0,2235	0,2016	0,1242	0,0500	0,04595	-0,01011
P	0,2304	0,7808	-0,1243	0,3721	0,3888	0,1597	-0,02713	0,07011	-0,0305	0,008523
V	0,6223	-0,5726	-0,4414	0,0513	0,1562	-0,0288	0,22680	0,01586	0,05387	0,08720
m	-0,7950	0,4935	0,2674	0,00334	-0,1704	0,0057	-0,01107	0,01231	0,08824	0,12600
C	0,8844	0,2439	0,0994	-0,2091	0,028	-0,1459	-0,05493	0,1724	0,2220	-0,02528
N	0,6933	0,4187	0,3653	0,2738	-0,0881	-0,2192	0,24930	-0,1315	-0,00794	-0,01894
Fe	0,7834	0,2092	0,1234	-0,4721	0,2052	0,08586	-0,09328	-0,2124	-0,00328	0,03263
Mn	0,6279	-0,5100	0,2034	0,4552	-0,0009	-0,0859	-0,2900	-0,06002	0,03094	0,03308
CEC	0,8310	0,0700	-0,0881	0,1195	-0,3455	0,3963	0,03874	-0,01948	0,06391	-0,01106
Step 2: square eigenvectors										
Clay	0,81993	0,00024	0,063001	0,021993	0,011384	0,000475	0,0001315	0,029894	0,050940	0,001902
ph	0,07761	0,27657	0,535092	9,24E-06	0,049952	0,040643	0,0154256	0,002500	0,0021114	0,000102
P	0,05308	0,60964	0,015450	0,138458	0,151165	0,025504	0,0007360	0,0049152	0,0009302	7,26E-05
V	0,38725	0,32787	0,194833	0,002632	0,024398	0,000831	0,0514382	0,0002510	0,0029019	0,007604
m	0,63202	0,24354	0,071502	1,12E-05	0,029036	3,34E-05	0,0001225	0,0001515	0,0077862	0,015876
C	0,78216	0,05948	0,009894	0,043723	0,000784	0,021287	0,0030175	0,0297217	0,0492840	0,000639
N	0,48066	0,17531	0,133444	0,074966	0,0077721	0,048049	0,0621504	0,0172922	6,3154E-05	0,000359
Fe	0,61371	0,04376	0,015227	0,222878	0,0421070	0,007372	0,0087011	0,0451137	1,0758E-05	0,001065
Mn	0,394251	0,26010	0,041371	0,207207	9,6359E-07	0,007394	0,0841000	0,0036024	0,0009572	0,001094
CEC	0,690561	0,00491	0,007763	0,014280	0,1193702	0,157054	0,0015007	0,0003797	0,0040844	0,000122
Step 3: obtain expected values under broken-stick model										
Expectedvalues	0,2920	0,1930	0,1430	0,1100	0,085	0,065	-	-	-	-

Continued Annex 1. Five steps involved in the random model criterion for assessing significance of eigenvectors in principal component analysis (Peres-Neto *et al.*, 2003). The components 7 to 10 are not show.

Parameter	Component					
	1	2	3	4	5	6
Step 4: rank squared eigenvectors and assess their significance according to the broken-stick model						
Clay	0,819930 (1)	0,063001 (3)	0,050940 (6)	0,029894 (7)	0,021992 (4)	0,011385 (5)
ph	0,535092 (3)	0,276571 (2)	0,077617 (1)	0,049952 (5)	0,040642 (6)	0,015426 (9)
P	0,609648 (2)	0,151165 (5)	0,138458 (4)	0,053084 (1)	0,025504 (6)	0,01545 (3)
V	0,387257 (1)	0,327871 (2)	0,194833 (3)	0,051438 (8)	0,024398 (5)	0,007604 (7)
m	0,632025 (1)	0,243542 (2)	0,071502 (3)	0,029036 (5)	0,015876 (7)	0,007786 (8)
C	0,782163 (1)	0,059487 (2)	0,049284 (7)	0,043723 (4)	0,029721 (8)	0,021287 (6)
N	0,480664 (1)	0,17531 (2)	0,133444 (3)	0,074966 (4)	0,062150 (7)	0,048049 (6)
Fe	0,613715 (1)	0,222878 (4)	0,045113 (8)	0,043765 (2)	0,042107 (5)	0,015228 (3)
Mn	0,394258 (1)	0,2601 (2)	0,207207 (4)	0,0841 (7)	0,041371 (3)	0,007394 (6)
CEC	0,690561 (1)	0,157054 (6)	0,119370 (5)	0,01428 (4)	0,007763 (3)	0,004913 (2)
Step 5: reorder eigenvectors according to their original axes						
Clay	0,9055	0,0157	0,251	-0,1483	-0,1067	-0,0217
ph	-0,2786	-0,5259	0,7315	0,0030	0,2235	0,2016
P	0,2304	0,7808	-0,1243	0,3721	0,3888	0,1597
V	0,6223	-0,5726	-0,4414	0,0513	0,1562	-0,0288
m	-0,795	0,4935	0,2674	0,0033	-0,1704	0,0057
C	0,8844	0,2439	0,0994	-0,2091	0,028	-0,1459
N	0,6933	0,4187	0,3653	0,2738	-0,0881	-0,2192
Fe	0,7834	0,2092	0,1234	-0,4721	0,2052	0,0858
Mn	0,6279	-0,5100	0,2034	0,4552	-0,0009	-0,0859
CEC	0,8310	0,0700	-0,0881	0,1195	-0,3455	0,3963

Annex 2. Asteraceae and Poaceae species found in the 10 rock outcrops from the Iron Quadrangle.C: cangas; G: granitoids; Q: quartzites. For site codes see Tab. 1.

Species	C1	C2	C3	C4	C5	G1	G2	Q1	Q2	Q3
Asteraceae										
<i>Achyrocline satureioides</i> (Lam.) DC.	x		x	x	x			x	x	
<i>Acritopappus</i> sp.			x	x	x					
<i>Ageratum conyzoides</i> L.		x								x
<i>Ageratum fastigiatum</i> (Gardn.) R.M.King & H.Rob.	x	x	x						x	
<i>Ageratum myriadenium</i> R.M.King & H.Rob.	x		x	x	x			x		
<i>Aldama robusta</i> (Gardner) Schill. & Panero			x			x	x			
<i>Aspilia cf. foliosa</i> (Gardner) Benth. & Look			x							
<i>Aspilia foliacea</i> Baker			x							
<i>Aspilia fruticosa</i> (Gardner) Baker			x			x				
<i>Aspilia subpetiolata</i> Baker	x	x	x	x	x			x		x
<i>Austrocrtonia velutina</i> (Gardner) R.M. King & H. Rob.			x		x					
<i>Baccharis aphylla</i> DC.				x						
<i>Baccharis crispa</i> Spreng.				x						
<i>Baccharis dracunculifolia</i> DC.	x					x	x		x	
<i>Baccharis helichrysoides</i> DC.	x									
<i>Baccharis ligustrina</i> DC.								x		
<i>Baccharis lychnophora</i> Gardner				x	x					
<i>Baccharis platypoda</i> DC.	x	x		x	x					
<i>Baccharis reticularia</i> DC.	x	x	x	x	x			x	x	
<i>Baccharis retusa</i> DC.					x					
<i>Baccharis rufidula</i> (Spreng.) Joch. Müll.				x	x				x	
<i>Baccharis serrulata</i> Pers.	x	x	x	x	x	x	x	x	x	x
<i>Baccharis sessiliflora</i> Vahl							x			
<i>Baccharis subdentata</i> DC.			x						x	
<i>Baccharis tridentata</i> Vahl										
<i>Baccharis truncata</i> Gardner	x		x							x
<i>Barrosoa organensis</i> (Gardner) R.M. King & H. Rob.	x	x		x						

Bidens bralisiensis Scherff

Bidens pilosa L.

Bidens segetum Mart. ex Colla

Calea clauseniana Baker

Calea fruticosa (Gardner) Urbatsch, Zlotsky & Pruski

Calea lemmatiooides Sch. Bip. ex Baker

Calea rotundifolia (Less.) Baker

Campuloclinium hirsutum Gardner

Chaptalia integerrima (Vell.) Burkart

Chaptalia martii (Baker) Zardini

Chaptalia nutans (L.) Polak

Chresta sphaerocephala DC.

Chromolaena barbacensis (Hieron.) R.M. King & H. Rob.

Chromolaena campestris (DC.) R.M. King & H. Rob.

Chromolaena cf. horminoides DC.

Chromolaena chaseae (B.L. Rob.) R.M. King & H. Rob.

Chromolaena decumbens Gardner

Chromolaena laevigata (Lam.) R.M. King & H. Rob.

Chromolaena maximilianii (Schrad. ex DC.) R.M. King & H. Rob.

Chromolaena multiflosculosa (DC.) R.M. King & H. Rob.

Chromolaena pedalis Rob.

Chromolaena squalida (DC.) R.M. King & H. Rob.

Chromolaena sp.

Conyza bonariensis (L.) Cronquist

Conyza canadensis (L.) Cronquist

Conyza cf. neolaxiflora A. Teles & Stehmann

Cyrtocymura scorpioides (Lam.) H. Rob.

Dasyphyllum flagellare (Casar.) Cabrera

Dasyphyllum sprengelianum (Gardner) Cabrera

Echinocoryne holosericea (Mart. ex DC.) H. Rob.

Echinocoryne schwenkiaeefolia (Mart. ex DC.) H. Rob.

Emilia fosbergii Nicolson

x		x			x					x
x				x		x				x
	x	x	x	x			x			x
	x	x	x	x	x	x	x	x	x	x
x		x		x	x	x	x	x	x	x
	x	x		x	x	x	x	x	x	x
	x	x	x	x	x	x	x	x	x	x
x	x	x	x	x	x	x	x	x	x	x
	x	x	x	x	x	x	x	x	x	x
	x	x	x	x	x	x	x	x	x	x
x	x	x	x	x	x	x	x	x	x	x

Erechtites hieraciifolius (L.) Raf. ex DC.
Erechtites valerianifolius (Wolf) DC.
Eremanthus crotonoides Sch.Bip.
Eremanthus glomerulatus Less.
Eremanthus incanus (Less.) Less.
Eremanthus sp.
Eupatorium sp. 1
Eupatorium sp. 2
Gnaphalium sp.
Gochnatia paniculata (Less.) Cabrera
Gochnatia polymorpha (Less.) Cabrera
Grazielia dimorpholepis (Baker) R.M. King & H. Rob.
Grazielia intermedia (DC.) R.M. King & H. Rob.
Heterocondylus alatus (Vell.) R.M. King & H. Rob.
Heterocondylus amphidictius (Baker) R.M. King & H. Rob.
Heterocondylus pumilus (Gardner) R.M.King & H. Rob.
Hoehnephytum trixoides (Gardn.) Cabrera
Hololepis pedunculata DC.
Inulopsis aff.camporum Gardner
Inulopsis scaposa (Remy) O. Hoffm.
Koanophyllum adamantium (Gardn.)R.M.King & H.Rob.
Lepidaploa cf. chalybaea (Mart. ex DC.) H. Rob.
Lepidaploa fruticulosa (L.) H. Rob.
Lepidaploa remotiflora (Rich.) H. Rob
Lepidaploa rufogrisea A.St.Hil.
Lepidaploa vauthieriana (DC.) H. Rob.
Lepidaploa sp.
Lessingianthus aff. psylophyllus(DC.) H. Rob.
Lessingianthus buddleifolius (Mart. ex DC.) H. Rob.
Lessingianthus hoveaeifolius (Gardner) H. Rob.
Lessingianthus linearifolius (Less.) H.Rob.
Lessingianthus linearis (Spreng.) H.Rob.

x	x	x				x	x	x	x	x
x		x	x		x	x	x	x	x	x
x	x			x	x	x	x	x	x	x
x		x		x	x	x	x	x	x	x
x	x	x	x	x	x					x
x	x	x	x	x	x				x	x
x	x	x	x	x	x			x	x	x
x	x	x	x	x	x		x	x	x	x
x	x	x	x	x	x	x	x	x	x	x
x	x	x	x	x	x	x	x	x	x	x
x	x	x	x	x	x	x	x	x	x	x

Lessingianthus psilophyllus (DC.) H.Rob.
Lessingianthus roseus (Mart. ex DC.) H.Rob.
Lessingianthus rosmarinifolius (Less.) H. Rob.
Lessingianthus warmingianus (Baker) H. Rob.
Lessingianthus sp.
Lucilia lycopodioides (Less.) S. E. Freire
Lychnophora passerina Gardner
Lychnophora pinaster Mart.
Lychnophora reticulata Gardner
Lychnophora syncephala Sch. Bip.
Mikania cordifolia (L.f.) Willd.
Mikania glauca Mart.
Mikania lasiandrae DC.
Mikania leiolaena DC.
Mikania micrantha H.B. & K.
Mikania microphylla Sch.Bip. ex Baker
Mikania nummularia DC.
Mikania phaeoclados Mart.
Mikania ramosissima Gardner
Mikania rothii G.M. Barroso
Mikania sessilifolia DC.
Mikania subverticillata Sch. Bip. ex Baker
Mikania sp.
Piptocarpha axillaris (Less.) Baker
Pluchea sagitalis (Lam.) Cabrera
Porophyllum angustissimum Gardner
Porophyllum ruderale (Jacq.) Cass.
Praxelis capillaris Sch.Bip.
Praxelis kleiniooides (Kunth) Sch.Bip.
Pseudobrickellia angustissima (Sprenp. ex Baker) R.M.King & H. Rob.
Pterocaulon alopecuroides (Lam.) DC.
Richterago amplexifolia Kuntze

	x	x		x		x		x	x
x	x	x	x	x	x	x	x	x	x
	x	x	x	x	x	x	x	x	x
x	x	x	x	x	x	x	x	x	x
	x	x	x	x	x	x	x	x	x
x	x	x	x	x	x	x	x	x	x
	x	x	x	x	x	x	x	x	x
x	x	x	x	x	x	x	x	x	x
	x	x	x	x	x	x	x	x	x
x	x	x	x	x	x	x	x	x	x

Richterago radiata (Vell.) Roque

Senecio adamantinus Bong.

Senecio brasiliensis (Spreng.) Less.

Senecio linearilobus Bong.

Senecio pohlii Sch.Bip. ex Baker

Sonchus oleraceus L.

Stenocephalum megapotamicum Sch.Bip.

Stenophalium chionaeum (DC.) Anderb.

Stenophalium gardneri (Baker) D.J.N. Hind

Stevia clausenii Sch.Bip. ex Baker

Stevia lundiana DC.

Stevia riedelii Sch.Bip. ex Baker

Stevia urticaefolia Thunb.

Symphyopappus brasiliensis (Gardner) R.M. King & H. Rob.

Symphyopappus cuneatus Sch.Bip. ex Baker

Symphyopappus polystachyus (DC.) Baker

Sympphyopappus sp. nv.

Tilesia baccata (L.) Pruski

Trichogonia hirtiflora Sch.Bip. ex Baker

Trichogonia salviifolia Gardner

Trichogonia villosa Sch. Bip. ex Baker

Trixis glutinosa D. Don

Trixis vauhieri DC.

Trixis verbasciformis Less.

Verbesina clauseni Sch.Bip. ex Baker

Vernonanthura divaricata (Spreng.) H.Rob.

Vernonanthura polyanthes (Spreng.) Vega& Dematt.

Vittetia orbiculata (DC.) R.M. King & H. Rob.

Poaceae

Andropogon bicornis L.

Andropogon carinatus Nees

Andropogon ingratius Hack.

					x		x	x	x
x	x	x	x	x			x		x
x		x	x	x			x	x	
	x	x	x	x	x	x		x	
x		x		x	x	x		x	
x	x	x	x	x	x	x	x	x	x
x	x	x	x	x	x	x	x	x	x
x	x	x	x	x	x	x	x	x	x
x	x	x	x	x	x	x	x	x	x
x	x	x	x	x	x	x	x	x	x

Andropogon leucostachyus Kunth
Andropogon macrothrix Trin.
Andropogon virgatus Desv. ex Ham.
Andropogon sp.
Anthaenanta lanata (Kunth) Benth.
Apochloa molinioides (Trin.) Zuloaga& Morrone
Apochloa poliophylla (Renvoize & Zuloaga) Zuloaga & Morrone
Aristida capillacea Cav.
Aristida gibbosa Kunth
Aristida recurvata H.B. & K.
Aristida riparia Trin.
Aristida setifolia H.B. & K.
Aristida torta (Nees) Kunth
Aulonemia effusa (Hack.) McClure
Axonopus brasiliensis Kuhlm.
Axonopus capillaris Chase
Axonopus cf. affinis Chase
Axonopus chrysoblepharis Chase
Axonopus compressus (Nees) Dedecca
Axonopus fastigiatus Kuhlm.
Axonopus marginatus Chase
Axonopus pressus (Nees) Parodi
Axonopus siccus Kuhlm.
Chusquea attenuata Doll
Chusquea cf. pinifolia (Nees) Nees
Chusquea nutans L.G.Clark
Ctenium brevispicatum J.G. Sm.
Dichanthelium sabulorum (Lam.) Gould& C.A. Clark
Dichanthelium sciurotoides Zuloaga & Morrone
Echinolaena inflexa Chase
Eragrostis mokensis Pilg.
Eragrostis rufescens Roem. & Schult.

			x	x		x		x	x	x
			x	x				x	x	x
			x	x	x	x	x	x	x	x
				x	x	x	x	x	x	x
				x	x	x	x	x	x	x
x	x				x			x	x	x
x	x	x	x	x	x	x	x	x	x	x
x	x	x	x	x	x	x	x	x	x	x
x	x	x	x	x	x	x	x	x	x	x
x	x	x	x	x	x	x	x	x	x	x
x	x	x	x	x	x	x	x	x	x	x

Ichnanthus bambusiflorus Doell
Ichnanthus inconstans Doll
Ichnanthus longiglumis Mez
Ichnanthus pallens (Sw.) Benth.
Lasiacis cf. *sorghoidea* Hitchcock & Chase
Loudetiopsis chrysotrix (Ness) Conert
Melinis minutiflora P. Beauv.
Melinis repens (Willd.) C. E. Hubb.
Mesosetum loliiforme Chase
Microchloa indica (L. f.) P. Beauv.
Ocellochloa rufa (Nees) Zuloaga & Morrone
Olyra humilis Nees
Panicum aff. *sabulorum* Lam.
Panicum cf. *subulatum* Spreng.
Panicum cyanescens Nees
Panicum euprepes Renvoize
Panicum schwackeanum Mez
Panicum sellowii Nees
Panicum wettsteinii Hack.
Panicum sp.
Parodiophyllochloa ovulifera (Trin.) Zuloaga & Morrone
Parodiophyllochloa pantricha (Hack.) Zuloaga & Morrone
Paspalum aff. *erianthum* Nees ex Trin.
Paspalum aff. *scalare* Trin.
Paspalum aff. *trachycoleon* Steud.
Paspalum cf. *stellatum* Trin.
Paspalum brachytrichum Hack.
Paspalum carinatum Humb. & Bonpl. ex Flüggé
Paspalum cinerascens (Doell) A.G.Burm. & M.N.C. Bastos
Paspalum convexum Wiild. ex Doll
Paspalum cultratum (Trin.) S. Denham
Paspalum erianthum Nees ex Trin.

x	x		x	x	x		x	x	
	x	x	x			x	x	x	
x	x	x		x	x	x	x	x	
x	x	x			x		x		x
x	x	x			x	x	x		
x	x	x			x	x	x		x
x	x	x	x	x	x	x	x	x	
x	x	x	x	x	x	x	x	x	
x	x	x	x	x	x	x	x	x	x
x	x	x	x	x	x	x	x	x	x

<i>Paspalum eucomum</i> Nees ex Trin.						x	x				
<i>Paspalum mandiocanum</i> Trin.	x	x	x	x	x	x	x	x	x	x	x
<i>Paspalum monostachyum</i> Vasey			x	x							
<i>Paspalum parviflorum</i> Desv.							x	x	x	x	x
<i>Paspalum polyphyllum</i> Nees			x	x	x	x	x	x	x	x	x
<i>Paspalum scalare</i> Trin.						x	x		x	x	x
<i>Paspalum</i> sp.											
<i>Polypogon elongatus</i> Kunth									x		
<i>Raddiella esenbeckii</i> (Steud.) C.E. Calderón & Soderstr.			x								
<i>Schizachyrium aff.microstachyum</i> (Desv.) Roseng., Arrill.deMaffei & Izag. De Artucio				x	x	x	x				x
<i>Schizachyrium aff.tenerum</i> Nees											x
<i>Schizachyrium microstachyum</i> (Desv.) Roseng., Arrill.deMaffei & Izag. De Artucio											x
<i>Schizachyrium sanguineum</i> (Retz.) Alston	x		x	x	x	x	x	x	x	x	
<i>Schizachyrium tenerum</i> Nees		x					x	x	x	x	x
<i>Setaria parviflora</i> (Poir.) Kerguélen							x	x			x
<i>Setaria</i> sp.							x	x			
<i>Sporobolus acuminatus</i> Hack.		x	x					x			
<i>Sporobolus aeneus</i> Kunth		x	x					x			x
<i>Sporobolus ciliatus</i> De Wild.							x				
<i>Sporobolus metallicolus</i> Longhi-Wagner & Boechat	x	x	x	x	x	x		x	x	x	
<i>Steinchisma laxa</i> (Sw.) Zuloaga	x										x
<i>Steinchisma decipiens</i> (Nees ex Trin.) W.V.Br.											x
<i>Trachypogon spicatus</i> Kuntze						x	x		x		
<i>Tristachyaleiostachya</i> Nees											x
Total (spp.)	58	55	81	64	81	49	52	48	62	64	

Annex 3. Models of relation between outcrop area and species richness of Asteraceae and Poaceae.

Asteraceae	Linear	Exponential	Logarithmic	Geometric
Intercept	21.148	23.778	2.031	14.311
Slope	0.0736	0.019	12.079	0.315
r^2	0.567	0.592	0.483	0.524
p	0.012	0.009	0.025	0.017
Poaceae	Linear	Exponential	Logarithmic	Geometric
Intercept	22.788	22.637	21.255	21.261
Slope	0.035	0.002	0.791	0.033
r^2	0.024	0.026	0.037	0.036
p	0.666	0.658	0.591	0.601

Annex 4. Geographic distance (km) matrix among 10 outcrops, in the Iron Quadrangle. For site codes see Tab. 1.

	C2	C3	C4	C5	G1	G2	Q1	Q2	Q3
C1	1.4	31	34.4	33.8	30.5	25.4	2	32.5	30
C2	-	32.5	31.3	32.6	31.5	26.3	4	31.2	31.1
C3		-	37	34	1.9	6.2	30	35	0.8
C4			-	3.5	39	35.7	35.5	4.5	37.5
C5				-	38.6	35.4	35.6	2	36.7
G1					-	5	28.5	36.6	1.6
G2						-	23.7	33.4	4.7
Q1							-	33.4	28
Q2								-	34.5
Q3									-

Annex 5. Classes of texture and reference values for some chemicals variables of the soil collected in rock outcrops in the Iron Quadrangle. For site codes see Tab. 1.

	¹ Textural class	² pH	³ P	³ Base saturation	⁴ Aluminum saturation	⁵ C	³ N	⁶ Fe	⁶ Mn
C1	clay loam	strongly acid	very low	very low	high	low	high	high	high
C2	loam	strongly acid	very low	very low	high	low	high	high	high
C3	sandy loam	strongly acid	very low	very low	high	low	medium	high	high
C4	clay loam	strongly acid	very low	very low	high	low	high	high	high
C5	loam	strongly acid	very low	very low	very high	low	high	high	high
G1	sandy loam	strongly acid	very low	very low	very high	low	medium	high	high
G2	sandy loam	strongly acid	very low	very low	very high	low	high	high	high
Q1	sandy loam	strongly acid	very low	very low	very high	low	low	high	high
Q2	loamy sandy	strongly acid	very low	very low	very high	low	low	high	high
Q3	loamy sandy	strongly acid	very low	very low	very high	low	low	high	high

¹ Valentin & Bresson (1992); ²EMBRAPA (1999); ³ Hazelton & Murphy (2007); ⁴Ronquim (2010); ⁵Benites *et al.* (2007); ⁶Sousa & Lobato (2004).

CAPÍTULO 5

PADRÕES DE DIVERSIDADE E ESTRUTURA DE COMUNIDADES DE PLANTAS EM AFLORAMENTOS ROCHOSOS, QUADRILÁTERO FERRÍFERO, BRASIL.

Carmo, F. F. & Jacobi, C.M.

Departamento de Biologia Geral - ICB, Universidade Federal de Minas Gerais, Av. Antônio Carlos 6627, 31270-901 Belo Horizonte, MG, Brazil

Resumo: Foram investigados nove afloramentos rochosos – três cangas, três quartzitos, dois gnáissicos e um granito. Foram utilizados cinco transectos em cada afloramento para a coleta de variáveis topográficas, de fertilidade de solo e da vegetação. As espécies inventariadas foram organizadas em 11 grupos funcionais. Análises de perfis de diversidade, de classificação e de ordenação (PCA e DCA) foram elaboradas com o objetivo de explorar padrões de diversidade e estrutura de comunidades de plantas e relacioná-los aos padrões edáficos/topográficos encontrados. Foram inventariados 17690 indivíduos, distribuídos entre 352 espécies de plantas vasculares. Os grupos funcionais com maior cobertura vegetal foram os esclerófitos, as ervas graminóides e as poiquiloídricas. As comunidades associadas ao granito e gnaisses foram as menos diversas. Entre as cangas e os quartzitos, não houve um padrão claro, com variações dependendo do parâmetro alfa do perfil de diversidade. As análises de ordenação posicionaram de forma agregada os afloramentos de mesma origem geológica. As cangas abrigaram a maior biomassa de plantas com distribuição restrita ao Quadrilátero Ferrífero, seguidas pelos quartzitos, gnaisses e pelo granito.

Palavras-chave: canga, granito, gnaisse, quartzito, endemismo, fatores edáficos, conservação.

Introdução

As formações vegetais que crescem sobre diferentes tipos de substratos rochosos nas montanhas do leste do Brasil são caracterizadas pela elevada diversidade – alfa e beta – e abrigam centenas de espécies raras e com alto valor para a conservação. Por isso, representam um dos maiores patrimônios biológicos do país (Giulietti *et al.*, 1997; Rapini *et al.*, 2008; Fiaschi & Pirani, 2009; Giulietti *et al.*, 2009). Além disso, os próprios sistemas rochosos fornecem serviços ecossistêmicos de extrema relevância para a manutenção da qualidade ambiental como a recarga e armazenamento de água, regulação climática e o estoque de carbono (Szarzynsky, 2000; Mourão, 2007; Silva *et al.*, 2009).

Apesar de o Brasil ser signatário da Convenção para a Biodiversidade Biológica, no qual um dos focos é a biodiversidade de montanhas, ainda há poucos estudos específicos sobre biodiversidade nestes ambientes (Martinelli, 2007). Com relação a estudos focando a vegetação sobre afloramentos rochosos no Brasil, revisões recentes apontam a necessidade de pesquisas que contribuam para o conhecimento dos padrões ecológicos e para os programas adequados para sua conservação (Martinelli, 2007; Scarano, 2007; Rapini *et al.*, 2008).

Vários trabalhos citam que a vegetação em sistemas rochosos é predominantemente condicionada por fatores edáficos, alguns de origem química como a fertilidade do solo e o pH, e outros de origem física, como a inclinação do substrato, a conformação da superfície da rocha e a profundidade do solo (Huggett, 1995; Kruckeberg, 2004; Vincent & Meguro, 2008; Messias *et al.*, 2013). Entretanto, ainda são escassos os estudos quantitativos que investigaram os fatores edáficos de natureza física nos sistemas brasileiros. Entre eles estão os desenvolvidos em quartzitos nas Serras de Ouro Branco e Lenheiros (Alves & Kolbek, 1993) e em granitóides do Planalto de Itatiaia (Ribeiro & Medina, 2002; Medina *et al.*, 2006).

O Quadrilátero Ferrífero (MG) representa uma das paisagens mais relevantes e mais ameaçadas do Brasil, pois concentra uma riqueza geológica, mineral e biológica com poucos paralelos no país (Dorr II, 1969; Drummond *et al.*, 2005; Jacobi & Carmo, 2007; 2012). Constituído por terrenos antigos, o Quadrilátero Ferrífero apresenta dezenas de tipos litológicos. Entre os afloramentos mais abundantes estão os de quartzito, granito-gnaisse e os afloramentos ferruginosos, conhecidos como cangas. Carmo & Jacobi (2012a) apontaram a região como um dos principais centros de endemismos da plantas do leste do Brasil, incluindo a presença de dezenas de plantas raras (*sensu* Giulietti *et al.*, 2009) associadas aos sistemas rochosos ferruginosos. A diversidade, o endemismo e a raridade constituem atributos utilizados para mensurar o valor de conservação de uma determinada localidade (Rodrigues *et al.* 2004). Ao mesmo tempo, o Quadrilátero também é considerado uma das mais importantes províncias minerais do mundo (Spier *et al.*, 2003), gerando uma intensa atividade de mineração com enormes impactos na biodiversidade local e regional (Carmo *et al.*, 2012).

Um dos maiores desafios no estudo de comunidades rupestres está representado pela dificuldade de comparação entre os padrões encontrados devido a elevada heterogeneidade ambiental e pela ausência ou impossibilidade de padronização de

métodos e esforço amostral (Moura *et al.*, 2011). Assim, investigamos vários tipos de afloramentos com a finalidade de realizar tais comparações.

O objetivo principal deste estudo foi explorar padrões de diversidade e estrutura de comunidades de plantas e relacioná-los aos padrões edáficos/topográficos de quatro tipos de afloramentos rochosos localizados no Quadrilátero Ferrífero. Além disso, foi investigada a distribuição geográfica das espécies dominantes para determinar o grau de endemismo.

Material & Métodos

Área de Estudo

O Quadrilátero Ferrífero - QF, abrangendo uma área de aproximadamente 7200 km², está inserido na região central de Minas Gerais. A localidade está sob a influência fitogeográfica do Cerrado e da Mata Atlântica, ambos considerados *hotspots* mundiais de biodiversidade (Mittermeier *et al.*, 2004). A temperatura média anual varia em torno de 20 °C e a precipitação média anual, em torno de 1 500 mm, mas dependendo da localidade, pode ocorrer precipitação media anual de até 2 000 mm. A região está sujeita a déficit hídrico entre os meses de junho até setembro (Dorr II, 1969).

Foram investigados quatro tipos de afloramentos: canga, quartzito, gnaisse e granito. As cangas são afloramentos formados há milhões de anos devido ao intemperismo de rochas ferríferas subjacentes, resultando em couraças com elevadas concentrações dos minerais limonita, hematita e goetita. As cangas podem atingir dezenas de metros de espessura e se estender por milhares de hectares. Os quartzitos são formados por metassedimentos clásticos e químicos e os constituintes minerais principais são o quartzo e a muscovita. Os granitóides - gnaisses e granitos - são constituídos predominantemente por feldspato, quartzo e biotita (Dorr II, 1969). De acordo com os constituintes minerais principais (Fernandes, 2007), esses afloramentos podem ser agrupados em silicatos (granito, gnaisse e quartzito) e afloramentos ferruginosos (cangas). Os solos derivados desses sistemas rochosos são rasos, apresentam fertilidade muito baixa e podem ser classificados como neossolos litólicos, organossolos, cambissolos e plintossolos (Benites *et al.*, 2007; Carvalho-Filho *et al.*, 2010).

Coleta de dados

Entre 2008 e 2012, sempre durante a estação chuvosa (dezembro-março), foram investigados três afloramentos de canga, três de quartzito, dois gnaisses e um granito (Tab. 1). Em cada afloramento foram estabelecidos cinco transectos (100 m cada) posicionados em paralelo, seguindo as curvas de nível, e distantes no mínimo 20 m entre si. Foram excluídos os setores dos afloramentos que continham áreas alagadas, capões e paredões rochosos. Em cada transecto foram instaladas 10 parcelas de 2m x 1m a intervalos de 10 m, nas quais foram mensuradas as variáveis topográficas e da vegetação.

Tabela 1. Localização dos afloramentos rochosos investigados, Quadrilátero Ferrífero, MG.

Localidade/litotipo	Código	UTM (23 K)	Altitude (m)
Rola Moça/Canga	CR	610856 7751133	1 430
Moeda/Canga	CM	637525 7777908	1 528
Gandarela/Canga	CG	604791 7783231	1 630
Moeda/Gnaisse	GM	610701 7752298	1 090
Moeda/Gnaisse	GV	635851 7776359	1 244
Peti/Granito	GP	670771 7799877	800
Rola Moça/Quartzito	QR	601606 7780113	1 300
Água Limpa/Quartzito	QA	608722 7751696	1 360
Moeda/Quartzito	QM	608800 7756785	1 470

Fertilidade do solo

Foram coletas 45 amostras de solo, uma para cada transecto, para realização de análise de fertilidade. No presente estudo foram consideradas duas das principais variáveis químicas relacionadas a fertilidade do solo (Novais *et al.*, 2007): carbono orgânico (C) e capacidade de troca catiônica efetiva (CTC).

Variáveis do substrato

As variáveis mensuradas foram:

Profundidade do solo (cm): mensurada a partir de três pontos (proximal, centro e distal da parcela em relação ao transecto), utilizando um paquímetro ou uma barra fina de aço, o qual foi inserido no solo até alcançar a rocha.

Inclinação da superfície (°): mensurada a partir de três pontos (proximal, centro e distal da parcela em relação ao transecto), utilizando um clinômetro de mão.

Tipo de substrato rochoso: número de tipos observados em cada parcela: lajeado, conglomerado, estruturado, blocos inclinados, fraturado, com depressões/concavidades, com matações, e pedregoso. Alguns tipos de substrato foram adaptados de Porembski & Barthlott (2000) e Carmo & Jacobi (2012b).

Vegetação

Em cada parcela foram identificadas as espécies e mensurada a cobertura vegetal de cada indivíduo maior que 03 cm de altura ou de diâmetro. Para as plantas com crescimento clonal, cada touceira ou ramete visualmente isolado foi contabilizado como um único indivíduo. A área da cobertura foi estimada a partir da fórmula da elipse, seguindo Meirelles (1996), medindo o maior diâmetro da parte aérea e o diâmetro perpendicular. A nomenclatura taxonômica seguiu a Lista de Espécies da Flora do Brasil (2014). A distribuição geográfica e o grau de ameaça das espécies que apresentaram as maiores coberturas foram determinados a partir de consulta ao catálogo de plantas raras do Brasil (Giulietti *et al.*, 2009), da lista florística de plantas de cangas do Quadrilátero Ferrífero (Jacobi & Carmo, 2012), da lista de espécies da flora do Brasil (2014) e a partir de listas oficiais - estadual e federal - de espécies ameaçadas de extinção.

As espécies foram organizadas em 11 grupos funcionais, baseados na forma de crescimento, em características morfológicas ou ecofisiológicas relacionadas com adaptações às condições geoedáficas estressantes, seguindo Balslev & Luteyn (1992), Porembski & Barthlott (2000) e Cornelissen *et al.* (2003): (1) esclerófitos: subarbustos ou arbustos (<1.5 m altura) com microfilia, filotaxia frequentemente imbricada ou hábito ericóide; (2) ervas graminóides: perenes ou anuais, portando sistema radicular fasciculado; (3) suculentas: portando folhas carnosas (gênero *Portulaca*) ou estruturas como pseudobulbos, em Orchidaceae, ou cladódios, em Cactaceae; (4) tolerantes à dessecação ou “plantas de ressurreição”: exibem mecanismos ecofisiológicos para sobreviverem a ciclos de desidratação e reidratação; (5) rosetas acaulescentes; (6)

touceiras: plantas robustas rizomatosas, com folhas densamente enroladas e escapos que podem atingir mais de 2 m altura; (7) hemiparasitas: realizam fotossíntese mas retiram água e nutrientes do hospedeiro através de raízes especializadas, chamadas haustórios; (8) ervas: monocotiledôneas ou dicotiledôneas, perenes ou anuais; (9) arvoretas: plantas lenhosas com altura > 1,5 m; (10) trepadeiras herbáceas; (11) pteridófitas. A forma de crescimento clonal é muito frequente nos grupos 2, 3, 4, 5, 6 e 11. No grupo 4, o crescimento clonal é caracterizado por conexões curtas e compactas entre os ramegos, apresentando crescimento muito lento e radial (Lovett-Doust 1981).

Variáveis climáticas

As variáveis utilizadas foram a precipitação média anual e a temperatura média anual, as quais foram extraídas do banco de dados WORLDCLIM na resolução de 1 km². Os valores das variáveis representam interpolações obtidas a partir de dados coletados entre 1950-2000 por estações meteorológicas da região (Hijmans *et al.*, 2005).

Análise de dados

As análises de similaridade florística entre os nove afloramentos foram baseadas no coeficiente de Jaccard e critério de agrupamento UPGMA. A partir da cobertura vegetal dos grupos funcionais foram realizadas duas análises de agrupamento baseadas no coeficiente de Bray-Curtis (UPGMA). A primeira investigou a similaridade entre os 45 transectos e a segunda verificou a similaridade entre os nove afloramentos.

A diversidade entre as comunidades de plantas foi comparada a partir de perfis de diversidade estimados através da série de Rényi (Tóthmérész, 1995). A série de Rényi resulta em pesos atribuídos à abundância das espécies. Então, quando o valor da série for zero, a diversidade será representada pela riqueza absoluta de espécies, ou seja, a influência de espécies raras para a diversidade é máxima; quando o valor for próximo de 1, equivale ao índice de Shannon (H'); para valores próximos de 2, equivale ao índice de Simpson ($1/D$); para valores > 2 a influência de espécies raras diminui (Melo, 2008). Foram construídos dois perfis de diversidade, um a partir da abundância das espécies e outro considerando a abundância dos tipos funcionais. A análise foi realizada comparando os intervalos de confiança (95%).

A ordenação da vegetação baseou-se na análise de correspondência distendida (DCA). A matriz da DCA foi composta pela cobertura vegetal das espécies que juntas

atingiram cobertura vegetal > 70% do total mensurado para cada um dos nove afloramentos.

Uma matriz de correlação foi construída a partir de 10 variáveis abióticas para a realização de análise de componentes principais PCA. Foram utilizadas as variáveis climáticas, de fertilidade do solo e topográficas: profundidade do solo (mediana); profundidade do solo (coeficiente de variação); inclinação do substrato (mediana); inclinação do substrato (coeficiente de variação); tipo do substrato rochoso; e heterogeneidade do substrato, variável estimada a partir da equação:

$$a \times (b + 1)$$

em que a = inclinação do substrato (mediana) e b = profundidade do solo (mediana).

Foram utilizadas ferramentas analíticas baseadas em modelos *broken-stick* para testar se os valores observados dos autovalores e dos autovetores diferem significantemente de zero, seguindo abordagens descritas por Peres-Neto *et al.* (2003; 2005). Os intervalos de confiança dos autovalores gerados a partir dos dados observados e localizados sob os autovalores gerados de um modelo (nulo) *broken-stick* indicarão os componentes não-significativos, ou não interpretáveis (Jackson, 2003). Essa avaliação foi realizada através de um *screeplot*, onde os intervalos de confiança (95%) foram estimados a partir de 1000 permutações. A significância dos autovetores dos componentes principais foi então testada a partir de um protocolo desenvolvido por Peres-Neto *et al.* (2003). As análises foram realizadas no programa PAST 3.0 (Hammer *et al.*, 2001).

Resultados

Nos nove afloramentos foram mensurados 17 690 indivíduos, distribuídos entre 352 espécies de plantas vasculares. A maior riqueza de espécies (116) e a maior cobertura vegetal ($1\ 168\ 034\ cm^2$) foram encontradas no quartzito QR. No outro extremo, o granito GP abrigou o menor número de espécies (28) e a menor cobertura vegetal ($271\ 376\ cm^2$). O afloramento com o maior número de indivíduos amostrados (3 476) foi a canga CM e o menor número (662) foi encontrado no granito GP (Tab. 2).

Os esclerófitos representaram a maior cobertura vegetal nas cangas CM e CR. As espécies graminóides e os esclerófitos dominaram a canga CG. Para o quartzito QR foram os esclerófitos e as arvoretas. As ervas graminóides apresentaram a maior cobertura no afloramento QM e QA, no qual também dominaram as poiquiloídricas. Entre os granítóides dominaram as poiquiloídricas, seguidas pelas rosetas em GP e pelas

ervas graminóides em GV (Tab. 2). Considerando todos os afloramentos investigados, os grupos funcionais dominantes foram os esclerófitos, as ervas graminóides e as poiquiloídricas.

A análise de classificação baseada na presença/ausência de espécies (Fig. 1) identificou três agrupamentos com baixa similaridade florística (< 22%). Cada agrupamento foi formado por afloramentos de mesma origem litológica. A análise baseada em grupos funcionais identificou que os quartzitos QM e QA foram os mais similares (>80%). Este agrupamento se uniu a um maior, formado pelas cangas e pelo quartzito QR, com 51% de similaridade. Os granítóides formaram um agrupamento com 58% de similaridade, o qual se uniu aos demais com similaridade de 31%.

A análise de classificação baseada em grupos funcionais encontrados nos 45 transectos identificou dois agrupamentos unidos com similaridade de 47%. Um deles foi constituído predominantemente pelos transectos localizados nos quartzitos e o outro pelos localizados nas cangas. Os granítóides, somados ao transecto QA3, formaram um terceiro agrupamento (34% de similaridade), o qual se uniu aos demais com 29% de similaridade (Fig. 1).

Os perfis de diversidade (Fig. 2) estimados a partir da abundância das espécies, indicaram que a comunidade QR foi a mais diversa, independentemente do parâmetro α ou do seu correspondente índice de diversidade. Quando o parâmetro α foi próximo de 1 (H'), as comunidades mais diversas foram QM=QA=CG=CM>CR=GM=GV>GP. Quando o parâmetro α foi próximo de 2 (índice de Simpson), as comunidades mais diversas foram QM=QA=CG=CM>CR>GP=GV>GM. Entretanto, os perfis de diversidade estimados a partir da abundância dos grupos funcionais resultaram em padrões diferentes. Para o parâmetro α próximo de 1, as comunidades mais diversas foram QR=CG=CR>CM=QA>QM=GP=GM>GV. Quando o parâmetro α foi próximo de 2, as comunidades mais diversas foram CG=CR=QR=CM>QA=QM=GM=GP>GV.

Tabela 2 – Parâmetros das comunidades vegetais em nove afloramentos rochosos, Quadrilátero Ferrífero, MG. Os tipos funcionais com maior valor de cobertura vegetal em cada afloramento estão sublinhados. As identificações dos códigos das localidades estão na Tab. 1.

	CM	CR	CG	QR	QM	QA	GM	GV	GP	Total
Número de espécies	85	58	85	116	84	83	66	53	28	352
Número de indivíduos	3 476	2 004	2 751	1 483	2 829	2 462	859	1 164	662	17 690
Cobertura vegetal total ($1 \times 10^3 \text{ cm}^2$)	1 115.7	1 092.6	1 100.8	1 168.0	962.3	841.9	369.8	353.8	271.4	7 276
Nº Parcelas sem vegetação (rocha nua)	0	0	0	0	0	1	18	8	19	46
Cobertura vegetal / Tipo Funcional ($1 \times 10^3 \text{ cm}^2$)										
Arvoreta	0.0	50.0	0.0	<u>353.0</u>	56.4	72.8	41.2	88.4	0.0	661.8
Esclerófito	<u>560.0</u>	<u>668.8</u>	<u>431.1</u>	<u>354.0</u>	132.6	100.5	36.8	52.0	49.0	2384.8
Graminóide	301.8	109.1	<u>454.6</u>	233.4	<u>380.4</u>	<u>293.1</u>	95.0	<u>92.3</u>	52.0	2011.7
Ervácea	111.4	6.0	21.9	100.7	44.8	44.7	2.9	2.0	1.9	336.3
Trepadeira	10.5	0.8	4.4	11.9	0.4	0.0	9.9	2.8	1.0	41.7
Pteridófita	0.2	0.0	36.8	1.0	10.8	0.5	2.1	15.8	9.7	76.9
Poiquiloídrica	12.1	101.1	105.9	11.9	169.6	<u>268.9</u>	<u>178.8</u>	<u>100.4</u>	<u>79.4</u>	1028.1
Roseta	3.5	0.3	2.6	2.2	1.0	1.0	3.1	0.0	<u>78.3</u>	92
Suculenta	45.4	36.0	18.7	1.2	0.0	9.5	0.0	0.0	0.0	110.8
Touceira	70.8	85.2	24.8	99.2	166.4	51.0	0.0	0.0	0.0	497.4
Hemiparasita	0.0	35.2	0.0	0.0	0.0	0.0	0.0	0.0	0.0	35.2

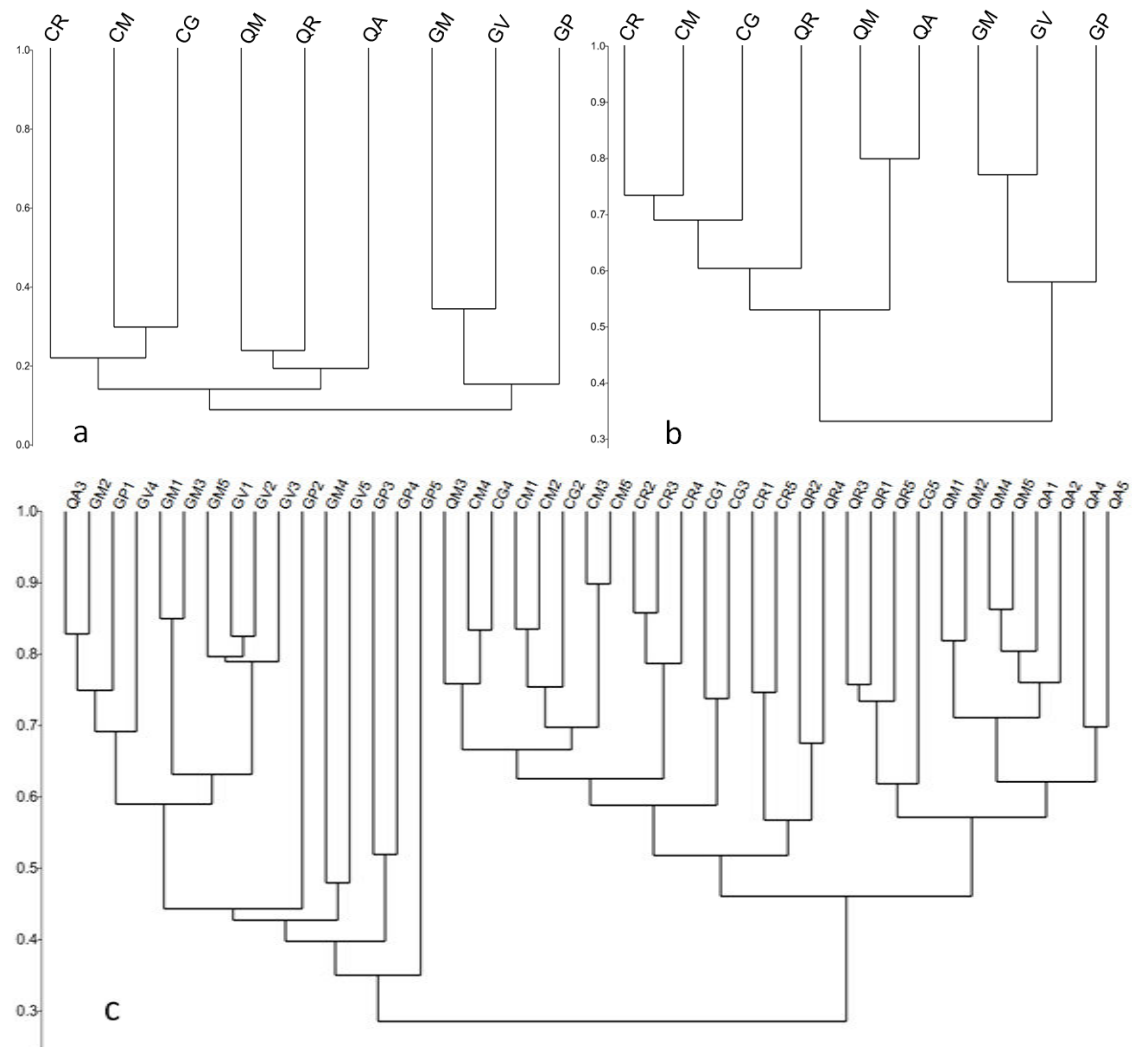


Figura 1 – Análises de agrupamentos baseadas em: a) presença/ausência de espécies amostradas em nove afloramentos (Jaccard/UPGMA; coeficiente de correlação cofenética = 0.897); b) cobertura vegetal dos grupos funcionais amostrados em nove afloramentos (Bray-Curtis/UPGMA; coeficiente de correlação cofenética = 0.842); c) cobertura vegetal dos grupos funcionais amostrados em 45 transectos (Bray-Curtis/UPGMA; coeficiente de correlação cofenética = 0.763). C: cangas; G: granítóides; Q: quartzitos. As identificações dos códigos das localidades estão na Tab. 1.

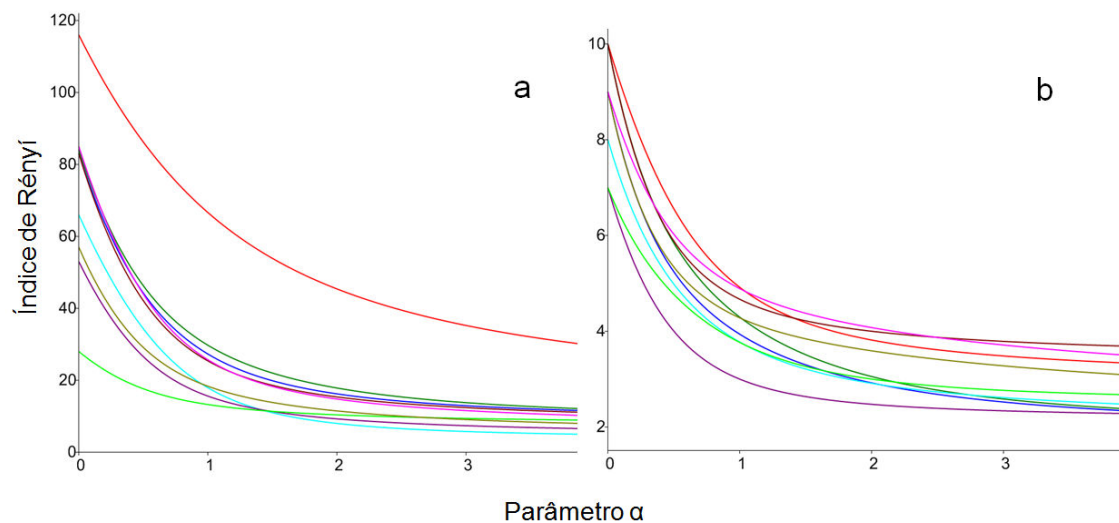


Figura 2 – Perfis de diversidade de comunidades de plantas baseados em abundância de espécies (a) e abundância dos grupos funcionais (b) em nove afloramentos rochosos, Quadrilátero Ferrífero, MG. Cada linha representa o perfil de um afloramento, assim: vermelho=QR; azul escuro=QM; verde escuro=QA; verde oliva=CM; marrom= CR; rosa=CG; azul claro=GM; roxo= GV; verde claro=GP. Os intervalos de confiança não foram representados.

Os solos associados aos afloramentos foram muito rasos (medianas < 4 cm), entretanto foram amostrados setores com solos mais desenvolvidos, atingindo valores máximos de profundidade acima de 30 cm (Tab. 3). Foram encontrados níveis muito baixos de fertilidade, típico de solos desenvolvidos em sistemas rochosos do leste do Brasil (ver Benites *et al.*, 2007). Nas cangas ocorreu a maior quantidade de tipos de substrato: lajeado, conglomerado, estruturado, pedregoso e matacões. Nos quartzitos foram observados os tipos: lajeado, blocos inclinados, fraturado e pedregoso e nos granitóides: lajeado, fraturado e depressões/concavidades. Os maiores valores para a variável “heterogeneidade do substrato” foram observados nos quartzitos QR e QM, os granitóides apresentaram os menores valores (Tab. 3). Esses resultados ressaltaram as diferenças macroestruturais entre os litotipos. Para os granitóides, as superfícies são mais lisas, predominando o tipo lajeado, onde os solos são extremamente rasos ou predominantemente ausentes. Entre 45% e 65% das amostras resultaram em superfícies sem a presença de solo (Fig. 3). As manchas de solos um pouco mais desenvolvidos foram associadas aos clones de espécies poiquiloídricas e às irregularidades na rocha, como depressões ou grandes fendas. Os quartzitos QR e QM exibem a superfície mais heterogênea, resultado do arranjo espacial dos blocos inclinados de quartzito, dispostos

em formato de “serrote”. Os solos mais profundos, atingindo 57 cm no QR, foram observados entre os blocos, ambiente ao qual estiveram associadas às arvoretas.

Nas cangas predominam substratos muito rugosos na escala centimétrica (Carmo *et al.*, submetido), porém, a superfície do afloramento é menos heterogênea, quando comparada a dos quartzitos devido à menor proporção de estruturas rochosas salientes ou a macro irregularidades como fendas ou grandes depressões. Nas cangas predominam os tipos de substratos conglomerado e estruturado e os solos foram os mais rasos entre todos os afloramentos, onde mais de 95% das amostras atingiram profundidades de até 5.7 cm (Fig. 3).

Na PCA somente os dois primeiros componentes foram retidos para a análise, pois obtiveram autovalores maiores do que os estimados pelo modelo *broken-stick* (Fig. 4). O primeiro componente da PCA explicou 38% da variância dos dados e o gradiente de ordenação separou os granitóides das cangas e quartzitos (Fig. 5). Cinco variáveis exibiram associação significativa com esse componente: precipitação média anual (0.88); temperatura média anual (-0.86); tipos de substrato (0.79); solo CV (-0.74); e profundidade do solo (0.58). O segundo componente representou 24% da variância dos dados, separando o granito GP e a maioria dos transectos dos quartzitos QR e QM das cangas e da maioria dos transectos dos afloramentos de gnaisse e do quartzito AL. Apenas três variáveis foram significativamente correlacionadas a esse eixo. Duas dessas apresentaram forte correlação com o componente II: inclinação do substrato (0.88) e heterogeneidade do substrato (0.79). A outra variável foi inclinação do substrato CV (-0.58).

A matriz da DCA foi composta por 42 espécies, representando o conjunto das oito plantas com maior cobertura vegetal em cada afloramento. Esse conjunto atingiu entre 71% (quartzito QR) e 88% (granito GP) da cobertura total mensurada (Anexo). Os afloramentos de canga e os granitóides foram posicionados de maneira mais agregada (Fig. 6). Um padrão um pouco distinto foi encontrado para os afloramentos de quartzito, onde RM se distanciou dos demais.

Tabela 3 – Parâmetros edáficos e climáticos em nove afloramentos rochosos, Quadrilátero Ferrífero, MG. C: cangas; G: granitóides; Q: quartzitos. As identificações dos códigos das localidades estão na Tab. 1.

Parâmetros	CM	CR	CG	QR	QM	QA	GM	GV	GP
Profundidade do solo (cm)									
Mínimo	0.1	0	0	0	0	0	0	0	0
Máximo	12	13.6	6.4	57	34.6	39	41	21	36
Média	1.6	1.7	1.4	7.2	5.3	3.9	2.9	2.0	2.1
Mediana	1	1.1	0.9	4	3.5	2.4	0	0.6	0
Coeficiente de variação	111.5	107.8	97.3	130.4	123.7	144.7	205.7	157.8	255.8
Inclinação da superfície (°)									
Mínimo	1	0	0	0	0	0	0	0	0
Máximo	56	34	42	82	89	48	74	52	70
Média	14.2	7.9	9.7	24.4	21.6	8.9	10.4	11.1	16.1
Mediana	14	5	8	24	19	5	6	7	14
Coeficiente de variação	70.9	88.9	90.0	76.0	83.6	110.3	118.5	100.1	73.1
Heterogeneidade do substrato (média)	28.9	13.8	18.3	101.2	76.2	19.4	7.1	11	19.7
Tipos de substrato (nº)	5	4	5	4	4	3	3	3	2
Carbono orgânico (média; dag/kg)	4.5	14.7	12.2	3.3	2.8	2.6	3.2	4.3	4.0
Capacidade de troca catiônica (média; cmolc/dm ³)	2.0	3.3	2.8	1.7	1.6	1.3	1.2	1.3	1.8
Precipitação média anual (mm/a)	1 610	1 563	1 666	1 515	1 601	1 584	1 469	1 471	1 380
Temperatura média anual (mm/a)	17.1	17.7	16.1	18.4	17.2	17.5	18.8	18.9	20.7

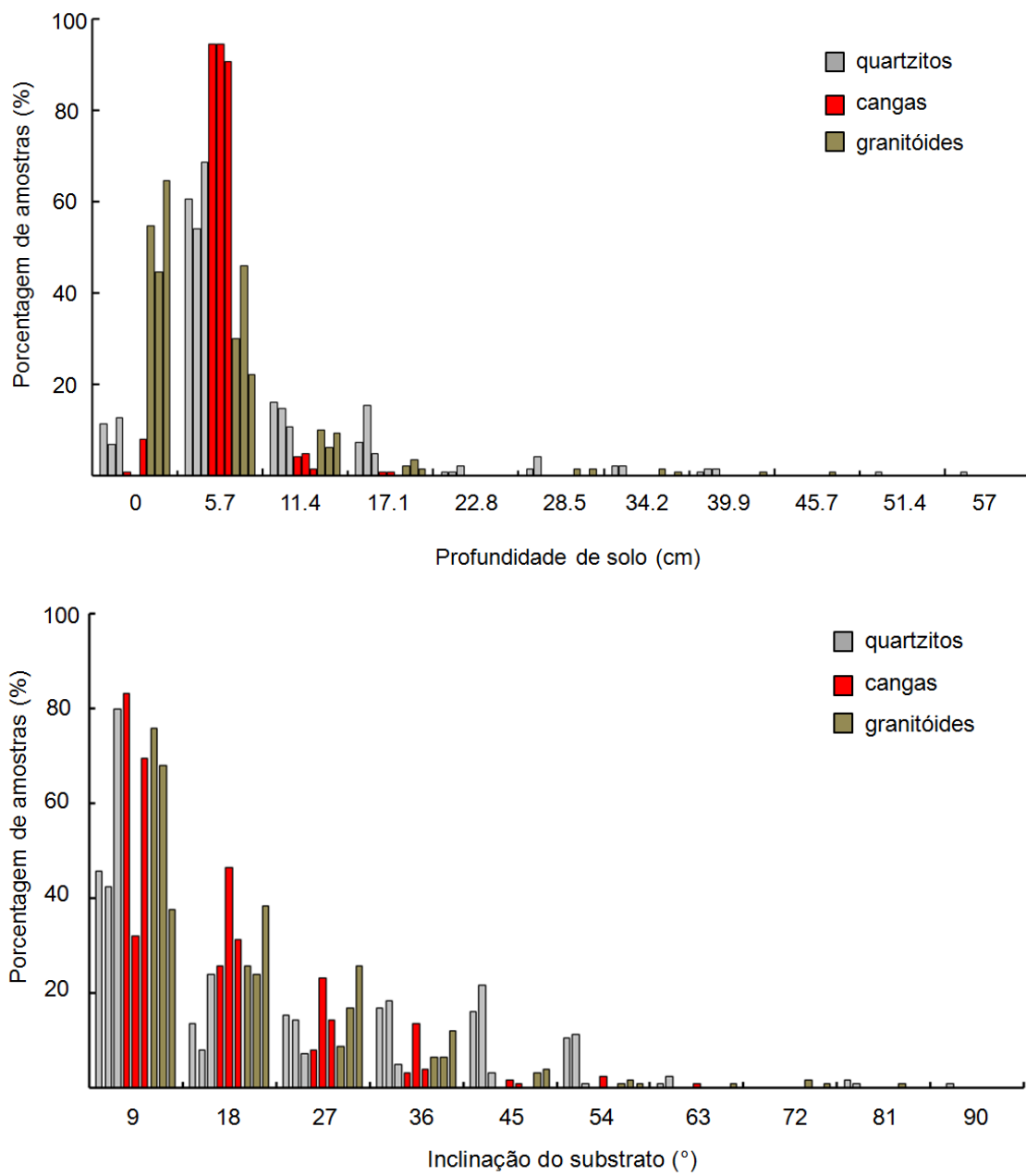


Figura 3 – Distribuição do número de amostras ($n=150$ por afloramento) por classes de profundidade do solo e de inclinação do substrato em nove afloramentos rochosos, Quadrilátero Ferrífero, MG.

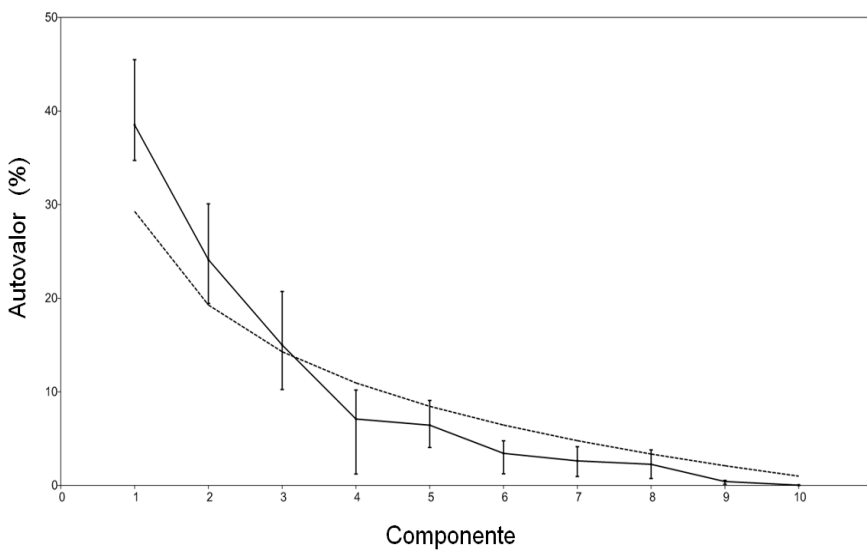


Figura 4 - Autovalores (barra vertical, IC 95%) dos componentes principais baseados em 11 variáveis abióticas ($n=45$ transectos) amostradas em nove afloramentos rochosos, Quadrilátero Ferrífero, MG. Linha pontilhada: Autovalores estimados a partir de um modelo *broken-stick*.

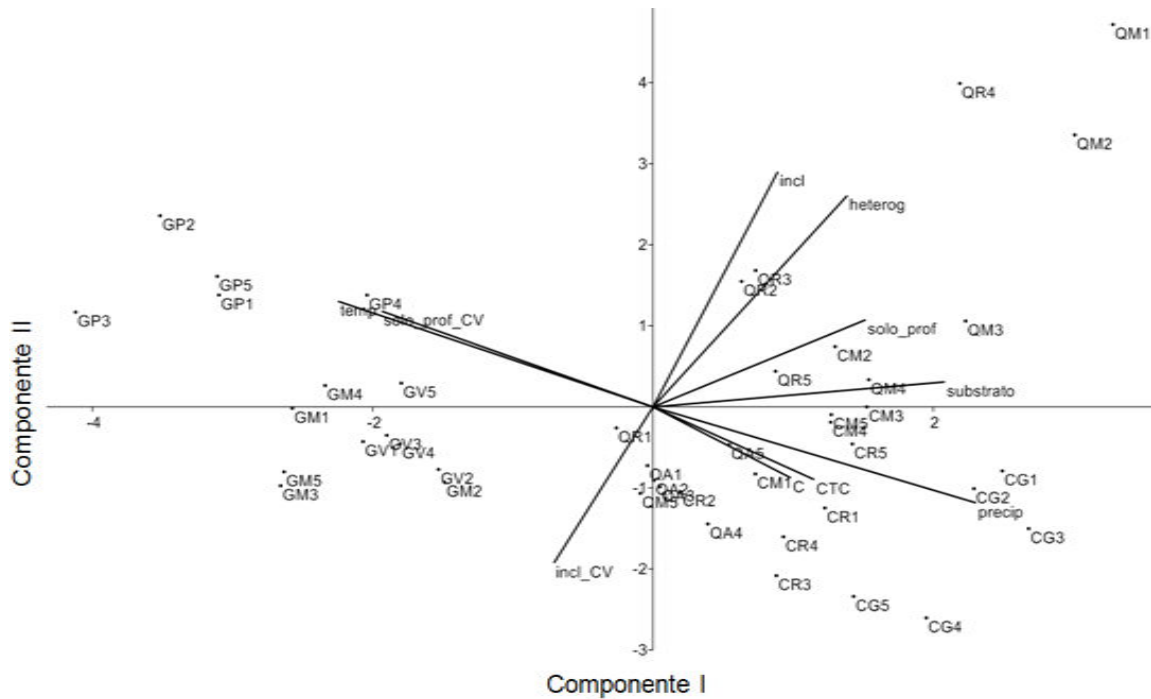


Figura 5 – Análise de Componentes Principais de 10 variáveis abióticas ($n=45$ transectos) amostradas em nove afloramentos rochosos, Quadrilátero Ferrífero, MG. C: cangas; G: granítóides; Q: quartzitos. As identificações dos códigos das localidades estão na Tab. 1.

O eixo I da DCA (autovalor 0.76) separou os granítóides dos quartzitos e cangas. Associados a esses dois grupos estão plantas tanto especialistas em sistemas rochosos quanto generalistas e de ampla distribuição geográfica. Na direita deste eixo posicionaram-se as especialistas em sistemas rochosos como *Dyckia sordida* (Bromeliaceae) e as poiquiloídricas *Vellozia albiflora* (Velloziaceae) e *Trilepis lhotzkiana* (Cyperaceae). Essas espécies apresentaram as maiores coberturas entre os granítóides. Além destas ocorreram várias espécies típicas de fisionomias savânicas e de ampla distribuição geográfica como as gramíneas *Trachypogon spicatus* e *Melinis minutiflora*, uma espécie exótica e invasora, e as arvoretas *Bredemeyera floribunda* (Polygalaceae), *Dalbergia miscolobium* (Fabaceae) e *Tocoyena formosa* (Rubiaceae). Na esquerda do eixo I foi encontrado um maior número de plantas especialistas em sistemas rochosos e com distribuição geográfica mais restrita. Entre elas estão a poiquiloídrica *Vellozia compacta*, as arbustivas *Stachytarpheta glabra* (Verbenaceae) e *Lychnophora pinaster* (Asteraceae), além de três espécies endêmicas das cangas do QF (Carmo & Jacobi, 2012a): *Paspalum brachytrichum* (Poaceae), *Jacquemontia linarioides* (Convolvulaceae) e *Mimosa calodendron* (Fabaceae). Entre as espécies generalistas e de ampla distribuição geográfica estão *Vochysia thyrsoidea* (Vochysiaceae) e *Eriope macrostachya* (Lamiaceae). O eixo II (autovalor 0.59) separou as cangas dos afloramentos onde predominam os minerais silicatos (quartzitos e granítóides).

Considerando as 42 espécies com maior cobertura vegetal, a canga foi o litotipo que abrigou a maior biomassa de plantas com distribuição restrita ao Quadrilátero Ferrífero, atingindo 42% do total. Os quartzitos atingiram 3% e os granítóides 0,01% (Fig. 7). Considerando a cobertura vegetal de todas as espécies inventariadas, nas cangas as espécies endêmicas do QF representaram 33% e nos quartzitos representaram 4%. Nenhuma espécie foi citada como ameaçada na lista federal. Apenas *L. pinaster* foi citada na lista da flora ameaçada de extinção de Minas Gerais, na categoria vulnerável.

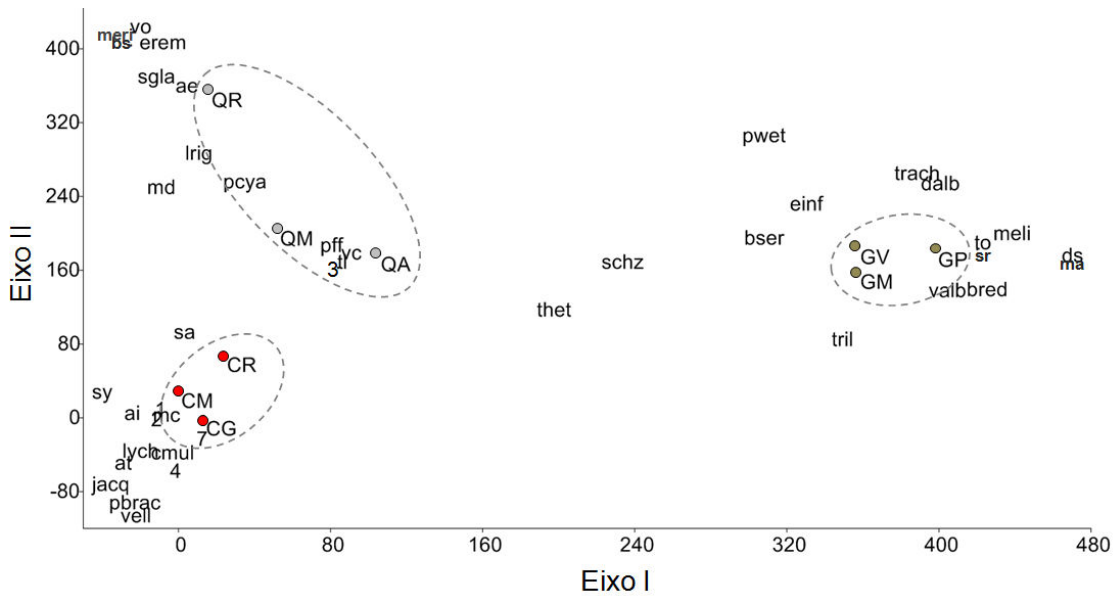


Figura 6 – Análise de Correspondência Distendida de comunidades de plantas em nove afloramentos rochosos, Quadrilátero Ferrífero, MG. C: cangas; G: granitóides; Q: quartzitos. As identificações dos códigos das localidades estão na Tab. 1. As identificações dos códigos das espécies estão no anexo.

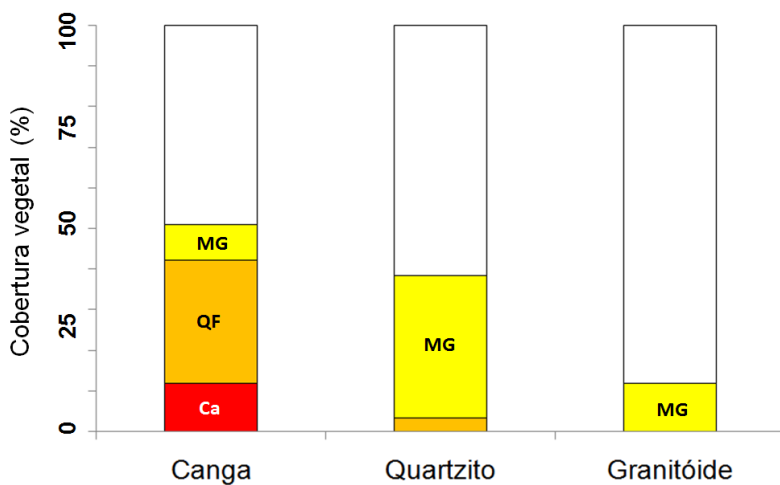


Figura 7 – Níveis de endemismos por litotipo em comparação com a cobertura vegetal total das 42 espécies da matriz DCA. Ca (vermelho): espécies com distribuição restrita as cangas do Quadrilátero Ferrífero; QF (laranja): espécies com ocorrência apenas para o Quadrilátero Ferrífero, excluindo as endêmicas das cangas; MG (amarelo): espécies com distribuição geográfica apenas em Minas Gerais, excluindo as endêmicas do Quadrilátero Ferrífero.

Discussão

Nosso estudo identificou que as comunidades investigadas apresentaram elevada diversidade beta. Porém, as comunidades foram floristicamente mais similares quando ocorreram em afloramentos de mesma origem litológica, independendo da distância geográfica. Esse padrão foi muito nítido quando analisada a similaridade por tipos funcionais. Carmo *et al.* (submetido; capítulo 4) testaram se o aumento na similaridade florística de comunidades associadas a litotipos distintos estaria correlacionado a proximidade geográfica entre os mesmos. Esses autores não encontraram estrutura espacial significante entre aquelas comunidades e apontaram que as alterações observadas na composição de espécies e na estrutura das comunidades estariam associadas a fatores determinísticos.

O gradiente representado pelo eixo I da DCA foi condicionado por parâmetros topográficos como os tipos de substratos e a profundidade do solo. Esses parâmetros, por sua vez, estão relacionados com a heterogeneidade espacial dos afloramentos, discriminando os de superfícies mais lisas, os granítóides, dos afloramentos mais heterogêneos, cangas e quartzitos. Nas comunidades desenvolvidas sobre os granítóides predominaram espécies monocotiledôneas com tolerância a dessecação. Nos quartzitos predominam as monocotiledôneas graminóides e as angiospermas subarbustivas e arbustivas. Nas cangas, os indivíduos subarbustivos e arbustivos, seguidos pelos graminóides compõem a maior parcela da cobertura vegetal.

Considerando o gradiente formado apenas pela variável “heterogeneidade do substrato”, o quartzito QR representou o ponto extremo. De fato, a comunidade associada ao afloramento QR se assemelhou fisionomicamente e estruturalmente a alguns “cerrados rupestres” descritos em Moura *et al.* (2011), uma vez que também apresentou cobertura arbórea entre 5% a 20% e estrato arbustivo-herbáceo conspícuo. Então, a conformação estrutural desse afloramento, que resultou em condições mais favoráveis para o desenvolvimento das arvoretas, favoreceu o desenvolvimento de uma comunidade relativamente distinta das observadas nos outros quartzitos.

Fatores edáficos de natureza química, não mensurados no presente estudo, podem também ser relacionados ao gradiente observado na DCA, particularmente o do Eixo II. Populações de algumas espécies como *Dyckia sordida*, *Barbacenia sellovii* e as gramíneas *Apochloa euprepes* e *Paspalum* aff. *scalare* são muito freqüentes em afloramentos compostos predominantemente por minerais silicatos (Longhi-Wagner & Welker, 2012; Capítulos 2 e 4). Por outro lado, além das três espécies endêmicas das

cangas, outras três foram posicionadas próximas aos afloramentos ferruginosos: duas espécies endêmicas do QF (Teles & Hattori, 2012), *L. pinaster* e *Chromolaena multiflosculosa* (Asteraceae); e *Acianthera teres* (Orchidaceae) que, apesar de não ocorrerem exclusivamente nas cangas, possuem populações muito mais abundantes nestes afloramentos, quando comparado aos quartzitos e granítóides (Jacobi *et al.*, 2008; Vincent & Meguro, 2008; Messias *et al.*, 2012; 2013). Além disso, já foi observado que os valores de alguns parâmetros de fertilidade do solo, como Ca, K, Na e N, tendem a aumentar a partir dos quartzitos, seguidos pelos granítóides e pelas cangas, embora não foi encontrada correlação significativa com o gradiente de ordenação (Capítulo 4). Por outro lado, alguns estudos que investigaram as relações solo-vegetação entre afloramentos de quartzito e cangas apontaram forte correlação entre a cobertura de espécies e algumas variáveis químicas dos solos (Vincent & Meguro, 2008; Messias *et al.*, 2012).

Apesar das variáveis climáticas exibirem forte associação com o componente principal, não foi possível encontrar uma interpretação ecológica que relacionasse o gradiente de ordenação e o posicionamento das espécies observadas na DCA. As cangas foram associadas às maiores médias anuais de precipitação, entretanto abrigaram as maiores coberturas de espécies suculentas, incluindo a cactácea endêmica desses afloramentos, *Arthrocereus glaziovii*. No outro extremo, os granítóides GV e GP foram associados às maiores temperaturas e aos menores índices de precipitação, porém a cobertura das espécies poiquiloídricas foi similar a mensurada nas cangas CR e CG.

Possivelmente as variáveis utilizadas no presente estudo - “precipitação” e “temperatura” - não retrataram adequadamente as reais condições climáticas tanto regionais quanto locais. O granito GP, por exemplo, localiza-se mais a leste do Quadrilátero, onde predomina os maiores fragmentos de Floresta Atlântica da região e as maiores precipitações médias anuais (IBRAM, 2003; Davis *et al.*, 2004). Além disso, as condições microclimáticas em afloramentos tendem a ser bem distintas das condições extra-afloramento, resultado da interação entre a heterogeneidade do substrato, radiação solar e disponibilidade de água (Szarzynsky, 2000). As condições xéricas são mais extremas nos granítóides, uma vez que a matriz rochosa é muito densa, com baixa porosidade e reduzida permeabilidade (Bremer & Sander, 2000; IBRAM, 2003). Nessa situação, boa parcela da água pluvial não é retida pelo substrato, sendo rapidamente perdida por escoamento superficial (Szarzynsky, 2000). Essas condições extremas também podem estar relacionadas à maior ocorrência proporcional de espécies

generalistas observada nos granítóides. Gibson *et al.* (2012) sugerem que espécies generalistas tornam-se mais freqüentes com o aumento dos ambientes xéricos, como resultado da elevada tolerância fisiológica dessas plantas, ou por acúmulo de eventos estocásticos de extinção de espécies mais especializadas, ou como resultado da combinação de ambos os mecanismos.

A definição de qual comunidade foi mais diversa dependeu tanto do algoritmo que estimou uma medida de diversidade (Magurran, 2011) quanto do tipo de variável utilizada: abundância de indivíduos *versus* abundância de tipos funcionais. No presente estudo foi observado que os afloramentos mais heterogêneos apresentaram comunidades mais diversas. Os granítóides sempre foram os menos diversos. Entretanto abrigam uma comunidade altamente especializada, onde predominam os clones de plantas poiquiloídricas, ou tolerantes a dessecação, considerada uma das adaptações ecofisiológicas mais espetaculares encontradas em plantas vasculares (Porembski & Barthlott, 2000). Entre as cangas e os quartzitos, não houve um padrão claro, com variações dependendo do parâmetro alfa. Uma exceção foi o quartzito RM, sendo o mais diverso na análise por abundância de indivíduos.

A diversidade, a importância das espécies raras para a estrutura das comunidades, somadas ao elevado grau de ameaça devido a perda e degradação de áreas naturais (Jacobi *et al.*, 2011) classificam as cangas como ambientes que devem ser priorizados nas políticas públicas de conservação da biodiversidade. Além delas, a conservação dos afloramentos de quartzito e os granítóides representa uma ação estratégica para a manutenção da biodiversidade e de serviços ecossistêmicos no Quadrilátero Ferrífero. A inclusão das espécies endêmicas do QF nas listas da flora ameaçada de extinção também representa uma ação prioritária e estratégica de gestão ambiental, podendo subsidiar tomadas de decisão que tratam da utilização racional e da conservação dos recursos naturais (Ginsburg, 2001; Callmander *et al.*, 2005).

Agradecimentos

Ao Conselho Nacional de Desenvolvimento Científico e Tecnológico (CNPq) pelas bolsas concedidas aos autores, a Fundação de Amparo à Pesquisa do estado de Minas Gerais (FAPEMIG), ao CNPq e a US Fish and Wildlife Service pelo suporte financeiro; a CEMIG S.A. pela autorização de desenvolvimento da pesquisa na Estação Ambiental PETI; e ao Instituto Estadual de Florestas (IEF-MG) pelas licenças concedidas. Agradecimento especial aos biólogos que auxiliaram na coleta de dados em campo:

Felipe do Carmo, Ericson Silva, Leonardo Cotta, Lucas Perillo, Gustavo Heringer, Iara Campos, Matheus Toshiba e Bruno Falcão.

Referencias Bibliográficas

- Alves, R. J. V. & Kolbek, J. 1993. Penumbral rock and sand communities in campo rupestre sites in Brazil. *Journal Vegetation Science*, 4: 357-366.
- Balslev, H. & Luteyn, J. 1992. *Paramo: an Andean ecosystem under human influence*. Academic Press, London.
- Benites, V.M.; Schaefer, C.E.G.R.; Simas, F.N.B. & Santos, H.G. 2007. Soils associated with rock outcrop in the Brazilian mountains ranges Mantiqueira and Espinhaço. *Revista Brasileira de Botânica*, 30: 569-577.
- Bremer, H. & Sander, H. 2000. Inselbergs: Geomorphology and Geoecology. In: Porembski, S. & Barthlott, W. (eds.) *Inselbergs: biotic diversity of isolated rock outcrops in Tropical and Temperate regions*. Springer, New York. 07-35 pp.
- Callamander, M.W., Schatz, G.E. & Lowry II, P.P. 2005. IUCN Red List assessment and the Global Strategy for Plant Conservation: taxonomists must act now. *Taxon*, 54: 1047-1050.
- Carmo, F.F. & Jacobi, C.M. 2012a. Plantas vasculares sobre cangas. In: Jacobi, C.M. & Carmo, F.F. (Eds.) *Diversidade Florística nas Cangas do Quadrilátero Ferrífero*. Ed. IDM, Belo Horizonte. 31-42 pp.
- Carmo, F.F. & Jacobi, C.M. 2012b. As cangas do Quadrilátero Ferrífero. In: Jacobi, C.M. & Carmo, F.F. (Eds.) *Diversidade Florística nas Cangas do Quadrilátero Ferrífero*. Ed. IDM, Belo Horizonte. 43-50 pp.
- Carmo, F.F.; Carmo, F.F.; Campos, I.C. & Jacobi, C.M. 2012. Cangas: ilhas de ferro estratégicas para a conservação. *Ciência Hoje*, 295: 48-53.
- Carmo, F.F., Campos, I.C. & Jacobi, C.M. Effects of fine-scale surface heterogeneity on rock outcrop plant communities. *Journal of Vegetation Science* (submetido).
- Carvalho-Filho, A.; Curi, N.; Shinzato, E. 2010. Relações solo-paisagem no Quadrilátero Ferrífero em Minas Gerais. *Pesquisa Agropecuária Brasileira*, 45: 903-906.
- Cornelissen, J.H.C., Lavorel, S., Garnier, E., Diáz, S., Buchmann, N., Gurvich, D.E., Reich, P.B., Steege, H., Morgan, H.D., Heijden, M.G.A., Pausas, J.G. & Poorter, H. 2003. A handbook of protocols for standardised and easy measurement of plant functional traits worldwide. *Australian Journal of Botany*, 51: 335-380.

- Davis, E.G.; Pinto, E.J.A. & Pinto, M.C.F. 2004. *Projeto APA Sul RMBH: estudos do meio físico, hidrologia*. Belo Horizonte: SEMAD/CPRM. CD.
- Dorr II, J. v. N. 1969. *Physiographic, stratigraphic and structural development of Quadrilátero Ferrífero, Minas Gerais, Brazil*. USGS. Prof. Paper, 641-A, Washington.
- Drummond, G.M., Martins, C.S., Machado, A.B.M., Sebaio, F.A. & Antonini, Y. (Orgs.). 2005. *Biodiversidade em Minas Gerais - Um Atlas para Sua Conservação*. 2^a ed. Belo Horizonte, Fundação Biodiversitas. 222 p.
- Fernandes, M.L.S. 2007. Minerais Formadores de Rocha. In: Sgarbi, G.N.C. (org.). *Petrografia macroscópica das rochas ígneas, sedimentares e metamórficas*. Ed. UFMG, Belo Horizonte. 559 p.
- Fiaschi, P. & Pirani, J.R. 2009. Review of plant biogeographic studies in Brazil. *Journal of Systematics and Evolution*, 47: 477-496.
- Gibson, N., Meissner, R., Markey, A.S., Thompson, W.A. 2012. Patterns of plant diversity in ironstone ranges in arid south western Australia. *Journal of Arid Environments*, 77:25-31.
- Ginsburg, J. 2001. The Application of IUCN Red List Criteria at Regional Levels. *Conservation Biology*, 15: 1206-1212.
- Giulietti, A.M., Pirani J.R. & Harley, R.M. 1997. Espinhaço Range Region, Eastern Brazil. In: S.D. Davis, V.H. Heywood, O. Herrera-MacBryde, J. Villa-Lobos & A.C. Hamilton (eds.) *Centres of plant diversity. A guide and strategies for conservations, V. 3. The Americas*. pp. 397-404. WWF/IUCN, Cambridge.
- Giulietti, A.M., Rapini, A., Andrade, M.J.G., Queiroz, L.P. & Silva, J.M.C. (Org.). 2009. *Plantas Raras do Brasil*. Belo Horizonte, MG. Conservation International, 496 pp.
- Hammer, Ø., Harper, D.A.T. & Ryan, P.D. 2001. PAST: Paleontological Statistics Software Package for Education and Data Analysis. *Palaeontologia Electronica*, 4(1): 9pp.
- Hijmans, R., Cameron., S., Parra. J., Jones, P., Jarvis, A. 2005. Very high resolution interpolated climate surfaces for global land areas. *International Journal of Climatology*, 25:1965-1978.
- Huggett, R.J. 1995. *Geoecology an evolutionary approach*. Routledge, London. 320 p.

- IBRAM – Instituto Brasileiro de Mineração. 2003. *Contribuição do IBRAM para o zoneamento ecológico-econômico e o planejamento ambiental de municípios integrantes da APA-SUL RMBH*, 322 pp.
- Jackson, D.A. 1993. Stopping rules in principal components analysis: a comparison of heuristical and statistical approaches. *Ecology*, 74: 2204-2214.
- Jacobi, C.M., Carmo, F.F., Vincent, R.C. & Stehmann, J.R. 2007. Plant communities on ironstone outcrops – a diverse and endangered Brazilian ecosystem. *Biodiversity and Conservation*, 16: 2185-2200.
- Jacobi, C.M.; Carmo, F.F. & Vincent, R.C. 2008. Phytossociological study of a plant community on ironstone as support for recovery of a mined area in the Iron Quadrangle, MG. *Revista Árvore*, 32: 345-353.
- Jacobi, C.M., Carmo, F.F. & Campos, I.C. 2011. Soaring Extinction Threats to Endemic Plants in Brazilian Metal-Rich Regions. *Ambio*, 40: 540-543.
- Jacobi, C.M. & Carmo, F.F. 2012. (Eds.) *Diversidade Florística nas Cangas do Quadrilátero Ferrífero*. Ed. IDM, Belo Horizonte. 222 p.
- Kruckeberg, A.R. 2004. *Geology and Plant Life: The Effects of Landforms and Rock Types on Plants*. University of Washington Press. Seattles, USA. 363 p.
- Lista de Espécies da Flora do Brasil. 2014. Jardim Botânico do Rio de Janeiro. <http://floradobrasil.jbrj.gov.br/>
- Longhi-Wagner, H.M. & Welker, C.A.D. 2012. Diversity, chorology and conservation of grasses (Poaceae) in Serra do Ouro Branco, State of Minas Gerais, Brazil. *Phytotaxa*, 65: 7-22.
- Lovett-Doust, L. 1981. Population dynamics and local specialization in a clonal perennial (*Ranunculus repens*). I. The dynamics of ramets in contrasting habitats. *Journal of Ecology*, 69: 743-755.
- Magurran, A.E. 2011. *Medindo a Diversidade Biológica*. Curitiba. Ed. UFPR. 261 pp.
- Martinelli, G. 2007. Mountain biodiversity in Brazil. *Revista Brasileira de Botânica*, 30: 587-597.
- Medina, B.M.O., Ribeiro, K.T. & Scarano, F.R. 2006. Plant-plant and plant-topography interactions on a rock outcrop at high altitude in southeastern Brazil. *Biotropica*, 38:1-7.
- Meirelles, S.T. 1996. *Estrutura da comunidade e características funcionais dos componentes da vegetação de um afloramento rochoso em Atibaia – SP*. Tese de doutorado, Universidade Federal de São Carlos, São Carlos.

- Melo, A.S. 2008. What do we win ‘confounding’ species richness and evenness in a diversity index? *Biota Neotropica*, 8: 21-27.
- Messias, M.C.T.B., Leite, M.G.P., Meira-Neto, J.A.A. & Kozovits, A.R. 2012. Fitossociologia de campos rupestres quartzíticos e ferruginosos no Quadrilátero Ferrífero, Minas Gerais. *Acta Botanica Brasilica*, 26: 230-242.
- Messias, M.C.T.B., Leite, M.G.P., Meira-Neto, J.A.A. & Kozovits, A.R. 2013. Soil-vegetation relationship in quartzite and ferruginous Brazilian rocky outcrops. *Folia Geobotanica*, 48:509-521.
- Mittermeier, R.A., Gil, P.R., Hoffman, M., Pilgrim, J., Brooks, T., Mittermeier, C.G., Lamoreux, J. & Fonseca, G.A.B. 2004. *Hotspots revisited: earth's biologically richest and most endangered terrestrial ecoregions*. CEMEX & Agrupación Sierra Madre, México.
- Moura, I., O., Ribeiro, K.T. & Takahasi, A. 2011. Amostragem da vegetação em ambientes rochosos. In. Felfili, J.M., Eisenlohr, P.V., Melo, M.M.R.F., Andrade, L.A. & Meira-Neto, J.A.A. (Eds.) *Fitossociologia no Brasil, métodos e estudos de casos. Vol. I*. Viçosa. Ed. UVF. 255-294 pp.
- Mourão, M.A.A. 2007. *Caracterização hidrogeológica do aquífero Cauê, Quadrilátero Ferrífero, MG*. Tese. IGC – UFMG. 297 f.
- Novais, R.F., Alvarez, V.V.H., Barros, N.F., Fontes, R.L.F., Cantarutti, R.B. & Neves, J.C.B. (Eds.). 2007. *Fertilidade do solo*. Sociedade Brasileira de Ciência do Solo. Viçosa, MG. 1017 p.
- Peres-Neto, P.R., Jackson, D.A. & Somers, K.M. 2003. Giving meaningful interpretation to ordination axes: assessing loading significance in principal component analysis. *Ecology*, 84: 2347–2363.
- Porembski, S. & Barthlott, W. (eds.). 2000. *Inselbergs: biotic diversity of isolated rock outcrops in Tropical and Temperate regions*. Springer, New York. 37-48 pp.
- Rapini, A; Ribeiro, P.L. & Pirani, J.B. 2008. A flora dos campos rupestres da Cadeia do Espinhaço. *Megadiversidade*, 4: 16-23.
- Ribeiro, K.T. & Medina, B.M.O. 2002. Estrutura, dinâmica e biogeografia das ilhas de vegetação sobre rocha do Planalto do Itatiaia, RJ. *Boletim do Parque Nacional do Itatiaia*, 10: 1-82.
- Rodrigues, A.S.L., Akçakaya, H.R., Andelman, S.J., Bakarr, M.I., Boitani, L., Brooks, T.M., Chanson, J.S., Fishpool, L.D.C., Fonseca, G.A.B., Gaston, K.J., Hoffmann, M., Marquet, P.A., Pilgrim, J.D., Pressey, R.L., Schipper, J., Sechrest, W., Stuart,

- S.N., Underhill, L.G., Waller, R.W., Watts, M.E.J. & Yan, X. 2004. Global gap analysis: priority regions for expanding the global protected-area network. *BioScience*, 54: 1092-1100.
- Scarano, F.R. 2007. Rock outcrop vegetation in Brazil: a brief overview. *Revista Brasileira de Botânica*, 30: 561-568.
- Silva, A.C., Horák, I., Cortizas, A.M., Vidal-Torrado, P., Racedo, J.R., Grazziotti, P.H., Silva, E.B. & Ferreira, C.A. 2009. Turfeiras da Serra do Espinhaço Meridional – MG. I Caracterização e classificação. *Revista Brasileira de Ciência do Solo*, 33: 1385-1398.
- Spier, C.A., Barros, S.M. & Rosière, C.A. 2003. *Geology and geochemistry of the Águas Claras and Pico Iron Mines, Quadrilátero Ferrífero, Minas Gerais, Brazil. Mineralium Deposita*, 38: 751-774.
- Szarzynsky, J. 2000. Xeric islands: environmental conditions on Inselbergs. In: Porembski, S. & Barthlott, W. (eds.) *Inselbergs: biotic diversity of isolated rock outcrops in Tropical and Temperate regions*. Springer, New York. 37-48 pp.
- Teles, A.M. & Hattori, E.K.O. 2012. Asteraceae. In: Jacobi, C.M. & Carmo, F.F. (orgs.) *Diversidade Florística nas Cangas do Quadrilátero Ferrífero*. Ed. IDM, Belo Horizonte. pp. 82-90.
- Tóthmérész, B. 1995. Comparison of different methods for diversity ordering. *Journal of Vegetation Science*, 6: 283-290.
- Vincent, R. C. & Meguro, M. 2008. Influence of soil properties on the abundance of plant species in ferruginous rocky soils vegetation, southeastern Brazil. *Revista Brasileira de Botânica*, 31: 377-388.

Anexo – Lista das 42 espécies com a maior cobertura vegetal em nove afloramentos rochosos, Quadrilátero Ferrífero, MG. CM: canga Rola Moça; CR: canga Serra da Moeda; CG: canga Serra de Gandarela; QR: quartzito Rola Moça; QM: quartzito S. Moeda; QA: quartzito Serra Água Limpa; GM: gnaisse Moeda; GV: gnaisse Moeda; GP: granito PETI; QF: Quadrilátero Ferrífero.

Código	Tipo Funcional	Espécie	Distribuição Geográfica	Cobertura vegetal (cm ² x 10 ⁻³)									
				CM	CR	CG	QR	QM	QA	GM	GV	GP	Total
lych	esclerófito	<i>Lychnophora pinaster</i> Mart. (Asteraceae)	QF	326.4	191.7	190.4	0	58.4	0.7	0	0	0	767.8
vc	poiquiloídrico	<i>Vellozia compacta</i> Mart. ex Schult. & Schult. f. (Velloziaceae)	MG	2.7	10.9	43.4	8.5	156.3	229.9	5.1	15.2	0	472.2
lrig	touceira	<i>Lagenocarpus rigidus</i> Kunth (Cyperaceae)	Extra Brasil	70.8	24.1	17.6	99.2	166.3	50.9	0	0	0	429.1
7	graminóide	<i>Axonopus siccus</i> (Nees) Kuhlm. (Poaceae)	Extra Brasil	116.5	1.1	173.8	1.2	60.7	12.8	5.0	4.3	0.2	375.8
valb	poiquiloídrico	<i>Vellozia albiflora</i> Pohl (Velloziaceae)	MG, ES, RJ	0	72.8	0	0	13.3	0.0	146.6	71.5	64.8	369.1
thet	esclerófito	<i>Tibouchina heteromalla</i> (D.Don) Cogn.	Leste do Brasil	45.5	24.4	75.4	39.5	27.6	56.2	12.5	21	16.8	318.9
erem	arvoreta	<i>Eremanthus incanus</i> (Less.) Less. (Asteraceae)	BA, MG	0	0	0	176.4	23.7	0	0	0	0	200.1
ae	graminóide	<i>Apochloa euprepes</i> (Renvoize) Zuloaga & Morrone (Poaceae)	MG	0	0	1.9	107	74.1	8.7	0	0	0	191.6
ai	graminóide	<i>Andropogon ingratus</i> Hack. (Poaceae)	Leste do Brasil	79.1	93.2	3.1	9.9	0	0	0	0	0	185.3
mc	esclerófito	<i>Mimosa calodendron</i> Mart. ex Benth. (Fabaceae)	Cangas QF	0	153.4	9.757	0	0	0	0	0	0	163.1
schz	graminóide	<i>Schzachyrium</i> sp. (Poaceae)	-	20.7	0	0	3.3	41.9	58.2	16	12.1	0	152.2
4	graminóide	<i>Apochloa molinioides</i> Trin.	MG	0	0	121.1	0	0	26.8	0	0	0	147.9

		(Poaceae)											
sgla	esclerófito	<i>Stachytarpheta glabra</i> Cham. (Verbenaceae)	MG	0	41.2	0.0	95.6	0.0	0.0	0	0	0	136.8
meli	graminóide	<i>Melinis minutiflora</i> P. Beauv. (Poaceae)	Extra Brasil	0	0	0	5.9	0	0	18.7	42.8	34.3	101.9
pbra	graminóide	<i>Paspalum brachytrichum</i> Hack. (Poaceae)	Cangas QF	28.1	0	58.8	0	0	0	0	0	0	86.9
tril	poiquiloídrica	<i>Trileps lhotzkiana</i> Nees (Cyperaceae)	Extra Brasil	4.4	0.3	15.8	0	0	18.1	27.1	13.5	3.2	82.4
cmul	esclerófito	<i>Chromolaena multiflosculosa</i> (DC.)R.M.King & H.Rob. (Asteraceae)	QF	4.3	0.6	62.2	4.2	1.1	7.8	0	0.1	0	80.2
ds	roseta	<i>Dyckia sordida</i> Baker (Bromeliaceae)	MG	0	0	0	0	0	0	0	0	78.3	78.3
bs	erva	<i>Barbacenia sellovii</i> Goethart & Henrard (Velloziaceae)	MG	0	0	0	78.2	0	0	0	0	0	78.2
vell	poiquiloídrica	<i>Vellozia</i> sp. (Velloziaceae)	-	0	0	73.9	0	0	0	0	0	0	73.9
md	esclerófito	<i>Microstachys daphnoides</i> (Mart.) Mull. Arg. (Euphorbiaceae)	Leste do Brasil	0	54.8	0.02	18.6	0.0	0.0	0	0	0	73.3
vo	arvoreta	<i>Vochysia thyrsoidea</i> Pohl (Vochysiaceae)	Leste do Brasil	0	0	0	70.1	0	0	0	0	0	70.1
2	touceira	<i>Lagenocarpus velutinus</i> Nees (Cyperaceae)	Leste do Brasil	0	61	7.1	0.0	0.0	0.0	0	0	0	68.2
pff	graminóide	<i>Paspalum aff. scalare</i> Trin. (Poaceae)	-	0	0	0	0	9.3	56.5	0	0	0	65.9
to	arvoreta	<i>Tocoyena formosa</i> (Cham. & Schldl.) K.Schum. (Rubiaceae)	Extra Brasil	0	0	0	0	0	0	0	64.9	0	64.9
bs	esclerófito	<i>Baccharis serrulata</i> Pers. (Asteraceae)	Leste do Brasil	7.7	3.8	3.3	6.3	9.1	16.8	1.1	0	15.7	63.9
1	esclerófito	<i>Eriope macrostachya</i> Mart. ex	Extra Brasil	0	59.8	0	0	0	0	0	0	0	59.8

		Benth. (Lamiaceae)											
sy	esclerófito	<i>Symphyopappus</i> sp. (Asteraceae)	-	49.9	0	0	9.2	0	0	0	0	0	59.1
meri	esclerófito	<i>Myrcia eriocalyx</i> DC. (Myrtaceae)	BA, MG, ES	2.9	1.3	0	52.8	0	0	0	0	0	57.1
tl	arvoreta	<i>Trembleya laniflora</i> (D.Don) Cogn. (Melastomataceae)	MG	0	0	0	0	0	56.7	0	0	0	56.7
trach	graminóide	<i>Trachypogon spicatus</i> (L. f.) Kuntze (Poaceae)	Extra Brasil	0	0	0	14.8	0	0	15.6	25.4	0	55.8
jacq	erva	<i>Jacquemontia linarioides</i> Meisn. (Convolvulaceae)	Cangas QF	43.2	0	11.7	0	0	0	0	0	0	55
pcya	graminóide	<i>Panicum cyanescens</i> Nees (Poaceae)	Extra Brasil	0	0	0	0	49.9	4.2	0	0	0	54.1
at	suculenta	<i>Acanthera teres</i> (Lindl.) Borba (Orchidaceae)	MG, ES, RJ	30.1	10.9	9.5	0	0	1.3	0	0	0	51.9
sa	graminóide	<i>Sporobolus aeneus</i> (Trin.) Kunth (Poaceae)	Brasil	17.5	0	0.5	0	33.7	0	0	0	0	51.8
3	graminóide	<i>Andropogon leucostachyus</i> Kunth (Poaceae)	Extra Brasil	0	0	0.06	0	0	48.3	0	0	0	48.3
pwet	graminóide	<i>Panicum wettsteinii</i> Hack. (Poaceae)	Brasil	3.7	0	0.2	20.3	1.2	9.5	1.2	0	11.7	48
bred	arvoreta	<i>Bredemeyera floribunda</i> Willd. (Polygalaceae)	Extra Brasil	0	0	0	0	0	0	23.3	0	0.3	23.7
einf	graminóide	<i>Echinolaena inflexa</i> (Poir.) Chase (Poaceae)	BA, MG, GO	0	0	0	2.1	8.1	1.3	9.9	0.08	0	21.7
dalb	arvoreta	<i>Dalbergia miscolobium</i> Benth. (Fabaceae)	Brasil	0	0	0	3.8	0	0	0	16.1	0	19.9
sr	esclerófito	<i>Symphyopappus reticulatus</i> Baker (Asteraceae)	Leste do Brasil	0	0	0	0	0	0	0.4	13.5	0	14
ma	esclerófito	<i>Manihot</i> sp. (Euphorbiaceae)	-	0	0	0	0	0	0	0	0	13	13
Total				853.8	805.5	879.8	827.1	735.3	665.3	282.9	300.9	238.7	

CONSIDERAÇÕES FINAIS

A elevada riqueza de espécies associada aos afloramentos investigados indica a importância desses sistemas para a manutenção da diversidade biológica do Quadrilátero Ferrífero. Os fatores edáficos/topográficos nos sistemas rochosos compõem um forte filtro ecológico, condicionando a diversidade e a estrutura das comunidades de plantas. A rugosidade do substrato foi uma forte variável preditora. Os padrões encontrados de heterogeneidade estrutural (por exemplo, rugosidade, inclinação do substrato, tipos de substrato) tendem a ser semelhantes entre afloramentos de mesma origem geológica. Na escala fina, as cangas são mais heterogêneas, seguidas pelos quartzitos e pelos granitóides. Na escala do afloramento, os quartzitos tendem a ser mais heterogêneos, seguidos pelas cangas e pelos granitóides. Entretanto, podem ocorrer semelhanças mesmo quando são de diferentes origens geológicas (por exemplo, granito em PETI e quartzito no Caraça, Capítulo 3). O aumento da heterogeneidade estrutural do substrato, tanto na escala centimétrica quanto na escala do afloramento, condicionou o aumento da biomassa (cobertura vegetal), da abundância e da riqueza de espécies e de tipos funcionais.

Os solos nesses sistemas rochosos formaram dois grupos distintos: os desenvolvidos sobre as cangas e aqueles solos desenvolvidos sobre os afloramentos de quartzito e granito-gnaisse, uma clara influência geoquímica do material de origem. Porém, as comunidades não apresentaram padrões nítidos em resposta à fertilidade do solo e as concentrações de elementos-traço. Esse interessante resultado está associado ao uso de ferramentas analíticas de avaliação da significância em métodos de ordenação ainda pouco exploradas em trabalhos focando os sistemas rochosos.

Sem dúvida, a adoção de métodos padronizados e a definição clara dos objetos de investigação foram fundamentais para os resultados encontrados. Esses são pontos importantes para o estudo de sistemas rochosos, já destacados por outros autores. O avanço do conhecimento desses sistemas precisa contribuir também para a definição de estratégias mais objetivas de conservação e para a determinação de parâmetros-alvo para a avaliação de impacto e de monitoramento ambiental.

Um exemplo atual da necessidade, urgente, de refinamento do conhecimento dos sistemas planta-rocha pode ser representado pelo conteúdo da Resolução n º423, de 12 de abril de 2010. Esta Resolução do Conselho Nacional do Meio Ambiente “*dispõe sobre parâmetros básicos para identificação e análise da vegetação primária e dos*

estágios sucessionais da vegetação secundária nos Campos de Altitude associados ou abrangidos pela Mata Atlântica”, grifo nosso. Na região do Quadrilátero Ferrífero e ao longo da Cadeia do Espinhaço, por exemplo, vários estudos de impacto ambiental estão utilizando a resolução para fins de solicitação das licenças ambientais em casos de necessidade de supressão da vegetação associada geralmente às cangas e aos quartzitos. Entretanto, praticamente não existem parâmetros estabelecidos naquela resolução adequados às características dos afloramentos dessas regiões e das espécies que compõe tais comunidades.

A diversidade funcional das comunidades rupestres ainda é muito pouco conhecida e estudos sobre o tema devem ser estimulados, pois são fundamentais para o entendimento do funcionamento desses ecossistemas rochosos. Alguns padrões foram observados na tese e apontaram certas diferenças entre os litotipos investigados. Nas comunidades desenvolvidas sobre os granítóides predominam os indivíduos/clones de espécies monocotiledôneas com tolerância a dessecação, considerada uma das adaptações ecofisiológicas mais espetaculares encontradas em plantas vasculares. Nos quartzitos predominam as monocotiledôneas graminóides e as angiospermas subarbustivas e arbustivas. Nas cangas, os indivíduos subarbustivos e arbustivos e os graminóides compõem a maior parcela da cobertura vegetal. Entretanto, nas cangas uma relevante parcela da biomassa encontra-se na sub-superfície, desenvolvendo-se nos interstícios e outras irregularidades da rocha. A interface rocha-raiz também precisa ser investigada para verificar o grau de especialização/adaptação das espécies.

As cangas foram o litotipo que abrigaram a maior cobertura vegetal representada por espécies com distribuição restrita ao Quadrilátero Ferrífero, atingindo 33% do total. Os quartzitos atingiram 4%. O desenvolvimento de estudos - observacionais e experimentais - pode contribuir para o esclarecimento de uma questão importante: Por que as cangas, em comparação com os outros litotipos, abrigam uma quantidade muito maior de biomassa de plantas raras?